

Teza de doctorat

Contribuții la modulația codată trellis multidimensională
folosită în realizarea modemurilor analogice de bandă vocală

Coordonator științific:
prof.dr.ing. Miranda NAFORNIȚĂ

Doctorand:
ing. Florin DĂRĂBAN

-2003-

CUPRINS

CAPITOLUL I.....	3
INTRODUCERE.....	3
1.1 <u>MODEMURI ANALOGICE DE BANDĂ VOCALĂ.....</u>	3
1.2 <u>MĂRIMI CARACTERISTICE.....</u>	4
1.3 <u>CANALUL TELEFONIC.....</u>	6
1.4 <u>MODEMURI ANALOGICE ȘI MODEMURI DIGITALE UTILIZATE ÎN PSTN.....</u>	6
1.5 <u>SCURT ISTORIC.....</u>	8
CAPITOLUL II.....	10
SISTEME DE TRANSMISII DE DATE CU MODULAȚIE CODATĂ TRELIS (TCM).....	10
2.1 <u>INTRODUCERE.....</u>	10
2.1.1. <u>Detecția simbol cu simbol (SSD).....</u>	11
2.1.2. <u>Detecția de probabilitate condiționată maximă (MLD).....</u>	13
2.2 <u>DIAGRAMA TRELIS.....</u>	14
2.3 <u>PARTIȚIONAREA CONSTELAȚIEI DE SEMNALE.....</u>	14
2.4 <u>TRANSMIȚĂTORUL TCM.....</u>	16
2.4.1. <u>Reprezentarea Ungerboeck a transmițătorului TCM.....</u>	16
2.4.2. <u>Reprezentarea Calderbank-Mazo a transmițătorului TCM.....</u>	18
2.5 <u>RECEPTORUL TCM.....</u>	23
2.5.1 <u>Receptorul TCM cu detecție de probabilitate condiționată maximă (MLD).....</u>	23
2.5.2 <u>Receptorul TCM cu detecție simbol cu simbol (SSD).....</u>	25
2.5.3 <u>Algoritmul Viterbi.....</u>	26
CAPITOLUL III.....	29
PERFORMANȚELE SISTEMELOR DE TRANSMISII DE DATE CU MODULAȚIE CODATĂ TRELIS.....	29
3.1 <u>LIMITA SUPERIOARĂ A PROBABILITĂȚII ERORII DE SECVENȚĂ.....</u>	29
3.1.1 <u>Diagrama de stare a erorii.....</u>	31
3.1.2 <u>Considerații de simetrie a funcției de transfer matriciale a diagramei de stare a erorii.....</u>	32
3.1.3 <u>Considerații asimptotice a funcției de transfer matriciale a diagramei de stare a erorii.....</u>	34
3.1.4 <u>Limita superioară a probabilității erorii de bit.....</u>	35
3.1.5 <u>Considerații de convergență a funcției de transfer scalare a diagramei de stare a erorii.....</u>	36
3.1.6 <u>Cazul unui canal de comunicație general.....</u>	36
3.2 <u>LIMITA INFERIOARĂ A PROBABILITĂȚII ERORII DE SECVENȚĂ.....</u>	38
3.2.1 <u>Limita inferioară a probabilității erorii de bit.....</u>	39
3.3 <u>CALCULUL FUNCȚIEI DE TRANSFER SCALARĂ A DIAGramei DE STARE A ERORII.....</u>	39
3.4 <u>CALCULUL DISTANȚEI EUCLIDIENE MINIME.....</u>	40
3.4.1 <u>Calculul distanței euclidiene minime utilizând diagrama de stare a erorii.....</u>	40
3.4.2 <u>Algoritmul Saxona-Mulligan-Wilson.....</u>	41
3.4.3 <u>Algoritmul produs trellis.....</u>	44
3.4.4 <u>Limita inferioară a distanței euclidiene minime.....</u>	45
3.4.5 <u>Limita superioară a distanței euclidiene minime.....</u>	46
3.5 <u>DENSITATEA SPECTRALĂ DE PUTERE A SEMNALULUI DE LINIE TRANSMIS.....</u>	51

CAPITOLUL IV	54
CODURI TCM MULTIDIMENSIONALE	54
4.1 INTRODUCERE.....	54
4.2 CONSTRUCȚIA WEI PENTRU CODURI TCM MULTIDIMENSIONALE	55
4.2.1 Codul TCM 4-D, cu rata 2/3 și cu 16 stări.....	56
4.2.2 Codul TCM 8-D, cu rata 3/4 și cu 64 stări.....	64
4.3 CONSTRUCȚIA STERIAN PENTRU CODURI TCM MULTIDIMENSIONALE	71
4.3.1 Codul TCM 6-D, cu rata 3/4 și cu 64 stări.....	74
4.3.2 Codul TCM 12-D, cu rata 4/5 și cu 256 stări.....	82
4.4 GENERALIZAREA CONSTRUCȚIEI WEI PENTRU CODURI TCM MULTIDIMENSIONALE	92
4.4.1 Construcția constelației de semnale 2N-D.....	92
4.4.1.1 Metode de construcție a unei constelații de semnale 2-D optimală.....	92
4.4.1.1.1 Modelarea constelației.....	92
4.4.1.1.2 Corespondență în inele.....	97
4.4.1.2 Extinderea constelației de semnale 2-D constituantă a constelației de semnale 2N-D	100
4.4.1.2.1 Extinderea simplă a constelației de semnale 2-D.....	101
4.4.1.2.2 Extinderea optimală a constelației de semnale 2-D.....	104
4.4.2 Partiționarea constelației de semnale 2N-D în subseturi 2N-D.....	112
4.4.3 Asignarea subseturilor 2N-D la tranzițiile de stare ale codului TCM 2N-D.....	113
4.4.4 Realizarea corespondenței dintre cei NQ+1 biți și constelația de semnale 2N-D.....	114
4.5 GENERALIZAREA CONSTRUCȚIEI WEI A CODORULUI TCM 2N-D.....	114
4.6 GENERALIZAREA CONSTRUCȚIEI WEI A DECODORULUI TCM 2N-D.....	120
4.7 EXEMPLE PENTRU CONSTRUCȚIA WEI GENERALIZATĂ A CODURILOR TCM 2N-D	127
4.7.1 Codul TCM 4-D, cu rata 2/3 și cu 16 stări.....	127
4.7.2 Codul TCM 6-D, cu rata 3/4 și cu 64 stări.....	134
4.7.3 Codul TCM 8-D, cu rata 3/4 și cu 64 stări.....	143
4.7.4 Codul TCM 12-D, cu rata 4/5 și cu 256 stări.....	150
CAPITOLUL V	160
MODEMURI ANALOGICE DE BANDĂ VOCALĂ CU MODULAȚIE CODATĂ TRELIS MULTIDIMENSIONALĂ	160
5.1 SCHEMA BLOC FUNCȚIONALĂ.....	160
5.1.1 Cifratorul și decifratorul.....	160
5.1.2 Convertorul serie/paralel și convertorul paralel/serie.....	162
5.1.3 Codorul neliniar.....	163
5.1.4 Filtrul de preaccentuare.....	164
5.1.5 Egalizarea adaptivă.....	167
5.1.6 Modulatorul QAM. Demodulatorul QAM. Blocul de refacere a semnalului purtător.....	171
5.1.7 Filtrul de interpolare/decimare. Blocul de refacere a tactului de simbol.....	175
5.1.8 Blocul de control automat a câștigului.....	178
5.1.9 Supresorul de ecou.....	181
5.2 IMPLEMENTARE HARD.....	183
5.2.1 Procesorul digital de semnal (DSP).....	184
5.2.2 Memoria SRAM.....	184
5.2.3 Memoria ROM.....	184
5.2.4 Interfața cu calculatorul gazdă.....	185
5.2.5 Interfața analogică.....	185
5.2.6 Interfața cu linia telefonică.....	186
5.3 IMPLEMENTARE SOFT.....	188
CAPITOLUL VI	190
CONCLUZII ȘI CONTRIBUȚII PERSONALE LA MODULAȚIA CODATĂ TRELIS MULTIDIMENSIONALĂ	190
6.1 CONCLUZII PERSONALE CU PRIVIRE LA MODULAȚIA CODATĂ TRELIS MULTIDIMENSIONALĂ.....	190
6.2 CONTRIBUȚII PERSONALE LA MODULAȚIA CODATĂ TRELIS MULTIDIMENSIONALĂ	193
BIBLIOGRAFIE CITATĂ ÎN TEZA DE DOCTORAT	195
BIBLIOGRAFIE CONSULTATĂ PENTRU DOCUMENTARE	199
ANEXA 1 Tabel cu parametrii calculați ai codurilor TCM 2N-D pentru $N=2\leq 8$	204
ANEXA 2 Modelele MATLAB-Simulink pentru sistemele de transmisii de date cu TCM 4-D (construcția Wei), TCM 6-D (construcția Sterian) și TCM 6-D (construcția propusă)	205
ANEXA 3 Rezultatele simulărilor - Graficele ratei erorilor de bit în funcție de raportul semnal/zgomot al canalului de comunicație AWGN	206

CAPITOLUL I

Introducere

1.1 Modemuri analogice de bandă vocală

În domeniul dinamic al telecomunicațiilor apare adesea tendința de a prezice declinul rapid al unei tehnologii existente în momentul în care o tehnologie alternativă mai puternică apare la orizont [1]. Acesta este și cazul **modemurilor analogice de bandă vocală**, despre care în anii 1985 se credea că vor dispărea complet odată cu apariția **rețelei digitale cu integrarea serviciilor (ISDN=Integrated Services Digital Network)**.

Cu toate acestea, în prezent, în condițiile dezvoltării rețelei Internet și a utilizării calculatoarelor personale (PC=Personal Computer), **modemurile analogice sunt cele mai răspândite vehicule pentru comunicațiile de date** [2].

În anul 1998, conform unui studiu realizat de Georgia Tech, în SUA, 69,6 % din toți utilizatorii rețelei Internet (persoane fizice și persoane juridice) au accesat rețeaua Internet prin modemuri analogice. În acest studiu se prezintă repartizarea vitezei de conectare în funcție de locație, sex, grupe de vârstă, grupe de experiență [3]. În Tabelul 1.1 se prezintă repartizarea vitezei de conectare în funcție de locația geografică a utilizatorilor rețelei Internet.

Tabelul 1.1 Repartizarea vitezei de conectare în funcție de locația geografică a utilizatorilor persoane fizice și persoane juridice a rețelei Internet

Tip acces (răspunsul subiecților chestionați)	Viteza de conectare	SUA [%]	Europa [%]	Altele [%]
Modemuri analogice	<14,4 kb/s	0,1	0,4	0
	14,4 kb/s	1,7	0,9	2,5
	28,8 kb/s	15,8	11,1	17,2
	33,6 kb/s	17,6	13,8	24,6
	56 kb/s	34,4	13,3	18,4
	Total		69,6	39,5
Modemuri digitale	128 kb/s (ISDN)	4,4	18,2	9
	1 Mb/s (T1*)	13	16	12,7
	4 Mb/s (Cablul coaxial)	3,2	1,8	7,8
	10 Mb/s	2,1	10,7	2,9
	45 Mb/s (T3*)	3,1	3,1	0,8
	>45 Mb/s (FDDI**)	0,6	4	0,8
Total		26,4	53,8	34
Nu știu ce modem folosesc	Nu știu ce modem folosesc	3,9	6,7	3,3

*T1, T3=Flux PCM (Pulse Code Modulation) primar, ternar în SUA/Japonia

**FDDI=Fiber Distributed Data Interface.

În anul 2000, conform unui studiu realizat de Forrester Research, în SUA, 87,9 % din utilizatorii rețelei Internet (persoane fizice) au accesat rețeaua Internet prin modemuri analogice, iar 80 % din aceștia cu un modem analogic de 56 kb/s (conform recomandării ITU V.90) (Tabelul 1.2) [4].

Tabelul 1.2 Repartizarea pe modemuri a utilizatorilor rețelei Internet (persoane fizice)

Tip acces		1998 [%]	1999 [%]	2000 [%]
Modemuri analogice		96,5	92,1	87,9
Modemuri digitale	Cablu coaxial	2,4	5,7	9,5
	ISDN, DSL*, Wireless**	1,1	2,3	2,6

*=Digital Subscriber Line

**=Fără fir.

La succesul modemurilor analogice au contribuit [2, 5]:

- progresele în tehnicile de codare, modulație și egalizare adaptivă,
- progresele în tehnologiile de prelucrare digitală a semnalelor, atât în ceea ce privește algoritmi de prelucrare digitală a semnalelor, cât și a **procesoarelor digitale de semnal DSP=Digital Signal Processor**), care sunt din ce în ce mai performante și mai ieftine,
- dezvoltarea **rețelei telefonice publice comutate (PSTN=Public Switched Telephone Network)** și creșterea calității conexiunilor telefonice, prin introducerea pe scară largă a centralelor telefonice digitale și a echipamentelor de transmisiuni digitale,
- standardizarea realizată de **Uniunea Internațională a Telecomunicațiilor-sectorul de standardizare în Telecomunicații (ITU-T=International Telecommunications Union-Telecommunication Standardization Sector)** (fostă CCITT = Consultative Committee International Telegraph and Telephone) care începând cu anii 1970 a adoptat succesiv standardele din **Seria V** pentru modemurile analogice.

1.2 Mărimi caracteristice

În cazul unei transmisii sincrone, definim **debitul binar (rata de bit) D [bit/s]** ca numărul de biți ce pot fi transmiși în unitatea de timp prin canalul de comunicație [6]:

$$D = \frac{1}{T_b} \text{ [bit/s]} \quad (1.1)$$

unde T_b = durata unui bit [s].

În cazul unei transmisii asincrone, definim **viteza de modulație (rata de simbol) R [simboluri/s] sau [Baud]** ca viteza cu care se schimbă stările semnalului modulat în canalul de comunicație [6]:

$$R = \frac{1}{T_s} \text{ [simboluri/s] sau [Baud]} \quad (1.2)$$

unde T_s = durata unui simbol [s].

Dacă semnalul modulat are $M=2^m$ nivele atunci avem relația:

$$D = R \log_2 M = R m \text{ [bit/s]} \quad (1.3)$$

unde m = numărul de biți necesari codării.

În cazul unei transmisii oarecare, definim debitul binar ca raportul dintre numărul total de biți transmiși (biți utili + biți suplimentari ceruți de protocol) și durata necesară transmisiei lor.

Eficiența spectrală η [bit/s/Hz] este definită ca numărul de biți per secundă pe care îi putem transmite într-o lățime de bandă de 1 Hz a canalului de comunicație [7]:

$$\eta = \frac{D}{B} \text{ [bit/s/Hz]} \quad (1.4)$$

unde B = lățimea de bandă a canalului de comunicație care este disponibilă pentru transmisie [Hz] iar D = debitul binar [bit/s].

Rata de transmisie Q [bit/utilizare canal] sau [bit/interval de semnalizare] este definită ca numărul de biți per utilizarea canalului sau ca numărul de biți per interval de semnalizare [7]:

$$Q = T_s D \text{ [bit/utilizare canal] sau [bit/interval de semnalizare]} \quad (1.5)$$

unde prin utilizarea canalului de comunicație se înțelege transmisia unui simbol de informație prin canalul de comunicație.

Viteza maximă de transmisie a datelor printr-un canal de comunicație ideal (stabil, omogen, invariant în timp, fără distorsiuni) este limitată. Această limită, numită **capacitatea canalului de comunicație C [bit/s]**, a fost stabilită de **Shannon** pentru un canal de comunicație ideal cu zgomot aditiv, alb, gaussian, cu o putere medie a semnalului util mărginită și presupunând o codare infinită ca fiind:

$$C = B \log_2 \left(1 + \frac{S}{N}\right) \text{ [bit/s]} \quad (1.6)$$

unde C = capacitatea canalului de comunicație [bit/s], S = puterea medie a semnalului util [W] iar N = puterea medie a zgomotului [W].

Dacă raportul semnal/zgomot se consideră în dB deci $SNR = 10 \log_{10} \left(\frac{S}{N}\right)$ atunci:

$$C \cong 0,33 B SNR \text{ [bit/s]} \quad (1.7)$$

1.3 Canalul telefonic

Canalul telefonic poate fi considerat ca un canal de comunicație **cu zgomot redus, de bandă de frecvențe limitată și de putere limitată** [39].

Canalul telefonic poate fi presupus cu o bună aproximație ca un canal de comunicație **liniar** [39].

Canalul telefonic este un canal de comunicație **invariant în timp** și are o **caracteristică de frecvență relativ ușor egalizabilă** [39].

Un canal telefonic obișnuit are banda de frecvențe cuprinsă între 300 și 3400 Hz deci $B=3100$ Hz.

În toate cazurile de conexiune telefonică avem $SNR=28$ dB, iar în majoritatea cazurilor de conexiune telefonică avem $SNR=32-38$ dB [39].

În general, canalul telefonic este considerat ca un canal de comunicație cu **zgomot aditiv, alb, gaussian (AWGN=Aditive White Gaussian Noise)** și cu **interferență intersimbol (ISI= InterSymbol Interference)**.

1.4 Modemuri analogice și modemuri digitale utilizate în PSTN

În Tabelul 1.3 se prezintă caracteristicile modemurilor analogice și digitale utilizate în PSTN [8].

Modemurile sunt conectate la PSTN prin perechi de fire de cupru, torsadate, neecranate, cu diametrul cuprins între $\phi=0,3-0,4$ mm (cabluri urbane) și $\phi=0,8-0,9$ mm (cabluri interurbane).

Se observă că modemurile analogice oferă debite binare mici în comparație cu modemurile digitale. Din acest motiv modemurile analogice sunt aproape imposibil de utilizat în aplicații cum ar fi:

- acces de foarte mare viteză la rețeaua Internet,
- acces la servicii interactive de bandă largă,
- videoconferințe.

Modemurile digitale permit debite binare mari deoarece au fost proiectate pentru o bandă de frecvențe a canalului de comunicație de ordinul a câțiva MHz deci mult mai mare decât $B=3000-3500$ Hz ca în cazul modemurilor analogice. În cazul modemurilor digitale nu se mai folosesc ca și la modemurile analogice filtrele trece bandă de 4 kHz (antialiasing și interpolare) în CODEC-urile interfețelor de linie din unitățile de racordare locale/distante ale centralei telefonice sau din unitățile de rețea optică (ONU=Optical Network Unit) ale rețelei de acces (AN=Acces Network).

Tabelul 1.3 Caracteristicile modemurilor analogice și digitale utilizate în PSTN

Tip modem	D [kbit/s]	η [bit/s/Hz]	Modulația (cod de linie)	Linii de transmisie	Lungimea maximă a liniei de transmisie [Km] ($\phi=0,3-0,4$ mm)
<i>MODEMURI ANALOGICE</i>					
V.21	0,3	1	FSK	comutate/închiriate	1,8
V.22	0,6	2	PSK	comutate/închiriate	1,8
V.22 bis	2,4	4	QPSK	comutate	1,8
V.32	9,6	4	TCM	comutate/închiriate	1,8
V.32 bis	14,4	6	TCM	comutate/închiriate	1,8
V.33	14,4	6	TCM	închiriate	1,8
V.34	28,8	8,4	TCM	comutate/închiriate	1,8
V.34 bis	33,6	9,8	TCM	comutate/închiriate	1,8
<i>MODEMURI DIGITALE</i>					
ISDN BRI	144	2	PAM(4B3T)	comutate/închiriate	4
ISDN PRI	2048	2	PCM(HDB3)	comutate/închiriate	0,3
HDSL	2048	2	PAM(2B1Q) sau CAP	închiriate	4
SDSL	768	2	PAM(2B1Q)	închiriate	3,7
IDSL	128	2	PAM(2B/1Q)	închiriate	4
ADSL	Downstream= =8448-1554 Upstream= =640-16	8	CAP sau DMT	închiriate	3-5,5
VDSL	Downstream= =52000-13000 Upstream= =2300-1500	4	CAP sau DMT	închiriate	0,3-1

ISDN BRI = Integrated Services Digital Network Base Rate Interface

ISDN PRI = Integrated Services Digital Network Primary Rate Interface

HDSL = High bit rate Digital Subscriber Line

SDSL = Symmetric Digital Subscriber Line

IDSL = ISDN Digital Subscriber Line

ADSL = Asymmetric Digital Subscriber Line

VDSL = Very high bit rate Digital Subscriber Line.

FSK = Frequency Shift Keying

PSK = Phase Shift Keying

QPSK = Quadrature Phase Shift Keying

TCM = Trellis Coded Modulation

PAM = Pulse Amplitude Modulation

2B1Q = 2 Binary 1 Quaternary

4B3T = 4 Binary 3 Ternary

PCM = Pulse Code Modulation

HDB3 = High Density Bipolar 3

CAP = Carrierless Amplitude and Phase Modulation

DMT = Discrete MultiTone modulation.

În plus modemurile digitale folosesc tehnici digitale de modulație ca:

- **modulația impulsurilor în amplitudine (PAM=Pulse Amplitude Modulation)** cu un cod de linie cuaternar 2B1Q (2 Binary 1 Quaternary).
- **modulația impulsurilor în cod (PCM=Pulse Code Modulation)** cu un cod de linie ternar HDB3 (High Density Bipolar 3).
- **modulația de amplitudine și de fază fără purtătoare (CAP=Carrierless Amplitude and Phase Modulation)** în care se realizează 2 modulații digitale cu ajutorul a două filtre digitale transversale, care au funcțiile de transfer cu aceeași amplitudine dar defazate cu 90° . Semnalele de la ieșirile filtrelor digitale sunt însumate iar semnalul obținut este convertit cu un convertor digital-analogic (DAC=Digital-to-Analog Converter) pentru a fi transmis prin canalul de comunicație.
- **modulația multiton discretă (DMT=Discrete MultiTone modulation)** în care se realizează o multiplexare prin diviziune în frecvență (FDM=Frequency Division Multiplexing), a mai multor canale de 4 kHz, cu modulație codată trellis (TCM=Trellis Coded Modulation). Pentru fluxul de date spre utilizator (Downstream) sunt multiplexate 249 de canale, în banda de frecvențe (133,8-1100) kHz iar pentru fluxul de date dinspre utilizator (Upstream) sunt multiplexate 25 de canale, în banda de frecvențe (26-133,8) kHz. Majoritatea canalelor sunt folosite pentru transmisii de date ($0 \leq \eta \leq 15$ bit/s/Hz) dar există și canale folosite pentru sincronizare. Semnalele purtătoare sunt distanțate la intervale de 4,3125 kHz.

Cu toate acestea modemurile analogice fiind mult mai ieftine și fiind primele care au apărut pe piață sunt mult mai răspândite decât modemurile digitale.

1.5 Scurt istoric

În 1974 Massey a sugerat formal că performanțele sistemelor digitale de telecomunicații ar putea fi îmbunătățite prin folosirea codării și modulației ca o **entitate combinată** și nu ca două operații separate [9].

În 1976 Ungerboeck și Csajka prezintă ideea de **modulație codată trellis (TCM=Trellis Coded Modulation)** la simpozionul de teoria informației din Suedia [10].

În 1977 Imai și Hirakawa au publicat o lucrare în care codarea bloc sau codarea convoluțională au fost combinate cu modulația [11].

În 1982 Ungerboeck a descris principiile de baza ale TCM [12].

În 1984 Forney a arătat că utilizarea TCM la construcția modemurilor analogice permite obținerea unor debite binare mai apropiate de capacitatea canalului de comunicații (canalul telefonic) în comparație cu alte medii de transmisii fizice [13].

În 1984 Wei a prezentat o schemă TCM 2-D cu 8 stări [14] care a fost adoptată în același an de către ITU-T ca recomandarea V.32 pentru modemurile analogice care operează full-duplex la 9600 bit/s pe linii comutate sau închiriate cu 2 fire [15].

În 1987 Wei a prezentat lucrarea „TCM cu constelații de semnale multidimensionale” [16] în care a prezentat trei scheme TCM pentru $Q=7$ biți/interval de semnalizare și anume:

- o schemă TCM 4-D cu 16 stări,
- o schemă TCM 4-D cu 64 stări,
- o schemă TCM 8-D cu 64 stări.

În 1994 ITU-T a adoptat recomandarea V.34 bis pentru modemurile analogice care operează full-duplex la 33600 bit/s pe linii comutate sau închiriate cu 2 fire [17]. Se folosesc trei scheme TCM si anume:

- o schemă TCM 4-D cu 16 stări propusă de Wei [16]
- o schemă TCM 4-D cu 32 stări propusă de Williams [18]
- o schemă TCM 4-D cu 64 stări propusă și corectată de Wei [19] după ce Rossin și Heegard au descoperit și au semnalat în 1993 o greșeală în schema inițială.

În 1998 ITU-T a adoptat recomandarea V.90 pentru comunicația de date dintre un modem analogic și un modem digital care operează full-duplex la 56000 bit/s în sensul modem digital→modem analogic și la 33600 bit/s în sensul modem digital→modem analogic pe linii comutate cu 2 fire [20].

Modemul analogic se conectează la PSTN printr-o interfață analogică obișnuită. Modemul analogic emite semnale V.34 și recepționează semnale G.711 [21] după trecerea lor printr-un decodor G.711.

Modemul digital se conectează la PSTN printr-o interfață ISDN de bază (ISDN BRI=Integrated Services Digital Network Basic Rate Interface) sau printr-o interfață ISDN primară (ISDN PRI= Integrated Services Digital Network Primary Rate Interface). Modemul digital emite semnale G.711 și recepționează semnale V.34 după trecerea lor printr-un decodor G.711.

În prezent TCM rămîne un domeniu de cercetare activ în care continuă să apară idei noi ce deschid calea spre noi scheme practice. Progresul este relativ lent pentru că problema găsirii unor metode noi de codare și modulație este în general foarte complicată.

CAPITOLUL II

Sisteme de transmisii de date cu modulație codată trellis (TCM)

2.1 Introducere

Sistemele de transmisii de date cu modulație codată trellis (TCM) prezintă o foarte bună protecție la zgomot și se folosesc la transmisii de date de foarte mare viteză.

În cazul unui canal de comunicație de putere limitată, creșterea eficienței energetice se poate realiza prin utilizarea unor coduri corectoare de erori. Codurile corectoare de erori adaugă biți suplimentari secvenței codificate transmise, deci impune modulatorului să lucreze la un debit binar mai mare necesitând o bandă de frecvențe mai mare.

În cazul unui canal de comunicație de bandă de frecvențe limitată, creșterea eficienței spectrale se poate realiza prin utilizarea unor modulate de ordin mare. Modulatele de ordin mare necesită o putere a semnalului de linie mai mare pentru a menține aceeași distanță între semnale, cu alte cuvinte aceeași probabilitate de eroare.

Modulația codată trellis (TCM) este o tehnică ce combină utilizarea unor coduri corectoare de erori (în general coduri convoluționale) cu utilizarea unor modulate de ordin mare.

Ideea modulării multidimensionale a simbolurilor codate convoluțional a apărut cu mult înaintea apariției modulației codate trellis, operațiile de codare-decodare și modulare-demodulare fiind independente [10, 11]. Performanțele acestor sisteme nu sînt satisfăcătoare deoarece:

- ◆ în receptor deciziile se iau simbol cu simbol înainte de decodare ceea ce poate conduce la pierderi de informație,
- ◆ codurile convoluționale optimizate după criteriul distanței Hamming nu asigură o separare maximă între semnale.

O mai bună protecție la zgomot se asigură dacă semnalele de linie emise diferă cît mai mult unul de altul și o măsură a distanței dintre ele este distanța euclidiană. Pentru a mări distanța euclidiană este necesară creșterea numărului de semnale, astfel încît să apară o redundanță la codare, al cărei scop este maximizarea distanței euclidiene minime.

Aspectul nou al modulației codate trellis constă în faptul că operațiile de codare și modulație nu sînt tratate ca operații independente ci ca o operație unică. Semnalul de linie recepționat, în loc să fie mai întîi demodulat și apoi decodat, este procesat de un receptor care combină demodularea și decodarea într-o singură operație. Procesul de detecție implică mai mult decizii soft decît decizii hard (semnalul de linie recepționat este procesat înainte de a lua decizia cărui simbol al sursei de date îi corespunde).

Considerăm un canal de comunicație cu zgomot aditiv alb gaussian. Semnalele de linie transmise pot fi considerate vectori într-un spațiu euclidian N -dimensional (R^N) numit **spațiu de semnale**.

Pentru fiecare simbol al sursei de date, vectorul semnal transmis s este ales dintr-un set Ω' , format din M' vectori semnal, numit **constelație de semnale**.

Vectorul semnal recepționat este:

$$\mathbf{r} = \mathbf{s} + \mathbf{n} \quad (2.1)$$

unde \mathbf{n} este vectorul zgomot a cărui componente sînt variabile aleatoare gaussiene independente, cu media 0 și dispersia $\frac{N_0}{2}$.

Energia medie a vectorilor semnal din setul Ω' este egală cu:

$$E' = \frac{1}{M'} \sum_{\mathbf{s} \in \Omega'} \|\mathbf{s}\|^2 \quad (2.2)$$

Fie o secvență de K vectori semnal transmiși $\{\mathbf{s}_i\}_{i=0}^{K-1}$. Receptorul TCM care minimizează probabilitatea erorii de secvență operează astfel:

- ◆ observă secvența de K vectori semnal recepționați $\{\mathbf{r}_i\}_{i=0}^{K-1}$,
- ◆ decide că s-a transmis secvența de vectori semnal $\{\mathbf{S}_i\}_{i=0}^{K-1}$, dacă pătratul

distanței euclidiene $d^2 = \sum_{i=0}^{K-1} \|\mathbf{r}_i - \mathbf{s}_i\|^2$ este minim pentru $\mathbf{s}_i = \mathbf{S}_i$, $i=0, \dots, K-1$. Cu

alte cuvinte secvența de vectori semnal $\{\mathbf{S}_i\}_{i=0}^{K-1}$ este mai apropiată de secvența de vectori semnal recepționați $\{\mathbf{r}_i\}_{i=0}^{K-1}$ decît oricare altă secvență de vectori semnal.

Probabilitatea erorii de secvență (ca și probabilitatea erorii de simbol) este limitată superior de o funcție descrescătoare a raportului $\frac{d'_{\min}{}^2}{N_0}$ și este bine aproximată de această expresie cînd raportul semnal/zgomot este mare. În expresia de mai sus $d'_{\min}{}^2$ este pătratul distanței euclidiene minime dintre două secvențe posibile de vectori semnal din Ω' .

2.1.1. Detectia simbol cu simbol (SSD)

La **detectia simbol cu simbol (SSD=Symbol by Symbol Detection)** secvența de vectori semnal $\{\mathbf{s}_i\}_{i=0}^{K-1}$ este o secvență de vectori independenți. Astfel secvențele posibile de vectori semnal aparțin lui Ω'^K . Pătratul distanței euclidiene este minimizat dacă se minimizează separat termenii $\|\mathbf{r}_i - \mathbf{s}_i\|^2$ pentru $\mathbf{s}_i \in \Omega'$ [7].

Probabilitatea erorii de secvență (ca și probabilitatea erorii de simbol) este limitată superior de expresia:

$$P(e) \leq \left(\frac{M' - 1}{2}\right) \operatorname{erfc}\left(\frac{1}{2} \sqrt{\frac{d'_{\min}{}^2}{N_0}}\right) \quad (2.3)$$

fiind bine aproximată de această expresie când raportul semnal/zgomot este mare. În relația (2.3):

$$d'_{\min}{}^2 = \min_{s'_i, s''_i \in \Omega'} \|s'_i - s''_i\|^2 \quad (2.4)$$

$$\operatorname{erfc}(x) = \frac{2}{\sqrt{\pi}} \int_x^{+\infty} e^{-t^2} dt \quad (2.5)$$

Concluzia 2.1-Problema proiectării unui sistem de transmisii de date cu modulație codată trellis când se dau N , E' , M' se reduce la alegerea unui set Ω' de vectori semnal astfel încât distanța euclidiană minimă dintre oricare 2 vectori semnal să fie maximă [7].

Pentru compararea a 2 constelații de semnale se definesc următoarele 2 mărimi:

$$\Rightarrow \text{eficiența spectrală:} \quad \eta = \frac{\log_2 M'}{N} \text{ [bit/s/Hz]} \quad (2.6)$$

$$\Rightarrow \text{eficiența energetică:} \quad \delta^2 = \frac{d'_{\min}{}^2}{E_b} \text{ [bit/s/W]} \quad (2.7)$$

unde $E_b = \frac{E'}{\log_2 M'}$ = energia medie per bit de informație [W/bit].

Probabilitatea erorii de secvență (ca și probabilitatea erorii de simbol) este limitată superior de expresia:

$$P(e) \leq \left(\frac{M' - 1}{2}\right) \operatorname{erfc}\left(\frac{\delta}{2} \sqrt{\frac{E_b}{N_0}}\right) \quad (2.8)$$

fiind bine aproximată de această expresie când raportul semnal/zgomot este mare.

Concluzia 2.2-Aceeși probabilitate a erorii de secvență (erorii de simbol) poate fi obținută cu un raport semnal/zgomot $\frac{E_b}{N_0}$ mai mic dacă eficiența energetică δ^2 este mai mare [7].

2.1.2. Detectia de probabilitate condiționată maximă (MLD)

La **detectia de probabilitate condiționată maximă (MLD=Maximum Likelihood Detection)** secvența de vectori semnal $\{s_i\}_{i=0}^{K-1}$ este o secvență de vectori interdependenți. Astfel secvențele posibile de vectori semnal aparțin unui subset din Ω'^K ceea ce implică scăderea eficienței spectrale η [7].

Pentru a evita scăderea eficienței spectrale se înlocuiește Ω' cu $\Omega \supset \Omega'$ și M' cu $M > M'$, deci se **extinde constelația de semnale**. Astfel rezultă o secvență de vectori semnal mai puțin asemănători între ei și se obține o creștere a pătratului distanței euclidiene minime dintre două secvențe posibile de vectori semnal.

Se definesc două tipuri de câștig:

$$\Rightarrow \text{câștigul de distanță:} \quad \varepsilon = \frac{d_{\min}^2}{d'_{\min}^2} \quad (2.9)$$

$$\Rightarrow \text{câștigul asimptotic de codare:} \quad \gamma = \frac{\frac{d_{\min}^2}{E}}{\frac{d'_{\min}^2}{E'}} \quad (2.10)$$

unde d_{\min}^2 = pătratul distanței euclidiene minime dintre două secvențe posibile de vectori semnal din setul Ω , iar E = energia medie a vectorilor semnal din setul Ω .

Vectorul semnal s_i transmis la momentul de timp discret i depinde nu numai de simbolul sursei de date a_i transmis la același moment de timp discret i , ci și de un număr finit L de simboluri anterioare ale sursei de date:

$$s_i = f(a_i, a_{i-1}, a_{i-2}, \dots, a_{i-L}) \quad (2.11)$$

Se definește **starea transmițătorului TCM** la momentul de timp discret i astfel [7]:

$$\sigma_i = (a_{i-1}, a_{i-2}, \dots, a_{i-L}) \quad (2.12)$$

Astfel se obțin relațiile [7]:

$$s_i = f(a_i, \sigma_i) \quad (2.13)$$

$$\sigma_{i+1} = g(a_i, \sigma_i) \quad (2.14)$$

unde se presupune că funcțiile f și g sînt invariante în timp.

Funcția f arată că fiecare vector semnal depinde nu numai de simbolul corespondent al sursei de date ci și de starea transmițătorului TCM. La fiecare moment de timp discret i , vectorul semnal s_i este selectat dintr-o subconstelație de semnale

selectată de valoarea stării transmițătorului σ_i .

Funcția g arată evoluția stărilor transmițătorului TCM și descrie memoria transmițătorului TCM.

Modelul general al transmițătorului TCM este prezentat în Fig.2.1.

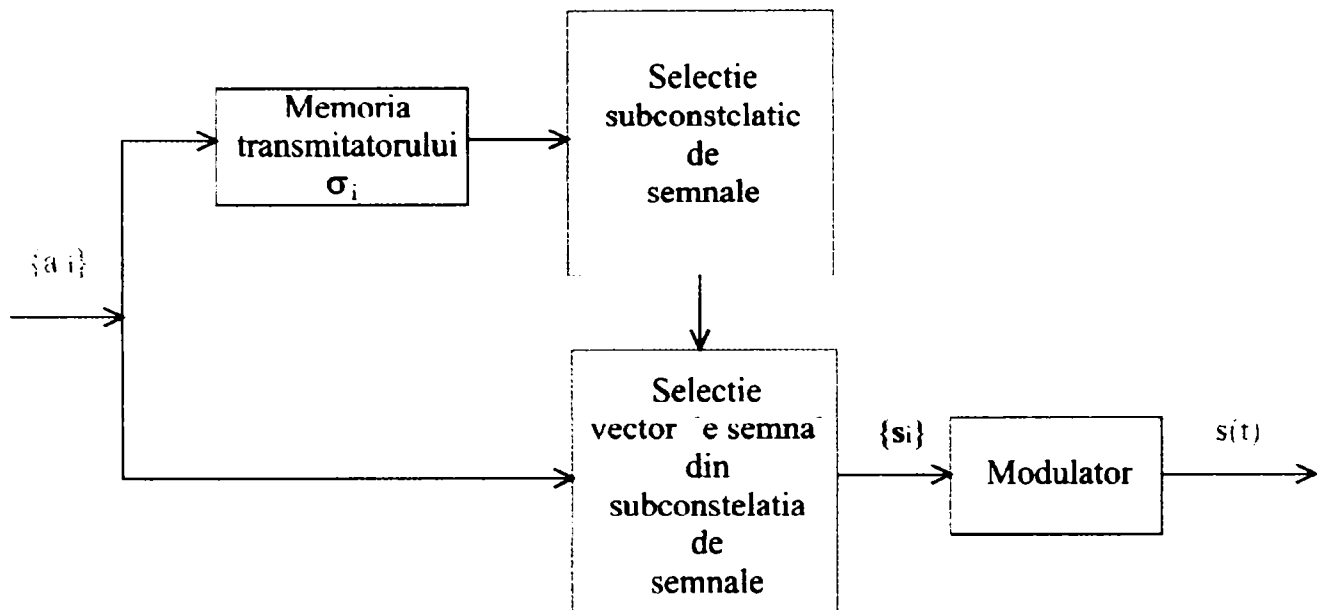


Fig.2.1 Modelul general al transmițătorului TCM.

2.2 Diagrama trellis

Pentru reprezentarea grafică a funcțiilor f și g se folosește o **diagramă trellis**.

Nodurile diagramei trellis sînt reprezentate prin valorile pe care le poate lua σ_i (stările transmițătorului TCM).

Fiecărui simbol a_i al sursei de date îi asociem o **ramură** care pornește de la un nod al diagramei trellis la un moment de timp discret i și care ajunge la un nod al diagramei trellis la momentul de timp discret $i+1$.

Funcția f determină care vector semnal s_i este asociat cu fiecare ramură de-a lungul diagramei trellis. Funcția g determină nodurile diagramei trellis.

Dacă avem o sursă de date care are $M'=2^{m'}$ simboluri (m' biți/simbol sursă) atunci din fiecare nod al diagramei trellis pornesc M' ramuri (1 ramură/simbol sursă).

Dacă două sau mai multe ramuri conectează aceleași perechi de noduri atunci apar **tranziții paralele**. Dacă 2 sau mai multe ramuri pornesc din același nod și ajung în același nod atunci avem **tranziții adiacente**.

2.3 Partționarea constelației de semnale

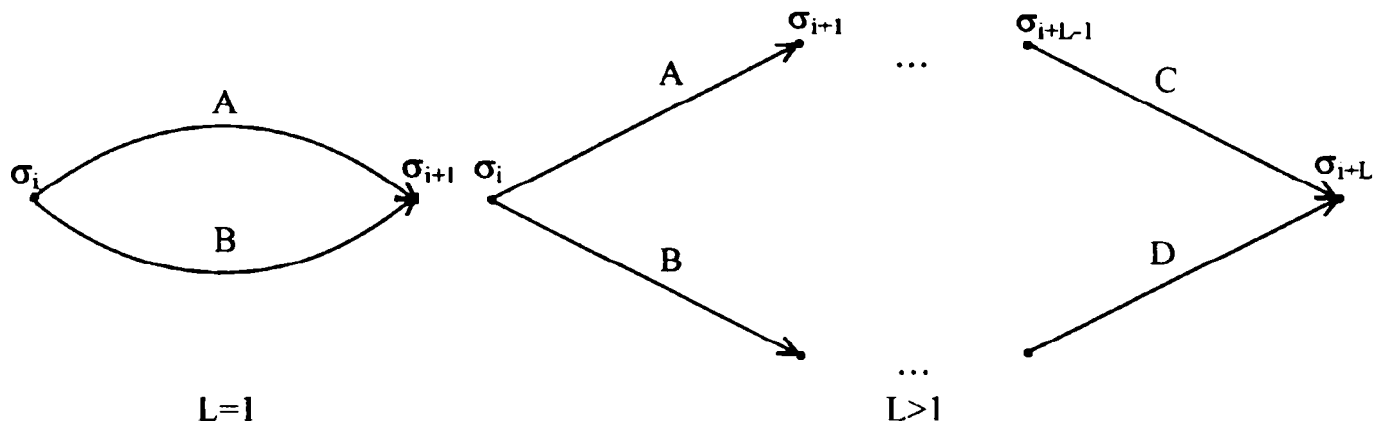
În cazul **detectiei simbol cu simbol (SSD)** diagrama trellis are la un moment de timp discret un singur nod și toate tranzițiile sunt paralele.

În cazul **detectiei de probabilitate condiționată maximă (MLD)** odată observată secvența de vectori semnal recepționați se caută traiectoria cea mai probabilă prin diagrama trellis.

Datorită zgomotului aditiv din canalul de comunicație traiectoria aleasă poate să difere de traiectoria corectă. Dacă traiectoria aleasă și traiectoria corectă diverg la

momentul de timp discret i și converg la momentul de timp discret $i+L$ atunci a avut loc o eroare de lungime L .

Atunci d_{\min} este egală cu distanța euclidiană minimă dintre vectorii semnal asociați cu o pereche de traiectorii prin diagrama trellis care formează o eroare de lungime L (Fig.2.2).



$$d_{\min}^2 = d^2(A, B)$$

$$d_{\min}^2 = d^2(A, B) + \dots + d^2(C, D)$$

unde X, Y sînt subseturi de vectori semnal asociați cu ramurile diagramei trellis și $d^2(X, Y)$ =distanța euclidiană minimă dintre vectorii semnal care aparțin lui X și vectorii semnal care aparțin lui Y .

Fig.2.2 Pereche de traiectorii care formează o eroare de lungime L .

Concluzia 2.3-Subsetul de vectori semnal asociați cu tranziții paralele trebuie să aibă o distanță euclidiană minimă cât mai mare [7].

Concluzia 2.4-Subsetul de vectori semnal asociați cu tranziții adiacente trebuie să aibă o distanță euclidiană minimă cât mai mare [7].

Pentru partiționarea optimă a unei constelații de semnale de mărime M se utilizează **tehnica lui Ungerboeck** (Fig.2.3) [12]:

- ◆ se partiționează succesiv constelația de semnale în 2, 4, 8, ... subconstelații de semnale de mărimi $\frac{M}{2}, \frac{M}{4}, \frac{M}{8}, \dots$ și cu distanțele euclidiene minime

$$d_{\min}^{(1)} < d_{\min}^{(2)} < d_{\min}^{(3)} < \dots,$$

- ◆ se aplică cele trei reguli ale lui Ungerboeck:

- ⇒ U1) pentru tranziții paralele sunt asigurați vectori semnal care aparțin aceleiași partiții,
- ⇒ U2) pentru tranziții adiacente sunt asigurați vectori semnal care aparțin partiției de mărime mai mare imediat următoare,
- ⇒ U3) toți vectorii semnal sunt utilizați cu aceeași probabilitate.

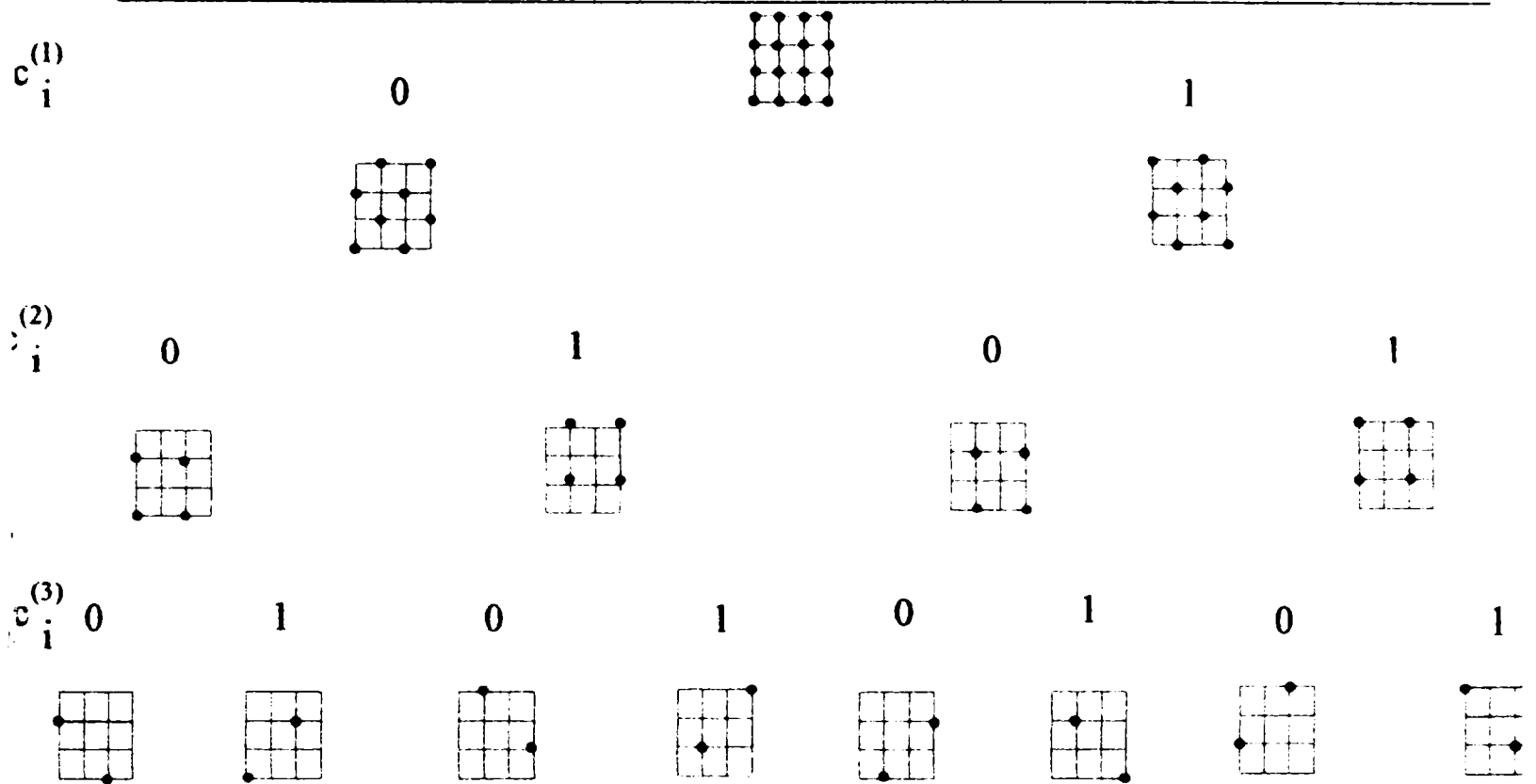


Fig.2.3 Partiționarea unei constelații de semnale de mărime $M=16$.

Concluzia 2.5-Cele trei idei de bază ale modulației codate trellis sunt următoarele:

- ◆ interdependența vectorilor de semnal care aparțin unei secvențe,
- ◆ extinderea constelației de semnale,
- ◆ partiționarea optimă a constelației de semnale.

2.4 Transmițătorul TCM

2.4.1. Reprezentarea Ungerboeck a transmițătorului TCM

Reprezentarea Ungerboeck a transmițătorului TCM modelează partea de memorie a transmițătorului TCM printr-un codor binar convoluțional [22].

Dacă a_i , simbolul sursei de date la momentul de timp discret i , poate lua $M'=2^{m'}$ valori distincte atunci el poate fi reprezentat ca un vector cuvînt de cod $\mathbf{b}_i = b_i^{(1)} b_i^{(2)} \dots b_i^{(m')}$ format din m' biți care se aplică la intrarea transmițătorului TCM.

În general \mathbf{s}_i , vectorul semnal la momentul de timp discret i , depinde de $v_j \geq 0$ biți anteriori ai intrării binare $j=1, 2, 3, \dots, m'$ a transmițătorului TCM:

$$\mathbf{s}_i = f(b_i^{(1)}, b_{i-1}^{(1)}, \dots, b_{i-v_1}^{(1)}; b_i^{(2)}, b_{i-1}^{(2)}, \dots, b_{i-v_2}^{(2)}; \dots; b_i^{(m')}, b_{i-1}^{(m')}, \dots, b_{i-v_{m'}}^{(m')}) \quad (2.15)$$

Transmițătorul TCM este format din două părți (Fig.2.4):

- codor binar convoluțional care are m' intrări binare $b_i^{(1)} b_i^{(2)} \dots b_i^{(m')}$ și m ieșiri binare $c_i^{(1)} c_i^{(2)} \dots c_i^{(m)}$ deci are rata de codare $\frac{m'}{m}$,
- dispozitiv de corespondență fără memorie (Memoryless Mapper) care asociază fiecărui vector cuvînt de cod $\mathbf{c}_i = c_i^{(1)} c_i^{(2)} \dots c_i^{(m)}$ format din m biți un vector semnal $\mathbf{s}_i \in \Omega$.

Definim:

⇒ memoria transmițătorului TCM $v = \sum_{j=1}^{m'} v_j$ (2.16)

⇒ numărul de stări ale transmițătorului TCM $V = 2^v$ (2.17)

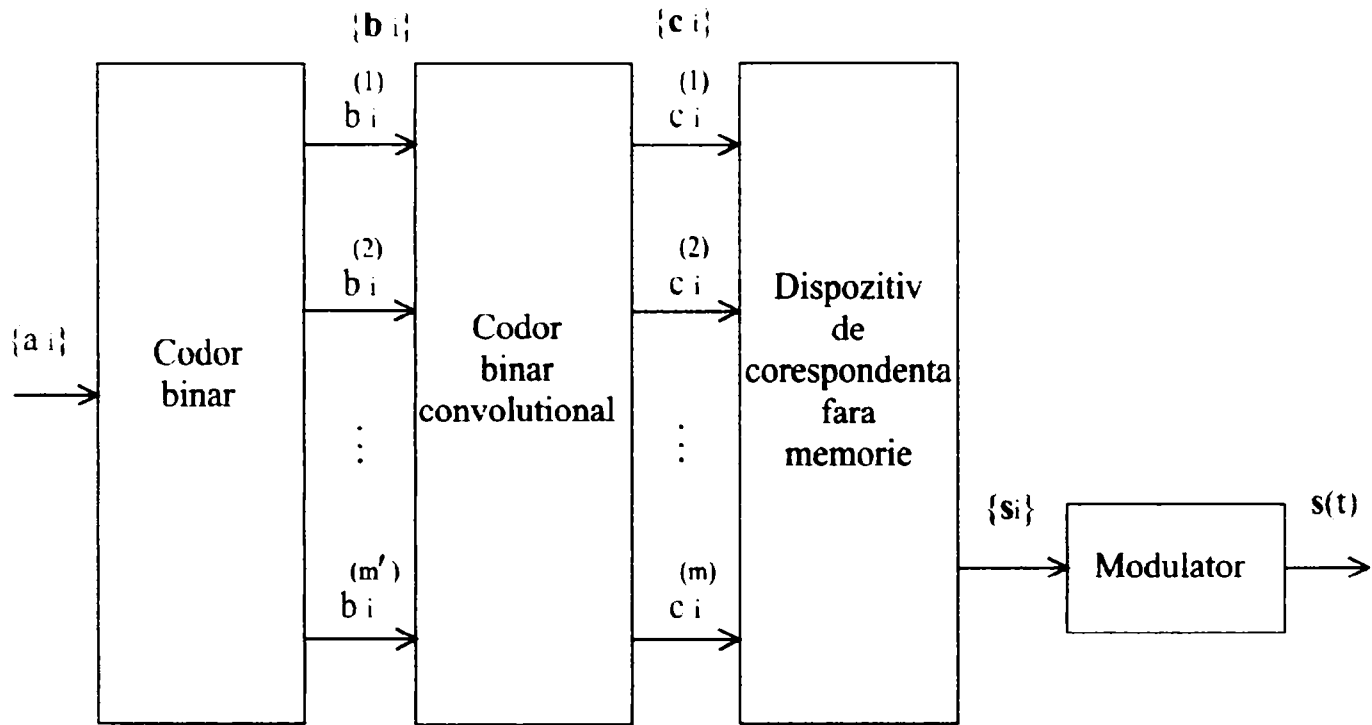


Fig.2.4 Reprezentarea Ungerboeck a transmițătorului TCM.

Un caz particular foarte important este transmițătorul Ungerboeck (Fig.2.5) care are proprietățile:

- ❖ $M = 2M'$ deci $m = m' + 1$
- ❖ Codorul binar convoluțional este liniar.

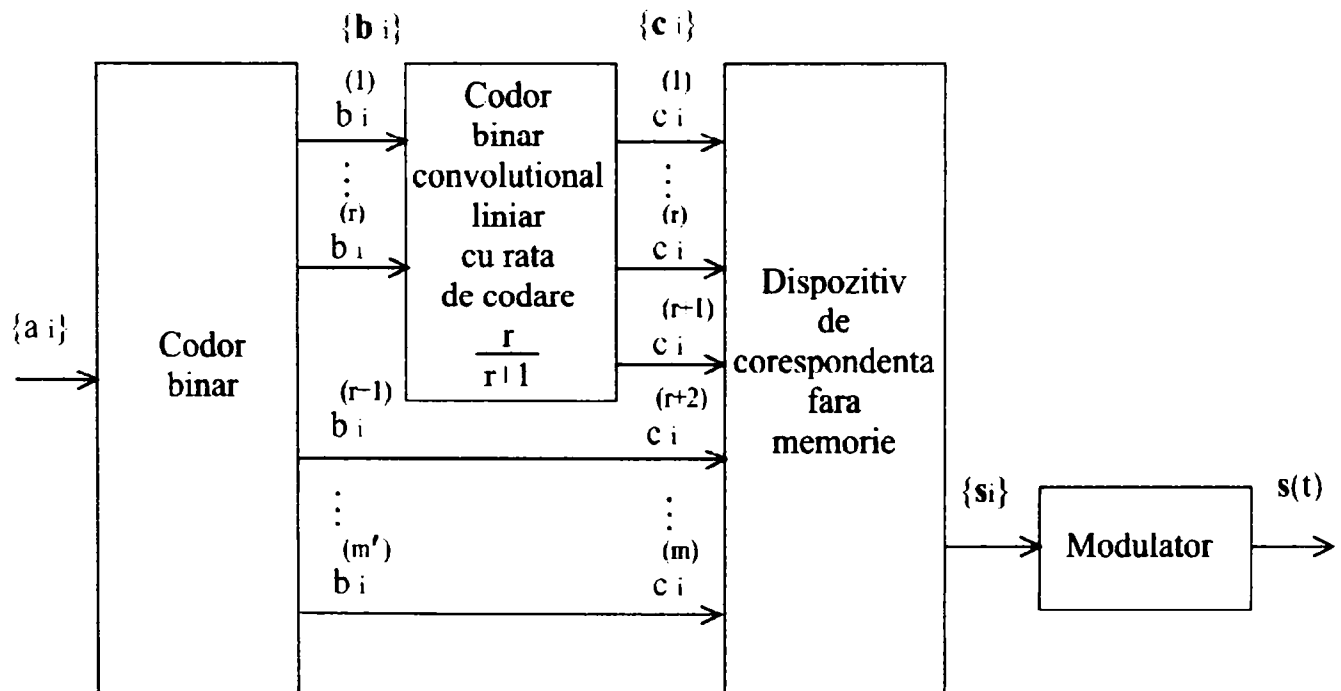


Fig.2.5 Schema bloc a unui transmițător Ungerboeck.

La fiecare moment de timp discret i codorul binar convoluțional liniar cu rata de codare $\frac{r}{r+1}$ recepționează r biți și generează $r+1$ biți codați, care selectează subconstelația de semnale din care se va alege un vector semnal și deplasează transmițătorul TCM în starea următoare.

Ceilalți $m'-r$ biți rămași necodați selectează un vector semnal din subconstelația de semnale selectată anterior.

Prezența biților necodați determină apariția tranzițiilor paralele în diagrama trellis ($2^{m'-r}$ tranziții paralele asociate cu fiecare ramură).

2.4.2. Reprezentarea Calderbank-Mazo a transmițătorului TCM

Reprezentarea Calderbank-Mazo a transmițătorului TCM se bazează pe o descriere analitică a funcției f [23]:

$$s_i = f(a_i, a_{i-1}, a_{i-2}, \dots, a_{i-L}) \quad (2.18)$$

Această relație poate fi privită ca o funcție de transfer a unui sistem cu memorie. În scopul obținerii unui câștig asimptotic de codare $\gamma > 1$ este necesar ca funcția f să fie neliniară. De fapt o funcție f liniară corespunde efectului interferenței intersimbol (ISI) și determină $\gamma = 1$.

De exemplu, dacă simbolurile sursei de date sunt $a_i \in \{-1, +1\}$ și funcția f este liniară de forma:

$$f(a_1, a_2, \dots, a_n) = h_1 a_1 + h_2 a_2 + \dots + h_n a_n \quad (2.19)$$

unde $h_1, h_2, \dots, h_n = \text{constante reale}$, atunci, alegând o traiectorie prin diagrama trellis corespunzătoare secvenței de simboluri $\{+1\}$ și o altă traiectorie corespunzătoare aceleiași secvențe de simboluri dar cu un singur simbol $\{+1\}$ schimbat în $\{-1\}$, obținem:

$$\left\{ \begin{array}{l} d_{\min}^2 = \|(h_1 + h_2 + \dots + h_n) - (-h_1 + h_2 + \dots + h_n)\|^2 + \\ \|(h_1 + h_2 + \dots + h_n) - (h_1 - h_2 + \dots + h_n)\|^2 + \dots + \\ \|(h_1 + h_2 + \dots + h_n) - (h_1 + h_2 + \dots - h_n)\|^2 = \\ = 4(h_1^2 + h_2^2 + \dots + h_n^2) \\ E = (h_1^2 + h_2^2 + \dots + h_n^2) \\ \frac{d_{\min}^2}{E} = 4 \end{array} \right. \quad (2.20)$$

În absența codării avem $h_1=1$ și $h_i=0, i>1$:

$$\begin{cases} d'_{\min}{}^2 = \|(h_1) - (-h_1)\|^2 = 4h_1^2 \\ E' = h_1^2 \\ \frac{d'_{\min}{}^2}{E'} = 4 \end{cases} \quad (2.21)$$

deci câștigul asimptotic de codare este $\gamma=1$.

Fie $\mathbf{a}=(a_1, a_2, \dots, a_n)$ un vector n -dimensional a cărui componente sînt variabile aleatoare independente, identic distribuite, care iau K valori reale dintr-un set A . În general funcția $f(\mathbf{a})$ este neliniară și poate fi scrisă ca o **serie ortogonală Volterra**:

$$f(\mathbf{a}) = k^{(0)} + \sum_{i=1}^n k_i^{(1)} Q_i^{(1)}(\mathbf{a}) + \sum_{i=1}^n \sum_{j=1}^n k_{ij}^{(2)} Q_{ij}^{(2)}(\mathbf{a}) + \dots \quad (2.22)$$

unde $Q_{i_1 i_2 \dots i_l}^{(l)}(\mathbf{a})$ = polinom de grad l în variabila $a_{i_1} a_{i_2} \dots a_{i_l}$ care satisface condițiile de ortogonalitate $E[Q_{i_1 i_2 \dots i_l}^{(l)}(\mathbf{a}) Q_{j_1 j_2 \dots j_m}^{(m)}(\mathbf{a})] = 0$ dacă $l \neq m$ sau dacă $l=m$ dar $j_1 j_2 \dots j_m$ nu este o permutare a lui $i_1 i_2 \dots i_l$ unde $l \leq n$ și $m \leq n$.

Dacă normalizăm polinoamele $Q_{i_1 i_2 \dots i_l}^{(l)}(\mathbf{a})$ obținem o **serie ortonormală Volterra**.

Teorema 2.1-Seria ortonormală Volterra $f(\mathbf{a})$ are K^n termeni [23].

Demonstrație-Se notează $j_1 j_2 \dots j_s$ cu $s \leq l$ indicii obținuți din indicii $i_1 i_2 \dots i_l$ după eliminarea repetițiilor. Se notează v_k =numărul de indici i egali cu $j_k, k=1, 2, \dots, s$.

Atunci se obține:

$$Q_{i_1 i_2 \dots i_l}^{(l)}(\mathbf{a}) = P_{v_1}(a_{i_1}) P_{v_2}(a_{i_2}) \dots P_{v_s}(a_{i_s}) \quad (2.23)$$

unde $v_1 + v_2 + \dots + v_s = l$ și $P_{v_k}(a_k)$ = polinom ortonormal de grad v_k în variabila a_k deci $E[P_{v_t}(a_{i_t}) P_{v_r}(a_{i_r})] = 0$ dacă $v_t \neq v_r, 1 \leq t, r \leq n$.

Se consideră monoamele liniar independente $f_0(\mathbf{a}), f_1(\mathbf{a}), \dots$ unde $\mathbf{a} = a_1, a_2, \dots, a_n$. Printr-o ortonormalizare Gram-Schmidt se obține:

$$\left\{ \begin{array}{l} P_0(\mathbf{a}) = f_0(\mathbf{a}) \\ \dots \\ P_k(\mathbf{a}) = \det \begin{bmatrix} f_k(\mathbf{a}) & f_{k-1}(\mathbf{a}) & f_0(\mathbf{a}) \\ E[f_{k-1}(\mathbf{a})f_k(\mathbf{a})] & E[f_{k-1}(\mathbf{a})f_{k-1}(\mathbf{a})] & E[f_{k-1}(\mathbf{a})f_0(\mathbf{a})] \\ \dots & \dots & \dots \\ E[f_0(\mathbf{a})f_k(\mathbf{a})] & E[f_0(\mathbf{a})f_{k-1}(\mathbf{a})] & E[f_0(\mathbf{a})f_0(\mathbf{a})] \end{bmatrix} \end{array} \right. \quad (2.24)$$

unde $k=1, 2, \dots$

Numărul maxim de polinoame $P_k(\mathbf{a})$ este egal cu $K-1$.

Polinoamele $Q_{i_1 i_2 \dots i_1}^{(1)}(\mathbf{a})$ se obțin ca produse de polinoame $P_k(\mathbf{a})$ deci combinând câte un element de pe următoarele linii:

$$\left\{ \begin{array}{l} 1 \\ P_1(\mathbf{a}_1) \ P_2(\mathbf{a}_1) \ \dots \ P_{K-1}(\mathbf{a}_1) \\ P_1(\mathbf{a}_2) \ P_2(\mathbf{a}_2) \ \dots \ P_{K-1}(\mathbf{a}_2) \\ \dots \\ P_1(\mathbf{a}_n) \ P_2(\mathbf{a}_n) \ \dots \ P_{K-1}(\mathbf{a}_n) \end{array} \right. \quad (2.25)$$

Numărul de produse de câte 1 polinom $P_k(\mathbf{a})$ este egal cu $1 + (K - 1)^1 C_n^1$.

Numărul de produse de câte 2 polinoame $P_k(\mathbf{a})$ este egal cu $(K - 1)^2 C_n^2$.

...

Numărul de produse de câte n polinoame $P_k(\mathbf{a})$ este egal cu $(K - 1)^n C_n^n$.

Numărul total de polinoame $Q_{i_1 i_2 \dots i_1}^{(1)}(\mathbf{a})$ este egal cu K^n (conform formulei lui Newton).

Corolarul 2.1-Dacă $f_i(\mathbf{a})=a^i$ atunci calculul polinoamelor $P_k(\mathbf{a})$ implică un număr finit de medii statistice ale variabilelor aleatoare a .

Corolarul 2.2-Dacă $f_i(\mathbf{a})=a^i$ atunci toate polinoamele $P_k(\mathbf{a})$ au media statistică 0 cu excepția polinomului $P_0(\mathbf{a})$ care are media statistică 1.

$$E[P_k(\mathbf{a})]=E[P_k(\mathbf{a})P_0(\mathbf{a})]= \begin{cases} 1, k = 0 \\ 0, 1 \leq k \leq K - 1 \end{cases} \quad (2.26)$$

Corolarul 2.3-Coeficienții $k_{i_1 i_2 \dots i_1}^{(1)}$ pot fi calculați cu formula:

$$k_{i_1 i_2 \dots i_1}^{(1)} = E[f(\mathbf{a})Q_{i_1 i_2 \dots i_1}^{(1)}(\mathbf{a})] \quad (2.27)$$

Forma matricială a seriei ortonormale Voterra este:

$$\mathbf{f}=\mathbf{Q}\mathbf{k} \quad (2.28)$$

unde:

\mathbf{f} =vector coloană K^n dimensional format din valorile funcției $f(\mathbf{a})$:

$$\mathbf{f}=\begin{bmatrix} f(1,1,\dots,1) \\ f(-1,1,\dots,1) \\ \dots \\ f(1,1,\dots,-1) \end{bmatrix} \quad (2.29)$$

\mathbf{k} =vector coloană K^n dimensional format din valorile coeficienților $k_{i_1 i_2 \dots i_n}^{(1)}$:

$$\mathbf{k}=\begin{bmatrix} k^{(0)} \\ k_1^{(1)} \\ k_2^{(1)} \\ \dots \\ k_{123\dots n}^{(n)} \end{bmatrix} \quad (2.30)$$

\mathbf{Q} =matrice $K^n \times K^n$ dimensională formată din valorile polinoamelor $Q_{i_1 i_2 \dots i_n}^{(1)}(\mathbf{a})$.

Datorită ortonormalității polinoamelor $Q_{i_1 i_2 \dots i_n}^{(1)}(\mathbf{a})$ există relația:

$$\mathbf{Q}^T \mathbf{Q}=\mathbf{K}^n \mathbf{I} \quad (2.31)$$

unde \mathbf{I} este matricea identitate $K^n \times K^n$ dimensională.

Dacă se înmulțește relația (2.28) la stînga cu \mathbf{Q}^T se obține [23]:

$$\mathbf{k}=\mathbf{K}^{-n} \mathbf{Q}^T \mathbf{f} \quad (2.32)$$

În concluzie vectorul \mathbf{k} este o transformată a vectorului \mathbf{f} . Tipul transformatei depinde de matricea \mathbf{Q} adică de distribuția variabilelor aleatoare \mathbf{a} [24].

În general \mathbf{s}_n , vectorul semnal la momentul de timp discret n , depinde de m biți de intrare curenți (a_1, a_2, \dots, a_m) și v biți de intrare anteriori ($a_{m+1}, a_{m+2}, \dots, a_{m+v}$) ai transmițătorului TCM (Fig.2.6):

$$\begin{aligned}
s_n &= f(a_1, a_2, \dots, a_n) = \\
&= c_0 + \sum_{i=1}^n c_i a_i + \sum_{\substack{i=1 \\ i < j}}^n \sum_{j=1}^n c_{ij} a_i a_j + \sum_{\substack{i=1 \\ i < j < l}}^n \sum_{j=1}^n \sum_{l=1}^n c_{ijl} a_i a_j a_l + \dots + c_{12\dots n} a_1 a_2 \dots a_n \quad (2.33)
\end{aligned}$$

unde: $n=m+v$, v =numărul de elemente de memorare a codului TCM, $a_i \in \{0, 1\}$, $i=1, 2, \dots, n$ și $c_0, c_1, \dots, c_{123\dots n}$ =coeficienți reali.

Pentru descrierea analitică a unui cod TCM este mai util să utilizăm pentru biții de intrare a_i valorile $\{-1, +1\}$ în loc de valorile $\{0, 1\}$. De aceea se realizează următoarea conversie:

$$b_i = 1 - 2a_i, \quad i=1, 2, \dots, n \quad (2.34)$$

Se obține [23]:

$$\begin{aligned}
s_n &= f(b_1, b_2, \dots, b_n) = \\
&= d_0 + \sum_{i=1}^n d_i b_i + \sum_{\substack{i=1 \\ i < j}}^n \sum_{j=1}^n d_{ij} b_i b_j + \sum_{\substack{i=1 \\ i < j < l}}^n \sum_{j=1}^n \sum_{l=1}^n d_{ijl} b_i b_j b_l + \dots + d_{12\dots n} b_1 b_2 \dots b_n \quad (2.35)
\end{aligned}$$

unde $d_0, d_1, \dots, d_{123\dots n}$ =coeficienți reali.

Ecuția (2.35) poate fi scrisă sub formă matricială:

$$\mathbf{f} = \mathbf{Bd} \quad (2.36)$$

unde:

\mathbf{f} =vector coloană 2^n dimensional format din valorile funcției f :

$$\mathbf{f} = \begin{bmatrix} f(1, 1, \dots, 1) \\ f(-1, 1, \dots, 1) \\ \dots \\ f(1, 1, \dots, -1) \end{bmatrix} \quad (2.37)$$

\mathbf{d} =vector coloană 2^n dimensional format din valorile coeficienților d :

$$\mathbf{d} = \begin{bmatrix} d_0 \\ d_1 \\ \dots \\ d_{123\dots n} \end{bmatrix} \quad (2.38)$$

\mathbf{B} =matrice $2^n \times 2^n$ dimensională a cărei linie i este $[1 \quad b_1 \quad \dots \quad b_{12\dots n}]$ unde b_i își ia valorile din argumentul funcției f de pe linia i a matricei \mathbf{f} .

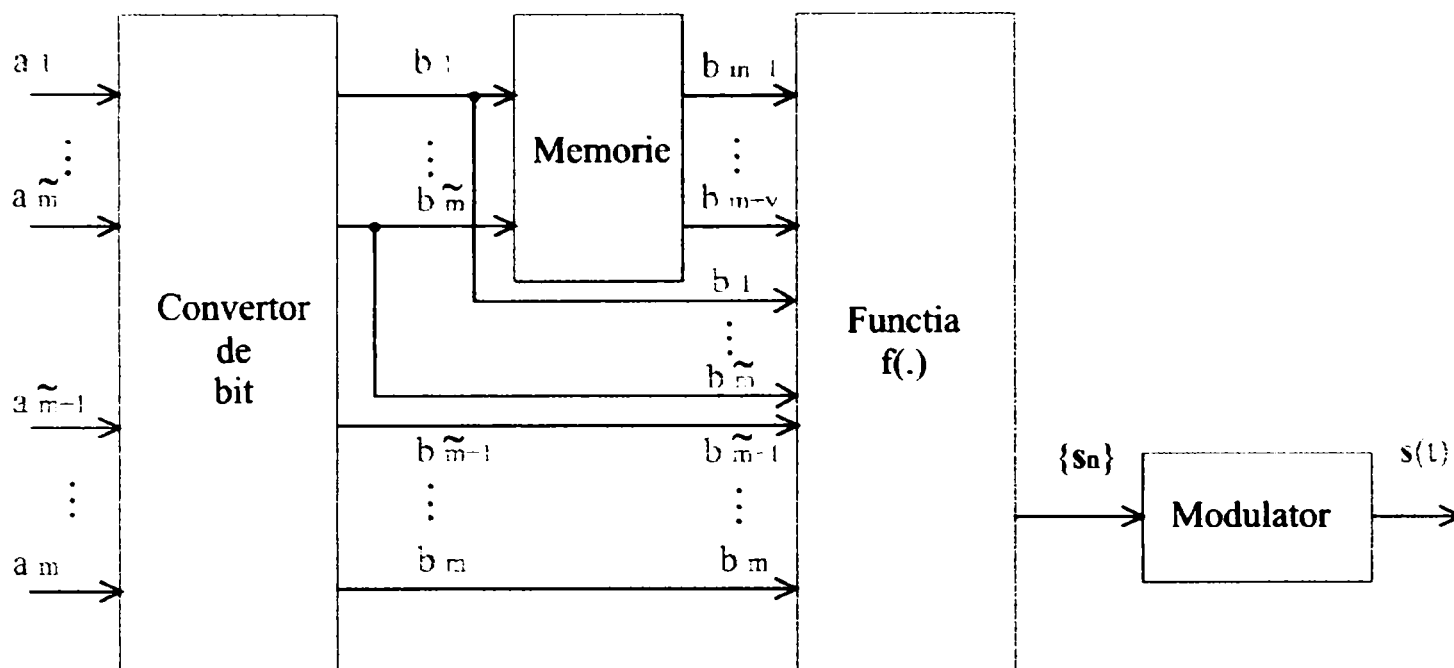


Fig.2.6 Schema bloc a unui transmițător TCM Calderbank-Mazo.

În [23] se arată că matricea \mathbf{B} este ortogonală deci se obține relația:

$$\mathbf{B}^{-1} = \frac{1}{2^n} \mathbf{B}^T \quad (2.39)$$

Soluția ecuației matriciale (2.36) este:

$$\mathbf{d} = \frac{1}{2^n} \mathbf{B}^T \mathbf{f} \quad (2.40)$$

2.5 Receptorul TCM

Sarcina receptorului TCM este de a estima traiectoria, prin diagrama trellis, a secvenței de vectori semnal transmiși. Astfel se asociază cu fiecare ramură a diagramei trellis un număr numit **metrica de ramură** și se caută traiectoria prin diagrama trellis cu metrica totală minimă.

2.5.1 Receptorul TCM cu detecție de probabilitate condiționată maximă (MLD)

Se consideră o secvență de K vectori semnal $\mathbf{s} = \{\mathbf{s}_i\}_{i=0}^{K-1}$ unde fiecare vector semnal \mathbf{s}_i poate lua M valori. Acești vectori semnal \mathbf{s}_i modulează un semnal purtător $p(t)$ și semnalul de linie transmis este:

$$\mathbf{s}(t) = \sum_{i=0}^{K-1} \mathbf{s}_i p(t - iT_s) \quad (2.41)$$

unde T_s este durata unui simbol al sursei de date a_i .

Semnalul de linie recepționat este egal cu:

$$\mathbf{r}(t) = \mathbf{s}(t) + \mathbf{n}(t) \quad (2.42)$$

unde $\mathbf{n}(t)$ este zgomotul aditiv al canalului de comunicație.

Sarcina receptorului TCM este de a procesa semnalul de linie recepționat $\mathbf{r}(t)$ și de a determina un estimat $\hat{\mathbf{s}} = \{\hat{\mathbf{s}}_i\}_{i=0}^{K-1}$ a secvenței de vectori semnal transmiși $\mathbf{s} = \{\mathbf{s}_i\}_{i=0}^{K-1}$ care minimizează probabilitatea erorii de secvență $P(e)$.

Se presupune că la transmisie toți vectorii semnal \mathbf{s}_i sunt egali ca probabilitate [7].

La detecția de probabilitate condiționată maximă (MLD) se compară probabilitățile condiționate ale semnalului de linie recepționat $\mathbf{r}(t)$ față de toate secvențele posibil transmise de vectori semnal și se alege secvența de vectori semnal care maximizează aceste probabilități condiționate.

Receptorul TCM alege $\hat{\mathbf{s}}$ dacă:

$$P[\mathbf{r}(t)|\hat{\mathbf{s}}] = \max_{\text{toate } \mathbf{s}} P[\mathbf{r}(t)|\mathbf{s}] \quad (2.43)$$

Forma acestor probabilități condiționate $P[\mathbf{r}(t)|\mathbf{s}]$ depinde de canalul de comunicație. Pentru un canal de comunicație cu **zgomot aditiv, alb, gaussian**, se consideră că semnalul recepționat $\mathbf{r}(t)$ este egal cu suma unor **elemente (eșantioane) de semnal (signal chips) $\mathbf{R}(t)$** , fiecare de durată T_s :

$$\mathbf{r}(t) = \sum_{i=0}^{K-1} \mathbf{R}(t - iT_s) \quad (2.44)$$

Astfel se obține:

$$\log P[\mathbf{r}(t)|\mathbf{s}] = \sum_{i=0}^{K-1} \log P[\mathbf{R}(t - iT_s) | \mathbf{s}_i] = C - \sum_{i=0}^{K-1} \|\mathbf{R}(t - iT_s) - \mathbf{s}_i p(t - iT_s)\|^2 \quad (2.45)$$

unde C este o constantă și $\|f(t)\|^2 = \int |f(t)|^2 dt$.

Metrica asociată cu distanța dintre semnalul de linie recepționat $\mathbf{r}(t)$ și secvența de vectori semnal transmiși $\mathbf{s} = \{\mathbf{s}_i\}_{i=0}^{K-1}$ este definită ca:

$$m[\mathbf{r}(t), \mathbf{s}] = \sum_{i=0}^{K-1} \|\mathbf{R}(t - iT_s) - \mathbf{s}_i p(t - iT_s)\|^2 \quad (2.46)$$

La detecția de probabilitate condiționată maximă (MLD) se compară metricile asociate cu distanțele dintre semnalul de linie recepționat și toate secvențele posibil transmise de vectori semnal și se alege secvența de vectori semnal care minimizează aceste metrici.

Receptorul TCM alege $\hat{\mathbf{s}}$ dacă:

$$m[\mathbf{r}(t), \hat{\mathbf{s}}] = \min_{\text{toate } \mathbf{s}} m[\mathbf{r}(t), \mathbf{s}] = \min_{\text{toate } \mathbf{s}_i} \sum_{i=0}^{K-1} \|\mathbf{R}(t - iT_s) - \mathbf{s}_i p(t - iT_s)\|^2 \quad (2.47)$$

2.5.2 Receptorul TCM cu detecție simbol cu simbol (SSD)

La detecția simbol cu simbol (SSD) minimul sumei din relația (2.47) este egal cu suma minimelor:

$$\begin{aligned} \min_{\text{toate } \mathbf{s}} m[\mathbf{r}(t), \mathbf{s}] &= \\ &= \min_{\text{toate } \mathbf{s}_i} \sum_{i=0}^{K-1} \|\mathbf{R}(t - iT_s) - \mathbf{s}_i p(t - iT_s)\|^2 = \\ &= \sum_{i=0}^{K-1} \min_{\text{toate } \mathbf{s}_i} \|\mathbf{R}(t - iT_s) - \mathbf{s}_i p(t - iT_s)\|^2 \end{aligned} \quad (2.48)$$

La detecția simbol cu simbol (SSD) se compară distanțele euclidiene dintre semnalul de linie recepționat la momentul de timp discret i și toate semnalele de linie posibil transmise la momentul de timp discret i și alege semnalul de linie care minimizează aceste distanțe euclidiene.

Receptorul TCM alege $\hat{\mathbf{s}}_i$ dacă:

$$\|\mathbf{R}(t - iT_s) - \hat{\mathbf{s}}_i p(t - iT_s)\|^2 = \min_{\text{toate } \mathbf{s}_i} \|\mathbf{R}(t - iT_s) - \mathbf{s}_i p(t - iT_s)\|^2 \quad (2.49)$$

În practică se consideră eșantioane de semnal în locul semnalelor continue. Rezultă o simplificare, avantaj plătit prin pierderea optimalității în cazul în care apare o alunecare în timp.

Receptorul TCM alege $\hat{\mathbf{s}}_i$ dacă:

$$\|r_i - \hat{s}_i p_i\|^2 = \min_{\text{toate } s_i} \|r_i - s_i p_i\|^2 \quad (2.50)$$

Pentru $p_i=1$ se definește **metrica** asociată cu distanța dintre eșantionul semnalului de linie recepționat r_i și cu vectorul semnal transmis s_i :

$$m[r_i, s_i] = \|r_i - s_i\|^2 \quad (2.51)$$

Dacă se consideră eșantioane de semnal în locul semnalelor continue atunci la detecția simbol cu simbol (SSD) compară metricile asociate cu distanțele dintre eșantionul semnalului recepționat r_i și toți vectorii semnal posibil transmiși și alege vectorul semnal care minimizează aceste metrici.

Receptorul TCM alege \hat{s}_i dacă:

$$m[r_i, \hat{s}_i] = \min_{\text{toate } s_i} m[r_i, s_i] \quad (2.52)$$

2.5.3 Algoritmul Viterbi

Întrucât fiecare vector semnal poate lua M valori, numărul total de secvențe de vectori semnal de lungime K posibil transmise este M^K .

Receptorul TCM va calcula metricile pentru toate secvențele posibil transmise de vectori semnal și va alege secvența de vectori semnal avînd metrica minimă (secvența optimă de vectori semnal).

Această procedură are următoarele caracteristici:

- ◆ **întîrziere mare** - pentru a alege secvența optimă de vectori semnal trebuie să așteptăm pînă cînd întreaga secvență de lungime K de vectori semnal este recepționată ceea ce implică o întîrziere totală de KT_s secunde care în unele aplicații poate fi inacceptabilă,
- ◆ **memorie mare** - trebuiesc memorate M^K secvențe posibile de vectori semnal,
- ◆ **complexitate** - pentru a alege secvența optimă de vectori semnal trebuiesc realizate multe comparații și calcule.

Concluzia 2.6-Procedura prin care receptorul TCM va calcula metricile pentru toate secvențele posibil transmise de vectori semnal și va alege secvența de vectori semnal avînd metrica minimă, nu este practică și din acest motiv se utilizează **algoritmul Viterbi**, în care numărul de calcule și memoria necesară pentru alegerea secvenței optime de vectori semnal crește liniar cu lungimea K a secvenței de vectori semnal [7]. Totuși algoritmul Viterbi nu rezolvă problema întîrzierii, datorită faptului că pentru a minimiza o funcție trebuie să așteptăm pînă cînd este observată toată funcția.

Algoritmul Viterbi a fost creat în anul 1967 pentru decodarea codurilor convoluționale și la scurt timp după apariția sa s-a observat că este bazat pe principiile **programării dinamice**, o tehnică generală de rezolvare a problemelor de minimizare [25].

Aplicarea algoritmului Viterbi pentru decodarea TCM a început în anul 1984 (ITU-T V.32) și se bazează pe utilizarea diagramei trellis [15]. Algoritmul Viterbi determină traiectoria prin diagrama trellis care are metrica totală minimă, prin deplasarea secvențială pe diagrama trellis de la o stare la alta.

În fiecare stare i , deci în fiecare interval de T_s secunde, de exemplu de la iT_s la $(i+1)T_s$, receptorul TCM observă eșantionul r_i al semnalului de linie recepționat și calculează **metrica de ramură** $m[r_i, s_i] = \|r_i - s_i\|^2$ pentru toate ramurile diagramei trellis care pornesc din starea i .

Metrica de traiectorie pentru o anumită traiectorie din diagrama trellis care trece printr-un anumit nod este egală cu suma **metricilor parțiale de traiectorie** pentru porțiunea de traiectorie din stînga nodului și pentru porțiunea de traiectorie din dreapta nodului. Dintre toate traiectoriile posibile din stînga nodului receptorul TCM alege traiectoria cu cea mai mică metrică parțială de traiectorie denumită **traiectoria supraviețuitoare** pentru acel nod. Pentru fiecare nod receptorul TCM va memora traiectoria supraviețuitoare și metrica parțială de traiectorie pentru ea.

De exemplu, fie un nod oarecare A al diagramei trellis în starea σ_i . Receptorul TCM va calcula pentru fiecare din ramurile care pornesc din nodurile în starea σ_{i-1} și ajung în nodul A o metrică parțială de traiectorie, egală cu suma dintre metrica ramurii și metrica parțială de traiectorie a nodului origine. Traiectoria supraviețuitoare pentru nodul A este aleasă ca traiectoria cu cea mai mică metrică parțială de traiectorie (Fig.2.7).

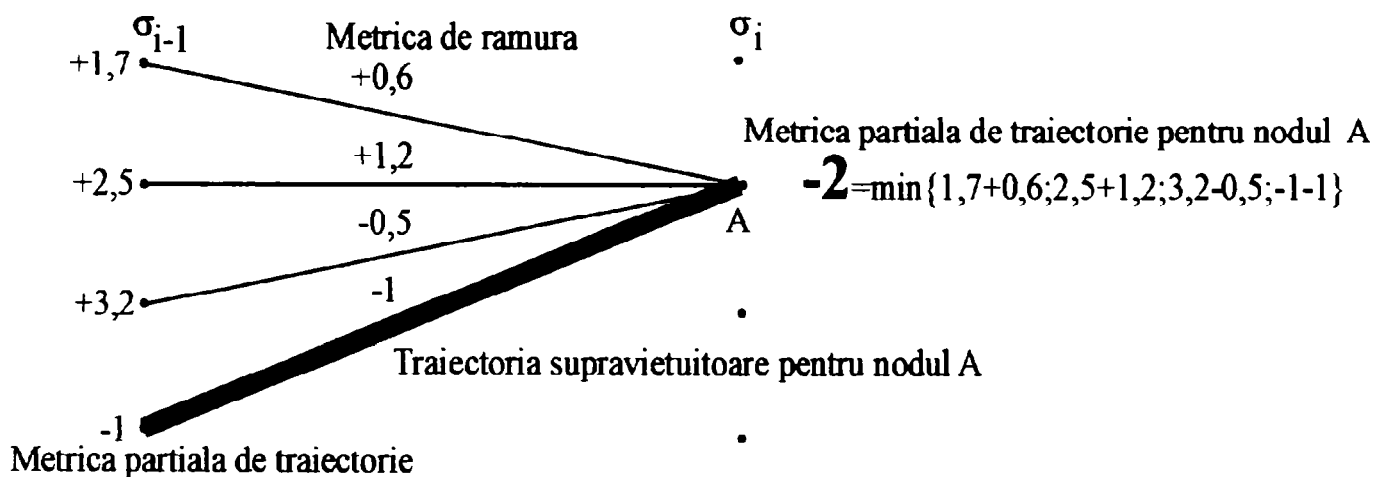


Fig.2.7 Calculul traiectoriei supraviețuitoare și metricii parțiale de traiectorie pentru nodul A.

Pentru fiecare nod al diagramei trellis în starea σ_i , algoritmul Viterbi calculează și memorează traiectoria supraviețuitoare și metrica parțială de traiectorie. După aceea algoritmul Viterbi trece la starea σ_{i+1} și așa mai departe. După starea σ_{i+K-1} algoritmul Viterbi alege traiectoria prin diagrama trellis cu metrica totală minimă.

Modelul general al unui receptor TCM este prezentat în Fig.2.8:

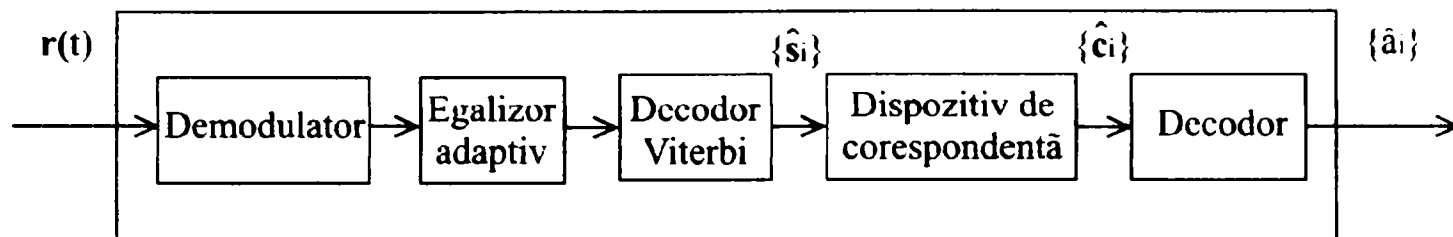


Fig.2.8 Modelul general al unui receptor TCM.

În cazul în care diagrama trellis conține tranziții paralele, deci mai mulți vectori semnal (subconstelație de semnale) sînt asociați cu o ramură, apare o modificare minoră în algoritmul Viterbi prezentat anterior: la calculul metricii de ramură se va determina vectorul semnal, din subconstelația de semnale asociată cu ramura respectivă, cel mai apropiat de eșantionul r_i al semnalului de linie recepționat. Astfel metrica de ramură este egală cu:

$$\min_{\substack{s_i \in \text{subconstelației de semnale} \\ \text{asociată cu ramura respectivă}}} \|r_i - s_i\|^2 \quad (2.53)$$

Pentru a rezolva problema întârzierii se utilizează **algoritmul Viterbi trunchiat**. Se utilizează o adîncime de decizie d și se forțează decizia în starea σ_i pentru toate traiectoriile prin diagrama trellis pînă în starea σ_{i-d} .

Concluzia 2.7-Algoritmul Viterbi trunchiat are următoarele avantaje și dezavantaje [7]:

⇒ **avantaje:**

- ◆ rezolvă problema întârzierii - în loc să așteptăm KT_s secunde pînă cînd întreaga secvență de vectori semnal este recepționată se așteaptă doar dT_s secunde ($d < K$) după care se estimează cîte un vector semnal la fiecare T_s secunde,
- ◆ necesită o memorie mai mică decît algoritmul Viterbi normal - pentru fiecare stare a diagramei trellis trebuiesc memorate traiectoriile supraviețuitoare și metricile parțiale de traiectorie pentru d stări anterioare.

⇒ **dezavantaje:**

- ◆ crește probabilitatea erorii de secvență (sau de simbol).

Concluzia 2.8-Întârzierea introdusă de algoritmul Viterbi trunchiat (dT_s secunde) poate crea probleme dacă se folosește un egalizor adaptiv. Deciziile algoritmului adaptiv se întorc la egalizor după un număr de intervale T_s . Pentru evitarea acestui lucru o soluție este utilizarea unei detecții simbol cu simbol preliminar, pentru adaptarea egalizorului adaptiv. Astfel deciziile luate în detecția simbol cu simbol vor fi corelate cu deciziile luate în algoritmul Viterbi trunchiat [7].

CAPITOLUL III

Performanțele sistemelor de transmisii de date cu modulație codată trellis

3.1 Limita superioară a probabilității erorii de secvență

Se consideră reprezentarea Ungerboeck a unui transmițător TCM care are rata de codare a codorului binar convoluțional egală cu $\frac{m'}{m}$, unde $m=m'+1$ (vezi Fig.2.5).

O eroare de lungime L apare când receptorul TCM alege în locul secvenței de vectori semnal transmiși $S_L=(s_i, s_{i+1}, \dots, s_{i+L-1})$ o altă secvență de vectori semnal $S'_L=(s'_i, s'_{i+1}, \dots, s'_{i+L-1})$, care corespunde unei traiectorii prin diagrama trellis care diverge de la traiectoria corectă la un anumit moment de timp discret și converge la traiectoria corectă după exact L stări.

Dacă presupunem o transmisie suficient de lungă, atunci **$P(e)$ probabilitatea erorii de secvență (de simbol)** este [7]:

$$P(e) \leq \sum_{L=1}^{+\infty} \sum_{S_L} \sum_{S'_L \neq S_L} P[S_L] P[S'_L \rightarrow S_L] \quad (3.1)$$

unde $P[S_L]$ = probabilitatea de a transmite S_L iar $P[S'_L \rightarrow S_L]$ = probabilitatea ca atunci când se transmite S_L să se aleagă S'_L .

Întrucât avem o corespondență unu la unu între s_i = vectorul semnal și c_i = vectorul cuvînt de cod se obține pentru probabilitatea erorii de secvență (de simbol) [7]:

$$P(e) \leq \sum_{L=1}^{+\infty} \sum_{C_L} \sum_{C'_L \neq C_L} P[C_L] P[C'_L \rightarrow C_L] \quad (3.2)$$

unde $C_L=(c_i, c_{i+1}, \dots, c_{i+L-1})$ este secvența de vectori cuvinte de cod transmise, $C'_L=(c'_i, c'_{i+1}, \dots, c'_{i+L-1})$ este secvența aleasă de vectori cuvinte de cod, $P[C_L]$ = probabilitatea de a transmite C_L iar $P[C'_L \rightarrow C_L]$ = probabilitatea ca atunci când se transmite C_L să se aleagă C'_L .

Dacă $E_L=(e_i, e_{i+1}, \dots, e_{i+L-1})$ este secvența de vectori eroare atunci C'_L secvența aleasă de vectori cuvinte de cod se poate exprima astfel:

$$C'_L = C_L \oplus E_L \quad (3.3)$$

Dacă $P[E_L] = \sum_{C_L} P[C_L] P[C'_L \rightarrow C_L]$ este probabilitatea medie a unei erori de lungime L cauzată de secvența de vectori eroare E_L atunci se obține pentru

probabilitatea erorii de secvență (de simbol) [7]:

$$P(e) \leq \sum_{L=1}^{+\infty} \sum_{E_L \neq 0} P[E_L] \quad (3.4)$$

Dacă avem un canal de comunicație cu zgomot aditiv, alb, gaussian cu densitatea spectrală de putere $\frac{N_0}{2}$ și utilizăm o detecție de probabilitate condiționată maximă (MLD) atunci putem utiliza **limita Bhattacharyya** pentru probabilitatea ca atunci când se transmite C_L să se aleagă C'_L :

$$P[C'_L \rightarrow C_L] \leq \exp\left\{\frac{-1}{4N_0} \|f(C_L) - f(C'_L)\|^2\right\} \quad (3.5)$$

Astfel limita pentru $P[E_L]$ probabilitatea medie a unei erori de lungime L cauzată de secvența de vectori eroare E_L devine:

$$P[E_L] \leq W[E_L] \quad (3.6)$$

unde $W[E_L] = \sum_{C_L} P[C_L] \exp\left\{\frac{-1}{4N_0} \|f(C_L) - f(C'_L)\|^2\right\}$.

Probabilitatea erorii de secvență (de simbol) devine [7]:

$$P(e) \leq \sum_{L=1}^{+\infty} \sum_{E_L \neq 0} W[E_L] \quad (3.7)$$

Dacă se presupune că simbolurile sursei de date a_i sunt echiprobabile ($P(a_i) = \frac{1}{M'} = 2^{-m'}$ unde m' este numărul de biți folosiți la codarea simbolurilor sursei) se definesc $G(e_i)$ **matricile ponderilor vectorilor eroare** e_i astfel încât $[G(e_i)]_{p,q}$ elementul de pe lina i și coloana j este [7]:

$$[G(e_i)]_{p,q} = \begin{cases} 0, & \text{daca nu exista tranzitii } p \rightarrow q \\ \frac{1}{M'} \sum_{c_{p \rightarrow q}} D \|f(c_{p \rightarrow q}) - f(c_{p \rightarrow q} \oplus e_i)\|^2, & \text{daca exista tranzitii } p \rightarrow q \end{cases} \quad (3.8)$$

unde D este o nedeterminată care poate fi considerată ca operația de întârziere cu o unitate de timp și $c_{p \rightarrow q}$ este vectorul cuvînt de cod corespunzător tranziției din starea p în stare q (suma apare din cauza tranzițiilor paralele posibile între starea p și starea q). Prezența biților necodați convoluțional în transmițătorul Ungerboeck determină apariția tranzițiilor paralele în diagrama trellis ($2^{m'-r}$ tranziții paralele / fiecare ramură).

Pentru $W[\mathbf{E}_L]$ se obține expresia [7]:

$$W[\mathbf{E}_L] = \frac{1}{N} \mathbf{1}^T \prod_{i=0}^{L-1} G(\mathbf{e}_i)_{p,q} \mathbf{1} \quad (3.9)$$

unde $\mathbf{1}$ este vectorul coloană N -dimensional cu toate elementele egale cu 1 și $[\prod_{i=0}^{L-1} G(\mathbf{e}_i)]_{p,q}$ reprezintă distanțele euclidiene implicate în tranzițiile din starea p în starea q în exact L pași.

3.1.1 Diagrama de stare a erorii

Vectorii eroare $\mathbf{e}_i, \mathbf{e}_{i+1}, \dots, \mathbf{e}_{i+L-1}$ din secvența \mathbf{E}_L nu sînt independenți. **Diagrama de stare a erorii** este un graf care descrie dependența dintre vectorii \mathbf{e}_i .

Datorită liniarității codului binar convoluțional vectorii cuvinte de cod \mathbf{c}_i formează un grup aditiv și comutativ C . Vectorii eroare \mathbf{e}_i fiind diferențe ale vectorilor cuvinte de cod \mathbf{c}_i sînt și ei elemente din C . Deci în diagrama de stare a erorii, conexiunile dintre vectorii eroare \mathbf{e}_i sînt aceleași ca și conexiunile dintre vectorii cuvinte de cod \mathbf{c}_i .

Diagrama de stare a erorii are o structură determinată doar de codul binar convoluțional deci diferă de diagrama de stare a codului doar prin denumirile stărilor și prin etichetele de ramură, care sunt **matricile $G(\mathbf{e}_i)$ a ponderilor vectorilor eroare \mathbf{e}_i** .

Concluzia 3.1-Probabilitatea erorii de secvență (de simbol) este limitată superior de expresia [7]:

$$P(e) \leq T(D) \Bigg|_{D = \exp\left\{\frac{-1}{4N_0}\right\}} \quad (3.10)$$

unde:

$T(D)$ = funcția de transfer scalară a diagramei de stare a erorii:

$$T(D) = \frac{1}{N} \mathbf{1}^T \mathbf{G} \mathbf{1} \quad (3.11)$$

\mathbf{G} = funcția de transfer matricială a diagramei de stare a erorii:

$$\mathbf{G} = \sum_{L=1}^{+\infty} \sum_{\mathbf{E}_L \neq 0} \prod_{i=0}^{L-1} G(\mathbf{e}_i) \quad (3.12)$$

3.1.2 Considerații de simetrie a funcției de transfer matriciale a diagramei de stare a erorii

Se consideră următoarele limite:

$[G]_{p,q}$ = limita superioară a probabilității de apariție a unei erori care începe în starea p și se termină în starea q,

$[\frac{1}{N}G\mathbf{1}]_p$ = limita superioară a probabilității de apariție a unei erori care începe în starea p,

$[\frac{1}{N}\mathbf{1}^T G]_q$ = limita superioară a probabilității de apariție a unei erori care se termină în starea q.

Concluzia 3.2-Dacă funcția de transfer matricială a diagramei de stare a erorii G are toate elementele egale atunci toate traiectoriile din diagrama trellis contribuie în mod egal la $P(e)$. În acest caz în analiza unei scheme TCM se poate considera o singură traiectorie ca referință și se poate calcula $P(e)$ pentru orice secvență transmisă. **O condiție suficientă dar nu și necesară** ca G să aibă toate elementele egale este ca toate matricile $G(e_i)$ să aibă toate elementele egale [7].

Funcția de transfer matricială a diagramei de stare a erorii G este uniformă pe linii dacă $\mathbf{1}$ este valoare principală a G și $G\mathbf{1}=C_1\mathbf{1}$ unde $C_1=ct.$ (suma elementelor de pe orice linie a G este independentă de numărul liniei).

Funcția de transfer matricială a diagramei de stare a erorii G este uniformă pe coloane dacă $\mathbf{1}$ este valoare principală a G^T și $\mathbf{1}^T G = \mathbf{1}^T C_2$ unde $C_2=ct.$ (suma elementelor de pe orice coloană a G este independentă de numărul coloanei).

Funcția de transfer matricială a diagramei de stare a erorii G este uniformă pe linii sau pe coloane dacă $\mathbf{1}$ este valoare principală a G sau a lui G^T și $\mathbf{1}^T G \mathbf{1} = N C_3$ unde $C_3=ct.$ (suma elementelor de pe orice linie sau coloană a G este independentă de numărul liniei sau coloanei).

Concluzia 3.3-Dacă funcția de transfer matricială a diagramei de stare a erorii G este uniformă pe linii sau pe coloane atunci toate stările din diagrama de stare a erorii contribuie în mod egal la $P(e)$. În acest caz în analiza unei scheme TCM se poate considera o singură stare ca referință pentru calculul $P(e)$ în loc să se considere toate perechile posibile de stări. Mai exact trebuie considerate pentru calculul $P(e)$ doar erorile care încep dintr-o stare fixată (dacă G este uniformă pe linii) sau doar erorile care se termină într-o stare fixată (dacă G este uniformă pe coloane). **O condiție necesară și suficientă** ca G să fie uniformă pe linii sau pe coloane este ca toate matricile $G(e_i)$ să fie uniforme pe linii sau pe coloane. În acest caz spunem că **schema TCM este uniformă** și funcția de transfer a diagramei de stare a erorii poate fi calculată utilizând etichete de ramură scalare în diagrama de stare a erorii [7].

Matricile $G(e_i)$ sînt uniforme pe linii dacă tranzițiile care încep din orice stare a diagramei de stare a erorii transportă același set de etichete de ramură.

Matricile $G(e_i)$ sînt uniforme pe coloane dacă tranzițiile care se termină în orice stare a diagramei de stare a erorii transportă același set de etichete de ramură.

Fie C_0 submulțimea formată din $M'=2^{m'}$ vectori cuvinte de cod \mathbf{c} , corespunzătoare tuturor stărilor nule ale codorului binar convoluțional liniar.

Fie $C_0+\checkmark$ submulțimea formată din vectorii cuvinte de cod \checkmark , corespunzători tuturor stărilor nenule ale codorului binar convoluțional liniar.

Lema 3.1-Submulțimea C_0 este un grup comutativ și există o singură submulțime $C_0+\checkmark$ asociată submulțimii C_0 . Fiecare stare a codorului convoluțional liniar generează un cuvânt de cod care aparține submulțimii C_0 sau submulțimii $C_0+\checkmark$.

Orice linie din matricile $G(\mathbf{e}_i)$ corespunde unei anumite stări a codorului binar convoluțional liniar deci corespunde la C_0 sau $C_0+\checkmark$.

Concluzia 3.4-O condiție suficientă pentru ca o schemă TCM să fie uniformă este:

$$\sum_{\mathbf{c} \in C_0} D \|f(\mathbf{c}) - f(\mathbf{c} \oplus \mathbf{e})\|^2 = \sum_{\mathbf{c} \in C_0} D \|f(\mathbf{c} \oplus \checkmark) - f(\mathbf{c} \oplus \checkmark \oplus \mathbf{e})\|^2, \text{ pentru orice } \mathbf{e} \quad (3.13)$$

Fie transformata T definită astfel:

$$f(\mathbf{c}) \rightarrow f(\mathbf{c} \oplus \mathbf{e}), \text{ pentru orice } \mathbf{c} \in C_0 \quad (3.14)$$

Concluzia 3.5-O condiție suficientă pentru ca o schemă TCM să fie uniformă este ca transformata T să reprezinte o izometrie (de exemplu o rotație, o reflexie sau combinații ale acestora).

În cazul unei scheme TCM uniforme definim $W(\mathbf{e})$ **profilul ponderilor vectorului eroare \mathbf{e}** :

$$W(\mathbf{e}) = \frac{1}{M'} \sum_{\mathbf{c} \in C_0} D \|f(\mathbf{c}) - f(\mathbf{c} \oplus \mathbf{e})\|^2 \quad (3.15)$$

sau

$$W(\mathbf{e}) = \frac{1}{M'} \sum_{\mathbf{c}(v)} D \|f(\mathbf{c}(v)) - f(\mathbf{c}(v) \oplus \mathbf{e})\|^2 \quad (3.16)$$

unde v este ordinul componentei vectorului cuvânt de cod \mathbf{c} care variază în izometria T , iar $\mathbf{c}(v)$ este \mathbf{c} cu componenta de ordin v aleasă arbitrar „0” sau „1”.

Concluzia 3.6-În cazul unei scheme TCM uniforme probabilitatea erorii de secvență (de simbol) este limitată superior de expresia [7]:

$$P(\mathbf{e}) \leq T(D) \quad (3.17)$$

unde $T(D) = \sum_{\mathbf{e}} W(\mathbf{e})$.

3.1.3 Considerații asimptotice a funcției de transfer matriciale a diagramei de stare a erorii

$[G]_{p,q}$ limita superioară a probabilității de apariție a unei erori care începe în starea p și se termină în starea q , poate fi scrisă ca o serie de puteri în nedeterminata D , cu termenul general $v_{p,q}(d_1)D^{d_1^2}$, unde:

- $v_{p,q}(d_1) = \frac{1}{M^{L_1}} n_1 + \frac{1}{M^{L_2}} n_2 + \dots =$ numărul mediu de traiectorii care se întâlnesc la distanța d_1 asociate cu orice traiectorie din diagrama trellis care începe în starea p și se termină în starea q ,
- $n_1, n_2, \dots =$ numărul de traiectorii eroare care diverg de la traiectoria corectă în starea p și converg la traiectoria corectă în starea q după L_1, L_2, \dots intervale de simbol,
- $\frac{1}{M^{L_1}}, \frac{1}{M^{L_2}}, \dots =$ probabilitatea secvenței de simboluri ale sursei de date de lungime L_1, L_2, \dots

Astfel se obține:

$$\Rightarrow v_p(d_1) = \sum_q v_{p,q}(d_1) = \text{numărul mediu de traiectorii care se întâlnesc la distanța}$$

d_1 asociate cu orice traiectorie din diagrama trellis care începe în starea p și se termină în orice stare,

$$\Rightarrow N(d_1) = \frac{1}{N} \sum_{p,q} v_{p,q}(d_1) = \text{numărul mediu de traiectorii care se întâlnesc la}$$

distanța d_1 asociate cu orice traiectorie din diagrama trellis.

Concluzia 3.7-Pentru un raport semnal/zgomot mare ($N_0 \rightarrow 0$) singurul element din G funcția de transfer matricială a diagramei de stare a erorii care contribuie semnificativ la $P(e)$ este $v_{p,q}(d_{\min})D^{d_{\min}^2}$ [7]. În acest caz probabilitatea erorii de secvență (de simbol) **tinde asimptotic** către:

$$N(d_{\min})D^{d_{\min}^2} \Bigg|_{D=\exp\left\{\frac{-1}{4N_0}\right\}} \quad (3.18)$$

unde d_{\min} = distanța euclidiană minimă dintre două secvențe posibile de vectori semnal din setul Ω (constelația de semnale extinsă).

Concluzia 3.8-Dacă în locul relației (3.4) utilizăm următoarea limită **Bhattacharyya** pentru probabilitatea ca atunci când se transmite C_L să se aleagă C'_L :

$$P[C'_L \rightarrow C_L] \leq \frac{1}{2} \operatorname{erfc}\left(\frac{d_{\min}}{2\sqrt{N_0}}\right) \exp\left(\frac{d_{\min}^2}{4N_0}\right) \exp\left\{\frac{-1}{4N_0} \|f(C_L) - f(C'_L)\|^2\right\} \quad (3.19)$$

atunci în locul relației (3.17) se obține o altă limită superioară pentru probabilitatea erorii de secvență (de simbol):

$$P(e) \leq \frac{1}{2} \operatorname{erfc}\left(\frac{d_{\min}}{2\sqrt{N_0}}\right) \exp\left(\frac{d_{\min}^2}{4N_0}\right) T(D) \Bigg|_{D=\exp\left\{\frac{-1}{4N_0}\right\}} \quad (3.20)$$

Concluzia 3.9-Pentru un raport semnal/zgomot mare ($N_0 \rightarrow 0$), probabilitatea erorii de secvență (de simbol) **ține asimptotic** către:

$$\frac{1}{2} \operatorname{erfc}\left(\frac{d_{\min}}{2\sqrt{N_0}}\right) N(d_{\min}) D^{d_{\min}^2} \Bigg|_{D=\exp\left\{\frac{-1}{4N_0}\right\}} \quad (3.21)$$

3.1.4 Limita superioară a probabilității erorii de bit

Pentru a calcula limita superioară a probabilității erorii de bit P_b trebuie făcută următoarea modificare în matricile $G(e_i)$ [7]: $[G(e_i)]_{p,q}$ trebuie multiplicat cu un factor I^ε unde ε reprezintă numărul de biți eronați asociați cu vectorul eroare e_i și cu tranziția din starea p în starea q în diagrama trellis.

$[G]_{p,q}$ limita superioară a probabilității de apariție a unei erori care începe în starea p și se termină în starea q , poate fi scrisă ca o serie de puteri în nedeterminatele D și I , cu termenul general $\mu_{p,q}(d_l, \varepsilon_h) D^{d_l^2} I^{\varepsilon_h}$ unde:

$\mu_{p,q}(d_l, \varepsilon_h)$ = numărul mediu de traiectorii care se întîlnesc la distanța d_l , avînd ε_h biți eronați și asociate cu orice traiectorie din diagrama trellis care începe în starea p și se termină în starea q .

Dacă se calculează derivata termenului general în raport cu I , pentru $I=1$ se obține numărul estimat de biți eronați per ramură, generați de traiectoriile incorecte care încep în starea p și se termină în starea q . Dacă se împarte cu m' și se însumează, se obține limita superioară a probabilității erorii de bit P_b .

Concluzia 3.10-Limita superioară pentru P_b este:

$$P_b \leq \frac{1}{m'} \frac{\partial T(D)}{\partial I} \Big|_{I=1, D=\exp\left\{\frac{-1}{4N_0}\right\}} \quad (3.22)$$

Concluzia 3.11-Dacă în locul relației (3.4) utilizăm relația (3.19) la **limita Bhattacharyya** pentru probabilitatea ca atunci când se transmite C_L să se aleagă C'_L se obține o altă limită superioară pentru probabilitatea erorii de bit:

$$P_b \leq \frac{1}{2m'} \operatorname{erfc}\left(\frac{d_{\min}}{2\sqrt{N_0}}\right) \exp\left(\frac{d_{\min}^2}{4N_0}\right) \frac{\partial T(D)}{\partial I} \Big|_{I=1, D=\exp\left\{\frac{-1}{4N_0}\right\}} \quad (3.23)$$

3.1.5 Considerații de convergență a funcției de transfer scalare a diagramei de stare a erorii

$T(D)$ sau $T(D,I)$ funcția de transfer scalară a diagramei de stare a erorii este o **serie convergentă** pentru un raport semnal/zgomot suficient de mare.

Există situații în care funcția scalară a diagramei de stare a erorii este o **serie neconvergentă** deoarece unul sau mai mulți coeficienți ai săi au valori infinite. Asemenea situații pot apare pentru scheme TCM în care 2 secvențe de vectori semnal cu distanță euclidiană finită corespund la 2 secvențe de simboluri ale sursei de date cu o distanță Hamming infinită [7]. Aceste scheme TCM se numesc **catastrofice** deoarece un număr finit de erori ale canalului de comunicație cauzează un număr infinit de erori ale simbolurilor sursei de date [26].

3.1.6 Cazul unui canal de comunicație general

Fie $\mathbf{R}_L = (\mathbf{r}_1, \mathbf{r}_{i+1}, \dots, \mathbf{r}_{i+L-1})$ secvența de vectori semnal recepționați. Metrica care semnifică distanța euclidiană dintre \mathbf{R}_L secvența de vectori semnal recepționați și \mathbf{S}_L secvența de vectori semnal transmiși și care este utilizată de receptorul TCM este:

$$m[\mathbf{R}_L, \mathbf{S}_L] = \sum_{i=0}^{L-1} m[\mathbf{r}_i, \mathbf{s}_i] \quad (3.24)$$

Receptorul TCM alege \mathbf{S}'_L dacă:

$$m[\mathbf{R}_L, \mathbf{S}'_L] = \min_{\text{toate } \mathbf{S}_L} m[\mathbf{R}_L, \mathbf{S}_L] \quad (3.25)$$

Probabilitatea erorii de secvență (de simbol) este limitată superior conform relațiilor (3.4) și (3.7).

Dacă canalul de comunicație nu este un canal cu zgomot aditiv, alb, gaussian și detecția nu este totdeauna de probabilitate condiționată maximă (MLD) atunci se poate utiliza **limita Chernoff** pentru probabilitatea ca atunci când se transmite C_L să se aleagă C'_L :

$$P[C'_L \rightarrow C_L] \leq E \left\{ e^{\lambda \sum_{i=1}^L [m[r_i, f(c_i \oplus e_i)] - m[r_i, f(c_i)]]} \mid c_i \right\} \quad (3.26)$$

unde $\lambda > 0$ este parametrul Chernoff care nu depinde de i .

Dacă se consideră un canal de comunicație fără memorie (memoryless communications channel) atunci:

$$E \left\{ e^{\lambda \sum_{i=1}^L [m[r_i, f(c_i \oplus e_i)] - m[r_i, f(c_i)]]} \mid c_i \right\} = \prod_{i=1}^L E \left\{ e^{\lambda [m[r_i, f(c_i \oplus e_i)] - m[r_i, f(c_i)]]} \mid c_i \right\} \quad (3.27)$$

Se definește:

$$\exp \{-\Delta_\lambda [f(c_i), f(c_i \oplus e_i)]\} = E \left\{ e^{\lambda [m[r_i, f(c_i \oplus e_i)] - m[r_i, f(c_i)]]} \mid c_i \right\} \quad (3.28)$$

unde parametrul λ ar trebui ales astfel încât să minimizeze limita Chernoff (3.26).

Astfel limita pentru $P[E_L]$ probabilitatea medie a unei erori de lungime L cauzată de secvența de vectori eroare E_L devine:

$$P[E_L] \leq W[E_L] = \sum_{C_L} P[C_L] \exp \{-\Delta_\lambda [f(C_L), f(C_L \oplus E_L)]\} \quad (3.29)$$

Dacă se presupune că simbolurile sursei de date a_i sunt echiprobabile ($P(a_i) = \frac{1}{M'} = 2^{-m'}$ unde m' este numărul de biți folosiți la codarea simbolurilor sursei) se definesc $G(e_i)$ **matricile ponderilor vectorilor eroare** e_i astfel încât $[G(e_i)]_{p,q}$ elementul de pe lina i și coloana j este [7]:

$$[G(e_i)]_{p,q} = \frac{1}{M'} \sum_{c_{p \rightarrow q}} \exp \{-\Delta_\lambda [f(c_{p \rightarrow q}), f(c_{p \rightarrow q} \oplus e_i)]\} \quad (3.30)$$

unde D este o nedeterminată care poate fi considerată ca operația de întârziere cu o unitate de timp și $c_{p \rightarrow q}$ este vectorul cuvînt de cod corespunzător tranziției din starea p în stare q (suma apare din cauza tranzițiilor paralele posibile între starea p și starea q). Prezența biților necodați convoluțional în transmițătorul TCM determină apariția tranzițiilor paralele în diagrama trellis.

Concluzia 3.12-Pentru modelul canalului de comunicație general, parametrul Δ_λ este echivalent cu d_{\min}^2 , pătratul distanței euclidiene minime dintre două secvențe posibile de vectori semnal din setul Ω (constelația de semnale extinsă), pentru modelul canalului de comunicație cu zgomot aditiv, alb, gaussian.

3.2 Limita inferioară a probabilității erorii de secvență

Se consideră cazul unui canal de comunicație cu zgomot aditiv, alb, gaussian. Calculul limitei superioare a probabilității erorii de secvență (de simbol) se bazează pe faptul că $P(e)$ a oricărui receptor TCM real este mai mare decât $P(e)$ a oricărui receptor TCM ideal care utilizează informațiile furnizate de un observator.

Receptorul TCM ideal operează astfel: observatorul analizează o secvență lungă de vectori semnal, sau echivalent o secvență lungă de cuvinte de cod transmise $C_K=(c_i, c_{i+1}, \dots, c_{i+K-1})$ și îi comunică receptorului TCM ideal că secvența de vectori cuvinte de cod transmise a fost $C'_K=(c'_i, c'_{i+1}, \dots, c'_{i+K-1})$, dacă C'_K are cea mai mică distanță euclidiană față de C_K (nu neapărat egală cu d_{\min} = distanța euclidiană minimă dintre două secvențe posibile de vectori semnal din setul Ω , constelația de semnale extinsă).

Probabilitatea erorii de secvență (de simbol) pentru receptorul TCM ideal este [7]:

$$P_{\text{ideal}}(e) = \frac{1}{2} \sum_{C_L} P[C_K] \operatorname{erfc}\left(\frac{\|f(C_K) - f(C'_K)\|}{2\sqrt{N_0}}\right) \geq \frac{1}{2} \sum_{C_L} I[C_K] P[C_K] \operatorname{erfc}\left(\frac{d_{\min}}{2\sqrt{N_0}}\right) \quad (3.31)$$

unde:

$$I[C_K] = \begin{cases} 1, \text{pt. } d_{\min} = \min_{C_K} \|f(C_K) - f(C'_K)\| \\ 0, \text{rest} \end{cases} \quad (3.32)$$

Concluzia 3.13-Probabilitatea erorii de secvență (de simbol) pentru receptorul TCM real este limitată inferior astfel [7]:

$$P(e) \geq \frac{1}{2} \Psi \operatorname{erfc}\left(\frac{d_{\min}}{2\sqrt{N_0}}\right) \quad (3.33)$$

unde $\Psi = \frac{1}{2} \sum_{C_L} I[C_K] P[C_K]$ este probabilitatea ca la orice moment de timp discret, o

traietorie aleasă aleator prin diagrama trellis, să aibă o altă traietorie, care diverge de la ea la acel moment de timp discret și converge la ea mai târziu, astfel încât distanța euclidiană dintre ele să fie egală cu d_{\min} .

$\Psi = 1$ dacă pentru orice traietorie prin diagrama trellis, la orice moment de timp discret, există o altă traietorie, care diverge de la ea la acel moment de timp discret și converge la ea mai târziu, astfel încât distanța euclidiană dintre ele să fie egală cu d_{\min}

(în general această proprietate nu este adevărată).

O condiție suficientă pentru ca $\psi = 1$ este ca toate traiectoriile din diagrama trellis să contribuie în mod egal la $P(e)$ [7]. **O condiție suficientă** pentru ca $\psi = 1$ este ca G să aibă toate elementele egale [7]. **O condiție suficientă** pentru ca $\psi = 1$ este ca toate matricile $G(e_i)$ să aibă toate elementele egale [7].

Se notează:

m' = numărul de biți folosiți la codarea simbolurilor sursei,

Λ = lungimea minimă a evenimentului eroare care produce d_{\min} ,

$N_{\Lambda}(d_{\min})$ = numărul de traiectorii de lungime Λ care au o traiectorie cu care se întîlnesc la distanța d_{\min} .

Cu aceste notații rezultă:

$N2^{m'\Lambda}$ = numărul de traiectorii de lungime Λ care încep din orice stare,

$\frac{N_{\Lambda}(d_{\min})}{N2^{m'\Lambda}}$ = este probabilitatea ca la orice moment de timp discret, o traiectorie

aleasă aleator prin diagrama trellis, să aibă o altă traiectorie, care diverge de la ea la acel moment de timp discret și converge la ea mai târziu, astfel încît distanța euclidiană dintre ele să fie egală cu d_{\min} și lungimea lor să fie Λ .

Astfel se obține [7]:

$$\Psi \geq \frac{N_{\Lambda}(d_{\min})}{N2^{m'\Lambda}} \quad (3.34)$$

Concluzia 3.13-Probabilitatea erorii de secvență (de simbol) pentru receptorul TCM real este limitată inferior astfel [7]:

$$P(e) \geq \frac{1}{2} \frac{N_{\Lambda}(d_{\min})}{N2^{m'\Lambda}} \operatorname{erfc}\left(\frac{d_{\min}}{2\sqrt{N_0}}\right) \quad (3.35)$$

3.2.1 Limita inferioară a probabilității erorii de bit

Concluzia 3.14-Probabilitatea erorii de bit este limitată inferior astfel:

$$P_b \geq \frac{1}{2m'} \Psi \operatorname{erfc}\left(\frac{d_{\min}}{2\sqrt{N_0}}\right) = \frac{1}{2m'} \frac{N_{\Lambda}(d_{\min})}{N2^{m'\Lambda}} \operatorname{erfc}\left(\frac{d_{\min}}{2\sqrt{N_0}}\right) \quad (3.36)$$

3.3 Calculul funcției de transfer scalară a diagramei de stare a erorii

Funcția de transfer scalară a diagramei de stare a erorii $T(D,I)$ se calculează astfel:

- ◆ din diagrama de stare a erorii se calculează funcția de transfer scalară $T(D,I)$ prin metode bazate pe soluția unui sistem de ecuații liniare sau prin tehnici de reducere a grafurilor,

- ◆ se calculează matricile $G(\mathbf{e}_i)$ a ponderilor vectorilor eroare \mathbf{e}_i (sau în cazul unei scheme TCM uniforme se calculează profilurile $W(\mathbf{e}_i)$ a ponderilor vectorilor eroare \mathbf{e}_i),
- ◆ se înlocuiesc etichetele formale ale funcției de transfer $T(D,I)$ cu matricile ponderilor $G(\mathbf{e}_i)$ sau profilurile ponderilor $W(\mathbf{e}_i)$ vectorilor eroare \mathbf{e}_i după ce în prealabil s-au înmulțit cu I^e .

3.4 Calculul distanței euclidiene minime

3.4.1 Calculul distanței euclidiene minime utilizând diagrama de stare a erorii

Se consideră $G(\mathbf{e}_i)$ matricile ponderilor vectorilor eroare \mathbf{e}_i . În general elementele lor sînt sume de termeni generați de tranziții paralele. Aceste tranziții paralele apar datorită prezenței biților necodați convoluțional în transmițătorul TCM. Pentru calculul d_{\min} , este suficient să considerăm pentru elementele matricilor $G(\mathbf{e}_i)$ a ponderilor vectorilor eroare \mathbf{e}_i , în locul sumelor de termeni, doar un singur termen și anume acela cu exponentul mai mic (întrucît ne interesează calculul lui d_{\min}).

Funcția de transfer scalară $T(D)$ a diagramei de stare a erorii poate fi scrisă ca o serie de genul [7]:

$$T(D) = N(d_{\min})D^{d_{\min}^2} + N(d_{\text{next}})D^{d_{\text{next}}^2} + \dots \quad (3.37)$$

unde d_{next} este după d_{\min} următoarea distanță euclidiană dintre două traiectorii din diagrama trellis care formează un eveniment eroare.

Se definesc funcțiile $\Phi_1(D)$ și $\Phi_2(D)$ [7]:

$$\Phi_1(D) = \ln \left[\frac{T(eD)}{T(D)} \right] \quad (3.38)$$

$$\Phi_2(D) = \frac{\ln[T(D)]}{\ln D} \quad (3.39)$$

Se arată că funcțiile $\Phi_1(D)$ și $\Phi_2(D)$ au următoarele proprietăți [7]:

- ⇒ funcția $\Phi_1(D)$ descrește monoton către d_{\min}^2 cînd $D \rightarrow 0$, deci pentru orice $D > 0$ funcția $\Phi_1(D)$ va furniza o limită superioară pentru d_{\min}^2 ,
- ⇒ funcția $\Phi_2(D)$ crește monoton către d_{\min}^2 cînd $D \rightarrow 0$, deci pentru orice $D > 0$ funcția $\Phi_2(D)$ va furniza o limită inferioară pentru d_{\min}^2 .

Concluzia 3.15-Dacă considerăm două secvențe de valori pozitive, descrescătoare către 0 ale nedeterminatei D atunci funcțiile $\Phi_1(D)$ și $\Phi_2(D)$ furnizează două secvențe de valori care converg către d_{\min}^2 .

În cazul schemelor TCM uniforme, funcția de transfer scalară $T(D)$ a diagramei de stare a erorii poate fi calculată utilizând etichete de ramură scalare în diagrama de stare a erorii. Aceste etichete de ramură scalare sînt egale cu suma elementelor de pe orice linie sau coloană a matricilor $G(e_i)$ a ponderilor vectorilor eroare e_i . Pentru calculul d_{\min} , este suficient să considerăm pentru etichetele de ramură scalare din diagrama de stare a erorii, în locul sumelor de termeni, doar un singur termen și anume acela cu exponentul mai mic (întrucît ne interesează calculul lui d_{\min}).

Se definește $w(e)$ **ponderea euclidiană a vectorului eroare e** [7]:

$$w(e) = \min_{\mathbf{c} \in C_0} \|f(\mathbf{c}) - f(\mathbf{c} \oplus \mathbf{e})\|^2 \quad (3.40)$$

Concluzia 3.16-În cazul schemelor TCM uniforme, funcția de transfer scalară $T(D)$ a diagramei de stare a erorii poate fi calculată utilizând etichete de ramură scalare în diagrama de stare a erorii pentru care se consideră valorile $D^{w(e)}$ [7].

3.4.2 Algoritmul Saxona-Mulligan-Wilson

Pentru fiecare pereche de ramuri dintr-o secțiune a diagramei trellis se definește o distanță euclidiană între vectorii semnal care etichetează ramurile respective.

Dacă există tranziții paralele atunci fiecare ramură va fi asociată cu o subconstelație de semnale. În acest caz va fi utilizată distanța euclidiană minimă dintre oricare doi vectori semnal extrași din cele două subconstelații de semnale.

Pătratul distanței euclidiene dintre două secvențe de vectori semnal asociate cu două traiectorii din diagrama trellis se obține prin suma pătratelor distanțelor euclidiene individuale (vezi Fig.2.2).

Algoritmul Saxona-Mulligan-Wilson [27] se bazează pe actualizarea elementelor matricii $\mathbf{D}^{(n)}$, unde termenul general $[\mathbf{D}^{(n)}]_{pq} = \delta_{pq}^{(n)}$ = minimul pătratelor distanțelor euclidiene dintre toate perechile de traiectorii din diagrama trellis, care diverg dintr-o stare inițială σ_0 și care ajung în stările p și q la același moment de timp discret (Fig.3.1).

Concluzia 3.17-Matricea $\mathbf{D}^{(n)}$ este simetrică și elementele ei de pe diagonala principală sînt egale cu $\delta_{pp}^{(n)}$ =minimul pătratelor distanțelor euclidiene dintre toate perechile de traiectorii din diagrama trellis care diverg dintr-o stare inițială σ_0 și care ajung în aceeași stare p la același moment de timp discret [27].

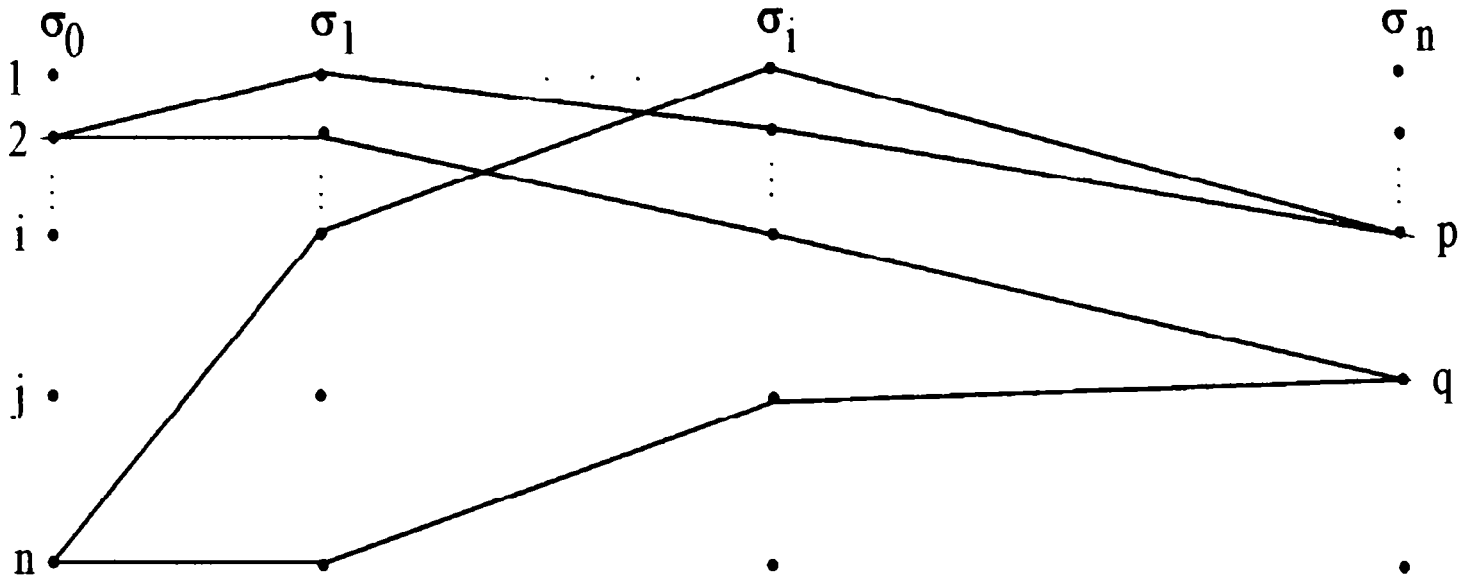


Fig.3.1 Două perechi de traiectorii din diagrama trellis care diverg dintr-o stare inițială σ_0 și care ajung în stările p și q la același moment de timp discret.

Algoritmul Saxona-Mulligan-Wilson [27] se desfășoară astfel:

Etapa 1-Pentru fiecare stare p, se găsesc cele M stări predecesoare din care sunt posibile tranziții către starea p și se memorează aceste M stări predecesoare într-un tabel. Se setează $\delta_{pq}^{(0)} = -1$ pentru toate p și $q \geq p$.

Etapa 2-Pentru fiecare pereche de stări (p, q), se găsește minimul pătratelor distanțelor euclidiene dintre toate perechile de traiectorii din diagrama trellis care diverg dintr-o stare inițială σ_0 și care ajung în stările p și q într-o unitate timp discret și se memorează ca $\delta_{pq}^{(1)}$ (Fig.3.2).

Etapa 3-Pentru fiecare pereche de stări (p, q) se găsesc în tabelele memorate la Etapa 1 cele M stări predecesoare: p_1, p_2, \dots, p_M și q_1, q_2, \dots, q_M (Fig.3.3). În general există M^2 traiectorii posibile la momentul de timp discret n-1 care trec prin stările p și q la momentul de timp discret n. Aceste traiectorii trec prin perechile de stări:

$$\left\{ \begin{array}{l} (p_1, q_1), (p_1, q_2), \dots, (p_1, q_M) \\ (p_2, q_1), (p_2, q_2), \dots, (p_2, q_M) \\ \dots\dots\dots \\ (p_M, q_1), (p_M, q_2), \dots, (p_M, q_M) \end{array} \right. \quad (3.41)$$

Se calculează $\delta_{pq}^{(n)}$ astfel:

$$\delta_{pq}^{(n)} = \min \{ \delta_{p_1q_1}^{(n-1)} + d^2(p_1 \rightarrow p, q_1 \rightarrow q) + \delta_{p_1q_2}^{(n-1)} + d^2(p_1 \rightarrow p, q_2 \rightarrow q) + \delta_{p_1q_M}^{(n-1)} + d^2(p_1 \rightarrow p, q_M \rightarrow q) + \dots \delta_{p_Mq_1}^{(n-1)} + d^2(p_M \rightarrow p, q_1 \rightarrow q) + \delta_{p_Mq_2}^{(n-1)} + d^2(p_M \rightarrow p, q_2 \rightarrow q) + \delta_{p_Mq_M}^{(n-1)} + d^2(p_M \rightarrow p, q_M \rightarrow q) \} \tag{3.42}$$

unde $\delta_{p_1q_1}^{(n-1)}, \dots, \delta_{p_Mq_M}^{(n-1)}$ sînt calculate din etapa anterioară și $d^2(p_i \rightarrow p, q_j \rightarrow q)$ sînt pătratele distanțelor euclidiene dintre cei doi vectori semnal asociați cu tranzițiile $p_i \rightarrow p$ și $q_j \rightarrow q$.

Etapa 4- Dacă există cel puțin o pereche de stări astfel încît $\delta_{pq}^{(n)} < \min_p \delta_{pp}^{(n)}$ atunci se setează $n=n+1$ și se reia Etapa 3.

Dacă nu există cel puțin o pereche de stări astfel încît $\delta_{pq}^{(n)} < \min_p \delta_{pp}^{(n)}$ atunci se oprește

iterația și se setează $d_{\min}^2 = \min_p \delta_{pp}^{(n)}$.

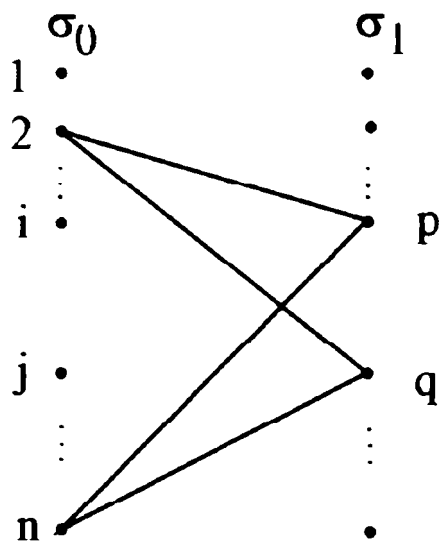


Fig.3.2 Două perechi de traiectorii din diagrama trellis care diverg dintr-o stare inițială σ_0 și care ajung în stările p și q într-o unitate timp discret.

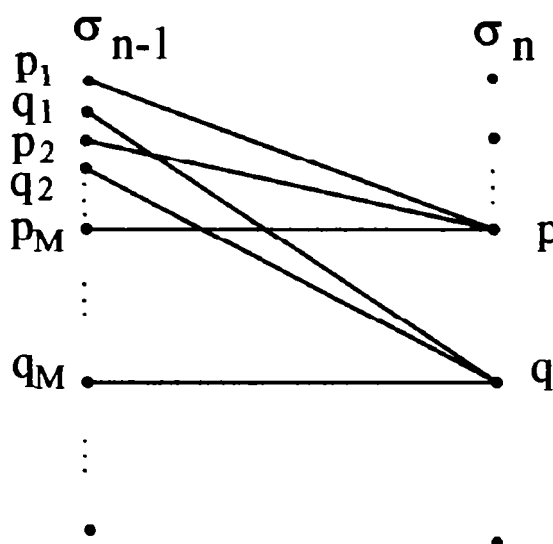


Fig.3.3 Stările predecesoare ale stărilor p și q.

3.4.3 Algoritmul produs trellis

Algoritmul produs trellis (the product-trellis algorithm) [28] se poate aplica pentru orice schemă TCM și utilizează o diagramă produs trellis care este produsul a 2 diagrame trellis originale.

Se definesc următoarele elemente ale unei diagrame produs trellis:

Supernodurile = perechi de noduri din diagramele trellis originale.

Superramurile = perechi de ramuri din diagramele trellis originale. Fiecărei

superramuri îi asociem o distanță euclidiană dintre cele două seturi de vectori semnal asociate cu cele două ramuri din diagramele trellis originale.

Superstările = perechi de stări (i,j) din diagramele trellis originale. Dacă diagramele trellis originale au N stări fiecare atunci diagrama produs trellis are N^2 stări. Se definesc 2 tipuri de superstări [28]:

- ✓ superstări bune, dacă $i=j$,
- ✓ superstări rele, dacă $i \neq j$.

Astfel **supertraietoriile** = perechi de traiectorii din diagramele trellis originale. Supertraietoriile care trec doar prin superstări bune sînt perechi de traiectorii identice din diagramele trellis originale. Supertraietoriile care trec prin cel puțin o superstare rea sînt perechi de traiectorii diferite din diagramele trellis originale.

Algoritmul produs trellis constă în următoarele etape [28]:

- 1) se consideră fiecare pereche de traiectorii din diagramele trellis originale care pornesc din aceleași stări și ajung în aceleași stări, deci care corespund unei supertraietorii care pornește dintr-o superstare bună și ajunge într-o superstare bună
- 2) se calculează pătratul distanței euclidiene pentru fiecare pereche de traiectorii din diagramele trellis originale considerată anterior
- 3) se calculează d_{\min}^2 ca minimul pătratelor distanțelor euclidiene de mai sus.

Concluzia 3.18-Deși d_{\min} , distanța euclidiană minimă dintre două secvențe posibile de vectori semnal din constelația de semnale extinsă, este cel mai bun parametru pentru descrierea calității unei scheme TCM totuși trebuie să avem în vedere o serie de precauții în cazul schemelor TCM care operează la valori mici și medii ale raportului semnal/zgomot. Pentru astfel de cazuri se recomandă considerarea în plus a încă doi parametri [7]:

- ⇒ **coeficientul erorii $N(d_{\min})$** -în [29] se arată că dublarea lui $N(d_{\min})$ conduce la reducerea cu 0,2 dB a câștigului asimptotic de codare γ la o probabilitate a erorii de secvență $P(e)$ de ordinul 10^{-6} ,
- ⇒ **distanța euclidiană minimă următoare d_{next}** -dacă d_{next} este foarte aproape de d_{\min} atunci raportul semnal/zgomot, necesar pentru o bună aproximare a probabilității erorii de secvență $P(e)$ cu expresia $\frac{1}{2} \operatorname{erfc}\left(\frac{d_{\min}}{2\sqrt{N_0}}\right) N(d_{\min}) D^{d_{\min}^2}$, poate deveni foarte mare (vezi relația (3.21)).

3.4.4 Limita inferioară a distanței euclidiene minime

Pentru un canal de comunicație cu zgomot aditiv, alb, gaussian, spre deosebire de schemele TCM care operează la valori mici și medii ale raportului semnal/zgomot, la care d_{\min} nu este suficient pentru caracterizarea lor, la schemele TCM care operează la valori mari ale raportului semnal/zgomot, d_{\min} este suficient și este cel mai bun parametru pentru descrierea calității.

De aceea este interesant de determinat intervalul de variație a lui d_{\min} pentru o anumită constelație de semnale și pentru un anumit de număr de stări a transmițătorului TCM.

Se consideră reprezentarea Ungerboeck a transmițătorului TCM cu o constelație de semnale formată din $M=2^m=2M'=2^{m'+1}$ vectori semnal (vezi Fig.2.5).

Bitul necodat $c_i^{(m'+1)}$ alege o subconstelație de semnale cu distanța euclidiană minimă $\delta_{m'+1}$.

Bitul necodat $c_i^{(m')}$ alege o subconstelație de semnale cu distanța euclidiană minimă $\delta_{m'} < \delta_{m'+1}$.

Bitul necodat $c_i^{(r+2)}$ alege o subconstelație de semnale cu distanța euclidiană minimă $\delta_{r+2} < \delta_{r+3} < \dots < \delta_{m'} < \delta_{m'+1}$.

Biții codati $c_i^{(r+1)}, c_i^{(r)}, \dots, c_i^{(1)}$ aleg un vector semnal dintr-o subconstelație de semnale, formată din 2^{r+1} vectori semnal, cu distanța euclidiană minimă δ_1 .

Dacă apare o eroare la decodare atunci va fi implicat cel puțin unul din biții $c_i^{(j)}$, $j=1, \dots, m'$. În acest caz rezultă:

$$\begin{cases} d_{\min} \geq \delta_{r+2}, & \text{daca } j \geq r+2 \\ d_{\min} \geq d_{\min}^H \delta_1, & \text{daca } j < r+2 \end{cases} \quad (3.43)$$

unde d_{\min}^H este distanța Hamming minimă a codului binar convoluțional liniar rata de codrare $\frac{r}{r+1}$.

Concluzia 3.19-Limita inferioară a distanței euclidiene minime este:

$$d_{\min} \geq \min\{\delta_{r+2}, d_{\min}^H \delta_1\} \quad (3.44)$$

Concluzia 3.20-Cu toate că relația (3.42) nu reflectă prea mult din structura diagramei trellis, ea totuși arată rolurile distincte jucate în determinarea lui d_{\min} de către:

- ❖ vectorii semnal utilizați de modulator având distanțele euclidiene minime δ_{r+2} și δ_1
- ❖ codul convoluțional binar liniar având distanța Hamming minimă d_{\min}^H .

3.4.5 Limita superioară a distanței euclidiene minime

Se consideră reprezentarea Ungerboeck a transmițătorului TCM cu o constelație de semnale formată din $M=2^m=2M'=2^{m'+1}$ vectori semnal (vezi Fig.2.5).

Distanța euclidiană minimă d_{\min} este egală cu minimul distanței euclidiene

dintre perechile de traiectorii care determină un eveniment eroare. Fiecare traiectorie din diagrama trellis care determină un eveniment eroare de lungime L , implică L vectori semnal N -dimensionali sau echivalent, un punct într-un spațiu NL -dimensional. Cu alte cuvinte d_{\min} este egală cu minimul distanței euclidiene dintre perechile de puncte din spațiul euclidian NL -dimensional pentru $L=1, 2, \dots$

Dacă ne imaginăm aceste puncte din spațiul euclidian NL -dimensional ca fiind înconjurate de **sfere NL -dimensionale** atunci o schemă TCM eficientă, în sensul maximizării d_{\min} , corespunde unei împachetări eficiente a sferelor NL -dimensionale într-un spațiu NL -dimensional.

În [30] se prezintă următoarea procedură de determinare a limitei superioare a distanței euclidiene minime d_{\min} :

- \Rightarrow pentru fiecare valoare a lui L , se calculează numărul de puncte $M(L)$ și dimensiunea $N(L)$ a spațiului euclidian în care se găsesc cele $M(L)$ puncte
- \Rightarrow pentru fiecare valoare a lui L , se calculează limita superioară $d(L)$ a distanței euclidiene dintre centrele celor $M(L)$ sfere $N(L)$ -dimensionale
- \Rightarrow se calculează limita superioară a distanței euclidiene minime cu relația:

$$d_{\min} \leq \min_L d(L) \quad (3.45)$$

În [31] se arată că dacă rata de codare a codorului binar convoluțional liniar este $\frac{m'}{m'+1}$ atunci numărul $M(L)$ de puncte din spațiul euclidian $N(L)$ dimensional este:

$$M(L) = \prod_{j=1}^{m'} \max\{2^{L-v_j}, 1\} \quad (3.46)$$

Fie (S_A, S_B) o pereche de stări din diagrama trellis care sunt conectate prin traiectorii de lungime L . Fiecare traiectorie de lungime L determină o secvență S de lungime L de vectori semnal care poate fi considerată un vector NL -dimensional:

$$S=(s_1, s_2, \dots, s_L) \quad (3.47)$$

Dacă S' și S'' sunt 2 traiectorii diferite de lungime L care conectează perechea de stări (S_A, S_B) atunci:

$$d_{\min}^2 \leq \|S' - S''\|^2 \quad (3.48)$$

Energia medie \bar{E} a celor $M(L)$ vectori NL -dimensionali este:

$$\bar{E} = \frac{1}{M(L)} \sum_S \|S\|^2 \quad (3.49)$$

Se obține [7]:

$$\frac{d_{\min}^2}{\bar{E}} \leq r[M(L), NL] \quad (3.50)$$

unde $r[M(L), NL]$ este raportul $\left(\frac{d_{\min}^2}{\bar{E}}\right)$ maxim care se poate obține cu $M(L)$ vectori semnal NL -dimensionali.

Pentru toate perechile de stări din diagrama trellis conectate prin traiectorii de lungime L :

$$\frac{\bar{E}}{L} = E \quad (3.51)$$

unde E este energia medie a vectorilor semnal și \bar{E} este energia medie a traiectoriilor de lungime L . Pentru o anumită pereche de stări (S_A, S_B) din diagrama trellis:

$$\frac{\bar{E}}{L} \leq E \quad (3.52)$$

Concluzia 3.21-Limita superioară a distanței euclidiene minime normalizate este:

$$\frac{d_{\min}^2}{E} \leq \min_L \{ L r[M(L), NL] \} \quad (3.53)$$

Concluzia 3.22-Dacă pentru $r[M(L), NL]$ se utilizează o limită simplex (simplex bound) [7]:

$$r[M(L), NL] \leq \frac{2M(L)}{M(L) - 1} \quad (3.54)$$

atunci limita superioară a distanței euclidiene minime normalizate devine:

$$\frac{d_{\min}^2}{E} \leq \min_L \left\{ L \frac{2M(L)}{M(L) - 1} \right\} \quad (3.55)$$

Dacă $L \geq \max_j \{v_j\}$ atunci ținând cont de relația (3.46) se obține:

$$M(L) = 2^{m'L - v} \quad (3.56)$$

Concluzia 3.23-Dacă $L \geq \max_j \{v_j\}$ și în plus m' divide v atunci $L = \frac{v}{m'} + t$, $t=1, 2, \dots$ și limita superioară a distanței euclidiene minime normalizate devine:

$$\frac{d_{\min}^2}{E} \leq \min_{t \geq 1} \left\{ \left(\frac{v}{m'} + t \right) \frac{2^{tm'+1}}{2^{tm'} - 1} \right\} \quad (3.57)$$

Concluzia 3.24-În [31] se arată că dacă $v \rightarrow +\infty$ limita superioară a distanței euclidiene minime normalizate tinde asimptotic către:

$$\frac{d_{\min}^2}{E} \leq \begin{cases} \frac{1,74 v}{m'}, \text{ pentru } \frac{m'}{N} < 0,72 \\ N 4^{\frac{1}{N}} \\ \frac{6,57 v}{4 m'}, \text{ pentru } \frac{m'}{N} \geq 0,721 \end{cases} \quad (3.58)$$

Concluzia 3.25-În [30] se prezintă **limita superioară Pottie-Taylor a distanței euclidiene minime normalizate** atât pentru scheme TCM cu constelație de semnale de energie constantă (tip PSK) cât și pentru scheme TCM cu o constelație de semnale rectangulară (tip QAM) (Tabelul 3.1).

Tabelul 3.1 Exemple de limite pentru distanța euclidiană minimă normalizată pentru scheme TCM cu $V=2^v$ stări și m' biți/simbol sursă

v	m'	$\frac{m'}{m'+1}$	Modulație	Limita inferioară	Limita superioară simplex	Limita superioară Pottie-Taylor
2	2	$\frac{2}{3}$	8-PSK	4	5,3	5,3
3				4,6	6,9	6,7
4				5,2	8	8
5				5,8	9,1	9
6				6,3	10,7	10,1
7				6,3	11,4	11,2
8				6,9	12,8	12,3
2				3	$\frac{3}{4}$	16-PSK
3	1,5	4,6	3,3			
4	1,6	5,3	3,9			
5	1,9	6,4	4,5			
6	2	6,9	5,1			
7	-	8	5,6			
8	-	8,5	6,2			
2	2	$\frac{2}{3}$	8-QAM			
3				4	6,9	4,8
4				4,8	8	6,4
5				4,8	9,1	7,2
6				5,6	10,7	8
7				6,4	11,4	8,8
8				6,4	12,8	9,6
2				4	$\frac{4}{5}$	32-QAM
3	0,96	4	1,14			
4	1,14	4,3	1,52			
5	1,14	4,3	1,71			
6	1,33	5,3	1,9			
7	1,52	6,1	2,1			
8	1,52	6,4	2,29			

Concluzia 3.26-În Fig.3.4 se prezintă graficul câștigului asimptotic de codare γ în funcție de eficiența spectrală a canalului de comunicație $\eta = \frac{D}{B}$. Energia medie a tuturor semnalelor este normalizată la 1 ($E=E'=1$). Schema TCM de referință este modulația necodată 4-PSK cu $d_{\min}^2 = 2$. Un câștig asimptotic de codare $\gamma = 3/4/5/6$ dB poate fi obținut cu o schemă TCM cu 4/8/16/128 sau 256 stări. Pentru o schemă TCM cu mai mult de 256 stări câștigul asimptotic de codare γ crește nesemnificativ [22].

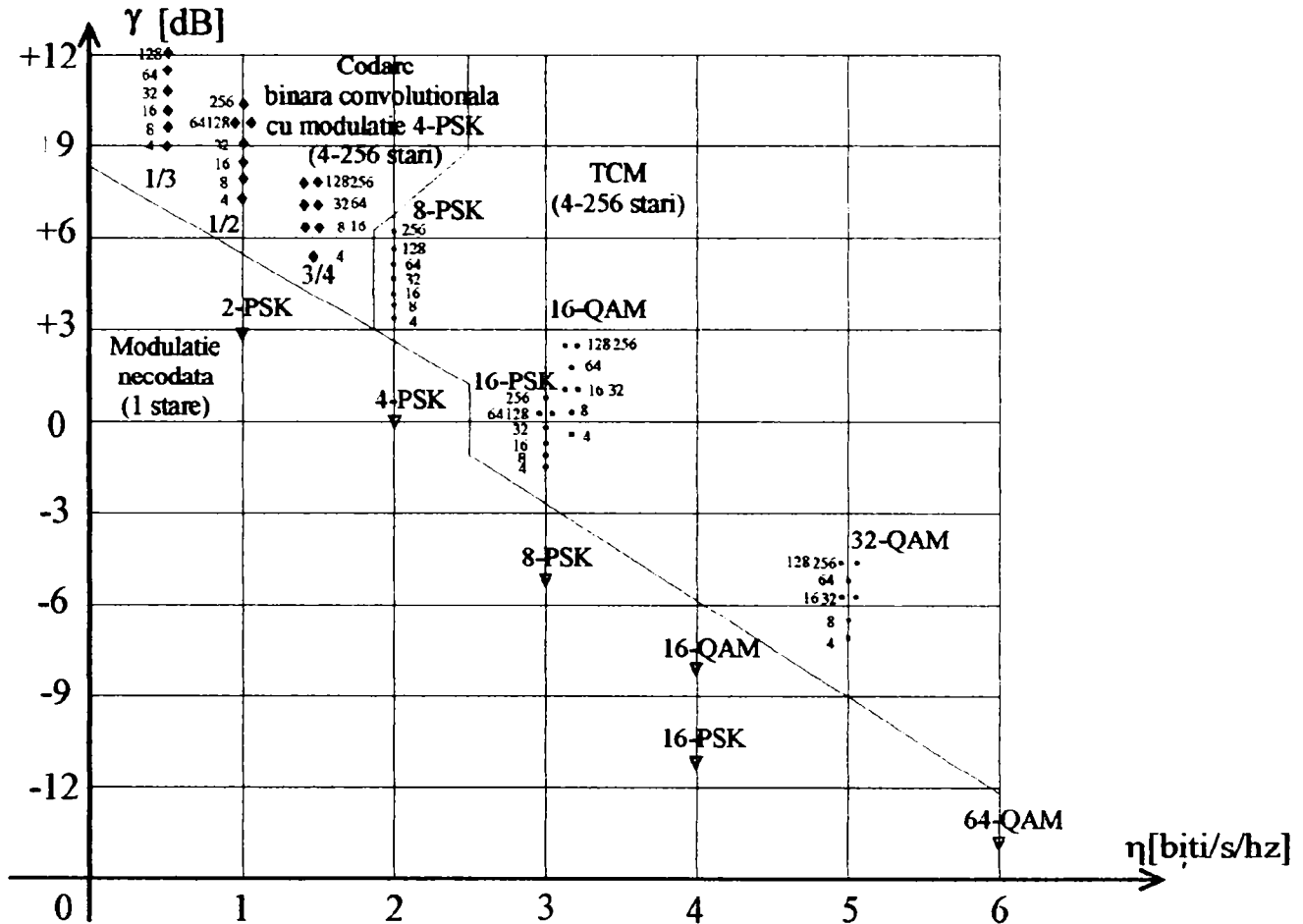


Fig.3.4 Câștig asimptotic de codare γ în funcție de eficiența spectrală a canalului de comunicație η .

3.5 Densitatea spectrală de putere a semnalului de linie transmis

Se consideră o schemă TCM cu un codor convoluțional binar liniar și o modulație 1 sau 2-dimensională.

Semnalul de linie transmis este:

$$s(t) = \sum_{i=-\infty}^{+\infty} s_i p(t - iT_s) \quad (3.59)$$

unde $p(t)$ este semnalul purtător cu transformata Fourier $P(f)$, T_s este durata unui simbol al sursei de date a_i , iar s_i sînt vectorii semnal transmiși.

Se presupune că simbolurile sursei de date a_i sunt echiprobabile ($P(a_i) = M' = 2^{m'}$ unde m' este numărul de biți folosiți la codarea simbolurilor sursei). Datorită structurii

invariante în timp a codului trellis înseamnă că secvența de vectori semnal $\{s_i\}$ este invariantă în timp.

Densitatea spectrală de putere a semnalului de linie transmis este egală cu:

$$S(f) = S(f)^{(c)} + S(f)^{(d)} \quad (3.60)$$

unde $S(f)^{(c)}$ și $S(f)^{(d)}$ = partea continuă, respectiv partea discretă a densității spectrale de putere.

Partea continuă a densității spectrale de putere este egală cu:

$$S(f)^{(c)} = \frac{\sigma_s^2}{T_s} |P(f)|^2 \sum_{i=-\infty}^{+\infty} \rho_i e^{-j2\pi f i T_s} \quad (3.61)$$

unde $E[s_i s_m^*] = \sigma_s^2 \rho_{i-m} + |\mu|^2$, $\rho_0 = 1$, $\rho_{+\infty} = 0$, $E[s_i] = \mu$.

Partea discretă a densității spectrale de putere este egală cu:

$$S(f)^{(d)} = \frac{\mu^2}{T_s^2} |P(f)|^2 \sum_{i=-\infty}^{+\infty} \delta(f - \frac{i}{T_s}) \quad (3.62)$$

În cazul detecției simbol cu simbol (SSD) avem:

$$\rho_i = \delta_{0,i} = \begin{cases} 1, i = 0 \\ 0, i \neq 0 \end{cases} \quad (\text{simbolul lui Kronecker}) \quad (3.63)$$

$$S(f)^{(c)} = \frac{\sigma_s^2}{T_s} |P(f)|^2 \quad (3.64)$$

Ne interesează condițiile în care densitatea spectrală de putere în cazul detecției simbol cu simbol este egală cu densitatea spectrală de putere în cazul detecției de probabilitate condiționată maximă.

Se presupune că $\sigma_s^2 = 1$. Atunci se obține [32]:

$$\rho_i = \sum_{s_i} \sum_{\sigma_i} \sum_{\sigma_0} \sum_{s_0} s_i^* s_0 P[s_i, \sigma_i, \sigma_0, s_0] \quad (6.65)$$

unde σ_i este starea transmițătorului TCM când se transmite vectorul semnal s_i și σ_{i+1} este starea următoare a transmițătorului TCM.

Ținând cont de relația $P[s_i, \sigma_i, \sigma_0, s_0] = P[s_i | \sigma_i] P[\sigma_i | \sigma_1] P[s_0 | \sigma_1]$ se obține:

$$\rho_i = \sum_{\sigma_i} \sum_{\sigma_0} E[s_i | \sigma_i] P[\sigma_i | \sigma_1] E[s_0 | \sigma_1] \quad (3.66)$$

O condiție suficientă pentru ca $\rho_i = \delta_{0,i}$ = simbolul lui Kronecker este ca:

$$E[s_i | \sigma_i] = 0, \forall s_i \quad (3.67)$$

deci pentru orice stare a transmițătorului TCM, media statistică a vectorului semnal de la ieșirea transmițătorului TCM să fie nulă.

O condiția suficientă pentru ca $\rho_i = \delta_{0,i}$ = simbolul lui Kronecker este ca [7]:

$$E[s_{i-1} | \sigma_i] = 0, \forall s_{i-1} \quad (3.68)$$

deci pentru orice stare a transmițătorului TCM, media statistică a vectorului semnal care forțează transmițătorul TCM în starea respectivă să fie nulă.

O condiția suficientă pentru ca $S(f)^{(d)}=0$ este ca $\mu=0$ [7].

CAPITOLUL IV

Coduri TCM multidimensionale

4.1 Introducere

Pentru canalele de comunicație de bandă limitată **modulația codată trellis (TCM)** asigură un câștig de codare γ semnificativ față de o transmisie necodată, fără a sacrifica eficiența spectrală η [12]. Costul plătit relativ la o transmisie necodată constă în extinderea constelației de semnale.

În cazul **codurilor TCM 2-D** pentru a transmite Q biți în fiecare interval de semnalizare 2-D se folosește o constelație de semnale 2-D care conține 2^{Q+1} puncte de semnal 2-D. Această constelație de semnale 2-D se partiționează în 2^{m+1} subseturi 2-D, cu pătratul distanței euclidiene minime (MSED=Minimum Squared Euclidian Distance) de intrasubset mai mare decât pătratul distanței euclidiene minime a constelației de semnale 2-D inițiale. Din cei Q biți care sosesc în fiecare interval de semnalizare 2-D:

- primii m biți sunt codati cu un codor convoluțional cu rata de codare $\frac{m}{m+1}$ astfel încât cei $m+1$ biți de la ieșirea codorului convoluțional selectează subsetul 2-D care va fi utilizat,
- ceilalți $Q-m$ biți rămași necodați selectează punctul de semnal 2-D care va fi transmis din subsetul 2-D selectat anterior [16].

Costul plătit relativ la o transmisie necodată constă în dublarea constelației de semnale 2-D ceea ce înseamnă o pierdere de 3 dB în câștigul de codare. Acest lucru se datorează faptului că se adaugă câte 1 bit redundant în fiecare interval de semnalizare 2-D.

Această pierdere de 3 dB în câștigul de codare poate fi redusă dacă se utilizează coduri TCM multidimensionale (multi-D) deoarece se va adăuga mai puțin de 1 bit redundant în fiecare interval de semnalizare 2-D [13]. Astfel în cazul codurilor TCM 4-D pierderea în câștigul de codare este de 1,5 dB, iar în cazul codurilor TCM 8-D pierderea în câștigul de codare este de 0,75 dB [13, 33].

Primul cod TCM 4-D numit **codul GCS (Gallager-Calderbank-Sloane)** a apărut independent în [13] și [34]. Din păcate codul GCS poate transmite doar un număr neîntreg de biți în fiecare interval de semnalizare 2-D.

Wei a construit coduri TCM 4-D, 8-D și 16-D care pot transmite un număr întreg de biți în fiecare interval de semnalizare 2-D dar dimensiunile codurilor TCM sunt limitate la puteri întregi ale lui 2 [16].

Pietrobon și **Costello** au căutat coduri TCM multidimensionale care folosesc constelații de semnale rectangulare multidimensionale cu proprietăți optime de distanță [35]. Pentru partiționarea constelațiilor de semnale rectangulare multidimensionale ei au utilizat coduri bloc, tehnică care a fost utilizată anterior (1990) la partiționarea constelațiilor de semnale M-PSK [36]. Din nefericire nu au fost luați în considerare parametrii **CER (Constellation Extension Rate)** și **PAR (Peak-to-Average power Rate)** care sunt foarte importanți în modemurile de mare viteză.

Wang și Costello au prezentat o metodă de construcție a codurilor TCM multidimensionale, bazată pe **corespondența de formă (Shell Mapping)**, dar au fost considerate doar codurile TCM 4-D [37].

Sterian a prezentat o metodă de extindere a construcției Wei a codurilor TCM 2N-D pentru cazurile în care N nu este o putere ale lui 2. El a prezentat ca exemple codurile TCM 6-D și 12-D dar nici aici nu au fost luați în considerare parametrii CER și PAR [40, 42].

Dinh și Hashimoto au prezentat o metodă de construcție a codurilor TCM multidimensionale bazată pe **coduri coset** [38]. Ei au construit constelații de semnale multidimensionale cu parametrii CER și PAR optimali (minimi) ai constelațiilor de semnale 2-D constituate.

În cazul **codurilor TCM multidimensionale 2N-D** pentru a transmite Q biți în fiecare interval de semnalizare 2-D se folosește o constelație de semnale multidimensională 2N-D care conține 2^{NQ+1} puncte de semnal 2N-D. Această constelație de semnale 2N-D se partitionează în 2^{m+1} subseturi 2N-D, cu pătratul distanței euclidiene minime (MSED=Minimum Squared Euclidian Distance) de intrasubset mai mare decât pătratul distanței euclidiene minime a constelației de semnale 2N-D inițiale. Din cei NQ biți care sosesc în fiecare interval de semnalizare 2-D:

- primii m biți sunt codați cu un codor convoluțional cu rata de codare $\frac{m}{m+1}$ astfel încât cei m+1 biți de la ieșirea codorului convoluțional selectează subsetul 2N-D care va fi utilizat,
- ceilalți NQ-m biți rămași necodați selectează punctul de semnal 2N-D care va fi transmis din subsetul 2N-D selectat anterior [16].

Concluzia 4.1-Avantajele codurilor TCM multidimensionale față de codurile TCM 2-D sînt următoarele:

- reducerea pierderii în câștigul de codare, datorat extinderii constelațiilor de semnale multidimensionale, prin reducerea numărului de biți redundanți per interval de semnalizare 2-D,
- reducerea dimensiunilor și parametrilor CER și PAR ai constelațiilor de semnale 2-D constituate ale constelațiilor de semnale multidimensionale,
- posibilitatea de a transmite un număr întreg sau neîntreg de biți în fiecare interval de semnalizare 2-D,
- toleranță mai mare la ambiguitățile de fază (jitter de fază),
- compromis mai bun între complexitate și performanțe.

4.2 Construcția Wei pentru coduri TCM multidimensionale

Pentru a transmite Q biți în fiecare interval de semnalizare 2-D, constelația de semnale 2-D constituantă a constelației de semnale 2N-D este formată din 2 grupuri:

- **grupul intern IG (Inner Group)** care conține 2^Q puncte de semnal 2-D, la fel ca și constelația de semnale 2-D folosită într-o transmisie necodată pentru a transmite Q biți în fiecare interval de semnalizare 2-D,
- **grupul extern OG (Outer Group)** care conține $\frac{1}{N} 2^Q$ puncte de semnal 2-D.

Întrucît grupul extern conține $\frac{1}{N} 2^Q$ puncte de semnal 2-D, este evident că N trebuie să fie o putere întregă a lui 2. Din acest motiv metoda de construcție Wei a codurilor TCM multidimensionale este limitată practic la cazurile 4-D și 8-D [16].

Construirea punctelor de semnal 2N-D se face prin concatenarea a N puncte de semnal 2-D și ținînd cont de următoarele observații:

- numărul punctelor de semnal 2N-D care conțin N puncte de semnal 2-D din IG este 2^{NQ}
- numărul punctelor de semnal 2N-D care conțin N-1 puncte de semnal 2-D din IG și un punct de semnal 2-D din OG este 2^{NQ} .

Rezultă în total $2^{NQ+1}=2^{NQ}+2^{NQ}$ puncte de semnal 2N-D.

În construcția punctelor de semnal 2N-D, un punct de semnal 2-D din IG este utilizat de 2N-1 ori mai des decît un punct de semnal 2-D din OG. Dacă p_{IG} este probabilitatea de utilizare a unui punct de semnal 2-D din IG și p_{OG} este probabilitatea de utilizare a unui punct de semnal 2-D din OG atunci avem:

$$\begin{cases} p_{IG} = 2N - 1 \\ p_{OG} \end{cases} \Leftrightarrow \begin{cases} p_{IG} = \frac{2N - 1}{2N} \\ p_{OG} = \frac{1}{2N} \end{cases} \quad (4.1)$$

Energia medie a constelației de semnale 2-D constituentă a constelației de semnale 2N-D este egală cu [16]:

$$E_{\text{medie}} = p_{IG}E_{IG} + p_{OG}E_{OG} = \frac{2N - 1}{2N}E_{IG} + \frac{1}{2N}E_{OG} \quad (4.2)$$

unde:

E_{IG} =energia medie a grupului intern IG a constelației de semnale 2-D constituentă a constelației de semnale 2N-D = suma pătratelor distanțelor dintre originea axelor de coordonate ale planului complex și punctele de semnal 2-D situate în grupul intern IG, raportată la numărul de puncte de semnal 2-D situate în grupul intern IG,

E_{OG} =energia medie a grupului extern OG a constelației de semnale 2-D constituentă a constelației de semnale 2N-D = suma pătratelor distanțelor dintre originea axelor de coordonate ale planului complex și punctele de semnal 2-D situate în grupul extern OG, raportată la numărul de puncte de semnal 2-D situate în grupul intern OG,

2N=dimensiunea codului TCM multidimensional.

4.2.1 Codul TCM 4-D, cu rata 2/3 și cu 16 stări

Se consideră transmisia a Q=7 biți/interval de semnalizare 2-D. Schema bloc a codorului TCM 4-D cu rata 2/3 și 16 stări este prezentată în Fig.4.1 [16].

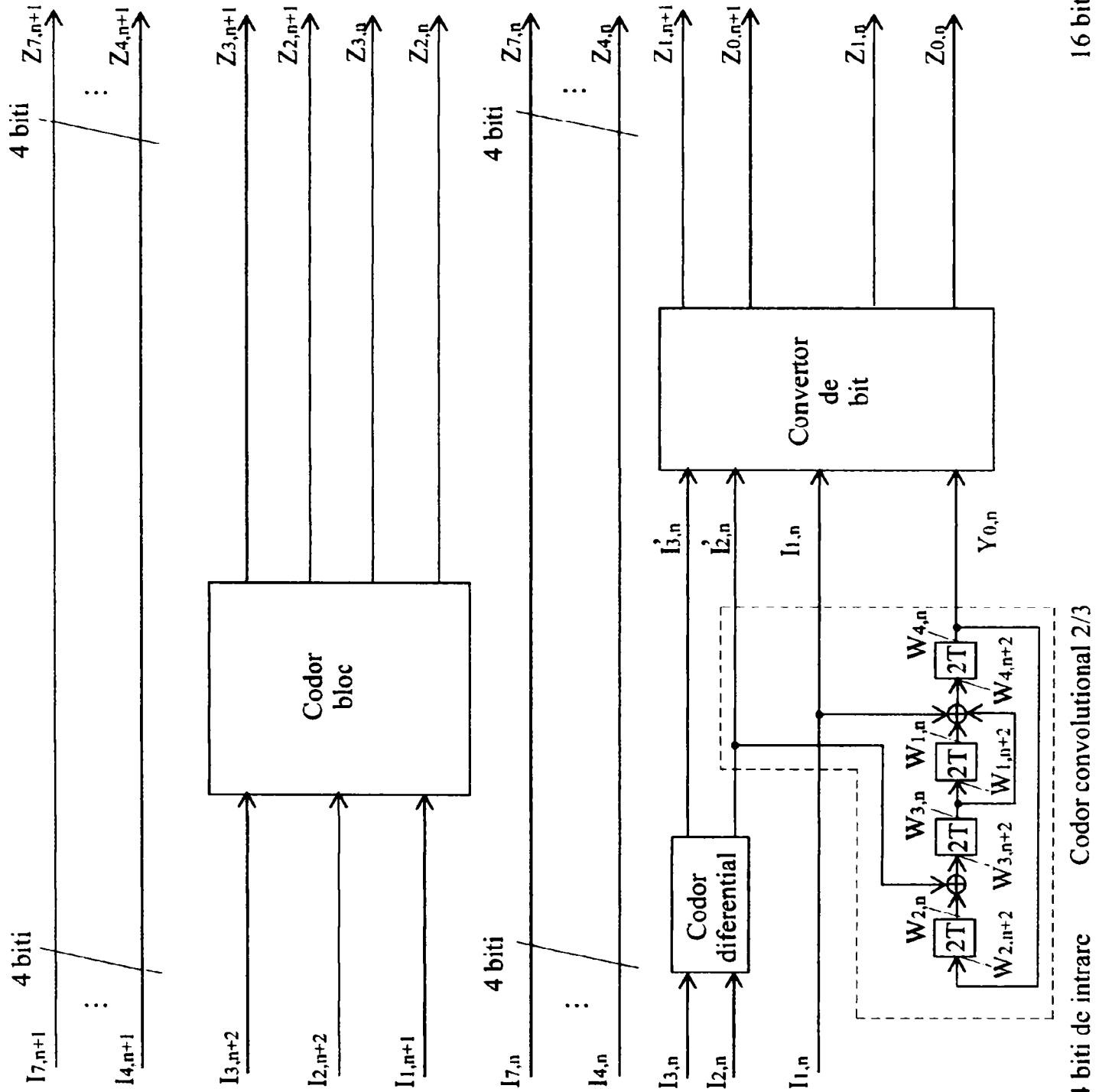
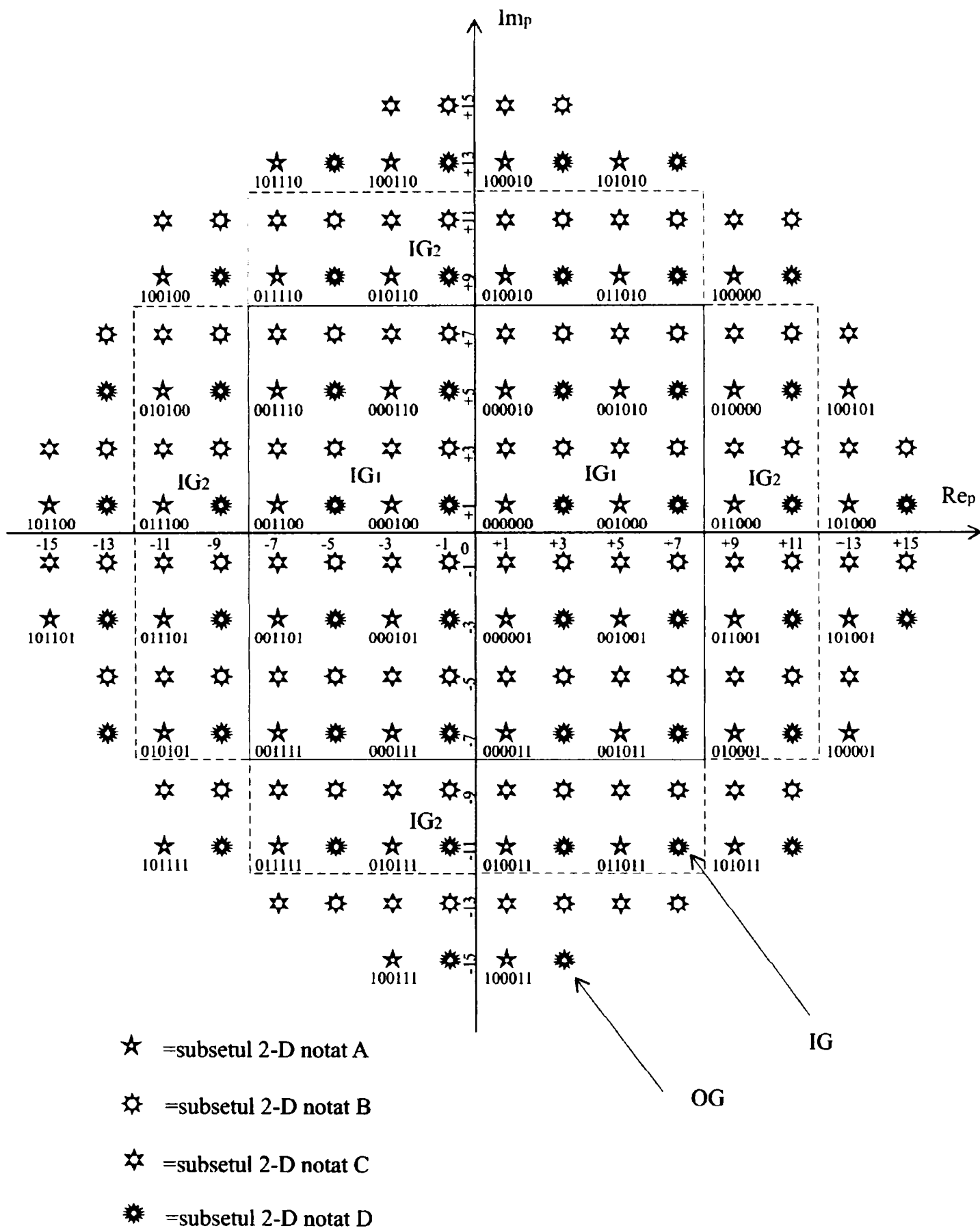


Fig.4.1 Schema bloc a codorului TCM 4-D cu rata 2/3 și 16 stări (construcția Wei).



Numărul dedesubtul fiecărui punct de semnal 2-D este $Z_{2,p}, Z_{3,p}, Z_{4,p}, Z_{5,p}, Z_{6,p}, Z_{7,p}, p=n, n+1$.

Fig.4.2 Constelația de semnale 2-D constituantă cu 192 puncte de semnal 2-D (construcția Wei).

Constelația de semnale 2-D constituentă a constelației de semnale 4-D este un subset finit al latticei $(2Z+1)^2$ ($Z =$ mulțimea numerelor întregi) și este formată din 192 puncte de semnal 2-D:

- ❖ $2^7=128$ puncte de semnal 2-D în grupul IG,
- ❖ $\frac{2^7}{2} = 64$ puncte de semnal 2-D în grupul OG.

Se partiționează constelația de semnale 2-D constituentă (Fig.4.2) în 4 **subseturi 2-D** [16]:

- $\Rightarrow A=(4Z+1)^2,$
- $\Rightarrow B=(4Z+3)^2,$
- $\Rightarrow C=(4Z+1)(4Z+3),$
- $\Rightarrow D=(4Z+3)(4Z+1).$

Dacă constelația de semnale 2-D constituentă are $MSED=d_0^2$ atunci subseturile 2-D au MSED de intrasubset egală cu $d^2 = 4d_0^2$.

Dacă se rotesc succesiv subseturile 2-D în sens orar cu câte 90° au loc următoarele transformări ale subseturilor 2-D [16]:

$$A \rightarrow C \rightarrow B \rightarrow D \rightarrow A \quad (4.3)$$

Prin concatenarea a 2 constelații de semnale 2-D constituate și prin eliminarea punctelor de semnal 4-D care conțin mai mult decât un singur punct de semnal 2-D din grupul extern OG, se obține **constelația de semnale 4-D** cu $2^{2 \times 7 + 1} = 2^{15}$ puncte de semnal 4-D.

Se construiesc 16 **tipuri 4-D** cu $MSED=d^2 = 4d_0^2$ prin concatenarea a câte 2 subseturi 2-D și notate astfel [16]:

$$(A, A), (A, B), (A, C), (A, D), \dots, (D, D) \quad (4.4)$$

Cele 16 tipuri 4-D sunt grupate în 8 **subseturi 4-D** astfel încât MSED a fiecărui subset 4-D obținut să fie egală cu $d^2 = 4d_0^2$ [16]:

$$\left\{ \begin{array}{l} S_0=(A, A) \cup (B, B) \\ S_1=(C, C) \cup (D, D) \\ S_2=(A, B) \cup (B, A) \\ S_3=(C, D) \cup (D, C) \\ S_4=(A, C) \cup (B, D) \\ S_5=(C, B) \cup (D, A) \\ S_6=(A, D) \cup (B, C) \\ S_7=(C, A) \cup (D, B) \end{array} \right. \quad (4.5)$$

Dacă se rotesc succesiv subseturile 2-D în sens orar cu câte 90° au loc următoarele transformări ale subseturilor 4-D [16]:

$$\begin{cases} S_0 \rightarrow S_1 \rightarrow S_0 \\ S_2 \rightarrow S_3 \rightarrow S_2 \\ S_4 \rightarrow S_5 \rightarrow S_4 \\ S_6 \rightarrow S_7 \rightarrow S_6 \end{cases} \quad (4.6)$$

Subseturile 4-D sunt grupate în 2 familii 4-D cu $MSED=2d_0^2$ astfel încât fiecare familie 4-D să conțină 4 subseturi 4-D [16]:

$$\begin{cases} F_0 = S_0 \cup S_1 \cup S_2 \cup S_3 \\ F_1 = S_4 \cup S_5 \cup S_6 \cup S_7 \end{cases} \quad (4.7)$$

În acest caz avem $m=2$ biți de la intrare care sunt codati cu un codor convoluțional cu rata de codare $2/3$ și cu 16 stări.

Setul stărilor curente $\{\sigma_n\}$ a codorului convoluțional se partiționează în 4 subseturi [16]:

$$\{4i + j \mid 0 \leq i \leq 3, 0 \leq j \leq 3\} \quad (4.8)$$

Setul stărilor următoare $\{\sigma_{n+2}\}$ a codorului convoluțional se partiționează în 4 subseturi [16]:

$$\{4j + k \mid 0 \leq j \leq 3, 0 \leq k \leq 3\} \quad (4.9)$$

Conectivitatea diagramei trellis se realizează astfel: pentru orice $0 \leq j \leq 3$ există tranziții de stare între fiecare stare curentă $4i+j$, $0 \leq i \leq 3$ și fiecare stare următoare $4j+k$, $0 \leq k \leq 3$.

Asignarea subseturilor 4-D la tranzițiile de stare ale codului TCM 4-D este realizată astfel încât să fie îndeplinite trei cerințe [16]:

1. Subseturile 4-D, asociate cu tranzițiile care pornesc dintr-o anumită stare, să difere unele de altele și să aparțină aceleași familii 4-D.

Același considerent se aplică și pentru subseturile 4-D asociate cu tranzițiile care ajung într-o anumită stare.

Conform acestei cerințe:

\Rightarrow la tranzițiile care pornesc din stări pare ($Y_{0,n}=W_{4,n}=0$) sunt asignate subseturi 4-D din familia 4-D notată F_0 ,

\Rightarrow la tranzițiile care pornesc din stări impare ($Y_{0,n}=W_{4,n}=1$) sunt asignate subseturi 4-D din familia 4-D notată F_1 .

2. MSED dintre două secvențe de subseturi 4-D, care corespund la două traiectorii distincte prin diagrama trellis, să fie mai mare sau egală cu $d_{free}^2 = d^2 = 4d_0^2$, care este

MSED a fiecărui subset 4-D (MSED de intersubset 4-D să fie mai mare sau cel puțin egală cu MSED de intrasubset 4-D).

Această cerință garantează că MSED dintre două secvențe de puncte de semnal 4-D este $d^2 = 4d_0^2$ și elimină evenimentele eroare care diferă cu mai mult decât un punct de semnal 4-D față de secvența corectă de puncte de semnal 4-D.

Dacă se neglijează efectul de margine, atunci **coeficientul de eroare** N_{free} al codului TCM 4-D, este egal cu numărul vecinilor cei mai apropiați ai unui punct de semnal 4-D și aflați într-un subset 4-D cu un număr finit de puncte de semnal 4-D. În acest caz $N_{free}=24$ per punct de semnal 4-D ($N_{free}=12$ per punct de semnal 2-D).

Dacă nu se neglijează efectul de margine, atunci coeficientul de eroare al codului TCM 4-D este mai mic decât 24.

3. Dacă X este subsetul 4-D asociat cu tranzițiile din starea curentă σ_n în starea următoare σ_{n+2} și dacă X_1 este subsetul 4-D obținut prin rotirea lui X cu 90° atunci se poate defini o funcție F_1 de corespondență între stările codului TCM 4-D astfel încât X_1 să fie asociat cu tranzițiile din starea curentă $F_1(\sigma_n)$ în starea următoare $F_1(\sigma_{n+2})$.

Pentru o rotație de 90° în sens orar se definește funcția F_1 astfel [16]:

$$W_{1,n} W_{2,n} W_{3,n} W_{4,n} \rightarrow \overline{W}_{1,n} W_{2,n} \overline{W}_{3,n} W_{4,n} \quad (4.10)$$

unde bara deasupra înseamnă inversare binară.

Această cerință garantează că vom obține un cod TCM 4-D transparent la toate ambiguitățile de fază ale constelației de semnale 4-D, cu alte cuvinte un cod TCM 4-D invariant rotațional la $0^\circ, 90^\circ, 180^\circ, 270^\circ$.

Pentru a suprima toate cele 4 ambiguități de fază a constelației de semnale 4-D ($0^\circ, 90^\circ, 180^\circ, 270^\circ$) se folosește un **codor diferențial** pe 2 biți [16]:

$$(I'_{2,n} I'_{3,n}) = (I'_{2,n-2} I'_{3,n-2} + I_{2,n} I_{3,n}) \text{mod} 4 \quad (4.11)$$

Convertorul de bit convertește cei 4 biți de la intrarea sa $Y_{0,n}, I_{1,n}, I'_{2,n}, I'_{3,n}$ în 2 grupuri de câte 2 biți fiecare [16]:

$$Z_{0,p}, Z_{1,p}, p=n, n+1 \quad (4.12)$$

care selectează 2 subseturi 2-D, corespunzătoare tipului 4-D selectat în cadrul subsetului 4-D utilizat.

Pentru a obține un cod TCM 4-D transparent la orice ambiguitate de fază a constelației de semnale 4-D trebuie să fie îndeplinită cerința prezentată în continuare.

Dacă X este tipul 4-D asociat cu structura de biți $Y_{0,n}, I_{1,n}, I'_{2,n}, I'_{3,n}$ atunci se notează cu X_1, X_2, X_3 tipurile 4-D obținute prin rotirea lui X cu $90^\circ, 180^\circ, 270^\circ$.

Dacă $(I'_{2,n}, I'_{3,n})_1, (I'_{2,n}, I'_{3,n})_2, (I'_{2,n}, I'_{3,n})_3$ sunt perechile de biți obținute prin rotația perechii de biți $(I'_{2,n}, I'_{3,n})$ cu una, două sau trei poziții în secvența circulară $00 \rightarrow 10 \rightarrow 01 \rightarrow 11 \rightarrow 00$, atunci tipurile 4-D asociate cu structurile de biți:

$$Y_{0,n}, I_{1,n} (I'_{2,n}, I'_{3,n})_1,$$

$$Y_{0,n}, I_{1,n} (I'_{2,n}, I'_{3,n})_2,$$

$$Y_{0,n}, I_{1,n} (I'_{2,n}, I'_{3,n})_3,$$

sunt X_1, X_2, X_3 .

Correspondența dintre cei 2 biți $Z_{0,p}, Z_{1,p}$, $p=n, n+1$ și subseturile 2-D este prezentată în Tabelul 4.1 iar funcționarea convertorului de bit este prezentată în Tabelul 4.2.

Tabelul 4.1 Correspondența dintre cei 2 biți $Z_{0,p}, Z_{1,p}$ și subseturile 2-D

Subset 2-D	$Z_{0,p}$	$Z_{1,p}$
A	0	0
B	0	1
C	1	0
D	1	1

Tabelul 4.2 Convertorul de bit

Familie 4-D	Subset 4-D	$Y_{0,n}$	$I_{1,n}$	$I'_{2,n}$	$I'_{3,n}$	Tip 4-D	$Z_{0,n}$	$Z_{1,n}$	$Z_{0,n+1}$	$Z_{1,n+1}$
0	0	0	0	0	0	(A, A)	0	0	0	0
		0	0	0	1	(B, B)	0	1	0	1
	1	0	0	1	0	(C, C)	1	0	1	0
		0	0	1	1	(D, D)	1	1	1	1
	2	0	1	0	0	(A, B)	0	0	0	1
		0	1	0	1	(B, A)	0	1	0	0
	3	0	1	1	0	(C, D)	1	0	1	1
		0	1	1	1	(D, C)	1	1	1	0
1	4	1	0	0	0	(A, C)	0	0	1	0
		1	0	0	1	(B, D)	0	1	1	1
	5	1	0	1	0	(C, B)	1	0	0	1
		1	0	1	1	(D, A)	1	1	0	0
	6	1	1	0	0	(A, D)	0	0	1	1
		1	1	0	1	(B, C)	0	1	1	0
	7	1	1	1	0	(C, A)	1	0	0	0
		1	1	1	1	(D, B)	1	1	0	1

Codorul bloc folosește cei 3 biți $I_{1,n+1}, I_{2,n+1}, I_{3,n+1}$ pentru a genera 2 grupuri de câte 2 biți fiecare [16]:

$$Z_{2,p}, Z_{3,p}, p=n, n+1 \tag{4.13}$$

care selectează pentru cele 2 subseturi 2-D utilizate, prima jumătate a grupului intern IG_1 , a doua jumătate a grupului intern IG_2 sau grupul extern OG.

Correspondența dintre cei 2 biți $Z_{2,p}, Z_{3,p}$, $p=n, n+1$ și grupurile constelației de semnale 2-D este prezentată în Tabelul 4.3 iar funcționarea codorului bloc este prezentată în Tabelul 4.4.

Cele 2 grupuri de câte 4 biți fiecare [16]:

$$Z_{4,p}, Z_{5,p}, Z_{6,p}, Z_{7,p}, p=n, n+1 \tag{4.14}$$

selectează pentru fiecare din cele 2 subseturi 2-D utilizate, câte un punct de semnal 2-D din grupul constelației de semnale 2-D selectat anterior.

Tabelul 4.3 Corespondența dintre cei 2 biți $Z_{2,p}$, $Z_{3,p}$ și grupurile constelației de semnale 2-D

$Z_{2,p}$	$Z_{3,p}$	Grup constelație de semnale 2-D
0	0	IG ₁
0	1	IG ₂
1	0	OG

Tabelul 4.4 Codorul bloc

$I_{1,n+1}$	$I_{2,n+1}$	$I_{3,n+1}$	$Z_{2,n}$	$Z_{3,n}$	$Z_{2,n+1}$	$Z_{3,n+1}$
0	0	0	0	0	0	0
0	0	1	0	0	0	1
0	1	0	0	0	1	0
0	1	1	0	1	1	0
1	0	0	1	0	0	0
1	0	1	1	0	0	1
1	1	0	0	1	0	0
1	1	1	0	1	0	1

Cîștigul de codare asimptotic al codului TCM 4-D față de o transmisie necodată se calculează astfel [16]:

$$\gamma = 10 \log_{10} \left(\frac{\frac{4d_0^2}{28,0625d_0^2}}{\frac{d_0^2}{20,5d_0^2}} \right) = 10 \log_{10}(2,922) \cong 4,65680 \text{ [dB]} \quad (4.15)$$

unde:

d_0^2 = MSEED a constelației de semnale 2-D utilizată la o transmisie necodată,

$4d_0^2$ = MSEED a subseturilor 4-D obținute prin partiționarea constelației de semnale 4-D,

$20,5 d_0^2$ = energia medie a constelației de semnale 2-D utilizată la o transmisie necodată, (128 de puncte de semnal 2-D) = suma pătratelor distanțelor dintre originea axelor de coordonate ale planului complex și punctele de semnal 2-D, raportată la numărul punctelor de semnal 2-D,

$28,0625 d_0^2$ = energia medie a constelației de semnale 2-D constituantă a constelației de semnale 4-D calculată ținînd cont de relația (4.2).

4.2.2 Codul TCM 8-D, cu rata 3/4 și cu 64 stări

Se consideră transmisia a $Q=7$ biți/interval de semnalizare 2-D. Schema bloc a codorului TCM 8-D cu rata 3/4 și 64 stări este prezentată în Fig.4.3.

Constelația de semnale 2-D constituentă a constelației de semnale 8-D este un subset finit al latticei $(2Z+1)^2$ ($Z =$ mulțimea numerelor întregi) și este formată din 160 puncte de semnal 2-D:

- ❖ $2^7=128$ puncte de semnal 2-D în grupul IG,
- ❖ $\frac{2^7}{4} = 32$ puncte de semnal 2-D în grupul OG.

Se partitionează constelația de semnale 2-D (Fig.4.4) constituentă în 4 **subseturi 2-D** [16]:

- $\Rightarrow A=(4Z+1)^2,$
- $\Rightarrow B=(4Z+3)^2,$
- $\Rightarrow C=(4Z+1)(4Z+3),$
- $\Rightarrow D=(4Z+3)(4Z+1).$

Dacă constelația de semnale 2-D constituentă are $MSED=d_0^2$ atunci subseturile 2-D au MSED de intrasubset egală cu $d^2 = 4d_0^2$.

Dacă se rotesc succesiv subseturile 2-D în sens orar cu câte 90° au loc următoarele transformări ale subseturilor 2-D (vezi relația 4.3) [16]:

$$A \rightarrow C \rightarrow B \rightarrow D \rightarrow A$$

Prin concatenarea a 4 constelații de semnale 2-D constituite și prin eliminarea punctelor de semnal 8-D care conțin mai mult decât un singur punct de semnal 2-D din grupul extern OG, se obține **constelația de semnale 8-D** cu $2^{4 \times 7 + 1} = 2^{29}$ puncte de semnal 8-D.

Se construiesc 64 **tipuri 8-D** cu $MSED=d^2 = 4d_0^2$ prin concatenarea a câte 2 subseturi 4-D și notate astfel [16]:

$$(0, 0), (0, 1), \dots, (7, 7) \quad (4.16)$$

unde $i=0, 1, \dots, 7$ reprezintă indicele subseturilor 4-D notate S_i în paragraful 4.2.1.

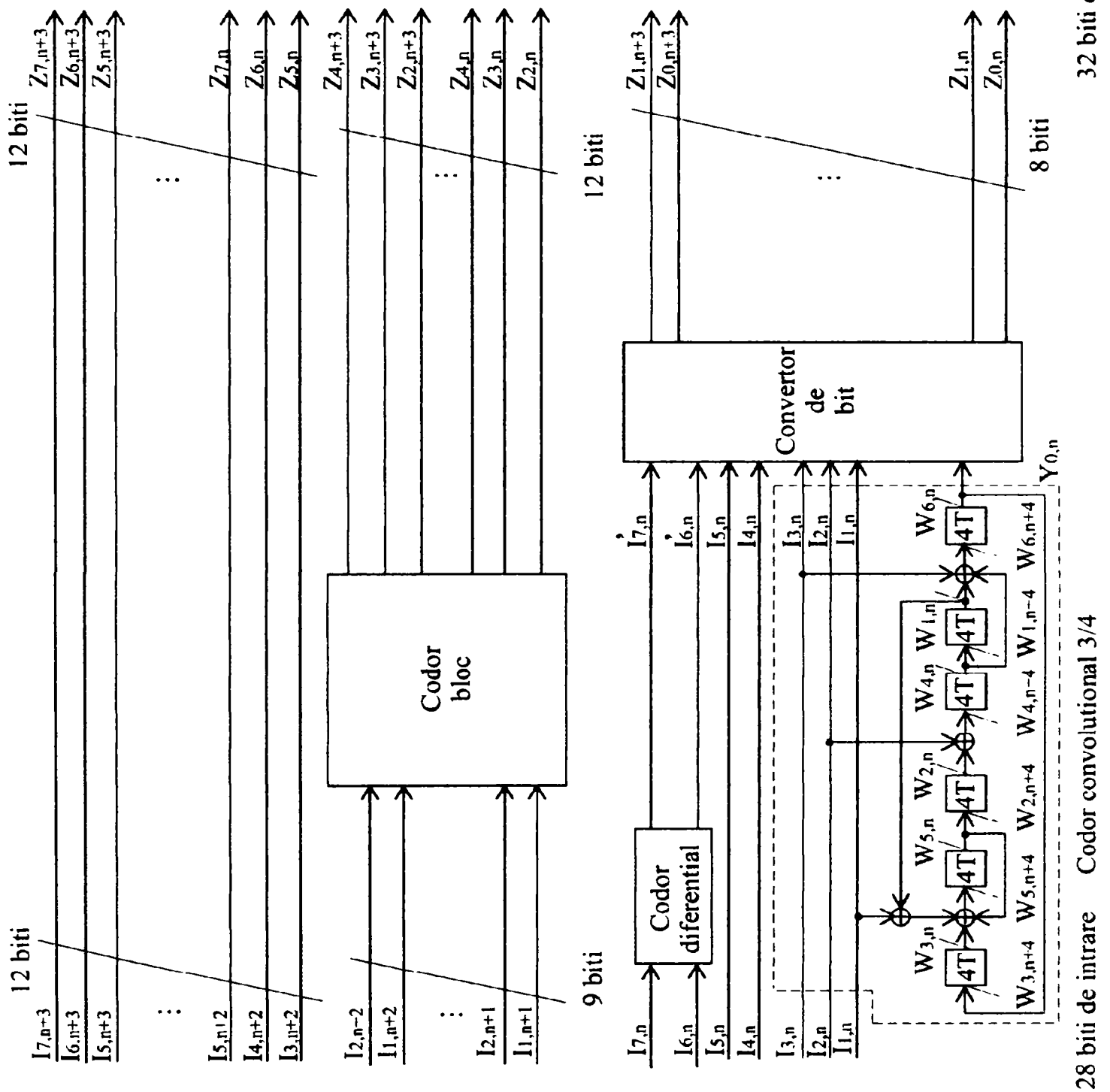
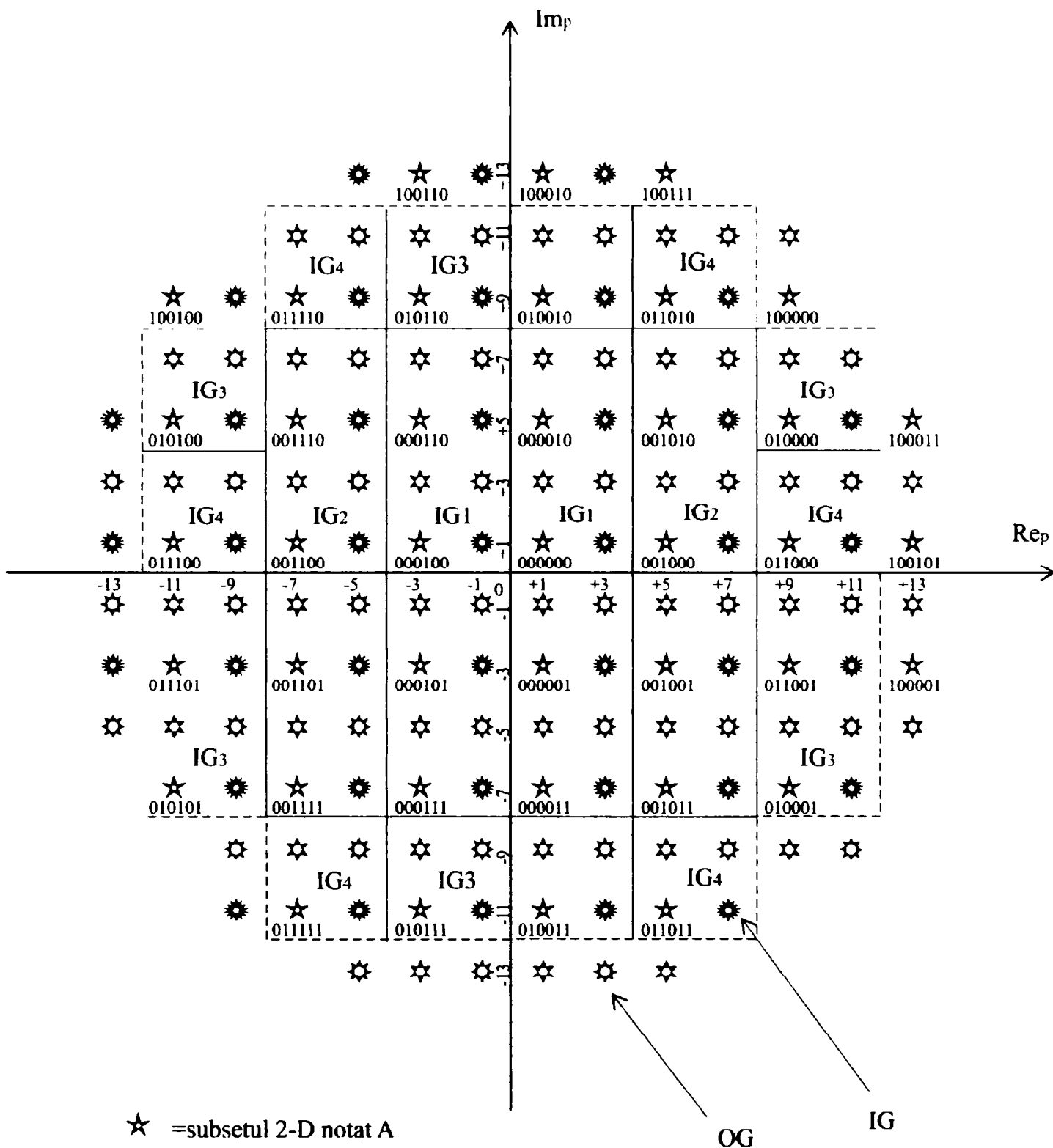


Fig.4.3 Schema bloc a codorului TCM 8-D cu rata 3/4 și 64 stări (construcția Wei).



- ☆ =subsetul 2-D notat A
- ⊛ =subsetul 2-D notat B
- ☆ =subsetul 2-D notat C
- ⊛ =subsetul 2-D notat D

Numărul dedesubtul fiecărui punct de semnal 2-D este $Z_{2,p}, Z_{3,p}, Z_{4,p}, Z_{5,p}, Z_{6,p}, Z_{7,p}$, $p=n, n+1, n+2, n+3$.

Fig.4.4 Constelația de semnale 2-D constituantă cu 160 puncte de semnal 2-D (construcția Wei).

Cele 64 tipuri 8-D sunt grupate în 16 **subseturi 8-D** astfel încât MSED a fiecărui subset 8-D obținut să fie egală cu $d^2 = 4d_0^2$ [16]:

$$\left\{ \begin{array}{l} S_0=(0, 0) \cup (1, 1) \cup (2, 2) \cup (3, 3) \\ S_1=(0, 1) \cup (1, 0) \cup (2, 3) \cup (3, 2) \\ S_2=(0, 2) \cup (1, 3) \cup (2, 0) \cup (3, 1) \\ S_3=(0, 3) \cup (1, 2) \cup (2, 1) \cup (3, 0) \\ S_4=(4, 4) \cup (5, 5) \cup (6, 6) \cup (7, 7) \\ S_5=(4, 5) \cup (5, 4) \cup (6, 7) \cup (7, 6) \\ S_6=(4, 6) \cup (5, 7) \cup (6, 4) \cup (7, 5) \\ S_7=(4, 7) \cup (5, 6) \cup (6, 5) \cup (7, 4) \\ S_8=(0, 4) \cup (1, 5) \cup (2, 6) \cup (3, 7) \\ S_9=(0, 5) \cup (1, 4) \cup (2, 7) \cup (3, 6) \\ S_{10}=(0, 6) \cup (1, 7) \cup (2, 4) \cup (3, 5) \\ S_{11}=(0, 7) \cup (1, 6) \cup (2, 5) \cup (3, 4) \\ S_{12}=(4, 0) \cup (5, 1) \cup (6, 2) \cup (7, 3) \\ S_{13}=(4, 1) \cup (5, 0) \cup (6, 3) \cup (7, 2) \\ S_{14}=(4, 2) \cup (5, 3) \cup (6, 0) \cup (7, 1) \\ S_{15}=(4, 3) \cup (5, 2) \cup (6, 1) \cup (7, 0) \end{array} \right. \quad (4.17)$$

Dacă se rotesc succesiv subseturile 2-D în sens orar cu câte 90° nu au loc transformări ale subseturilor 8-D, cu alte cuvinte subseturile 8-D sunt invariante la aceste rotații.

Subseturile 8-D sunt grupate în 2 **familii 8-D** cu $MSED=2d_0^2$ astfel încât fiecare familie 8-D să conțină 8 subseturi 8-D [16]:

$$\left\{ \begin{array}{l} F_0=S_0 \cup S_1 \cup S_2 \cup S_3 \cup S_4 \cup S_5 \cup S_6 \cup S_7 \\ F_1=S_8 \cup S_9 \cup S_{10} \cup S_{11} \cup S_{12} \cup S_{13} \cup S_{14} \cup S_{15} \end{array} \right. \quad (4.18)$$

În acest caz avem $m=3$ biți de la intrare care sunt codați cu un codor convoluțional cu rata de codare $3/4$ și cu 64 stări.

Setul stărilor curente $\{\sigma_n\}$ a codorului convoluțional se partiționează în 8 subseturi [16]:

$$\{8i + j \mid 0 \leq i \leq 7, 0 \leq j \leq 7\} \quad (4.19)$$

Setul stărilor următoare $\{\sigma_{n+4}\}$ a codorului convoluțional se partiționează în 8 subseturi [16]:

$$\{8j + k \mid 0 \leq j \leq 7, 0 \leq k \leq 7\} \quad (4.20)$$

Conectivitatea diagramei trellis se realizează astfel: pentru orice $0 \leq j \leq 7$ există tranziții de stare între fiecare stare curentă $8i+j$, $0 \leq i \leq 7$ și fiecare stare următoare $8j+k$, $0 \leq k \leq 7$.

Asignarea subseturilor 8-D la tranzițiile de stare ale codului TCM 8-D este realizată astfel încât să fie îndeplinite trei cerințe [16]:

1. Subseturile 8-D, asociate cu tranzițiile care pornesc dintr-o anumită stare, să difere unele de altele și să aparțină aceleași familii 8-D.

Aceiași considerent se aplică și pentru subseturile 8-D asociate cu tranzițiile care ajung într-o anumită stare.

Conform acestei cerințe:

⇒ la tranzițiile care pornesc din stări pare ($Y_{0,n}=W_{6,n}=0$) sunt asignate subseturi 8-D din familia 8-D notată F_0 ,

⇒ la tranzițiile care pornesc din stări impare ($Y_{0,n}=W_{6,n}=1$) sunt asignate subseturi 8-D din familia 8-D notată F_1 .

2. MSED dintre două secvențe de subseturi 8-D, care corespund la două traiectorii distincte prin diagrama trellis, să fie mai mare sau egală decât $d_{free}^2 = d^2 = 4d_0^2$, care este MSED a fiecărui subset 8-D (MSED de intersubset 8-D să fie mai mare sau cel puțin egală cu MSED de intrasubset 8-D).

Această cerință garantează că MSED dintre două secvențe de puncte de semnal 8-D este $d^2 = 4d_0^2$ și elimină evenimentele eroare care diferă cu mai mult decât un punct de semnal 8-D față de secvența corectă de puncte de semnal 8-D.

Dacă se neglijează efectul de margine, atunci **coeficientul de eroare** N_{free} al codului TCM 8-D, este egal cu numărul vecinilor cei mai apropiați ai unui punct de semnal 8-D și aflați într-un subset 8-D cu un număr finit de puncte de semnal 8-D. În acest caz $N_{free}=240$ per punct de semnal 8-D ($N_{free}=60$ per punct de semnal 2-D).

Dacă nu se neglijează efectul de margine, atunci coeficientul de eroare al codului TCM 8-D este mai mic decât 240.

3. Dacă X este subsetul 8-D asociat cu tranzițiile din starea curentă σ_n în starea următoare σ_{n+4} și dacă X_1, X_2, X_3 sunt subseturile 8-D obținute prin rotirea lui X cu $90^\circ, 180^\circ, 270^\circ$ atunci $X=X_1=X_2=X_3$.

Această cerință garantează că vom obține un cod TCM 4-D transparent la toate ambiguitățile de fază ale constelației de semnale 8-D, cu alte cuvinte un cod TCM 8-D invariant rotațional la $0^\circ, 90^\circ, 180^\circ, 270^\circ$.

Pentru a suprima toate cele 4 ambiguități de fază a constelației de semnale 8-D ($0^\circ, 90^\circ, 180^\circ, 270^\circ$) se folosește un **codor diferențial** pe 2 biți [16]:

$$(I'_{6,n} I'_{7,n}) = (I'_{6,n-4} I'_{7,n-4} + I_{6,n} I_{7,n}) \text{ mod } 4 \quad (4.21)$$

Convertorul de bit convertește cei 8 biți de la intrarea sa $Y_{0,n}, I_{1,n}, I_{2,n}, I_{3,n}, I_{4,n}, I_{5,n}, I'_{6,n}, I'_{7,n}$ în 4 grupuri de câte 2 biți fiecare [16]:

$$Z_{0,p}, Z_{1,p}, p=n, n+1, n+2, n+3 \quad (4.22)$$

care selectează 4 subseturi 2-D, corespunzătoare tipului 8-D selectat în cadrul subsetului 8-D utilizat.

Pentru a obține un cod TCM 8-D transparent la orice ambiguitate de fază a constelației de semnale 8-D trebuie să fie îndeplinită cerința prezentată în continuare.

Dacă X este tipul 8-D asociat cu structura de biți $Y_{0,n}, I_{1,n}, I_{2,n}, I_{3,n}, I_{4,n}, I_{5,n}, I'_{6,n}, I'_{7,n}$ atunci se notează cu X_1, X_2, X_3 tipurile 8-D obținute prin rotirea lui X cu $90^\circ, 180^\circ, 270^\circ$.

Dacă $(I'_{6,n}, I'_{7,n})_1, (I'_{6,n}, I'_{7,n})_2, (I'_{6,n}, I'_{7,n})_3$ sunt perechile de biți obținute prin translația perechii de biți $(I'_{6,n}, I'_{7,n})$ cu una, două sau trei poziții în secvența circulară $00 \rightarrow 10 \rightarrow 01 \rightarrow 11 \rightarrow 00$, atunci tipurile 8-D asociate cu structurile de biți:

$Y_{0,n}, I_{1,n}, I_{2,n}, I_{3,n}, I_{4,n}, I_{5,n}, (I'_{6,n}, I'_{7,n})_1,$

$Y_{0,n}, I_{1,n}, I_{2,n}, I_{3,n}, I_{4,n}, I_{5,n}, (I'_{6,n}, I'_{7,n})_2,$

$Y_{0,n}, I_{1,n}, I_{2,n}, I_{3,n}, I_{4,n}, I_{5,n}, (I'_{6,n}, I'_{7,n})_3,$

sunt X_1, X_2, X_3 .

Corespondența dintre cei 2 biți $Z_{0,p}, Z_{1,p}, p=n, n+1, n+2, n+3$ și subseturile 2-D este prezentată în Tabelul 4.1 iar funcționarea convertorului de bit este prezentată în Tabelul 4.5.

Codorul bloc folosește cei 9 biți $I_{1,n+1}, I_{2,n+1}, I_{3,n+1}, I_{4,n+1}, I_{5,n+1}, I_{6,n+1}, I_{7,n+1}, I_{1,n+2}, I_{2,n+2}$ pentru a genera 4 grupuri de câte 3 biți fiecare [16]:

$$Z_{2,p}, Z_{3,p}, Z_{4,p}, p=n, n+1, n+2, n+3 \quad (4.23)$$

care selectează pentru cele 4 subseturi 2-D utilizate primul sfert al grupului intern IG_1 , al doilea sfert al grupului intern IG_2 , al treilea sfert al grupului intern IG_3 , al patrulea sfert al grupului intern IG_4 sau grupul extern OG .

Corespondența dintre cei 3 biți $Z_{2,p}, Z_{3,p}, Z_{4,p}, p=n, n+1, n+2, n+3$ și grupurile constelației de semnale 2-D este prezentată în Tabelul 4.6 iar funcționarea codorului bloc este prezentată în Tabelul 4.7.

Cele 4 grupuri de câte 3 biți fiecare [16]:

$$Z_{5,p}, Z_{6,p}, Z_{7,p}, p=n, n+1, n+2, n+3 \quad (4.24)$$

selectează pentru fiecare din cele 4 subseturi 2-D utilizate, câte un punct de semnal 2-D din grupul constelației de semnale 2-D selectat anterior.

Tabelul 4.1 Corespondența dintre cei 2 biți $Z_{0,p}, Z_{1,p}$ și subseturile 2-D

Subset 2-D	$Z_{0,p}$	$Z_{1,p}$
A	0	0
B	0	1
C	1	0
D	1	1

Tabelul 4.5 Convertorul de bit

Subset 8-D	Y_n	$I_{1,n}$	$I_{2,n}$	$I_{3,n}$	$I_{4,n}$	$I_{5,n}$	Tip 8-D	$I'_{6,n}$	$I'_{7,n}$	Subset 2-D	$Z_{0,n}$	$Z_{1,n}$	$Z_{0,n+1}$	$Z_{1,n+1}$	$Z_{0,n+2}$	$Z_{1,n+2}$	$Z_{0,n+3}$	$Z_{1,n+3}$		
0	0	0	0	0	0	0	(0, 0)	0	0	(A, A)(A, A)	0	0	0	0	0	0	0	0	0	
	0	0	0	0	0	0		0	1	(A, A)(B, B)	0	0	0	0	0	1	0	1	0	1
	0	0	0	0	0	0		1	0	(B, B)(A, A)	0	1	0	1	0	0	0	0	0	0
	0	0	0	0	0	0		1	1	(B, B)(B, B)	0	1	0	1	0	1	0	1	0	1
	0	0	0	0	0	1	(1, 1)	0	0	(C, C)(C, C)	1	0	1	0	1	0	1	0	1	0
	0	0	0	0	0	1		0	1	(C, C)(D, D)	1	0	1	0	1	1	1	1	1	1
	0	0	0	0	0	1		1	0	(D, D)(C, C)	1	1	1	1	1	1	0	1	0	1
	0	0	0	0	0	1		1	1	(D, D)(D, D)	1	1	1	1	1	1	1	1	1	1
	0	0	0	0	1	0	(2, 2)	0	0	(A, B)(A, B)	0	0	0	1	0	0	0	0	1	0
	0	0	0	0	1	0		0	1	(A, B)(B, A)	0	0	0	1	0	1	0	0	0	0
	0	0	0	0	1	0		1	0	(B, A)(A, B)	0	1	0	0	0	0	0	0	0	1
	0	0	0	0	1	0		1	1	(B, A)(B, A)	0	1	0	0	0	1	0	0	0	0
	0	0	0	0	1	1	(3, 3)	0	0	(C, D)(C, D)	1	0	1	1	1	0	1	1	1	1
	0	0	0	0	1	1		0	1	(C, D)(D, C)	1	0	1	1	1	1	1	1	1	0
	0	0	0	0	1	1		1	0	(D, C)(C, D)	1	1	1	0	1	0	1	1	1	1
	0	0	0	0	1	1		1	1	(D, C)(D, C)	1	1	1	0	1	1	1	1	1	0
...																				
15	1	1	1	1	0	0	(4, 3)	0	0	(A, C)(C, D)	0	0	1	0	1	0	1	1	1	
	1	1	1	1	0	0		0	1	(A, C)(D, C)	0	0	1	0	1	1	1	1	1	0
	1	1	1	1	0	0		1	0	(B, D)(C, D)	0	1	1	1	1	0	1	1	1	
	1	1	1	1	0	0		1	1	(B, D)(D, C)	0	1	1	1	1	1	1	1	0	
	1	1	1	1	0	1	(5, 2)	0	0	(C, B)(A, B)	1	0	0	1	0	0	0	0	1	
	1	1	1	1	0	1		0	1	(C, B)(B, A)	1	0	0	1	0	1	0	0	0	
	1	1	1	1	0	1		1	0	(D, A)(A, B)	1	1	1	1	0	0	0	0	1	
	1	1	1	1	0	1		1	1	(D, A)(B, A)	1	1	1	1	0	1	0	0	0	
	1	1	1	1	1	0	(6, 1)	0	0	(A, D)(C, C)	0	0	1	1	1	0	1	1	0	
	1	1	1	1	1	0		0	1	(A, D)(D, D)	0	0	1	1	1	1	1	1	1	
	1	1	1	1	1	0		1	0	(B, C)(C, C)	0	1	1	0	1	0	1	1	0	
	1	1	1	1	1	0		1	1	(B, C)(D, D)	0	1	1	0	1	1	1	1	1	
	1	1	1	1	1	1	(7, 0)	0	0	(C, A)(A, A)	1	0	0	0	0	0	0	0	0	
	1	1	1	1	1	1		0	1	(C, A)(B, B)	1	0	0	0	0	1	0	0	1	
	1	1	1	1	1	1		1	0	(D, B)(A, A)	1	1	0	1	0	0	0	0	0	
	1	1	1	1	1	1		1	1	(D, B)(B, B)	1	1	0	1	0	1	0	1	0	

Tabelul 4.6 Corespondența dintre cei 3 biți $Z_{2,p}$, $Z_{3,p}$, $Z_{4,p}$ și grupurile constelației de semnale 2-D

$Z_{2,p}$	$Z_{3,p}$	$Z_{4,p}$	Grup constelație de semnale 2-D
0	0	0	IG ₁
0	0	1	IG ₂
0	1	0	IG ₃
0	1	1	IG ₄
1	0	0	OG

Tabelul 4.7 Codorul bloc

$I_{1,n+1}$	$I_{2,n+1}$	$I_{3,n+1}$	$Z_{2,n}$	$Z_{3,n}$	$Z_{4,n}$	$Z_{2,n+1}$	$Z_{3,n+1}$	$Z_{4,n+1}$	$Z_{2,n+2}$	$Z_{3,n+2}$	$Z_{4,n+2}$	$Z_{2,n+3}$	$Z_{3,n+3}$	$Z_{4,n+3}$
0	X	X	0	$I_{2,n+1}$	$I_{3,n+1}$	0	$I_{4,n+1}$	$I_{5,n+1}$	0	$I_{6,n+1}$	$I_{7,n+1}$	0	$I_{1,n+2}$	$I_{2,n+2}$
1	0	0	1	0	0	0	$I_{4,n+1}$	$I_{5,n+1}$	0	$I_{6,n+1}$	$I_{7,n+1}$	0	$I_{1,n+2}$	$I_{2,n+2}$
1	0	1	0	$I_{4,n+1}$	$I_{5,n+1}$	1	0	0	0	$I_{6,n+1}$	$I_{7,n+1}$	0	$I_{1,n+2}$	$I_{2,n+2}$
1	1	0	0	$I_{4,n+1}$	$I_{5,n+1}$	0	$I_{6,n+1}$	$I_{7,n+1}$	1	0	0	0	$I_{1,n+2}$	$I_{2,n+2}$
1	1	1	0	$I_{4,n+1}$	$I_{5,n+1}$	0	$I_{6,n+1}$	$I_{7,n+1}$	0	$I_{1,n+2}$	$I_{2,n+2}$	1	0	0

Cîștigul de codare asimptotic al codului TCM 8-D față de o transmisie necodată se calculează astfel [16]:

$$\gamma = 10 \log_{10} \left(\frac{\frac{4d_0^2}{23,59375d_0^2}}{\frac{d_0^2}{20,5d_0^2}} \right) = 10 \log_{10}(3,475) \cong 5,40955 \text{ [dB]} \quad (4.25)$$

unde :

d_0^2 = MSED a constelației de semnale 2-D utilizată la o transmisie necodată,

$4d_0^2$ = MSED a subseturilor 8-D obținute prin partiționarea constelației de semnale 8-D,

$20,5 d_0^2$ = energia medie a constelației de semnale 2-D utilizată la o transmisie necodată, (128 de puncte de semnal 2-D) = suma pătratelor distanțelor dintre originea axelor de coordonate ale planului complex și punctele de semnal 2-D, raportată la numărul punctelor de semnal 2-D,

$23,59375 d_0^2$ = energia medie a constelației de semnale 2-D constituantă a constelației de semnale 8-D calculată ținînd cont de relația (4.2).

4.3 Construcția Sterian pentru coduri TCM multidimensionale

În cazul construcției Wei a codurilor TCM multidimensionale, pentru a transmite Q biți în fiecare interval de semnalizare 2-D, constelația de semnale 2-D constituantă a constelației de semnale $2N$ -D este formată din 2 grupuri:

- **grupul intern IG (Inner Group)** care conține 2^Q puncte de semnal 2-D, la fel ca și constelația de semnale 2-D folosită într-o transmisie necodată pentru a transmite Q biți în fiecare interval de semnalizare 2-D,
- **grupul extern OG (Outer Group)** care conține $\frac{1}{N} 2^Q$ puncte de semnal 2-D.

Întrucît grupul extern conține $\frac{1}{N} 2^Q$ puncte de semnal 2-D, este evident că N trebuie să fie o putere întregă a lui 2.

Sterian a extins construcția Wei a codurilor TCM multidimensionale și pentru cazurile cînd N nu este o putere întregă a lui 2 [42].

Lema 4.1-Dacă N și c sunt două numere întregi pozitive astfel încît:

$$2^{c-1} \leq N \leq 2^c \quad (4.26)$$

atunci se pot găsi două numere întregi pozitive N_1 și N_2 , astfel încît [42]:

$$\begin{aligned} N_1 + N_2 &= N \\ N_1 + 2N_2 &= 2^c \end{aligned} \quad (4.27)$$

Se observă că 2^c este cea mai mică putere întreagă a lui 2 care este mai mare decât N [42].

Se consideră două subgrupuri externe [42]:

- ❖ subgrupul extern O_1 , care conține n_{O_1} puncte de semnal 2-D,
- ❖ subgrupul extern O_2 , care conține n_{O_2} puncte de semnal 2-D.

Se notează cu N_1 , respectiv N_2 numărul de poziții ocupate de punctul de semnal 2-D din O_1 , respectiv O_2 în construcția unui punct de semnal 2N-D. Se obține [42]:

$$\begin{aligned} N_1 + N_2 &= N \\ N_1 n_{O_1} + N_2 n_{O_2} &= 2^Q \end{aligned} \quad (4.28)$$

Pentru cazurile în care N nu este o putere întreagă a lui 2, se consideră că numărul de puncte de semnal 2-D din subgrupul extern O_2 este dublu față de numărul de puncte de semnal 2-D din O_1 [42]:

$$n_{O_2} = 2n_{O_1} \quad (4.29)$$

Ținând cont de relațiile (4.27), (4.28) și (4.29) se obține [42]:

$$\begin{aligned} n_{O_1} &= 2^{Q-c} \\ n_{O_2} &= 2^{Q+1-c} \end{aligned} \quad (4.30)$$

Se consideră că grupul extern OG , este format din două subgrupuri externe Ω_1 și Ω_2 , care au fiecare același număr n_{O_1} de puncte de semnal 2-D [42], astfel încît:

$$\begin{aligned} O_1 &= \Omega_1 \\ O_2 &= \Omega_1 \cup \Omega_2 \end{aligned} \quad (4.31)$$

Construirea punctelor de semnal 2N-D se face prin concatenarea a N puncte de semnal 2-D și ținând cont de următoarele observații:

- numărul punctelor de semnal 2N-D care conțin N puncte de semnal 2-D din IG este 2^{NQ} ,
- numărul punctelor de semnal 2N-D care conțin $N-1$ puncte de semnal 2-D din IG și un punct de semnal 2-D din Ω_1 în una din primele N poziții este $\frac{N}{2^c} 2^{NQ}$,
- numărul punctelor de semnal 2N-D care conțin $N-1$ puncte de semnal 2-D din

IG și un punct de semnal 2-D din Ω_2 în una din primele N_2 poziții este $\frac{N_2}{2^c} 2^{NQ}$.

Rezultă în total $2^{NQ+1} = 2^{NQ} + \frac{N}{2^c} 2^{NQ} + \frac{N_2}{2^c} 2^{NQ}$ puncte de semnal 2N-D.

În construcția punctelor de semnal 2N-D, un punct de semnal 2-D din Ω_1 este utilizat de $\frac{N}{N_2}$ ori mai des decât un punct de semnal 2-D din Ω_2 . Dacă p_{Ω_1} este probabilitatea de utilizare a unui punct de semnal 2-D din Ω_1 , p_{Ω_2} este probabilitatea de utilizare a unui punct de semnal 2-D din Ω_2 și p_{OG} este probabilitatea de utilizare a unui punct de semnal 2-D din OG atunci se obține [42]:

$$\begin{cases} p_{\Omega_1} = \frac{N}{N_2} \\ p_{\Omega_2} = \frac{1}{N_2} \\ p_{\Omega_1} + p_{\Omega_2} = p_{OG} = \frac{1}{2N} \end{cases} \Leftrightarrow \begin{cases} p_{\Omega_1} = \frac{1}{2(N + N_2)} \\ p_{\Omega_2} = \frac{N_2}{2N(N + N_2)} \end{cases} \quad (4.32)$$

Energia medie a constelației de semnale 2-D constituentă a constelației de semnale 2N-D este egală cu [42]:

$$\begin{aligned} E_{\text{medie}} &= p_{IG} E_{IG} + p_{\Omega_1} E_{\Omega_1} + p_{\Omega_2} E_{\Omega_2} = \\ &= \frac{2N-1}{2N} E_{IG} + \frac{1}{2(N + N_2)} E_{\Omega_1} + \frac{N_2}{2N(N + N_2)} E_{\Omega_2} \end{aligned} \quad (4.33)$$

unde:

E_{IG} =energia medie a grupului intern IG a constelației de semnale 2-D constituentă a constelației de semnale 2N-D = suma pătratelor distanțelor dintre originea axelor de coordonate ale planului complex și punctele de semnal 2-D situate în grupul intern IG,

E_{Ω_1} =energia medie a subgrupului extern Ω_1 a constelației de semnale 2-D constituentă a constelației de semnale 2N-D = suma pătratelor distanțelor dintre originea axelor de coordonate ale planului complex și punctele de semnal 2-D situate în grupul extern Ω_1 , raportată la numărul punctelor de semnal 2-D situate în grupul extern Ω_1 ,

E_{Ω_2} =energia medie a subgrupului extern Ω_2 a constelației de semnale 2-D constituentă a constelației de semnale 2N-D = suma pătratelor distanțelor dintre originea axelor de coordonate ale planului complex și punctele de semnal 2-D situate în grupul extern Ω_2 , raportată la numărul punctelor de semnal 2-D situate în grupul extern Ω_2 ,

N_1 și N_2 =două numere întregi pozitive care respectă condițiile lemei 4.1,

$2N$ =dimensiunea codului TCM multidimensional.

4.3.1 Codul TCM 6-D, cu rata 3/4 și cu 64 stări

Se consideră transmisia a $Q=7$ biți/interval de semnalizare 2-D. Schema bloc a codorului TCM 6-D cu rata 3/4 și 64 stări este prezentată în Fig.4.5 [42].

În acest caz $N=3$ și din relațiile (4.24), (4.25), (4.28) rezultă că $c=2$, $N_1=2$, $N_2=1$.

Constelația de semnale 2-D constituentă a constelației de semnale 6-D este un subset finit al latticei $(2Z+1)^2$ ($Z =$ mulțimea numerelor întregi) și este formată din 192 puncte de semnal 2-D:

- ❖ $2^7=128$ puncte de semnal 2-D în grupul IG,
- ❖ $n_{O_1}=2^5=32$ puncte de semnal 2-D în subgrupul Ω_1 ,
- ❖ $n_{O_1}=2^5=32$ puncte de semnal 2-D în subgrupul Ω_2 .

Se partitionează constelația de semnale 2-D (Fig.4.6) constituentă în 4 **subseturi 2-D** [42]:

- $\Rightarrow A=(4Z+1)^2$,
- $\Rightarrow B=(4Z+3)^2$,
- $\Rightarrow C=(4Z+1)(4Z+3)$,
- $\Rightarrow D=(4Z+3)(4Z+1)$.

Dacă constelația de semnale 2-D constituentă are $MSED=d_0^2$ atunci subseturile 2-D au MSED de intrasubset egală cu $d^2 = 4d_0^2$.

Dacă se rotesc succesiv subseturile 2-D în sens orar cu câte 90° au loc următoarele transformări ale subseturilor 2-D (vezi relația 4.3) [42]:

$$A \rightarrow C \rightarrow B \rightarrow D \rightarrow A$$

Prin concatenarea a 3 constelații de semnale 2-D componente și prin eliminarea punctelor de semnal 6-D care conțin mai mult decât un singur punct de semnal 2-D din grupul extern OG, se obține **constelația de semnale 6-D** cu $2^{3 \times 7 + 1} = 2^{22}$ puncte de semnal 6-D.

Se construiesc 64 **tipuri 6-D** cu $MSED=d^2 = 4d_0^2$ prin concatenarea a câte 3 subseturi 2-D și notate astfel [42]:

$$(A, A, A), (A, A, B), (A, A, C), (A, A, D), \dots, (D, D, D) \quad (4.34)$$

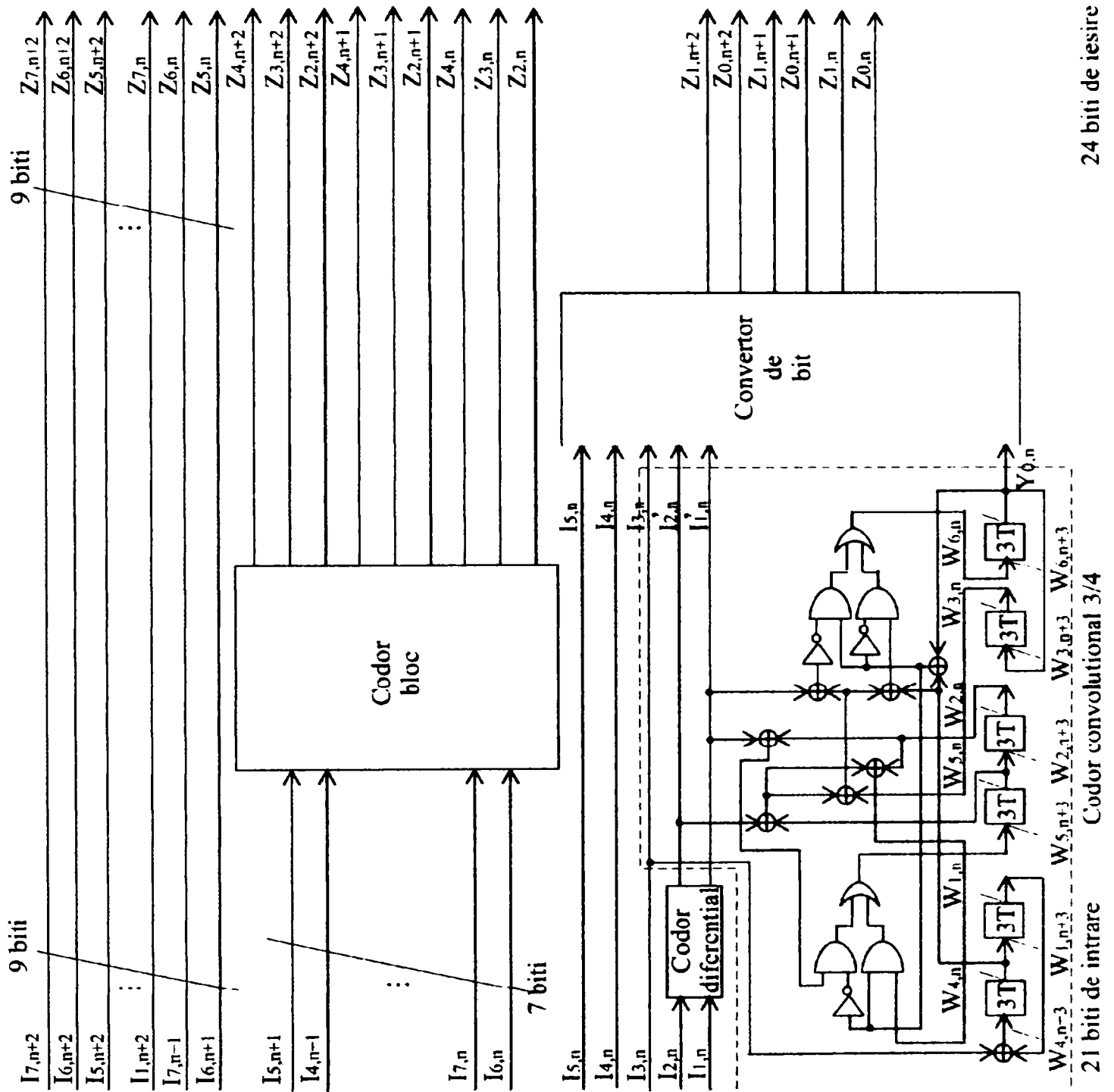
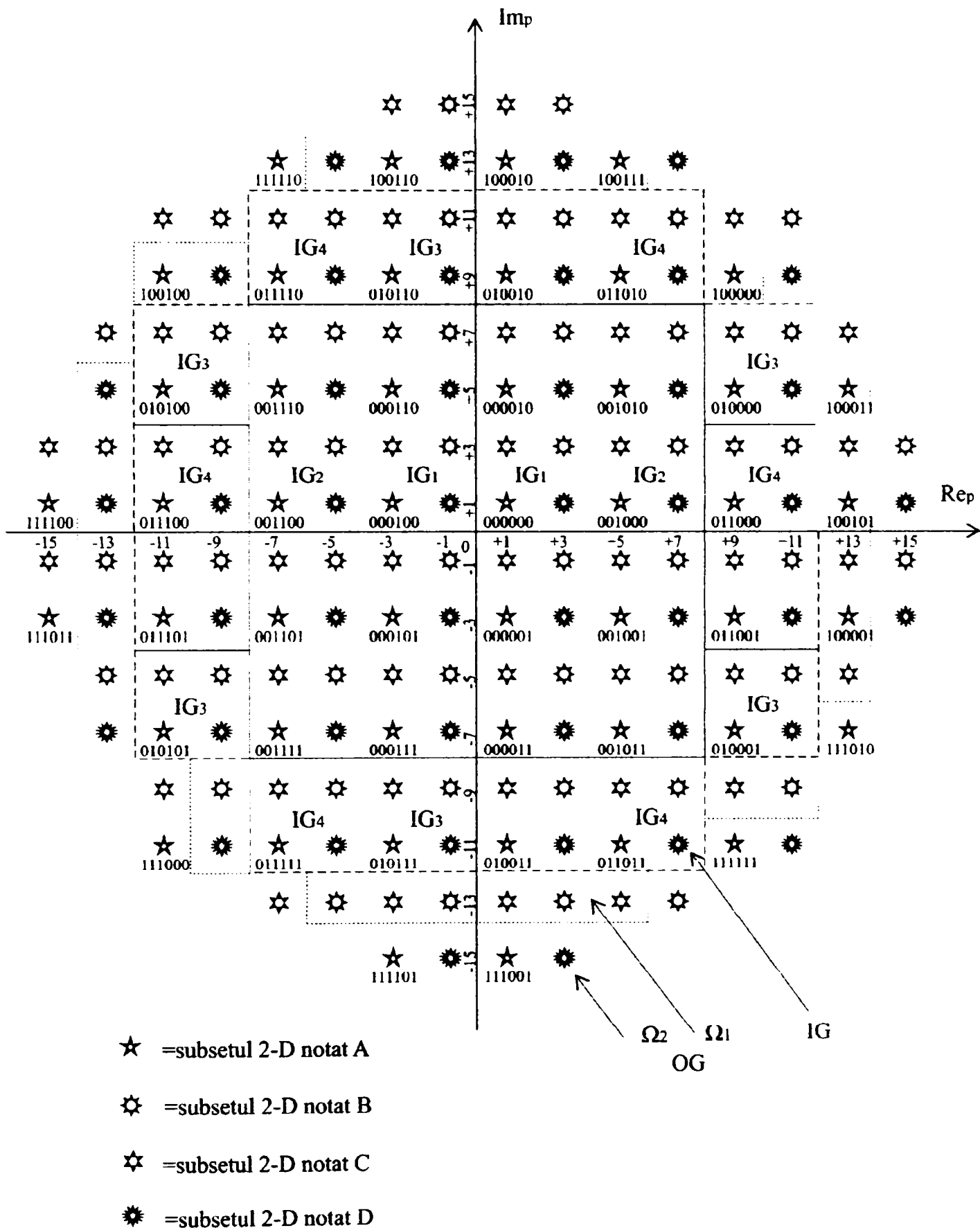


Fig.4.5 Schema bloc a codorului TCM 6-D cu rata 2/3 și 16 stări (construcția Sterian).



Numărul dedesubtul fiecărui punct de semnal 2-D este $Z_{2,p}, Z_{3,p}, Z_{4,p}, Z_{5,p}, Z_{6,p}, Z_{7,p}$, $p=n, n+1, n+2$.

Fig.4.6 Constelația de semnale 2-D constituantă cu 172 puncte de semnal 2-D (construcția Sterian).

Cele 64 tipuri 6-D sunt grupate în 16 **subseturi 6-D** astfel încît MSED a fiecărui subset 6-D obținut să fie egală cu $d^2 = 4d_0^2$ [42]:

$$\left\{ \begin{array}{l} S_0=(A, A, A) \cup (A, B, B) \cup (B, A, B) \cup (B, B, A) \\ S_1=(C, A, B) \cup (C, B, A) \cup (D, A, A) \cup (D, B, B) \\ S_2=(A, C, C) \cup (A, D, D) \cup (B, C, D) \cup (B, D, C) \\ S_3=(C, C, C) \cup (C, D, D) \cup (D, C, D) \cup (D, D, C) \\ S_4=(A, A, B) \cup (A, B, A) \cup (B, A, A) \cup (B, B, B) \\ S_5=(C, A, A) \cup (C, B, B) \cup (D, A, B) \cup (D, B, A) \\ S_6=(A, C, D) \cup (A, D, C) \cup (B, C, C) \cup (B, D, D) \\ S_7=(C, C, D) \cup (C, D, C) \cup (D, C, C) \cup (D, D, D) \\ S_8=(C, A, C) \cup (C, B, D) \cup (D, A, D) \cup (D, B, C) \\ S_9=(A, A, D) \cup (A, B, C) \cup (B, A, C) \cup (B, B, D) \\ S_{10}=(C, C, A) \cup (C, D, B) \cup (D, C, B) \cup (D, D, A) \\ S_{11}=(A, C, A) \cup (A, D, B) \cup (B, C, B) \cup (B, D, A) \\ S_{12}=(C, A, D) \cup (C, B, C) \cup (D, A, C) \cup (D, B, D) \\ S_{13}=(A, A, C) \cup (A, B, D) \cup (B, A, D) \cup (B, B, C) \\ S_{14}=(C, C, B) \cup (C, D, A) \cup (D, C, A) \cup (D, D, B) \\ S_{15}=(A, C, B) \cup (A, D, A) \cup (B, C, A) \cup (B, D, B) \end{array} \right. \quad (4.35)$$

Dacă se rotesc succesiv subseturile 2-D în sens orar cu cîte 90° au loc următoarele transformări ale subseturilor 6-D [42]:

$$\left\{ \begin{array}{l} S_0 \rightarrow S_3 \rightarrow S_4 \rightarrow S_7 \rightarrow S_0 \\ S_1 \rightarrow S_2 \rightarrow S_5 \rightarrow S_6 \rightarrow S_1 \\ S_8 \rightarrow S_{11} \rightarrow S_{12} \rightarrow S_{15} \rightarrow S_8 \\ S_9 \rightarrow S_{10} \rightarrow S_{13} \rightarrow S_{14} \rightarrow S_9 \end{array} \right. \quad (4.36)$$

Subseturile 6-D sunt grupate în 2 **familii 6-D** cu $MSED=2d_0^2$ astfel încît fiecare familie 6-D să conțină 8 subseturi 6-D [42]:

$$\left\{ \begin{array}{l} F_0=S_0 \cup S_2 \cup S_4 \cup S_6 \cup S_8 \cup S_{10} \cup S_{12} \cup S_{14} \\ F_1=S_1 \cup S_3 \cup S_5 \cup S_7 \cup S_9 \cup S_{11} \cup S_{13} \cup S_{15} \end{array} \right. \quad (4.37)$$

În acest caz avem $m=3$ biți de la intrare care sunt codati cu un codor convoluțional cu rata de codare $3/4$ și cu 64 stări.

Setul stărilor curente $\{\sigma_n\}$ a codorului convoluțional se partiționează în 8 subseturi [42]:

$$\{8i + j \mid 0 \leq i \leq 7, 0 \leq j \leq 7\} \quad (4.38)$$

Setul stărilor următoare $\{\sigma_{n+3}\}$ a codorului convoluțional se partiționează în 8 subseturi [42]:

$$\{8j + k \mid 0 \leq j \leq 7, 0 \leq k \leq 7\} \quad (4.39)$$

Conectivitatea diagramei trellis se realizează astfel: pentru orice $0 \leq j \leq 7$ există tranziții de stare între fiecare stare curentă $8i+j$, $0 \leq i \leq 7$ și fiecare stare următoare $8j+k$, $0 \leq k \leq 7$.

Asignarea subseturilor 6-D la tranzițiile de stare ale codului TCM 6-D este realizată astfel încât să fie îndeplinite trei cerințe [16]:

1. Subseturile 6-D, asociate cu tranzițiile care pornesc dintr-o anumită stare, să difere unele de altele și să aparțină aceleiași familii 6-D.

Același considerent se aplică și pentru subseturile 6-D asociate cu tranzițiile care ajung într-o anumită stare.

Conform acestei cerințe:

⇒ la tranzițiile care pornesc din stări pare ($Y_{0,n}=W_{6,n}=0$) sunt asignate subseturi 6-D din familia 6-D notată F_0 ,

⇒ la tranzițiile care pornesc din stări impare ($Y_{0,n}=W_{6,n}=1$) sunt asignate subseturi 6-D din familia 6-D notată F_1 .

2. MSED dintre două secvențe de subseturi 6-D, care corespund la două traiectorii distincte prin diagrama trellis, să fie mai mare sau egală cu $d_{\text{free}}^2 = d^2 = 4d_0^2$, care este MSED a fiecărui subset 6-D (MSED de intersubset 6-D să fie mai mare sau cel puțin egală cu MSED de intrasubset 6-D).

Această cerință garantează că MSED dintre două secvențe de puncte de semnal 6-D este $d^2 = 4d_0^2$ și elimină evenimentele eroare care diferă cu mai mult decât un punct de semnal 6-D față de secvența corectă de puncte de semnal 6-D.

Dacă se neglijează efectul de margine, atunci **coeficientul de eroare** N_{free} al codului TCM 6-D, este egal cu numărul vecinilor cei mai apropiați ai unui punct de semnal 6-D și aflați într-un subset 6-D cu un număr finit de puncte de semnal 6-D. În acest caz $N_{\text{free}}=60$ per punct de semnal 6-D ($N_{\text{free}}=20$ per punct de semnal 2-D).

Dacă nu se neglijează efectul de margine, atunci coeficientul de eroare al codului TCM 6-D este mai mic decât 60.

3. Dacă X este subsetul 6-D asociat cu tranzițiile din starea curentă σ_n în starea următoare σ_{n+3} și dacă X_1, X_2, X_3 sunt subseturile 6-D obținute prin rotirea lui X cu $90^\circ, 180^\circ, 270^\circ$ atunci se pot defini trei funcții F_1, F_2, F_3 de corespondență între stările codului TCM 6-D astfel încât X_1 să fie asociat cu tranzițiile din starea curentă $F_1(\sigma_n)$ în starea următoare $F_1(\sigma_{n+3})$, X_2 să fie asociat cu tranzițiile din starea curentă $F_2(\sigma_n)$ în starea următoare $F_2(\sigma_{n+3})$, X_3 să fie asociat cu tranzițiile din starea curentă $F_3(\sigma_n)$ în starea următoare $F_3(\sigma_{n+3})$.

Pentru o rotație de 90° în sens orar se definește funcția F_1 astfel [42]:

$$W_{1,n} W_{2,n} W_{3,n} W_{4,n} W_{5,n} W_{6,n} \rightarrow W_{1,n} V_{2,n} V_{3,n} W_{4,n} V_{5,n} V_{6,n} \quad (4.40)$$

unde [42]:

$$\begin{cases} V_{2,n} V_{3,n} = (W_{2,n} W_{3,n} + 01) \text{mod} 4 \\ V_{5,n} V_{6,n} = (W_{5,n} W_{6,n} + 01) \text{mod} 4 \end{cases} \quad (4.41)$$

Pentru o rotație de 180° în sens orar se definește funcția F_2 astfel [42]:

$$W_{1,n} W_{2,n} W_{3,n} W_{4,n} W_{5,n} W_{6,n} \rightarrow W_{1,n} \bar{W}_{2,n} W_{3,n} W_{4,n} \bar{W}_{5,n} W_{6,n} \quad (4.42)$$

unde bara deasupra înseamnă inversare binară.

Pentru o rotație de 270° în sens orar definim funcția F_3 astfel [42]:

$$W_{1,n} W_{2,n} W_{3,n} W_{4,n} W_{5,n} W_{6,n} \rightarrow W_{1,n} V_{2,n} V_{3,n} W_{4,n} V_{5,n} V_{6,n} \quad (4.43)$$

unde [42]:

$$\begin{cases} V_{2,n} V_{3,n} = (W_{2,n} W_{3,n} + 11) \text{mod} 4 \\ V_{5,n} V_{6,n} = (W_{5,n} W_{6,n} + 11) \text{mod} 4 \end{cases} \quad (4.44)$$

Această cerință garantează că vom obține un cod TCM 6-D transparent la toate ambiguitățile de fază ale constelației de semnale 6-D, cu alte cuvinte un cod TCM 6-D invariant rotațional la 0° , 90° , 180° , 270° .

Pentru a suprima toate cele 4 ambiguități de fază a constelației de semnale 6-D (0° , 90° , 180° , 270°) se folosește un **codor diferențial** pe 2 biți [42]:

$$(I'_{1,n} I'_{2,n}) = (I'_{1,n-3} I'_{2,n-3} + I_{1,n} I_{2,n}) \text{mod} 4 \quad (4.45)$$

Convertorul de bit convertește cei 6 biți de la intrarea sa $Y_{0,n}$, $I'_{1,n}$, $I'_{2,n}$, $I_{3,n}$, $I_{4,n}$, $I_{5,n}$ în 3 grupuri de câte 2 biți fiecare [42]:

$$Z_{0,p}, Z_{1,p}, p=n, n+1, n+2 \quad (4.46)$$

care selectează 3 subseturi 2-D, corespunzătoare tipului 6-D selectat în cadrul subsetului 6-D utilizat.

Pentru a obține un cod TCM 6-D transparent la orice ambiguitate de fază a constelației de semnale 6-D trebuie să fie îndeplinită cerința prezentată în continuare.

Dacă X este tipul 6-D asociat cu structura de biți $Y_{0,n}$, $I'_{1,n}$, $I'_{2,n}$, $I_{3,n}$, $I_{4,n}$, $I_{5,n}$ atunci se notează cu X_1 , X_2 , X_3 tipurile 6-D obținute prin rotirea lui X cu 90° , 180° , 270° .

Dacă $(I'_{1,n}, I'_{2,n})_1$, $(I'_{1,n}, I'_{2,n})_2$, $(I'_{1,n}, I'_{2,n})_3$ sunt perechile de biți obținute prin translația perechii de biți $(I'_{1,n}, I'_{2,n})$ cu una, două sau trei poziții în secvența circulară $00 \rightarrow 10 \rightarrow 01 \rightarrow 11 \rightarrow 00$, atunci tipurile 6-D asociate cu structurile de biți:

$Y_{0,n}, (I'_{1,n}, I'_{2,n})_1, I_{3,n}, I_{4,n}, I_{5,n},$

$Y_{0,n}, (I'_{1,n}, I'_{2,n})_2, I_{3,n}, I_{4,n}, I_{5,n},$

$Y_{0,n}, (I'_{1,n}, I'_{2,n})_3, I_{3,n}, I_{4,n}, I_{5,n},$

sunt $X_1, X_2, X_3.$

Correspondența dintre cei 2 biți $Z_{0,p}, Z_{1,p}, p=n, n+1, n+2$ și subseturile 2-D este prezentată în Tabelul 4.1 iar funcționarea convertorului de bit este prezentată în Tabelul 4.8.

Tabelul 4.1 Corespondența dintre cei 2 biți $Z_{0,p}, Z_{1,p}$ și subseturile 2-D

Subset 2-D	$Z_{0,p}$	$Z_{1,p}$
A	0	0
B	0	1
C	1	0
D	1	1

Tabelul 4.8 Convertorul de bit

Subset 6-D	$Y_{0,n}$	$I'_{1,n}$	$I'_{2,n}$	$I_{3,n}$	$I_{4,n}$	$I_{5,n}$	Tip 6-D	$Z_{0,n}$	$Z_{1,n}$	$Z_{0,n+1}$	$Z_{1,n+1}$	$Z_{0,n+2}$	$Z_{1,n+2}$
0	0	0	0	0	0	0	(A, A, A)	0	0	0	0	0	0
	0	0	0	0	0	1	(A, B, B)	0	0	0	1	0	1
	0	0	0	0	1	0	(B, A, B)	0	1	0	0	0	1
	0	0	0	0	1	1	(B, B, A)	0	1	0	1	0	0
...													
...													
15	1	1	1	1	0	0	(A, C, B)	0	0	1	0	0	1
	1	1	1	1	0	1	(A, D, A)	0	0	1	1	0	0
	1	1	1	1	1	0	(B, C, A)	0	1	1	1	0	0
	1	1	1	1	1	1	(B, D, B)	0	1	1	1	0	1

Dacă se notează cu S_i subseturile 6-D atunci indexul i este furnizat de relația [42]:

$$i = 8Y_{0,n} + 4I'_{1,n} + 2I'_{2,n} + I_{3,n}, i = 0, 1, \dots, 15 \quad (4.47)$$

Codorul bloc folosește cei 7 biți $I_{6,n}, I_{7,n}, I_{1,n+1}, I_{2,n+1}, I_{3,n+1}, I_{4,n+1}, I_{5,n+1}$ pentru a genera 3 grupuri de câte 3 biți fiecare [42]:

$$Z_{2,p}, Z_{3,p}, Z_{4,p}, p=n, n+1, n+2 \quad (4.48)$$

care selectează pentru fiecare din cele 3 subseturi 2-D utilizate, primul sfert al grupului intern IG_1 , al doilea sfert al grupului intern IG_2 , al treilea sfert al grupului intern IG_3 , al patrulea sfert al grupului intern IG_4 , subgrupul extern Ω_1 sau subgrupul extern Ω_2 .

Correspondența dintre cei 3 biți $Z_{2,p}$, $Z_{3,p}$, $Z_{4,p}$, $p=n, n+1, n+2, n+3$ și grupurile constelației de semnale 2-D este prezentată în Tabelul 4.9 iar funcționarea codorului bloc este prezentată în Tabelul 4.10.

Cele 3 grupuri de câte 3 biți fiecare [42]:

$$Z_{5,p}, Z_{6,p}, Z_{7,p}, p=n, n+1, n+2 \quad (4.49)$$

selectează pentru fiecare din cele 3 subseturi 2-D utilizate, câte un punct de semnal 2-D din grupul constelației de semnale 2-D selectat anterior.

Cîștigul de codare asimptotic al codului TCM 6-D față de o transmisie necodată se calculează astfel [42]:

$$\gamma = 10 \log_{10} \left(\frac{\frac{4d_0^2}{25,0833d_0^2}}{\frac{d_0^2}{20,5d_0^2}} \right) = 10 \log_{10}(3,269) \cong 5,14415 \text{ [dB]} \quad (4.50)$$

unde:

d_0^2 = MSED a constelației de semnale 2-D utilizată la o transmisie necodată,

$4d_0^2$ = MSED a subseturilor 6-D obținute prin partiționarea constelației de semnale 6-D,

$20,5 d_0^2$ = energia medie a constelației de semnale 2-D utilizată la o transmisie necodată, (128 de puncte de semnal 2-D) = suma pătratelor distanțelor dintre originea axelor de coordonate ale planului complex și punctele de semnal 2-D, raportată la numărul punctelor de semnal 2-D,

$25,0833 d_0^2$ = energia medie a constelației de semnale 2-D constituentă a constelației de semnale 6-D calculată ținînd cont de relația (4.33).

Tabelul 4.9 Corespondența dintre cei 3 biți $Z_{2,p}$, $Z_{3,p}$, $Z_{4,p}$ și grupurile constelației de semnale 2-D

$Z_{2,p}$	$Z_{3,p}$	$Z_{4,p}$	Grup constelație de semnale 2-D
0	0	0	IG ₁
0	0	1	IG ₂
0	1	0	IG ₃
0	1	1	IG ₄
1	0	0	Ω_1
1	1	1	Ω_2

Tabelul 4.10 Codorul bloc

$I_{6,n}$	$I_{7,n}$	$I_{1,n+1}$	$Z_{2,n}$	$Z_{3,n}$	$Z_{4,n}$	$Z_{2,n+1}$	$Z_{3,n+1}$	$Z_{4,n+1}$	$Z_{2,n+2}$	$Z_{3,n+2}$	$Z_{4,n+2}$
0	X	X	0	$I_{7,n}$	$I_{1,n+1}$	0	$I_{2,n+1}$	$I_{3,n+1}$	0	$I_{4,n+1}$	$I_{5,n+1}$
1	0	0	1	0	0	0	$I_{2,n+1}$	$I_{3,n+1}$	0	$I_{4,n+1}$	$I_{5,n+1}$
1	0	1	0	$I_{2,n+1}$	$I_{3,n+1}$	1	0	0	0	$I_{4,n+1}$	$I_{5,n+1}$
1	1	0	0	$I_{2,n+1}$	$I_{3,n+1}$	0	$I_{4,n+1}$	$I_{5,n+1}$	1	0	0
1	1	1	1	1	1	0	$I_{2,n+1}$	$I_{3,n+1}$	0	$I_{4,n+2}$	$I_{5,n+2}$

4.3.2 Codul TCM 12-D, cu rata 4/5 și cu 256 stări

Se consideră transmisia a $Q=7$ biți/interval de semnalizare 2-D. Schema bloc a codorului TCM 12-D cu rata 4/5 și 256 stări este prezentată în Fig.4.7 [42].

În acest caz $N=6$ și din relațiile (4.24), (4.25), (4.28) rezultă că $c=3$, $N_1=4$, $N_2=2$.

Constelația de semnale 2-D constituentă a constelației de semnale 12-D este un subset finit al latticei $(2Z+1)^2$ ($Z =$ mulțimea numerelor întregi) și este formată din 160 puncte de semnal 2-D:

- ❖ $2^7=128$ puncte de semnal 2-D în grupul IG,
- ❖ $n_{O_1}=2^4=16$ puncte de semnal 2-D în subgrupul Ω_1 ,
- ❖ $n_{O_2}=2^4=16$ puncte de semnal 2-D în subgrupul Ω_2 .

Se partiționează constelația de semnale 2-D (Fig.4.8) constituentă în 4 **subseturi 2-D** [42]:

- $\Rightarrow A=(4Z+1)^2$,
- $\Rightarrow B=(4Z+3)^2$,
- $\Rightarrow C=(4Z+1)(4Z+3)$,
- $\Rightarrow D=(4Z+3)(4Z+1)$.

Dacă constelația de semnale 2-D constituentă are $MSED=d_0^2$ atunci subseturile 2-D au MSED de intrasubset egală cu $d^2 = 4d_0^2$.

Dacă se rotesc succesiv subseturile 2-D în sens orar cu câte 90° au loc următoarele transformări ale subseturilor 2-D (vezi relația 4.3) [42]:

$$A \rightarrow C \rightarrow B \rightarrow D \rightarrow A$$

Prin concatenarea a 6 constelații de semnale 2-D constituite și prin eliminarea punctelor de semnal 12-D care conțin mai mult decât un singur punct de semnal 2-D din grupul extern OG, se obține **constelația de semnale 12-D** cu $2^{6 \times 7 + 1} = 2^{43}$ puncte de semnal 6-D.

Se construiesc 256 **tipuri 12-D** cu $MSED=d^2 = 4d_0^2$ prin concatenarea a câte 2 subseturi 6-D și notate astfel [42]:

$$(0, 0), (0, 1), \dots, (15, 15) \quad (4.51)$$

unde $i=0, 1, \dots, 15$ reprezintă indicele subseturilor 6-D notate S_i în paragraful 4.3.1.

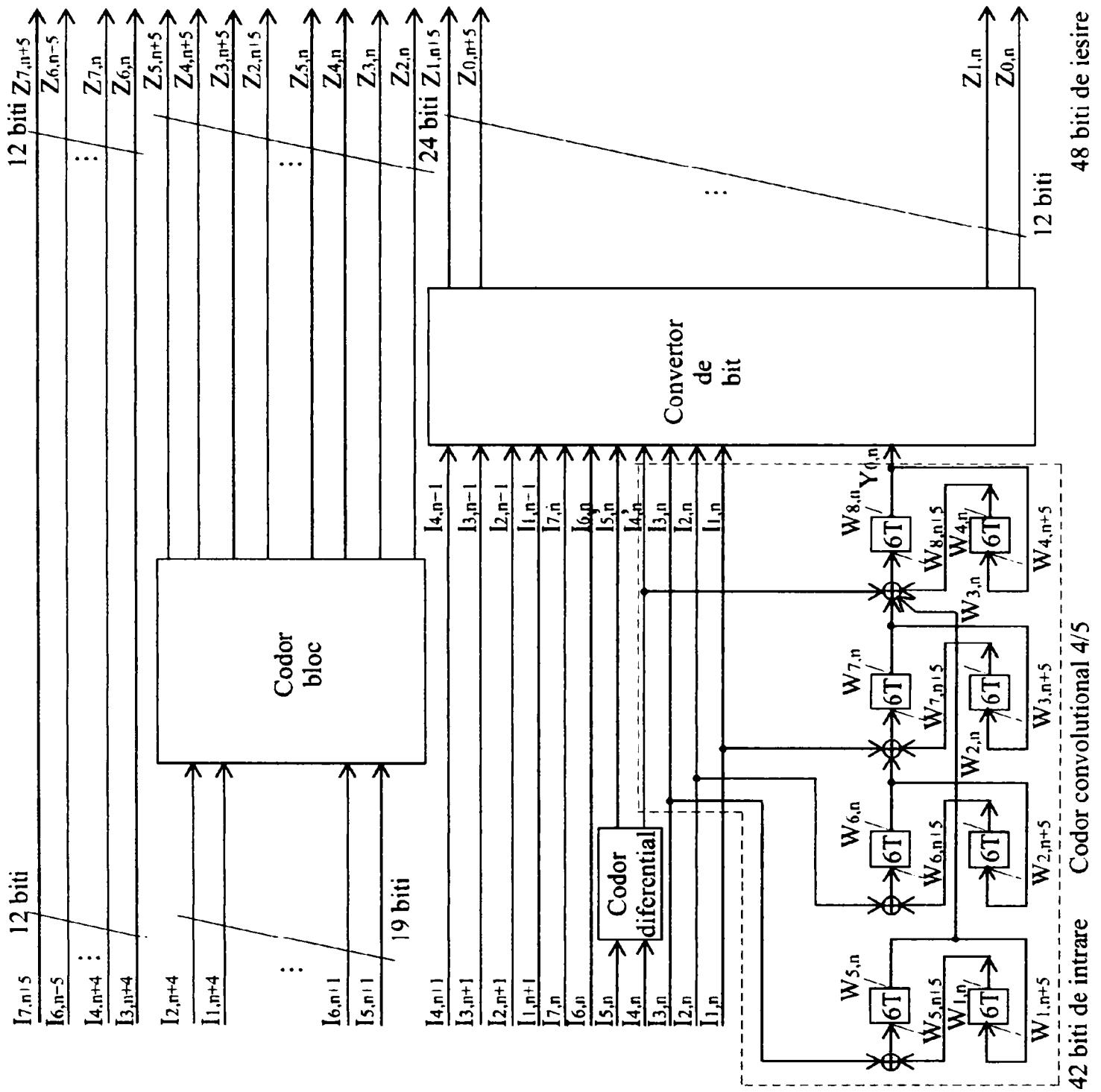
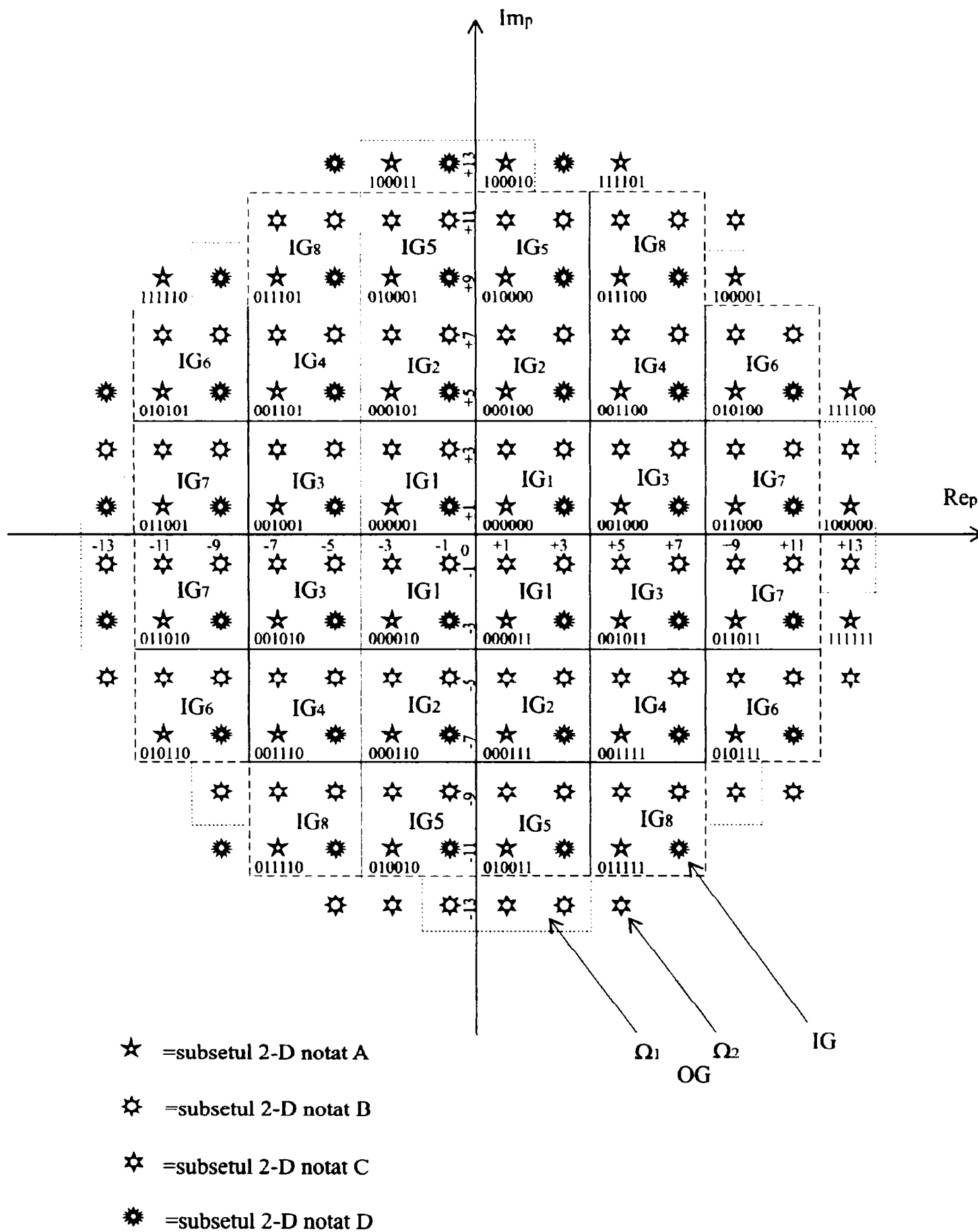


Fig.4.7 Schema bloc a codorului TCM 12-D cu rata 4/5 și 256 stări (construcția Sterian).



Numărul dedesubtul fiecărui punct de semnal 2-D este $Z_{2,p}, Z_{3,p}, Z_{4,p}, Z_{5,p}, Z_{6,p}, Z_{7,p}, p=n, n+1, n+2, n+3, n+4, n+5$.

Fig.4.8 Constelația de semnale 2-D constituantă cu 160 puncte de semnal 2-D (construcția Sterian).

Cele 256 tipuri 12-D sunt grupate în 32 **subseturi 12-D** astfel încât MSED a fiecărui subset 12-D obținut să fie egală cu $d^2 = 4d_0^2$ [42]:

$$\begin{aligned}
 S_0 &= (0, 0) \cup (2, 2) \cup (4, 4) \cup (6, 6) \cup (8, 8) \cup (10, 10) \cup (12, 12) \cup (14, 14) \\
 S_1 &= (0, 3) \cup (2, 5) \cup (4, 7) \cup (6, 1) \cup (8, 11) \cup (10, 13) \cup (12, 15) \cup (14, 9) \\
 S_2 &= (0, 4) \cup (2, 6) \cup (4, 0) \cup (6, 2) \cup (8, 12) \cup (10, 14) \cup (12, 8) \cup (14, 10) \\
 S_3 &= (0, 7) \cup (2, 1) \cup (4, 3) \cup (6, 5) \cup (8, 15) \cup (10, 9) \cup (12, 11) \cup (14, 13) \\
 S_4 &= (0, 2) \cup (2, 0) \cup (4, 6) \cup (6, 4) \cup (8, 10) \cup (10, 8) \cup (12, 14) \cup (14, 12) \\
 S_5 &= (0, 5) \cup (2, 3) \cup (4, 1) \cup (6, 7) \cup (8, 13) \cup (10, 11) \cup (12, 9) \cup (14, 15) \\
 S_6 &= (0, 6) \cup (2, 4) \cup (4, 2) \cup (6, 0) \cup (8, 14) \cup (10, 12) \cup (12, 10) \cup (14, 8) \\
 S_7 &= (0, 1) \cup (2, 7) \cup (4, 5) \cup (6, 3) \cup (8, 9) \cup (10, 15) \cup (12, 13) \cup (14, 11) \\
 S_8 &= (0, 8) \cup (2, 10) \cup (4, 12) \cup (6, 14) \cup (8, 0) \cup (10, 2) \cup (12, 4) \cup (14, 6) \\
 S_9 &= (0, 11) \cup (2, 13) \cup (4, 15) \cup (6, 9) \cup (8, 3) \cup (10, 5) \cup (12, 7) \cup (14, 1) \\
 S_{10} &= (0, 12) \cup (2, 14) \cup (4, 8) \cup (6, 10) \cup (8, 4) \cup (10, 6) \cup (12, 0) \cup (14, 2) \\
 S_{11} &= (0, 15) \cup (2, 9) \cup (4, 11) \cup (6, 13) \cup (8, 7) \cup (10, 1) \cup (12, 3) \cup (14, 5) \\
 S_{12} &= (0, 10) \cup (2, 8) \cup (4, 14) \cup (6, 12) \cup (8, 2) \cup (10, 0) \cup (12, 6) \cup (14, 4) \\
 S_{13} &= (0, 13) \cup (2, 11) \cup (4, 9) \cup (6, 15) \cup (8, 5) \cup (10, 3) \cup (12, 1) \cup (14, 7) \\
 S_{14} &= (0, 14) \cup (2, 12) \cup (4, 10) \cup (6, 8) \cup (8, 6) \cup (10, 4) \cup (12, 2) \cup (14, 0) \\
 S_{15} &= (0, 9) \cup (2, 15) \cup (4, 13) \cup (6, 11) \cup (8, 1) \cup (10, 7) \cup (12, 5) \cup (14, 3) \\
 S_{16} &= (1, 1) \cup (3, 3) \cup (5, 5) \cup (7, 7) \cup (9, 9) \cup (11, 11) \cup (13, 13) \cup (15, 5) \\
 S_{17} &= (1, 2) \cup (3, 4) \cup (5, 6) \cup (7, 0) \cup (9, 10) \cup (11, 12) \cup (13, 14) \cup (15, 8) \\
 S_{18} &= (1, 5) \cup (3, 7) \cup (5, 1) \cup (7, 3) \cup (9, 13) \cup (11, 15) \cup (13, 9) \cup (15, 11) \\
 S_{19} &= (1, 6) \cup (3, 0) \cup (5, 2) \cup (7, 4) \cup (9, 14) \cup (11, 8) \cup (13, 10) \cup (15, 12) \\
 S_{20} &= (1, 7) \cup (3, 5) \cup (5, 3) \cup (7, 1) \cup (9, 15) \cup (11, 13) \cup (13, 11) \cup (15, 9) \\
 S_{21} &= (1, 0) \cup (3, 6) \cup (5, 4) \cup (7, 2) \cup (9, 8) \cup (11, 14) \cup (13, 12) \cup (15, 10) \\
 S_{22} &= (1, 3) \cup (3, 1) \cup (5, 7) \cup (7, 5) \cup (9, 11) \cup (11, 9) \cup (13, 15) \cup (15, 13) \\
 S_{23} &= (1, 4) \cup (3, 2) \cup (5, 0) \cup (7, 6) \cup (9, 12) \cup (11, 10) \cup (13, 8) \cup (15, 14) \\
 S_{24} &= (1, 9) \cup (3, 11) \cup (5, 13) \cup (7, 15) \cup (9, 1) \cup (11, 3) \cup (13, 5) \cup (15, 7) \\
 S_{25} &= (1, 10) \cup (3, 12) \cup (5, 14) \cup (7, 8) \cup (9, 2) \cup (11, 4) \cup (13, 6) \cup (15, 0) \\
 S_{26} &= (1, 13) \cup (3, 15) \cup (5, 9) \cup (7, 11) \cup (9, 5) \cup (11, 7) \cup (13, 1) \cup (15, 3) \\
 S_{27} &= (1, 14) \cup (3, 8) \cup (5, 10) \cup (7, 12) \cup (9, 6) \cup (11, 0) \cup (13, 2) \cup (15, 4) \\
 S_{28} &= (1, 15) \cup (3, 13) \cup (5, 11) \cup (7, 9) \cup (9, 7) \cup (11, 5) \cup (13, 3) \cup (15, 1) \\
 S_{29} &= (1, 8) \cup (3, 14) \cup (5, 12) \cup (7, 10) \cup (9, 0) \cup (11, 6) \cup (13, 4) \cup (15, 2) \\
 S_{30} &= (1, 11) \cup (3, 9) \cup (5, 15) \cup (7, 13) \cup (9, 3) \cup (11, 1) \cup (13, 7) \cup (15, 5) \\
 S_{31} &= (1, 12) \cup (3, 10) \cup (5, 8) \cup (7, 14) \cup (9, 4) \cup (11, 2) \cup (13, 0) \cup (15, 6)
 \end{aligned}
 \tag{4.52}$$

Dacă se rotesc succesiv subseturile 2-D în sens orar cu câte 90° au loc următoarele transformări ale subseturilor 12-D [42]:

$$S_i \rightarrow S_{i+16} \rightarrow S_i, \quad i = 0, 1, \dots, 15 \tag{4.53}$$

Subseturile 12-D sunt grupate în 2 familii 12-D cu $MSED=2d_0^2$ astfel încât fiecare familie 12-D să conțină 16 subseturi 12-D [42]:

$$\begin{cases} F_0=S_0 \cup S_2 \cup S_4 \cup S_6 \cup S_8 \cup S_{10} \cup S_{12} \cup S_{14} \cup S_{16} \cup S_{18} \cup S_{20} \cup S_{22} \cup S_{24} \cup S_{26} \cup \\ \cup S_{28} \cup S_{30} \\ F_1=S_1 \cup S_3 \cup S_5 \cup S_7 \cup S_9 \cup S_{11} \cup S_{13} \cup S_{15} \cup S_{17} \cup S_{19} \cup S_{21} \cup S_{23} \cup S_{25} \cup S_{27} \cup \\ \cup S_{29} \cup S_{31} \end{cases} \quad (4.54)$$

În acest caz avem $m=4$ biți de la intrare care sunt codați cu un codor convoluțional cu rata de codare $4/5$ și 256 stări.

Setul stărilor curente $\{\sigma_n\}$ a codorului convoluțional se partiționează în 16 subseturi [42]:

$$\{16i + j \mid 0 \leq i \leq 15, 0 \leq j \leq 15\} \quad (4.55)$$

Setul stărilor următoare $\{\sigma_{n+6}\}$ a codorului convoluțional se partiționează în 16 subseturi [42]:

$$\{16j + k \mid 0 \leq j \leq 15, 0 \leq k \leq 15\} \quad (4.56)$$

Conectivitatea diagramei trellis se realizează astfel: pentru orice $0 \leq j \leq 15$ există tranziții de stare între fiecare stare curentă $16i+j$, $0 \leq i \leq 15$ și fiecare stare următoare $16j+k$, $0 \leq k \leq 15$.

Asignarea subseturilor 12-D la tranzițiile de stare ale codului TCM 12-D este realizată astfel încât să fie îndeplinite trei cerințe [16]:

1. Subseturile 12-D, asociate cu tranzițiile care pornesc dintr-o anumită stare, să difere unele de altele și să aparțină aceleași familii 12-D.

Același considerent se aplică și pentru subseturile 12-D asociate cu tranzițiile care ajung într-o anumită stare.

Conform acestei cerințe:

⇒ la tranzițiile care pornesc din stări pare ($Y_{0,n}=W_{8,n}=0$) sunt asignate subseturi 12-D din familia 12-D notată F_0 ,

⇒ la tranzițiile care pornesc din stări impare ($Y_{0,n}=W_{8,n}=1$) sunt asignate subseturi 12-D din familia 12-D notată F_1 .

2. MSED dintre două secvențe de subseturi 6-D, care corespund la două traiectorii distincte prin diagrama trellis, să fie mai mare sau egală cu $d_{\text{free}}^2 = d^2 = 4d_0^2$, care este MSED a fiecărui subset 6-D (MSED de intersubset 6-D să fie mai mare sau cel puțin egală cu MSED de intrasubset 6-D).

Această cerință garantează că MSED dintre două secvențe de puncte de semnal 6-D este $d^2 = 4d_0^2$ și elimină evenimentele eroare care diferă cu mai mult decât un punct de semnal 6-D față de secvența corectă de puncte de semnal 6-D.

Dacă se neglijează efectul de margine, atunci coeficientul de eroare N_{free} al codului TCM 12-D, este egal cu numărul vecinilor cei mai apropiați ai unui punct de

semnal 12-D și aflați într-un subset 12-D cu un număr finit de puncte de semnal 12-D. În acest caz $N_{\text{free}}=6408$ per punct de semnal 12-D ($N_{\text{free}}=1068$ per punct de semnal 2-D).

Dacă nu se neglijează efectul de margine, atunci coeficientul de eroare al codului TCM 12-D este mai mic decât 6408.

3. Dacă X este subsetul 12-D asociat cu tranzițiile din starea curentă σ_n în starea următoare σ_{n+6} și dacă X_1 este subsetul 12-D obținut prin rotirea lui X cu 90° atunci se poate defini o funcție F_1 de corespondență între stările codului TCM 12-D astfel încât X_1 să fie asociat cu tranzițiile din starea curentă $F_1(\sigma_n)$ în starea următoare $F_1(\sigma_{n+6})$.

Pentru o rotație de 90° în sens orar se definește funcția F_1 astfel [42]:

$$W_{1,n} W_{2,n} W_{3,n} W_{4,n} W_{5,n} W_{6,n} W_{7,n} W_{8,n} \rightarrow \overline{W}_{1,n} W_{2,n} W_{3,n} W_{4,n} \overline{W}_{5,n} W_{6,n} W_{7,n} W_{8,n} \quad (4.57)$$

unde bara deasupra înseamnă inversare binară.

Această cerință garantează că vom obține un cod TCM 12-D transparent la toate ambiguitățile de fază ale constelației de semnale 12-D, cu alte cuvinte un cod TCM 12-D invariant rotațional la $0^\circ, 90^\circ, 180^\circ, 270^\circ$.

Pentru a suprima toate cele 4 ambiguități de fază a constelației de semnale 12-D ($0^\circ, 90^\circ, 180^\circ, 270^\circ$) se folosește un **codor diferențial** pe 2 biți [42]:

$$(I'_{4,n} I'_{5,n}) = (I'_{4,n-6} I'_{5,n-6} + I_{4,n} I_{5,n}) \text{mod} 4 \quad (4.58)$$

Convertorul de bit convertește cei 12 biți de la intrarea sa $Y_{0,n}, I_{1,n}, I_{2,n}, I_{3,n}, I'_{4,n}, I'_{5,n}, I_{6,n}, I_{7,n}, I_{1,n+1}, I_{2,n+1}, I_{3,n+1}, I_{4,n+1}$ în 6 grupuri de câte 2 biți fiecare [42]:

$$Z_{0,p}, Z_{1,p}, p=n, n+1, n+2, n+3, n+4, n+5 \quad (4.59)$$

care selectează 6 subseturi 2-D, corespunzătoare tipului 12-D selectat în cadrul subsetului 12-D utilizat.

Pentru a obține un cod TCM 12-D transparent la orice ambiguitate de fază a constelației de semnale 12-D trebuie să fie îndeplinită cerința prezentată în continuare.

Dacă X este tipul 12-D asociat cu structura de biți $Y_{0,n}, I_{1,n}, I_{2,n}, I_{3,n}, I'_{4,n}, I'_{5,n}, I_{6,n}, I_{7,n}, I_{1,n+1}, I_{2,n+1}, I_{3,n+1}, I_{4,n+1}$ atunci se notează cu X_1, X_2, X_3 tipurile 12-D obținute prin rotirea lui X cu $90^\circ, 180^\circ, 270^\circ$.

Dacă $(I'_{4,n}, I'_{5,n})_1, (I'_{4,n}, I'_{5,n})_2, (I'_{4,n}, I'_{5,n})_3$ sunt perechile de biți obținute prin translația perechii de biți $(I'_{4,n}, I'_{5,n})$ cu una, două sau trei poziții în secvența circulară $00 \rightarrow 10 \rightarrow 01 \rightarrow 11 \rightarrow 00$, atunci tipurile 12-D asociate cu structurile de biți:

$$Y_{0,n}, I_{1,n}, I_{2,n}, I_{3,n}, (I'_{4,n}, I'_{5,n})_1, I_{6,n}, I_{7,n}, I_{1,n+1}, I_{2,n+1}, I_{3,n+1}, I_{4,n+1} \quad ,$$

$$Y_{0,n}, I_{1,n}, I_{2,n}, I_{3,n}, (I'_{4,n}, I'_{5,n})_2, I_{6,n}, I_{7,n}, I_{1,n+1}, I_{2,n+1}, I_{3,n+1}, I_{4,n+1} \quad ,$$

$$Y_{0,n}, I_{1,n}, I_{2,n}, I_{3,n}, (I'_{4,n}, I'_{5,n})_3, I_{6,n}, I_{7,n}, I_{1,n+1}, I_{2,n+1}, I_{3,n+1}, I_{4,n+1} \quad ,$$

sunt X_1, X_2, X_3 .

Corespondența dintre cei 2 biți $Z_{0,p}, Z_{1,p}, p=n, n+1, n+2, n+3, n+4, n+5$ și subseturile 2-D este prezentată în Tabelul 4.1 iar funcționarea convertorului de bit este prezentată în Tabelul 4.11.

Dacă se notează cu S_i subseturile 12-D atunci indexul i este furnizat de relația [42]:

$$i = 16Y_{0,n} + 8I_{1,n} + 4I_{2,n} + 2I_{3,n} + I'_{4,n}, i = 0, 1, \dots, 31 \quad (4.60)$$

Codorul bloc folosește cei 16 biți $I_{5,n+1}, I_{6,n+1}, I_{7,n+1}, I_{1,n+2}, I_{2,n+2}, I_{3,n+2}, I_{4,n+2}, I_{5,n+2}, I_{6,n+2}, I_{7,n+2}, I_{1,n+3}, I_{2,n+3}, I_{3,n+3}, I_{4,n+3}, I_{5,n+3}, I_{6,n+3}, I_{7,n+3}, I_{1,n+4}, I_{2,n+4}$ pentru a genera 6 grupuri de câte 4 biți fiecare [42]:

$$Z_{2,p}, Z_{3,p}, Z_{4,p}, Z_{5,p}, p=n, n+1, n+2, n+3, n+4, n+5 \quad (4.61)$$

care selectează pentru fiecare din cele 6 subseturi 2-D utilizate, prima optime a grupului intern $IG_{1,\dots}$, a opta optime a grupului intern IG_8 , subgrupul extern Ω_1 sau subgrupul extern Ω_2 .

Corespondența dintre cei 4 biți $Z_{2,p}, Z_{3,p}, Z_{4,p}, Z_{5,p}, p=n, n+1, n+2, n+3, n+4, n+5$, și grupurile constelației de semnale 2-D este prezentată în Tabelul 4.12 iar funcționarea codorului bloc este prezentată în Tabelul 4.13.

Cele 6 grupuri de câte 2 biți fiecare [42]:

$$Z_{6,p}, Z_{7,p}, p=n, n+1, n+2, n+3, n+4, n+5 \quad (4.62)$$

selectează pentru fiecare din cele 6 subseturi 2-D utilizate, câte un punct de semnal 2-D din grupul constelației de semnale 2-D selectat anterior.

Cîștigul de codare asimptotic al codului TCM 12-D față de o transmisie necodată se calculează astfel [42]:

$$\gamma = 10 \log_{10} \left(\frac{\frac{4d_0^2}{22,448d_0^2}}{\frac{d_0^2}{20,5d_0^2}} \right) = 10 \log_{10}(3,653) \cong 5,62650 \text{ [dB]} \quad (4.63)$$

unde:

d_0^2 = MSEED a constelației de semnale 2-D utilizată la o transmisie necodată,

$4d_0^2$ = MSEED a subseturilor 12-D obținute prin partiționarea constelației de semnale 12-D,

$20,5d_0^2$ = energia medie a constelației de semnale 2-D utilizată la o transmisie necodată, (128 de puncte de semnal 2-D) = suma pătratelor distanțelor dintre originea axelor de coordonate ale planului complex și punctele de semnal 2-D, raportată la numărul

punctelor de semnal 2-D,

$22,448 d_0^2$ =energia medie a constelației de semnale 2-D constituantă a constelației de semnale 12-D calculată ținând cont de relația (4.33).

Tabelul 4.1 Corespondența dintre cei 2 biți $Z_{0,p}$, $Z_{1,p}$ și subseturile 2-D

Subset 2-D	$Z_{0,p}$	$Z_{1,p}$
A	0	0
B	0	1
C	1	0
D	1	1

Tabelul 4.12 Corespondența dintre cei 4 biți $Z_{2,p}$, $Z_{3,p}$, $Z_{4,p}$, $Z_{5,p}$ și grupurile constelației de semnale 2-D

$Z_{2,p}$	$Z_{3,p}$	$Z_{4,p}$	$Z_{5,p}$	Grup constelație de semnale 2-D
0	0	0	0	IG_1
0	0	0	1	IG_2
0	0	1	0	IG_3
0	0	1	1	IG_4
0	1	0	0	IG_5
0	1	0	1	IG_6
0	1	1	0	IG_7
0	1	1	1	IG_8
1	0	0	0	Ω_1
1	1	1	1	Ω_2

Tabelul 4.13 Codorul bloc

$l_{3,p1}$	$l_{6,p1}$	$l_{7,p1}$	$l_{1,p2}$	$Z_{4,p}$	$Z_{5,p}$	$Z_{4,p1}$	$Z_{5,p1}$	$Z_{6,p1}$	$Z_{7,p1}$	$Z_{1,p2}$	$Z_{2,p2}$	$Z_{3,p2}$	$Z_{4,p2}$	$Z_{5,p2}$	$Z_{6,p2}$	$Z_{7,p2}$	$Z_{1,p3}$	$Z_{2,p3}$	$Z_{3,p3}$	$Z_{4,p3}$	$Z_{5,p3}$	$Z_{6,p3}$	$Z_{7,p3}$	$Z_{1,p4}$	$Z_{2,p4}$	$Z_{3,p4}$	$Z_{4,p4}$	$Z_{5,p4}$	$Z_{6,p4}$	$Z_{7,p4}$					
0	X	X	X	0	0	0	0	0	0	0	0	0	0	0	0	0	0	0	0	0	0	0	0	0	0	0	0	0	0	0	0				
1	0	0	0	0	0	0	0	0	0	0	0	0	0	0	0	0	0	0	0	0	0	0	0	0	0	0	0	0	0	0	0	0			
1	0	0	1	0	0	0	0	0	0	0	0	0	0	0	0	0	0	0	0	0	0	0	0	0	0	0	0	0	0	0	0	0	0		
1	0	1	0	0	0	0	0	0	0	0	0	0	0	0	0	0	0	0	0	0	0	0	0	0	0	0	0	0	0	0	0	0	0	0	
1	0	1	1	0	0	0	0	0	0	0	0	0	0	0	0	0	0	0	0	0	0	0	0	0	0	0	0	0	0	0	0	0	0	0	0
1	1	0	0	0	0	0	0	0	0	0	0	0	0	0	0	0	0	0	0	0	0	0	0	0	0	0	0	0	0	0	0	0	0	0	0
1	1	0	1	0	0	0	0	0	0	0	0	0	0	0	0	0	0	0	0	0	0	0	0	0	0	0	0	0	0	0	0	0	0	0	0
1	1	1	X	1	1	1	1	1	1	1	1	1	1	1	1	1	1	1	1	1	1	1	1	1	1	1	1	1	1	1	1	1	1	1	1

4.4 Generalizarea construcției Wei pentru coduri TCM multidimensionale

Construcția Wei a codurilor TCM multidimensionale am realizat-o în următoarele etape:

- ❖ construcția constelației de semnale 2N-D,
- ❖ partiționarea constelației de semnale 2N-D,
- ❖ asignarea subseturilor 2N-D la tranzițiile de stare ale codului TCM 2N-D,
- ❖ realizarea corespondenței dintre cei $NQ+1$ biți (primii $m+1$ biți codați cu un codor convoluțional și ceilalți $NQ-m$ biți rămași necodați) și constelația de semnale 2N-D.

Aceste etape le-am detaliat în următoarele patru paragrafe [56].

4.4.1 Construcția constelației de semnale 2N-D

Pentru valori mici ale lui $NQ+1$ și un sistem de transmisii de date în care singura perturbație este zgomotul aditiv alb gaussian din canalul de comunicație, se poate construi o constelație de semnale 2N-D cât mai mică posibil [16].

Pentru valori mari ale lui $NQ+1$ și/sau un sistem de transmisii de date în care în afară de zgomotul aditiv alb gaussian din canalul de comunicație mai apar și alte perturbații cum ar fi distorsiuni liniare, distorsiuni neliniare și jitter de fază, construcția constelației de semnale 2N-D trebuie să respecte următoarele cerințe [16]:

- dimensiunile constelațiilor de semnale 2-D constituate să fie cât mai mici posibil,
- parametri CER și PAR ai constelațiilor de semnale 2-D constituate să fie cât mai mici posibil,
- corespondența complicată dintre cei $NQ+1$ biți (primii $m+1$ biți codați cu un codor convoluțional și ceilalți $NQ-m$ biți rămași necodați) și constelația de semnale 2N-D să fie convertită în N corespondențe simple ale constelațiilor de semnale 2-D constituate.

4.4.1.1 Metode de construcție a unei constelații de semnale 2-D optimală

Există două metode de construcție a unei constelații de semnale 2-D optimală în sensul unei energii medii minime:

- ❖ modelarea constelației,
- ❖ corespondență în inele.

În construcția Wei, în construcția Sterian și în construcția Wei generalizată pe care am propus-o în continuare se folosește modelarea constelației ca metodă de construcție a constelațiilor de semnale 2-D constituate a constelației de semnale 2N-D.

4.4.1.1.1 Modelarea constelației

În cazul metodei **modelarea constelației (Trellis Shaping)** [43] toate punctele de semnal 2-D au aceeași probabilitate de utilizare indiferent de grupul din care fac

parte dar constelația de semnale 2-D este formată din grupuri din mărimi diferite (cu un număr diferit de puncte de semnal). Astfel grupul intern (de E_{medie} mai mică) va avea cel mai mare număr de puncte de semnal 2-D iar grupurile externe (de E_{medie} mai mare) vor avea un număr din ce în ce mai mic de puncte de semnal 2-D. Se obține un câștig de codare suplimentar numit **câștig de modelare γ , (Shaping Gain)**.

Pentru o constelație de semnale 2-D suficient de mare (cu un număr suficient de mare de puncte de semnal 2-D) folosind **aproximarea continuă** se obține numărul de puncte de semnal 2-D [39]:

$$N_{\text{puncte de semnal 2-D}} = \frac{S(C)}{S(\text{Voronoi})} \quad (4.64)$$

unde:

$S(C)$ =aria regiunii din planul 2-D care este ocupată de constelația de semnale 2-D,
 $S(\text{Voronoi})$ =aria regiunii Voronoi a unui punct de semnal 2-D din constelația de semnale 2-D care este setul de puncte din planul 2-D mai apropiate de respectivul punct de semnal 2-D decât față de alte puncte de semnal 2-D. Regiunea Voronoi este de fapt regiunea de decizie corectă a demodulatorului QAM de la recepție.

Energia medie a unei constelații de semnale 2-D este aproximativ egală cu [39]:

$$E_{\text{medie}} \cong \frac{1}{S(C)} \int_C \|\mathbf{x}\|^2 d\mathbf{x} = \frac{1}{S(C)} \iint_C (x^2 + y^2) dx dy \quad (4.65)$$

unde:

C =regiunea din planul 2-D care este ocupată de constelația de semnale 2-D,
 $S(C)$ =aria regiunii din planul 2-D care este ocupată de constelația de semnale 2-D.

Dintre toate regiunile din planul 2-D cu aceeași arie $S(C)$, discul este regiunea care permite obținerea unei constelații de semnale 2-D cu energia medie minimă. Deci constelațiile de semnale 2-D de formă circulară sunt optime din puncte de vedere al energiei medii.

Câștigul de modelare a unei constelații de semnale 2-D de formă circulară față de o constelație de semnale 2-D de formă pătrată este de 0,2 dB [39], după cum se prezintă mai jos.

Dacă C este un cerc de rază R și cu centrul în origine, atunci un punct de semnal 2-D din constelația de semnale 2-D care ocupă regiunea C poate fi reprezentat în coordonate polare astfel:

$$\mathbf{x} = (\rho, \theta_1) \quad (4.66)$$

unde $\rho \in [0, R]$ și $\theta_1 \in [0, 2\pi)$.

Iacobianul pentru schimbarea de coordonate polare în planul 2-D este:

$$J = \rho \quad (4.67)$$

Se obține energia medie a constelației de semnale 2-D care ocupă regiunea circulară C [39]:

$$\left\{ \begin{array}{l} \int_C \|\mathbf{x}\|^2 d\mathbf{x} = \int_0^R \int_0^{2\pi} \rho^2 J d\rho d\theta_1 = \int_0^R \rho^3 d\rho \int_0^{2\pi} d\theta_1 = \frac{\pi R^4}{2} \\ S(C)_{\text{cerc}} = \pi R^2 \\ (E_{\text{medie}})_{\text{cerc}} = \frac{R^2}{2} \end{array} \right. \quad (4.68)$$

Dacă C este un pătrat cu centrul în origine și de latură L atunci se obține energia medie a constelației de semnale 2-D care ocupă regiunea pătrată C [39]:

$$\left\{ \begin{array}{l} \int_C \|\mathbf{x}\|^2 d\mathbf{x} = \int_{-\frac{L}{2}}^{\frac{L}{2}} \int_{-\frac{L}{2}}^{\frac{L}{2}} (x^2 + y^2) dx dy = \frac{L^4}{6} \\ S(C)_{\text{patrat}} = L^2 \\ (E_{\text{medie}})_{\text{patrat}} = \frac{L^2}{6} \end{array} \right. \quad (4.69)$$

Deoarece cele două constelații de semnale 2-D provin din aceeași lattice, deci au aceeași arie a regiunii Voronoi, pentru ca cele două constelații de semnale 2-D să conțină același număr de puncte de semnal 2-D este necesar ca:

$$\begin{aligned} S(C)_{\text{cerc}} &= S(C)_{\text{patrat}} \Leftrightarrow \\ \Leftrightarrow \pi R^2 &= L^2 \Leftrightarrow \frac{R^2}{L^2} = \frac{1}{\pi} \end{aligned} \quad (4.70)$$

Se obține raportul între energia medie a constelației de semnale 2-D care ocupă o regiune circulară C și energia medie a constelației de semnale 2-D care ocupă o regiune pătrată C [39]:

$$\frac{(E_{\text{medie}})_{\text{cerc}}}{(E_{\text{medie}})_{\text{patrat}}} = \frac{3R^2}{L^2} = \frac{3}{\pi} \cong 0,2 \text{ dB} \quad (4.71)$$

Energia medie a unei constelației de semnale 2N-D este aproximativ egală cu [39]:

$$E_{\text{medie}} = \frac{1}{NV(C)} \int_C \|x\|^2 dx = \frac{1}{NV(C)} \int \dots \int_C (x_1^2 + x_2^2 + \dots + x_{2N}^2) dx_1 dx_2 \dots dx_{2N} \quad (4.72)$$

unde:

C=regiunea din spațiul 2N-D care este ocupată de constelația de semnale 2N-D,
V(C)=volumul regiunii din spațiul 2N-D care este ocupată de constelația de semnale 2N-D.

Dintre toate regiunile din planul 2N-D cu aceeași volum V(C), hipersefera este regiunea care permite obținerea unei constelații de semnale 2N-D cu energia medie minimă. Deci constelațiile de semnale 2N-D de formă hipersferică sunt optime din puncte de vedere al energiei medii.

Cîștigul de modelare a unei constelații de semnale 2N-D de formă hipersferică față de o constelație de semnale 2N-D de formă hipercubică este de 1,53 dB [39], după cum se prezintă mai jos.

Dacă C este o hipersferă de rază R și cu centrul în origine, atunci un punct de semnal 2N-D din constelația de semnale 2N-D care ocupă regiunea hipersferică C poate fi reprezentat în coordonate polare astfel:

$$x=(\rho, \theta_1, \theta_2, \dots, \theta_{2N-1}) \quad (4.73)$$

unde $\rho \in [0, R]$, $\theta_1 \in [0, 2\pi)$ și $\theta_2, \theta_3, \dots, \theta_{2N-1} \in [0, \pi)$.

Iacobianul pentru schimbarea de coordonate polare în spațiul 2N-D este:

$$J = \rho^{2N-1} \prod_{i=2}^{2N} \sin^{2N-i} \theta_{2N-i+1} = \rho^{2N-1} \theta(\theta_2, \theta_3, \dots, \theta_{2N-1}) \quad (4.74)$$

Se obține energia medie a constelației de semnale 2N-D care ocupă regiunea hipersferică C [39]:

$$\left. \begin{aligned}
 \int_C \|\mathbf{x}\|^2 d\mathbf{x} &= \int_0^R \int_0^{2\pi} \int_0^\pi \dots \int_0^\pi \rho^2 J d\rho d\theta_1 d\theta_2 d\theta_3 \dots d\theta_{2N-1} = \\
 &= \int_0^R \rho^{2N+1} d\rho \int_0^{2\pi} d\theta_1 \int_0^\pi \dots \int_0^\pi \theta(\theta_2, \theta_3, \dots, \theta_{2N-1}) d\theta_2 d\theta_3 \dots d\theta_{2N-1} \\
 V(C)_{\text{hipersfera}} &= \int_C d\mathbf{x} = \int_0^R \int_0^{2\pi} \int_0^\pi \dots \int_0^\pi J d\rho d\theta_1 d\theta_2 d\theta_3 \dots d\theta_{2N-1} = \\
 &= \int_0^R \rho^{2N-1} d\rho \int_0^{2\pi} d\theta_1 \int_0^\pi \dots \int_0^\pi \theta(\theta_2, \theta_3, \dots, \theta_{2N-1}) d\theta_2 d\theta_3 \dots d\theta_{2N-1} \\
 (E_{\text{medie}})_{\text{hipersfera}} &= \frac{1}{N} \frac{\int_0^R \rho^{2N+1} d\rho}{\int_0^R \rho^{2N-1} d\rho} = \frac{R^2}{N+1}
 \end{aligned} \right\} \quad (4.75)$$

Dacă C este un hipercub de latură L și cu centrul în origine, atunci se obține energia medie a constelației de semnale 2N-D care ocupă regiunea hipercubică C [39]:

$$\left. \begin{aligned}
 \int_C \|\mathbf{x}\|^2 d\mathbf{x} &= \int_{-\frac{L}{2}}^{+\frac{L}{2}} \int_{-\frac{L}{2}}^{+\frac{L}{2}} \dots \int_{-\frac{L}{2}}^{+\frac{L}{2}} (x_1^2 + x_2^2 + \dots + x_{2N}^2) dx_1 dx_2 \dots dx_{2N} = N \frac{L^{2N+2}}{6} \\
 V(C)_{\text{hipercub}} &= L^{2N} \\
 (E_{\text{medie}})_{\text{hipercub}} &= \frac{L^2}{6}
 \end{aligned} \right\} \quad (4.76)$$

Deoarece cele două constelații de semnale 2N-D provin din aceeași lattice, deci au aceeași volum a regiunii Voronoi, pentru ca cele două constelații de semnale 2N-D să conțină același număr de puncte de semnal 2N-D este necesar ca:

$$\begin{aligned} V(C)_{\text{hipersfera}} &= V(C)_{\text{hipercub}} \Leftrightarrow \\ \Leftrightarrow \frac{\pi^N R^{2N}}{\Gamma(N+1)} &= L^{2N} \Leftrightarrow \frac{R^{2N}}{L^{2N}} = \frac{\Gamma(N+1)}{\pi^N} \end{aligned} \quad (4.77)$$

unde $\Gamma(N+1) \cong \left(\frac{N}{e}\right)^N$ este **aproximarea Stirling** a funcției gamma.

Se obține maxim posibil raportul între energia medie a constelației de semnale 2N-D care ocupă o regiune hipersferică și energia medie a constelației de semnale 2N-D care ocupă o regiune hipercubică [39]:

$$\frac{(E_{\text{medie}})_{\text{hipersfera}}}{(E_{\text{medie}})_{\text{hipercub}}} = \frac{N}{N+1} \frac{6}{\pi e} \quad (4.78)$$

Prin calculul limitei când $N \rightarrow +\infty$ se obține limita asimptotică a câștigului de modelare γ_s a unei constelații de semnale 2N-D care ocupă o regiune hipersferică față de o constelație de semnale 2N-D care ocupă o regiune hipercubică [39]:

$$\lim_{N \rightarrow +\infty} \frac{(E_{\text{medie}})_{\text{hipersfera}}}{(E_{\text{medie}})_{\text{hipercub}}} = \frac{6}{\pi e} \cong 1,53 \text{ dB} \quad (4.79)$$

Concluzia 4.2-Limita asimptotică a câștigului de modelare γ_s a unei constelații de semnale 2N-D care ocupă o regiune hipersferică față de o constelație de semnale 2N-D care ocupă o regiune hipercubică este 1,53 dB. Cu alte cuvinte valoarea maximă a câștigului de modelare γ_s este 1,53 dB.

4.4.1.1.2 Corespondență în inele

În cazul metodei **corespondență în inele (Shell Mapping)** [44] constelația de semnale 2-D este formată din grupuri de mărimi egale (cu un număr egal de puncte de semnal 2-D) dar cu probabilități diferite de utilizare ale grupurilor. Toate punctele de semnal 2-D din interiorul unui grup au aceeași probabilitate de utilizare. Se obține un câștig de codare suplimentar numit **câștig de ajustare γ_b (Biasing Gain)**.

Valoarea maximă a câștigului de ajustare a unei constelații de semnale 2-D de formă circulară este de 1,33 dB [39], după cum se prezintă mai jos.

Se consideră o constelație de semnale 2-D de formă circulară, pe care o divizăm în K inele concentrice cu centrul în origine care conțin același număr de puncte de semnal 2-D.

Dacă r_0 este raza inelului 0 (definit ca inelul de rază minimă) atunci se poate arăta că raza inelului i este [39]:

$$r_i = r_0 \sqrt{i+1}, i=1, 2, \dots, K-1 \quad (4.80)$$

Întrucât toate punctele de semnal 2-D din interiorul unui inel sunt utilizate echiprobabil, energia medie a inelului i este egală cu:

$$E_i = \frac{\int_{r_{i-1}}^{r_i} \rho^3 d\rho \int_0^{2\pi} d\theta_1}{\pi(r_i^2 - r_{i-1}^2)} = \frac{(r_i^2 + r_{i-1}^2)}{2}, i=1, 2, \dots, K-1 \quad (4.81)$$

Dacă $E_0 = \frac{r_0^2}{2}$ este energia medie a inelului 0 rezultă că energia inelului i este egală cu:

$$E_i = (2i+1)E_0, i=1, 2, \dots, K-1 \quad (4.82)$$

Dacă punctele de semnal 2-D sunt extrase dintr-o lattice \mathbf{Z}^2 indexată impar, atunci energia medie a inelului 0 devine:

$$E_0 = \left(\frac{2}{\pi}\right)n_0 \quad (4.83)$$

unde n_0 este numărul de puncte de semnal 2-D care se găsesc în inelul 0.

În timpul transmisiei, fiecare inel este extras cu probabilitatea p_i , deci energia medie a constelației de semnale 2-D este [39]:

$$E_{\text{medie}} = \sum_{i=0}^{K-1} E_i p_i = E_0 \sum_{i=0}^{K-1} (2i+1) p_i \quad (4.84)$$

Informația transmisă este împărțită în două părți:

- prima parte, asociată cu indexul punctului de semnal 2-D din interiorul inelului. Entropia sa este:

$$H_1 = \log_2 n_0 \quad (4.85)$$

Întrucât toate punctele de semnal 2-D din interiorul unui inel sunt utilizate echiprobabil,

- o a doua parte, asociată cu indexul inelului. Entropia sa este:

$$H_2 = - \sum_{i=0}^{K-1} p_i \log_2 p_i \quad (4.86)$$

Pentru a transmite aceeași informație cu o semnalizare echiprobabilă avem nevoie de o constelație de semnale 2-D cu energia medie:

$$(E_{\text{medie}})_{\text{echiprobabil}} = \left(\frac{2}{\pi}\right)^2 2^{(H_1+H_2)} = E_0 2^{H_2} = E_0 2^{-\sum_{i=0}^{K-1} p_i \log_2 p_i} \quad (4.87)$$

Se obține câștigul de ajustare [39]:

$$\gamma_b = \frac{(E_{\text{medie}})_{\text{echiprobabil}}}{E_{\text{medie}}} = \frac{2^{-\sum_{i=0}^{K-1} p_i \log_2 p_i}}{\sum_{i=0}^{K-1} (2i+1)p_i} \quad (4.88)$$

Ținând cont de condiția $\sum_{i=0}^{K-1} p_i = 1$ și maximizând câștigul de ajustare γ_b , se obține o formă parametrică pentru probabilitatea de utilizare a inelului i [39]:

$$p_i = \frac{1-\lambda}{1-\lambda^K} \lambda^i, \quad i=0, 1, 2, \dots, K-1 \quad (4.89)$$

unde $0 < \lambda < 1$ este un parametru real.

Se observă că pentru un K mare aceste probabilități p_i prezintă o **distribuție binomială** care este aproximarea discretă a **distribuției gaussiene**.

Pentru un K dat se obține câștigul de ajustare maxim posibil prin evaluare numerică [39]:

$$(\gamma_b)_{\text{max}} = \frac{2^{-\sum_{i=0}^{K-1} \left(\frac{1-\lambda}{1-\lambda^K} \lambda^i\right) \log_2 \left(\frac{1-\lambda}{1-\lambda^K} \lambda^i\right)}}{\sum_{i=0}^{K-1} (2i+1) \left(\frac{1-\lambda}{1-\lambda^K} \lambda^i\right)} \quad (4.90)$$

Prin calculul limitei cînd $K \rightarrow +\infty$ se obține limita asimptotică a cîștigului de ajustare γ_b a unei constelații de semnale 2-D de formă circulară:

$$\lim_{K \rightarrow +\infty} (\gamma_b) = \frac{e}{2} \cong 1,33 \text{ dB} \quad (4.91)$$

Concluzia 4.3-Limita asimptotică a cîștigului de ajustare γ_b a unei constelații de semnale 2-D de formă circulară este 1,33 dB. Cu alte cuvinte valoarea maximă a cîștigului de ajustare γ_b este 1,33 dB.

4.4.1.2 Extinderea constelației de semnale 2-D constituentă a constelației de semnale 2N-D

Pentru extinderea constelației de semnale 2-D, constituentă a constelației de semnale 2N-D, am folosit metoda Dinh și Hashimoto [38] pe care am prezentat-o și am demonstrat-o în continuare.

Se construiește o constelație de semnale 2-D. Această constelație de semnale 2-D este un subset finit al latticei \mathbf{Z}^2 sau al unei versiuni translatată, rotită și/sau scalată a latticei \mathbf{Z}^2 [38].

Se presupune că avem o constelație de semnale 2-D cu $2^Q + \beta 2^Q = (1 + \beta) 2^Q$ puncte de semnal 2-D, unde Q este rata de transmisie a codorului TCM 2N-D iar β este un număr rațional ales astfel încît $\beta 2^Q$ să fie un număr întreg [38].

Constelația de semnale 2-D este formată din 2 grupuri:

- **grupul intern IG (Inner Group)** care conține 2^Q puncte de semnal 2-D, la fel ca și constelația de semnale 2-D folosită într-o transmisie necodată pentru a transmite Q biți în fiecare interval de semnalizare 2-D,
- **grupul extern OG (Outer Group)** care conține $\beta 2^Q$ puncte de semnal 2-D.

Cele două grupuri IG și OG trebuie să îndeplinească trei **cerințe** [16]:

- 1) fiecare grup să poată fi partiționat în subseturi 2-D, astfel încît pătratul distanței euclidiene minime de intrasubset la fiecare nivel de partiționare să fie cît mai mare posibil.
- 2) fiecare grup să conțină puncte de semnal 2-D situate cît mai aproape de originea axelor de coordonate ale planului complex, astfel încît energia medie (E_{medie}) a fiecărui grup să fie cît mai mică posibil. Din acest motiv se lucrează cu **constelații de semnale 2-D de formă circulară (circular-shaped signal sets)**. Aceste constelații de semnale 2-D de formă circulară permit creșterea cîștigului de codare asimptotic cu cîtiva dB pentru canale de comunicații neliniare [35]. Deci întotdeauna există un cerc cu centrul în originea axelor de coordonate ale planului complex care încadrează o constelație de semnale 2-D de formă circulară. Se presupune că IG este încadrat de cercul $C_0(O, R_0)$ și OG este încadrat de cercurile $C_0(O, R_0)$ și $C_2(O, R_2)$, unde $R_2 > R_0$.
- 3) fiecare grup să fie invariant la o rotație de $0^\circ, 90^\circ, 180^\circ, 270^\circ$. Astfel dacă un punct de semnal 2-D dintr-un anumit grup este rotit cu $0^\circ, 90^\circ, 180^\circ, 270^\circ$ trebuie să se obțină un alt punct de semnal 2-D din același grup. Această cerință permite demodulatorului să se caleze pe fază doar într-un interval de 90° ceea ce implică timpi de sincronizare mai mici [35]. De asemenea achiziția de semnal poate fi făcută

fără o perioadă de antrenare (sau secvențe de antrenare).

Construcția unei constelații de semnale 2N-D rectangulare (subset finit al latticei Z^{2N}) se face prin concatenarea a N puncte de semnal 2-D constituite și eliminând acele puncte de semnal 2N-D rezultante care conțin mai mult decât un punct de semnal 2-D din OG [16].

Construcția unei constelații de semnale 2N-D neregulare (subset finit al latticei D^{2N} , E^{2N} , DE^{2N}) se face prin concatenarea a N puncte de semnal 2-D constituite și eliminând acele puncte de semnal 2N-D rezultante care conțin mai mult decât un punct de semnal 2-D din OG sau care nu sunt puncte valide ale latticii neregulare [16].

În continuare am prezentat construcția unei constelații de semnale 2N-D rectangulare [38]. Se construiesc puncte de semnal 2N-D prin concatenarea a N puncte de semnal 2-D și se ține cont de următoarele observații [38]:

- numărul punctelor de semnal 2N-D care conțin N puncte de semnal 2-D din IG este 2^{NQ}
- numărul punctelor de semnal 2N-D care conțin N-1 puncte de semnal 2-D din IG și un punct de semnal 2-D din OG în una din primele N poziții este $\beta N 2^{NQ}$.

Deoarece în total sunt necesare $2^{NQ+1} = 2^{NQ} + 2^{NQ}$ puncte de semnal 2N-D, se presupune că numărul punctelor de semnal 2N-D care conțin N-1 puncte de semnal 2-D din IG și un punct de semnal 2-D din OG este mai mare decât 2^{NQ} care este numărul necesar de puncte de semnal 2-D [38]:

$$\beta N 2^{NQ} \geq 2^{NQ} \Leftrightarrow \beta \geq \frac{1}{N} \quad (4.92)$$

Se presupune că fiecare punct de semnal 2-D al constelației de semnale 2-D, prezintă o regiune Voronoi de arie unitară [38]:

$$S(\text{Voronoi}) = 1 \quad (4.93)$$

Se presupune că în constelația de semnale 2-D există un număr suficient de mare de puncte de semnal 2-D astfel încât E_{medie} a constelației de semnale 2-D să poate fi aproximată cu integrala pe suprafața cercului $C_2(O, R_2)$ care o încadrează [38].

4.4.1.2.1 Extinderea simplă a constelației de semnale 2-D

Am urmărit demonstrarea formulelor pentru numărul de puncte de semnal 2-D, energia medie și parametrii CER și PAR ai constelației de semnale 2-D extinsă simplu.

Se construiesc puncte de semnal 2N-D prin concatenarea a N puncte de semnal 2-D și se ține cont de următoarele observații [38]:

- numărul punctelor de semnal 2N-D care conțin N puncte de semnal 2-D din IG este 2^{NQ}
- numărul punctelor de semnal 2N-D care conțin N-1 puncte de semnal 2-D din IG și un punct de semnal 2-D din OG în una din primele $\frac{1}{\beta}$ poziții este

$$\frac{1}{\beta} \beta 2^{NQ} = 2^{NQ}$$

Rezultă în total $2^{NQ+1} = 2^{NQ} + 2^{NQ}$ puncte de semnal 2N-D.

Lema 4.2-O constelație de semnale 2-D, încadrată de un cerc $C(O, \rho)$ de rază ρ și cu centrul în origine, conține $\pi\rho^2$ puncte de semnal 2-D și are energia medie $E_{medie} = \frac{\rho^2}{2}$ [38].

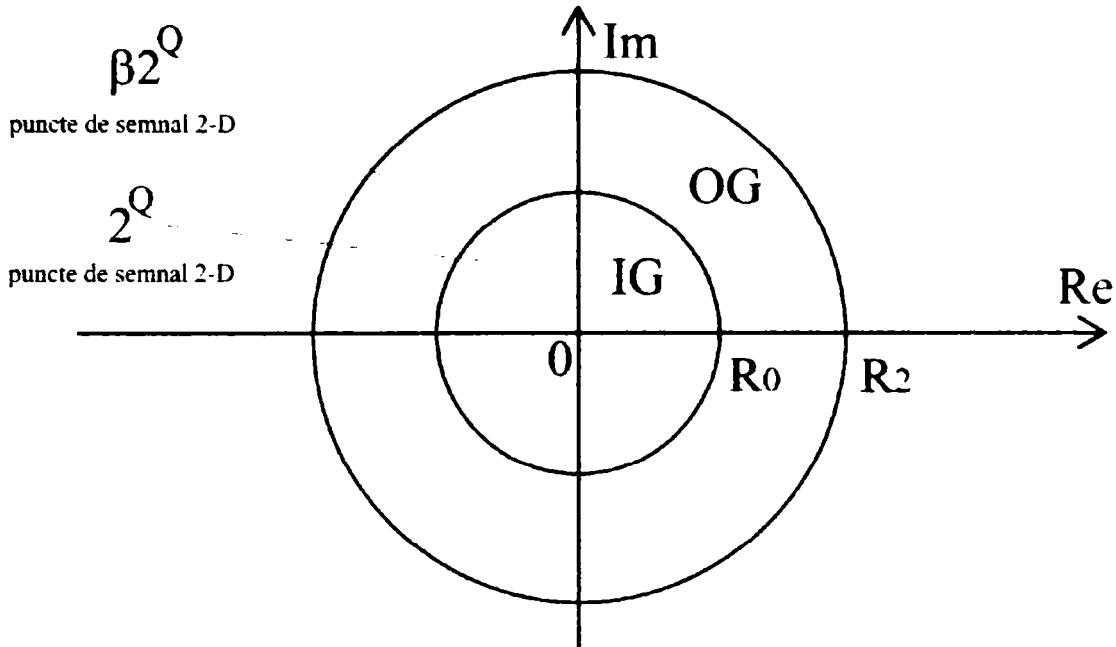


Fig.4.9 Constelația de semnale 2-D obținută prin extindere simplă.

Lema 4.3-O constelație de semnale 2-D, încadrată de două cercuri $C_1(O, \rho_1)$ și $C_2(O, \rho_2)$ de raze $\rho_1 < \rho_2$ și cu centrul în origine, conține $\pi(\rho_2^2 - \rho_1^2)$ puncte de semnal 2-D și are energia medie $E_{medie} = \frac{\rho_1^2 + \rho_2^2}{2}$ [38].

Ținând cont de lema 4.2 și lema 4.3 se obțin formulele pentru numărul de puncte de semnal 2-D și energia medie a celor două grupuri IG și OG pentru extinderea simplă [38]:

$$(N_{\text{puncte de semnal 2-D}})_{IG} = 2^Q = \pi R_0^2 \tag{4.94}$$

$$(E_{medie})_{IG} = E_{IG} = \frac{R_0^2}{2} \tag{4.95}$$

$$(N_{\text{puncte de semnal 2-D}})_{OG} = \beta 2^Q = \pi(R_2^2 - R_0^2) \tag{4.96}$$

$$(E_{\text{medie}})_{\text{OG}} = E_{\text{OG}} = \frac{R_0^2 + R_2^2}{2} \quad (4.97)$$

Numărul de puncte de semnal 2-D a constelației de semnale 2-D extinsă simplu este egal cu [16, 42, 38]:

$$N_{\text{puncte de semnal 2-D}} = 2^Q + \beta 2^Q = (1 + \beta) 2^Q = \pi R_2^2 \quad (4.98)$$

În construcția punctelor de semnal 2N-D, un punct de semnal 2-D din IG este utilizat de 2N-1 ori mai des decât un punct de semnal 2-D din OG. Dacă p_{IG} este probabilitatea de utilizare a unui punct de semnal 2-D din IG și p_{OG} este probabilitatea de utilizare a unui punct de semnal 2-D din OG atunci se obține [16]:

$$\begin{cases} \frac{p_{\text{IG}}}{p_{\text{OG}}} = 2N - 1 \\ p_{\text{IG}} + p_{\text{OG}} = 1 \end{cases} \Leftrightarrow \begin{cases} p_{\text{IG}} = \frac{2N - 1}{2N} \\ p_{\text{OG}} = \frac{1}{2N} \end{cases} \quad (4.2)$$

Energia medie a constelației de semnale 2-D extinsă simplu este egală cu [16, 42, 38]:

$$E_{\text{medie}} = p_{\text{IG}} E_{\text{IG}} + p_{\text{OG}} E_{\text{OG}} = \frac{2N - 1}{2N} E_{\text{IG}} + \frac{1}{2N} E_{\text{OG}} \quad (4.3)$$

Parametrii CER și PAR ai constelației de semnale 2-D extinsă simplu sunt [38]:

$$\begin{cases} \text{CER} = \frac{E_{\text{medie}}}{E_{\text{IG}}} = \frac{2N - 1}{2N} + \frac{1}{2N} \frac{E_{\text{OG}}}{E_{\text{IG}}} = \frac{1}{2N} (2N + 1 + \beta) \\ \text{PAR} = \frac{E_{\text{maximă}}}{E_{\text{medie}}} = \frac{1}{\text{CER}} \frac{E_{\text{maximă}}}{E_{\text{IG}}} = \frac{1}{\text{CER}} \frac{R_2^2}{R_0^2} = \frac{2}{\text{CER}} (1 + \beta) \end{cases} \quad (4.99)$$

Concluzia 4.4-În cazul construcției Wei, când N este o putere a lui 2, parametrii β , CER și PAR ai constelației de semnale 2-D extinsă simplu sunt [38]:

$$\begin{cases} \beta = \frac{1}{N} \\ \text{CER}_0 = \frac{1}{2N} \left(2N + 1 + \frac{1}{N} \right) \\ \text{PAR}_0 = \frac{2}{\text{CER}_0} \left(1 + \frac{1}{N} \right) \end{cases} \quad (4.100)$$

Concluzia 4.5—În cazul construcției Sterian, când N nu este o putere a lui 2, parametrii β , CER și PAR ai constelației de semnale 2-D extinsă simplu sunt [38]:

$$\begin{cases} \beta = \frac{1}{N'} \\ \text{CER}_1 = \frac{1}{2N'} \left(2N + 1 + \frac{1}{N'} \right) \\ \text{PAR}_1 = \frac{2}{\text{CER}_1} \left(1 + \frac{1}{N'} \right) \end{cases} \quad (4.101)$$

unde N' = cea mai mare putere a lui 2 mai mică decât N .

4.4.1.2.2 Extinderea optimală a constelației de semnale 2-D

Am urmărit demonstrarea formulelor pentru numărul de puncte de semnal 2-D, energia medie și pentru parametrii CER și PAR ai constelației de semnale 2-D extinsă optimal.

Grupul extern OG se divide în două subgrupuri cu ajutorul unui cerc $C_1(O, R_1)$ de rază R_1 și cu centrul în origine, unde $R_0 < R_1 < R_2$ [38]:

- o **subgrupul extern de energie medie mică (OG_L)** care conține $\beta(1-\alpha)2^Q$ puncte de semnal 2-D, unde α este un număr rațional ales astfel încât $0 \leq \alpha < 1$,
- o **subgrupul extern de energie medie mare (OG_H)** care conține $\beta\alpha 2^Q$ puncte de semnal 2-D.

Se construiesc puncte de semnal 2N-D prin concatenarea a N puncte de semnal 2-D și se ține cont de următoarele observații [38]:

- numărul punctelor de semnal 2N-D care conțin N puncte de semnal 2-D din IG este 2^{NQ} ,
- numărul punctelor de semnal 2N-D care conțin $N-1$ puncte de semnal 2-D din IG și un punct de semnal 2-D din OG_L în una din primele N poziții este $N\beta(1-\alpha)2^{NQ}$.

Întrucît în total sunt necesare $2^{N_{Q+1}}=2^{N_Q}+2^{N_Q}$ puncte de semnal 2N-D, rezultă că mai trebuie construite încă $2^{N_{Q+1}}-2^{N_Q}-N\beta(1-\alpha)2^{N_Q}=\beta\alpha(N-P)2^{N_Q}$ puncte de semnal 2N-D, unde se notează [38]:

$$P = \frac{\beta N - 1}{\beta \alpha}, \quad 0 \leq P \leq N \Leftrightarrow 0 \leq N - P \leq N \quad (4.102)$$

Dacă P este un număr întreg, se vor considera punctele de semnal 2N-D care conțin N-1 puncte de semnal 2-D din IG și un punct de semnal 2-D din OG_H în una din primele N-P poziții adică $\beta\alpha(N-P)2^{N_Q}$ puncte de semnal 2N-D.

Rezultă în total $2^{N_{Q+1}}=2^{N_Q}+N\beta(1-\alpha)2^{N_Q}+\beta\alpha(N-P)2^{N_Q}$ puncte de semnal 2N-D.

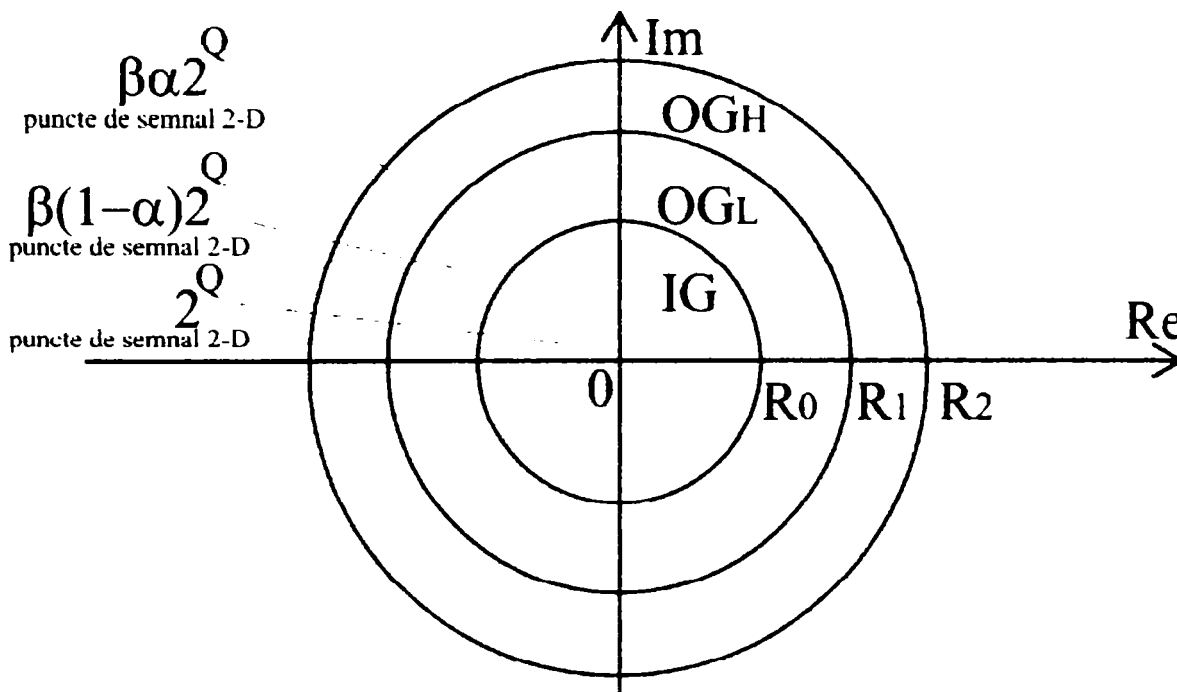


Fig.4.10 Constelația de semnale 2-D obținută prin extindere optimală.

Ținînd cont de relația (4.102) rezultă că:

$$\frac{1}{N} \leq \beta \leq \frac{1}{(1-\alpha)N} \quad (4.103)$$

Dacă p_{IG} este probabilitatea de utilizare a unui punct de semnal 2-D din IG și p_{OGL} , respectiv p_{OGH} sunt probabilitățile de utilizare a unui punct de semnal 2-D din OGL , respectiv OGH atunci am obținut relațiile:

$$\left\{ \begin{array}{l} \frac{p_{IG}}{p_{OGL} + p_{OGH}} = 2N - 1 \\ p_{IG} + p_{OGL} + p_{OGH} = 1 \\ \frac{p_{OGL}}{p_{OGH}} = \frac{\beta(1 - \alpha)N}{\beta\alpha(N - P)} \end{array} \right. \Leftrightarrow \left\{ \begin{array}{l} p_{IG} = \frac{2N - 1}{2N} \\ p_{OGL} + p_{OGH} = \frac{1}{2N} \\ \frac{p_{OGL}}{p_{OGH}} = \frac{\beta(1 - \alpha)N}{\beta\alpha(N - P)} \end{array} \right. \Leftrightarrow \left\{ \begin{array}{l} p_{IG} = \frac{2N - 1}{2N} \\ p_{OGL} = \frac{(1 - \alpha)}{2(N - \alpha P)} \\ p_{OGH} = \frac{\alpha(N - P)}{2N(N - \alpha P)} \end{array} \right. \quad (4.104)$$

Energia medie a constelației de semnale 2-D extinsă optimal este egală cu:

$$\begin{aligned} E_{\text{medie}} &= p_{IG}E_{IG} + p_{OGL}E_{OGL} + p_{OGH}E_{OGH} = \\ &= \frac{2N - 1}{2N}E_{IG} + \frac{(1 - \alpha)}{2(N - \alpha P)}E_{OGL} + \frac{\alpha(N - P)}{2N(N - \alpha P)}E_{OGH} \end{aligned} \quad (4.105)$$

Parametrii CER și PAR ai constelației de semnale 2-D extinsă optimal sunt:

$$\left\{ \begin{array}{l} CER = \frac{E_{\text{medie}}}{E_{IG}} = \frac{2N - 1}{2N} + \frac{(1 - \alpha)}{2(N - \alpha P)} \frac{E_{OGL}}{E_{IG}} + \frac{\alpha(N - P)}{2N(N - \alpha P)} \frac{E_{OGH}}{E_{IG}} \\ PAR = \frac{E_{\text{maximă}}}{E_{\text{medie}}} = \frac{1}{CER} \frac{E_{\text{maximă}}}{E_{IG}} = \frac{1}{CER} \frac{E_{\text{maximă}}}{E_{IG}} = \frac{1}{CER} \frac{R_2^2}{R_0^2} = \frac{2}{CER} (1 + \beta) \end{array} \right. \quad (4.106)$$

Ținând cont de lema 4.2 și lema 4.3 am obținut obținut formulele pentru numărul de puncte de semnal 2-D și energia medie a celor trei grupuri IG, OGL și OGH pentru extinderea optimală:

$$(N_{\text{puncte de semnal 2-D}})_{IG} = 2^Q = \pi R_0^2 \quad (4.107)$$

$$(E_{\text{medie}})_{IG} = E_{IG} = \frac{R_0^2}{2} \quad (4.108)$$

$$(N_{\text{puncte de semnal 2-D}})_{OGL} = \beta(1 - \alpha)2^Q = \pi(R_1^2 - R_0^2) \quad (4.109)$$

$$(E_{\text{medie}})_{OG_L} = E_{OG_L} = \frac{R_0^2 + R_1^2}{2} \quad (4.110)$$

$$(N_{\text{puncte de semnal 2-D}})_{OG_H} = \beta\alpha 2^Q = \pi(R_2^2 - R_1^2) \quad (4.111)$$

$$(E_{\text{medie}})_{OG_H} = E_{OG_H} = \frac{R_1^2 + R_2^2}{2} \quad (4.112)$$

Numărul de puncte de semnal 2-D a constelației de semnale 2-D extinsă optimal este egal cu:

$$N_{\text{puncte de semnal 2-D}} = 2^Q + \beta(1 - \alpha)2^Q + \beta\alpha 2^Q = (1 + \beta)2^Q = \pi R_2^2 \quad (4.113)$$

Rezultă raportul dintre energia medie a subgrupului extern de energie mică OG_L și energia medie a grupului intern IG și raportul dintre energia medie a subgrupului extern de energie mare OG_H și energia medie a grupului intern IG :

$$\begin{cases} \frac{E_{OG_L}}{E_{IG}} = 1 + \frac{R_1^2}{R_0^2} = 1 + \beta \\ \frac{E_{OG_H}}{E_{IG}} = \frac{R_1^2}{R_0^2} + \frac{R_2^2}{R_0^2} = 1 + \beta(1 - \alpha) \end{cases} \quad (4.114)$$

Ținând cont de relațiile (4.100), (4.106) și (4.114) am demonstrat formula pentru parametrul CER al constelației de semnale 2-D extinsă optimal:

$$\begin{aligned} CER &= \frac{2N-1}{2N} + \frac{(1-\alpha)}{2(N-\alpha P)} [2 + \beta(1-\alpha)] + \frac{\alpha(N-P)}{2N(N-\alpha P)} [2 + \beta(1-\alpha) + \beta] = \\ &= \frac{2N-1}{2N} + \frac{[2 + \beta(1-\alpha)]}{2(N-\alpha P)} \left[(1-\alpha) + \frac{\alpha(N-P)}{N} \right] + \frac{\beta\alpha(N-P)}{2N(N-\alpha P)} = \\ &= \frac{2N-1}{2N} + \frac{[2 + \beta(1-\alpha)]}{2N} + \frac{\beta\alpha(N-P)}{2N(N-\alpha P)} = \frac{2N+1 + \beta(1-\alpha)}{2N} + \frac{\beta\alpha(N-P)}{2N(N-\alpha P)} = \\ &= \frac{2N+1 + \frac{1}{N}}{2N} + \frac{\beta(1-\alpha) - \frac{1}{N}}{2N} + \frac{\beta\alpha(N-P)}{2N(N-\alpha P)} = CER_0 + \frac{\beta(1-\alpha) - \frac{1}{N}}{2N} + \frac{\beta\alpha(N-P)}{2N(N-\alpha P)} = \\ &= CER_0 + \frac{(1-\alpha)}{2N} \left[\beta - \frac{1}{N(1-\alpha)} \right] + \frac{\beta\alpha}{2N} \frac{N - \frac{\beta N - 1}{\beta}}{N - \frac{\beta N - 1}{\beta}} = \end{aligned}$$

$$= CER_0 + \frac{(1-\alpha)}{2N} \left[\beta - \frac{1}{N(1-\alpha)} \right] + \frac{\beta(1-\alpha)}{2} \left[\frac{1}{N(1-\alpha)} - \beta \right]$$

$$CER = CER_0 + \frac{(1-\alpha)}{2} \left[\frac{1}{N(1-\alpha)} - \beta \right] \left[\beta - \frac{1}{N} \right] \quad (4.115)$$

Concluzia 4.6-Parametrii CER și PAR ai constelației de semnale 2-D extinsă optimal sunt [38]:

$$\begin{cases} CER = \frac{E_{medie}}{E_{IG}} = CER_0 + \frac{(1-\alpha)}{2} \left[\frac{1}{N(1-\alpha)} - \beta \right] \left[\beta - \frac{1}{N} \right] \\ PAR = \frac{E_{maximă}}{E_{medie}} = \frac{2(1+\beta)}{CER_0 + \frac{(1-\alpha)}{2} \left[\frac{1}{N(1-\alpha)} - \beta \right] \left[\beta - \frac{1}{N} \right]} \end{cases} \quad (4.116)$$

Concluzia 4.7-Deoarece $0 \leq \alpha < 1$ și $\frac{1}{N} \leq \beta \leq \frac{1}{(1-\alpha)N}$, cu cât α este mai apropiat de 0, cu atât β este mai apropiat de $\frac{1}{N}$ și parametrii CER și PAR sunt mai mici [38].

Concluzia 4.8-Dacă Q este rata de transmisie a codorului TCM 2N-D iar α și β sunt două numere raționale alese astfel încât $\beta 2^Q$ să fie un număr întreg, $0 \leq \alpha < 1$ și $\frac{1}{N} \leq \beta \leq \frac{1}{(1-\alpha)N}$, atunci parametrul CER al constelației de semnale 2-D extinsă optimal și constituentă a constelației de semnale 2N-D are limitele [38]:

$$CER_0 \leq CER \leq CER_0 + \frac{\alpha^2}{8(1-\alpha)N^2} \quad (4.117)$$

Se caută condițiile pentru parametrii β , α și P astfel încât parametrii CER și PAR ai constelației de semnale 2-D extinsă optimal să aibe valori optimale (minime). Se notează [38]:

$$\begin{cases} I = \beta 2^Q \\ J = \beta \alpha 2^Q \\ K = JP = (\beta N - 1) 2^Q \end{cases} \quad (4.118)$$

unde:

Q este rata de transmisie a codorului TCM 2N-D,

β este un număr rațional ales astfel încât $\beta 2^Q$ să fie un număr întreg,

α este un număr rațional ales astfel încât $0 \leq \alpha < 1$.

Din relațiile (4.118) rezultă că:

$$\begin{cases} I = I(K) = \frac{2^Q + K}{N} \\ P = \frac{K}{J} \end{cases} \quad (4.119)$$

Fie K_0 cel mai mic număr întreg pozitiv astfel încât $I(K_0)$ să fie un număr întreg. Un astfel de număr întreg K_0 există întotdeauna și în plus dacă se dă K_0 atunci pentru orice număr întreg $K=K_0+RN$, unde R este un număr întreg arbitrar și $2N$ dimensiunea constelației de semnale multidimensională, rezultă că $I(K)$ este număr întreg.

Fie J_0 cel mai mic număr întreg pozitiv astfel încât $P = \frac{K_0}{J_0}$ să fie un număr întreg. Un astfel de număr întreg J_0 există întotdeauna și este egal cu 1.

Lema 4.4-Pentru o dimensiune $2N$ a codului TCM multidimensional și o rată de transmisie Q a codorului TCM multidimensional, parametri CER și PAR ai constelației de semnale 2-D extinsă optimal au valori optimale (minime) dacă [38]:

$$\begin{cases} \beta = \frac{I(K_0)}{2^Q} \\ \alpha = \frac{1}{I(K_0)} \\ P = K_0 \end{cases} \quad (4.120)$$

Constelația de semnale 2-D, formată din cele trei grupuri IG, OG_L și OG_H , va conține:

- ❖ 2^Q puncte de semnal 2-D în grupul IG
- ❖ $I(K_0)-1$ puncte de semnal 2-D în subgrupul OG_L
- ❖ 1 punct de semnal 2-D în subgrupul OG_H .

Fiecare grup (subgrup) va fi invariat rotațional (la o rotație de 0° , 90° , 180° , 270°) dacă I și J sunt multipli de 4.

Fie K_0' cel mai mic număr întreg pozitiv astfel încât $\frac{I(4K_0')}{4}$ să fie un număr întreg.

Lema 4.5-Pentru o dimensiune $2N$ a codului TCM multidimensional și o rată de transmisie Q a codului TCM multidimensional, parametrii CER și PAR ai constelației de semnale 2-D invariantă rotațional și extinsă optimal au valori optime (minime) dacă [38]:

$$\left\{ \begin{array}{l} \beta = \frac{I(4K_0')}{2^Q} \\ \alpha = \frac{4}{I(4K_0')} \\ P = K_0' \end{array} \right. \quad (4.121)$$

Constelația de semnale 2-D, formată din cele trei grupuri IG, OG_L și OG_H , va conține:

- ❖ 2^Q puncte de semnal 2-D în grupul IG
- ❖ $I(4K_0')-4$ puncte de semnal 2-D în subgrupul OG_L
- ❖ 4 puncte de semnal 2-D în subgrupul OG_H .

Concluzia 4.9-În cazul construcției Wei, când N este o putere a lui 2, parametrii β , α , CER și PAR ai constelației de semnale 2-D extinsă optimal sunt [38]:

$$\left\{ \begin{array}{l} \beta = \frac{1}{N} \\ \alpha = 0 \\ CER_{WEI} = CER_0 = \frac{1}{2N} \left(2N + 1 + \frac{1}{N} \right) \\ PAR_{WEI} = PAR_0 = \frac{2}{CER_0} \left(1 + \frac{1}{N} \right) \end{array} \right. \quad (4.122)$$

Concluzia 4.10-În cazul construcției Sterian , când N nu este o putere a lui 2, parametrii β , α , CER și PAR ai constelației de semnale 2-D extinsă optimal sunt [38]:

$$\left\{ \begin{array}{l} \beta = \frac{1}{N'} \\ \alpha = \frac{1}{2} \\ \text{CER}_{\text{STERIAN}} = \text{CER}_0 + \frac{1}{4} \left(\frac{2}{N} - \frac{1}{N'} \right) \left(\frac{1}{N'} - \frac{1}{N} \right) \\ \text{PAR}_{\text{STERIAN}} = \frac{2 \left(1 + \frac{1}{N'} \right)}{\text{CER}_0 + \frac{1}{4} \left(\frac{2}{N} - \frac{1}{N'} \right) \left(\frac{1}{N'} - \frac{1}{N} \right)} \end{array} \right. \quad (4.123)$$

unde N' = cea mai mare putere a lui 2 mai mică decât N .

Concluzia 4.11-În cazul construcției Wei generalizate pe care am propus-o, parametrii β , α , CER și PAR ai constelației de semnale 2-D extinsă optimal sunt [56]:

a) când N este o putere a lui 2:

$$\left\{ \begin{array}{l} \beta = \frac{1}{N} \\ \alpha = 0 \\ \text{CER} = \text{CER}_0 = \frac{1}{2N} \left(2N + 1 + \frac{1}{N} \right) \\ \text{PAR} = \text{PAR}_0 = \frac{2}{\text{CER}_0} \left(1 + \frac{1}{N} \right) \end{array} \right. \quad (4.124)$$

b) când N nu este o putere a lui 2:

$$\left\{ \begin{array}{l} \beta = \frac{I(4K_0')}{2^Q} \\ \alpha = \frac{4}{I(4K_0')} \\ \text{CER} = \text{CER}_0 + \frac{(1-\alpha)}{2} \left[\frac{1}{N(1-\alpha)} - \beta \right] \left[\beta - \frac{1}{N} \right] \\ \text{PAR} = \frac{2(1+\beta)}{\text{CER}_0 + \frac{(1-\alpha)}{2} \left[\frac{1}{N(1-\alpha)} - \beta \right] \left[\beta - \frac{1}{N} \right]} \end{array} \right. \quad (4.125)$$

unde K_0' este cel mai mic număr întreg pozitiv astfel încît $\frac{I(4K_0')}{4} = \frac{2^Q + 4K_0'}{4N}$ să fie un număr întreg.

4.4.2 Partitionarea constelației de semnale 2N-D în subseturi 2N-D

Partiționarea constelației de semnale 2N-D în subseturi 2N-D este a doua etapă în construcția Wei generalizată a codurilor TCM multidimensionale și are ca scop obținerea unor subseturi 2N-D și a unor familii 2N-D care vor fi asignate în etapa a treia la tranzițiile de stare ale codului TCM multidimensional.

Am presupus o constelație de semnale 2N-D cu $MSED = d_0^2$ și am dorit partiționarea acesteia în subseturi cu $MSED = d^2 > d_0^2$.

Partiționarea constelației de semnale 2N-D în subseturi 2N-D am realizat-o diferit pentru cazul în care N este par, respectiv impar.

Dacă N este par atunci:

1. Am partiționat fiecare din cele 2 constelații de semnale N-D constituate cu $MSED = d_0^2$ în **familii N-D**, **subfamilii N-D** și **subseturi N-D** cu MSED din ce în ce mai mare.

Fiecare nivel de partiționare a constelației de semnale N-D dublează MSED (**partiționare binară**). Am continuat cu partiționarea pînă cînd am obținut subseturi N-D cu $MSED = d^2 > d_0^2$.

După primul nivel de partiționare a constelației de semnale N-D am obținut **familii N-D** iar după următoarele nivele de partiționare (cu excepția ultimului) am obținut **subfamilii N-D**. După ultimul nivel de partiționare am obținut **subseturi N-D**.

Cu cît este mai fină partiționarea constelației de semnale N-D cu atît rezultă mai multe subseturi N-D și cu MSED mai mare.

2. Am construit **tipuri 2N-D** cu $MSED = d^2 > d_0^2$ prin concatenarea a cîte 2 subseturi N-D.

3. Am construit **subseturi 2N-D** cu $MSED = d^2 > d_0^2$ prin gruparea a cîte $S=2^s$ tipuri 2N-D, unde S este numărul subseturilor N-D conținute într-o subfamilie N-D.

Gruparea tipurilor 2N-D în subseturi 2N-D trebuie făcută astfel încît să fie îndeplinite două cerințe [16]:

- construcția codului TCM 2N-D să fie cît mai simplă posibil (să se obțină un număr cît mai mic de posibil de subseturi 2N-D adică selecția unui subset 2N-D să se facă cu un număr cît mai mic posibil de biți codați de codorul convoluțional),
- fiecare subset 2N-D să fie invariant rotațional la cît mai multe rotații posibile (ambiguități de fază ale constelației de semnale 2N-D). Dacă nu este posibil ca fiecare subset 2N-D să fie invariant la toate rotațiile, atunci ar trebui cel puțin ca orice rotație să transforme un subset 2N-D în alt subset 2N-D.

4. Am grupat subseturile 2N-D în **subfamilii 2N-D** și **familii 2N-D** cu MSED din ce în ce mai mică.

Fiecare nivel de grupare a subseturilor 2N-D înjumătățește MSED. Am continuat cu gruparea pînă cînd am obținut două familii 2N-D cu $MSED = 2d_0^2$ și notate F_0 și F_1 .

Dacă N este impar atunci:

1. Am partiționat fiecare din cele N constelații de semnale 2-D constituite cu $MSED = d_0^2$ în **familii 2-D**, **subfamilii 2-D** și **subseturi 2-D** cu $MSED$ din ce în ce mai mare.

Fiecare nivel de partiționare a constelației de semnale 2-D dublează $MSED$ (**partiționare binară**). Am continuat cu partiționarea pînă cînd am obținut subseturi 2-D cu $MSED = d^2 > d_0^2$.

După primul nivel de partiționare a constelației de semnale 2-D am obținut **familii 2-D** iar după următoarele nivele de partiționare cu excepția ultimului am obținut **subfamilii 2-D**. După ultimul nivel de partiționare am obținut **subseturi 2-D**.

Cu cît este mai fină partiționarea constelației de semnale 2-D cu atît rezultă mai multe subseturi 2-D și cu $MSED$ mai mare.

2. Am construit **tipuri 2N-D** cu $MSED = d^2 > d_0^2$ prin concatenarea a cîte N subseturi 2-D.

3. Am construit **subseturi 2N-D** cu $MSED = d^2 > d_0^2$ prin gruparea a cîte $S = 2^s = 2^{Nu-m-1}$ tipuri 2N-D, unde $U = 2^u$ este numărul de subseturi 2-D ale constelației de semnale 2-D constituantă.

Gruparea tipurilor 2N-D în subseturi 2N-D trebuie făcută astfel încît să fie îndeplinite cele două cerințe de mai sus [16]:

- construcția codului TCM 2N-D să fie cît mai simplă posibil,
- fiecare subset 2N-D să fie invariant rotațional la cît mai multe rotații posibile.

4. Am grupat subseturile 2N-D în **subfamilii 2N-D** și **familii 2N-D** cu $MSED$ din ce în ce mai mică.

Fiecare nivel de grupare a subseturilor 2N-D înjumătățește $MSED$. Am continuat cu gruparea pînă cînd am obținut două familii 2N-D cu $MSED = 2d_0^2$ și notate F_0 și F_1 .

4.4.3 Asignarea subseturilor 2N-D la tranzițiile de stare ale codului TCM 2N-D

Asignarea subseturilor 2N-D la tranzițiile de stare ale codului TCM 2N-D se face astfel încît să fie îndeplinite trei cerințe [16]:

1. Subseturile 2N-D, asociate cu tranzițiile care pornesc dintr-o anumită stare, să difere unele de altele și să aparțină aceleași familii 2N-D.

Aceiași considerent se aplică și pentru subseturile 2N-D asociate cu tranzițiile care ajung într-o anumită stare.

2. $MSED$ dintre două secvențe de subseturi 2N-D, care corespund la două traiectorii distincte prin diagrama trellis, să fie mai mare sau egală cu $d_{free}^2 = d^2$, care este $MSED$ a fiecărui subset 2N-D ($MSED$ de intersubset 2N-D să fie mai mare sau cel puțin egală cu $MSED$ de intrasubset 2N-D).

Această cerință garantează că $MSED$ dintre două secvențe de puncte de semnal 2N-D este d^2 și elimină evenimentele eroare care diferă cu mai mult decît un punct de semnal 2N-D față de secvența corectă de puncte de semnal 2N-D.

Dacă se neglijează efectul de margine, atunci **coeficientul de eroare** N_{free} al codului TCM 2N-D, este egal cu numărul vecinilor cei mai apropiați ai unui punct de semnal 2N-D și aflați într-un subset 2N-D cu un număr finit de puncte de semnal 2N-D.

Dacă nu se neglijează efectul de margine, atunci coeficientul de eroare al codului TCM 2N-D este mai mic decât cel din definiția anterioară.

3. Dacă X este subsetul 2N-D asociat cu tranzițiile din starea curentă σ_n în starea următoare σ_{n+N} și dacă X_1, X_2, X_3 sunt subseturile 2N-D obținute prin rotirea lui X cu $90^\circ, 180^\circ, 270^\circ$ atunci se pot defini trei funcții F_1, F_2, F_3 de corespondență între stările codului TCM 2N-D astfel încât [16]:

$\Rightarrow X_1$ să fie asociat cu tranzițiile din starea curentă $F_1(\sigma_n)$ în starea următoare $F_1(\sigma_{n+N})$,

$\Rightarrow X_2$ să fie asociat cu tranzițiile din starea curentă $F_2(\sigma_n)$ în starea următoare $F_2(\sigma_{n+N})$,

$\Rightarrow X_3$ să fie asociat cu tranzițiile din starea curentă $F_3(\sigma_n)$ în starea următoare $F_3(\sigma_{n+N})$.

Această cerință garantează că vom obține un cod TCM 2N-D transparent la toate ambiguitățile de fază ale constelației de semnale 2N-D, cu alte cuvinte un cod TCM 2N-D invariant rotațional la $0^\circ, 90^\circ, 180^\circ, 270^\circ$.

4.4.4 Realizarea corespondenței dintre cei $NQ+1$ biți și constelația de semnale 2N-D

Corespondența complicată dintre cei $NQ+1$ biți (primii $m+1$ biți codați cu un codor convoluțional și ceilalți $NQ-m$ biți necodați) și constelația de semnale 2N-D am convertit-o în N corespondențe simple ale constelațiilor de semnale 2-D constituite cu ajutorul unui **convertor de bit** și a unui **codor bloc**.

Convertorul de bit și codorul bloc transformă cei $NQ+1$ biți în N grupuri de câte $Q+1$ biți fiecare, adică în $NQ+N$ biți.

Fiecare grup de $Q+1$ biți adresează un **bloc de corespondență 2-D** și selectează un punct de semnal 2-D.

Astfel sunt selectate N puncte de semnale 2-D și prin concatenarea lor se obține un punct de semnal 2N-D corespunzător celor $NQ+1$ biți.

4.5 Generalizarea construcției Wei a codorului TCM 2N-D

Schema bloc codorului TCM 2N-D (construcția propusă) am prezentat-o în Fig.4.11 [57, 59].

Am utilizat o constelație de semnale 2N-D cu 2^{NQ+1} puncte de semnal 2N-D. Construcția constelației de semnale 2N-D și partiționarea ei în subseturi 2N-D le-am realizat ca și în paragrafele anterioare 4.4.1 și 4.4.2.

Primii m biți de la intrare sunt codați cu un **codor convoluțional** cu rata de codare $\frac{m}{m+1}$ și cu $V=2^v$ stări.

Am notat starea curentă și starea următoare a codorului convoluțional astfel:

$$W_{1,p}, W_{2,p}, \dots, W_{v,p} \quad (4.126)$$

unde:

$p=n$ este starea curentă a codorului convoluțional,

$p=n+N$ este starea următoare a codorului convoluțional.

Valoarea zecimală a stării ($W_{1,p}, W_{2,p}, \dots, W_{v,p}$) a codorului convoluțional este egală cu:

$$\sigma_p = 2^{v-1} W_{1,p} + \dots + 2^1 W_{v-1,p} + W_{v,p} \quad (4.127)$$

unde:

$p=n$ este starea curentă codorului convoluțional,

$p=n+N$ este starea următoare codorului convoluțional.

Am presupus că numărul de subseturi 2N-D dintr-o familie 2N-D este egal cu F, unde este necesar ca $F \leq V$.

Setul stărilor curente $\{\sigma_n\}$ a codorului convoluțional le-am partiționat în F subseturi:

$$\{F_i + j \mid 0 \leq i \leq F-1, 0 \leq j \leq F-1\} \quad (4.128)$$

Setul stărilor următoare $\{\sigma_{n+N}\}$ a codorului convoluțional le-am partiționat în F subseturi:

$$\{F_j + k \mid 0 \leq j \leq F-1, 0 \leq k \leq F-1\} \quad (4.129)$$

Conectivitatea diagramei trellis a codorului TCM 2N-D am realizat-o astfel: pentru orice $0 \leq j \leq F-1$ există tranziții de stare între fiecare stare curentă $F_i + j$, $0 \leq i \leq F-1$ și fiecare stare următoare $F_j + k$, $0 \leq k \leq F-1$.

Am determinat rotația subseturilor 2N-D la rotații succesive cu 90° a subseturilor 2-D și rotația stărilor codorului convoluțional la rotații succesive cu 90° a subseturilor 2N-D. Din rotația stărilor codorului convoluțional am dedus cele trei funcții de corespondență F_1 , F_2 și F_3 .

Asignarea subseturilor 2N-D la tranzițiile de stare ale codului TCM 2N-D am realizat-o ca și în paragraful 4.4.3. Astfel:

⇒ la tranzițiile care pornesc din stări pare ($Y_{0,n} = W_{v,n} = 0$) sunt asignate subseturi 2N-D din familia 2N-D notată F_0 ,

⇒ la tranzițiile care pornesc din stări impare ($Y_{0,n} = W_{v,n} = 1$) sunt asignate subseturi 2N-D din familia 2N-D notată F_1 .

Am folosit un **codor convoluțional cu reacție cu conexiune înapoi (systematic feedback convolutional encoder)**. Biții de intrare $I_{1,n}, I_{2,n}, \dots, I_{m,n}$ sunt conectați direct la ieșire. Bitul $Y_{0,n}$ este codat convoluțional și depinde de biții de intrare $I_{1,n}, I_{2,n}, \dots, I_{m,n}$ și de biții de stare curentă $W_{1,n}, W_{2,n}, \dots, W_{v,n}$.

Din diagrama trellis a codorului TCM 2N-D am dedus relațiile pentru biții de stare următoare $W_{1,n+N}, W_{2,n+N}, \dots, W_{v-1,n+N}, W_{v,n+N}$ în funcție de biții de intrare $I_{1,n}, I_{2,n}, \dots, I_{m,n}$ și de biții de stare curentă $W_{1,n}, W_{2,n}, \dots, W_{v,n}$.

Cei $m+1$ biți de la ieșirea codorului convoluțional selectează cu ajutorul unui **convertor de bit**, subsetul 2N-D care va fi utilizat. Ceilalți $NQ-m$ biți de la intrare, rămași necodați convoluțional, selectează cu ajutorul unui **codor bloc**, punctul de semnal 2N-D care va fi transmis din subsetul 2N-D selectat anterior.

Am notat cu $U=2^u$ numărul de subseturi 2-D ale constelației de semnale 2-D, constituantă a constelației de semnale 2N-D.

Dacă $N=\text{par}$, la intrarea convertorului de bit:

- \Rightarrow primii $m+1$ biți selectează subsetul 2N-D utilizat,
- \Rightarrow următorii s biți selectează tipul 2N-D în cadrul subsetului 2N-D utilizat,
- \Rightarrow următorii $Nu-m-1-s$ biți selectează tipul N-D, pentru fiecare din cele 2 subseturi N-D constituate ale tipului 2N-D și așa mai departe pînă la selecția celor N subseturi 2-D constituate.

Dacă $N=\text{impar}$ la intrarea convertorului de bit:

- \Rightarrow primii $m+1$ biți selectează subsetul 2N-D utilizat,
- \Rightarrow următorii $s=Nu-m-1$ biți selectează tipul 2N-D, în cadrul subsetului 2N-D utilizat și implicit cele N subseturi 2-D constituate.

Am notat cu $r = \text{restul împărțirii lui } Nu \text{ la } Q$ și cu $c = \text{cîtul împărțirii lui } Nu \text{ la } Q$.

Convertorul de bit convertește cei Nu biți de la intrarea sa $Y_{0,n}, I_{1,n}, I_{2,n}, \dots, I_{r-1,n+c}$ în N grupuri de cîte u biți fiecare:

$$Z_{0,p}, Z_{1,p}, \dots, Z_{u-1,p}, p=n, n+1, \dots, n+N-1 \quad (4.130)$$

Aceste N grupuri de cîte u biți fiecare selectează N subseturi 2-D, corespunzătoare tipului 2N-D selectat în cadrul subsetului 2N-D utilizat.

Pentru a obține un cod TCM 2N-D transparent la orice ambiguitate de fază a constelației de semnale 2N-D trebuie să fie îndeplinită cerința detaliată în continuare.

Dacă X este tipul 2N-D asociat cu structura de biți $Y_{0,n}, I_{1,n}, I_{2,n}, \dots, I'_{a-1,n+b}, I'_{a,n+b}, \dots, I_{r-2,n+c}, I_{r-1,n+c}$ atunci se notează cu X_1, X_2, X_3 tipurile 2N-D obținute prin rotirea lui X cu $90^\circ, 180^\circ, 270^\circ$, unde $2 \leq a \leq r-1$ și $0 \leq b \leq c$.

Dacă $(I'_{a-1,n+b} I'_{a,n+b})_1, (I'_{a-1,n+b} I'_{a,n+b})_2, (I'_{a-1,n+b} I'_{a,n+b})_3$ sunt perechile de biți obținute prin translația perechii de biți $(I'_{a-1,n+b} I'_{a,n+b})$ cu una, două sau trei poziții în secvența circulară $00 \rightarrow 10 \rightarrow 01 \rightarrow 11 \rightarrow 00$, atunci tipurile 2N-D asociate cu structurile de biți:

$Y_{0,n}, I_{1,n}, I_{2,n}, \dots, (I'_{a-1,n+b} I'_{a,n+b})_1, \dots, I_{r-2,n+c}, I_{r-1,n+c},$
 $Y_{0,n}, I_{1,n}, I_{2,n}, \dots, (I'_{a-1,n+b} I'_{a,n+b})_2, \dots, I_{r-2,n+c}, I_{r-1,n+c},$
 $Y_{0,n}, I_{1,n}, I_{2,n}, \dots, (I'_{a-1,n+b} I'_{a,n+b})_3, \dots, I_{r-2,n+c}, I_{r-1,n+c},$
 sunt X_1, X_2, X_3 .

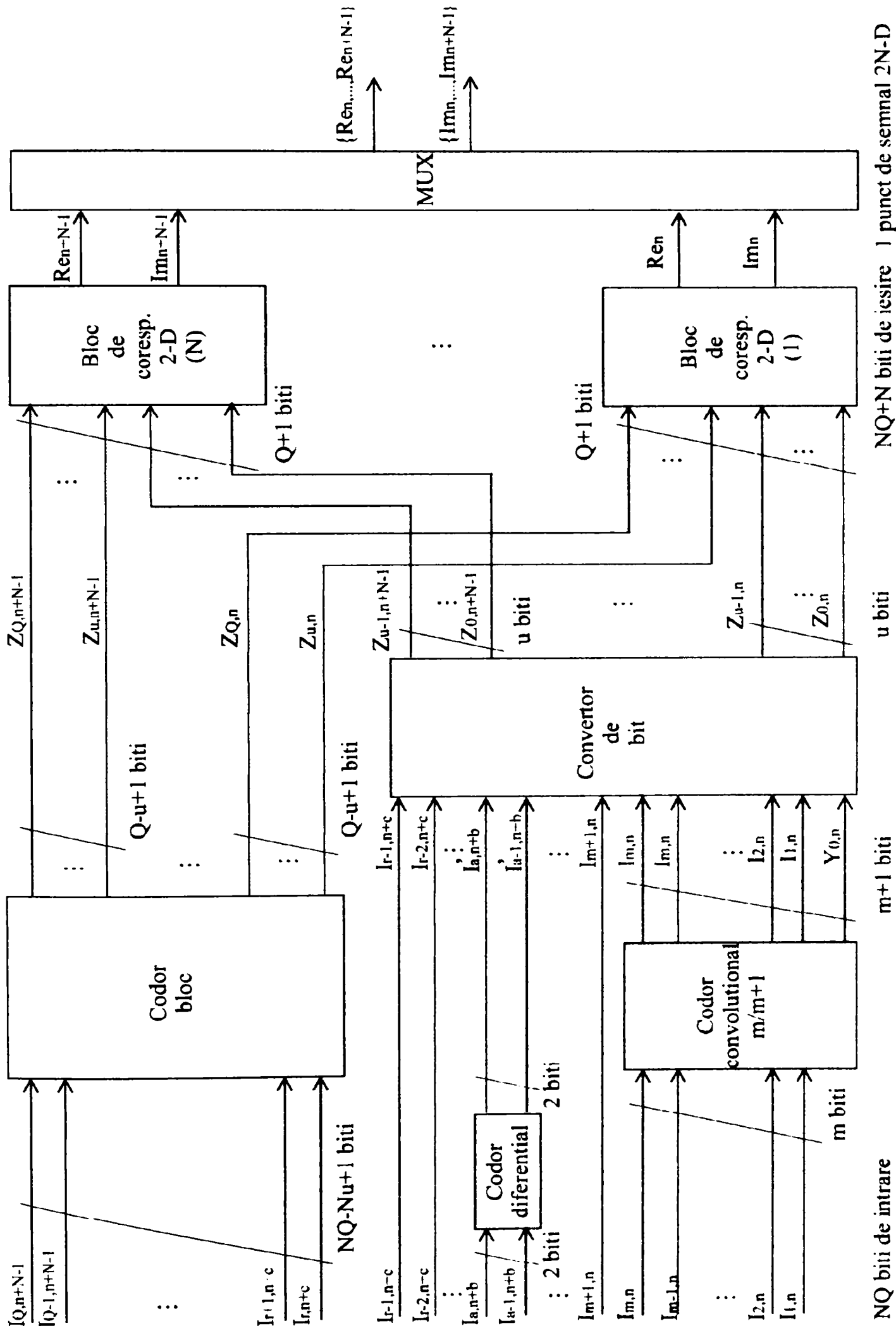


Fig.4.11 Schema bloc a codorului TCM 2N-D (construcția propusă).

Pentru a suprima toate cele 4 ambiguități de fază a constelației de semnale 2N-D ($0^\circ, 90^\circ, 180^\circ, 270^\circ$) am folosit un **codor diferențial** pe 2 biți de forma:

$$(I'_{a-1,n+b} I'_{a,n+b}) = (I'_{a-1,n+b-N} I'_{a,n+b-N} + I_{a-1,n+b} I_{a,n+b}) \text{mod} 4 \quad (4.131)$$

Tabelul de adevăr al codorului diferențial care rezultă din relația (4.131) este următorul:

Tabelul 4.14 Tabelul de adevăr al codorului diferențial

Biții de ieșire $I'_{a-1,n+b} I'_{a,n+b}$		Biții de ieșire anteriori $I'_{a-1,n+b-N} I'_{a,n+b-N}$			
		00	01	10	11
Biții de intrare $I_{a-1,n+b} I_{a,n+b}$	00	00	01	10	11
	01	01	10	11	00
	10	10	11	00	01
	11	11	00	01	10

Din tabelul de adevăr de mai sus am dedus următoarele relații între ieșirile și intrările codorului diferențial (Fig.4.12):

$$\begin{cases} I'_{a,n+b} = (I_{a,n+b} \oplus I'_{a,n+b-N}) \oplus (I_{a-1,n+b} \otimes I'_{a-1,n+b-N}) \\ I'_{a-1,n+b} = (I_{a-1,n+b} \oplus I'_{a-1,n+b-N}) \end{cases} \quad (4.132)$$

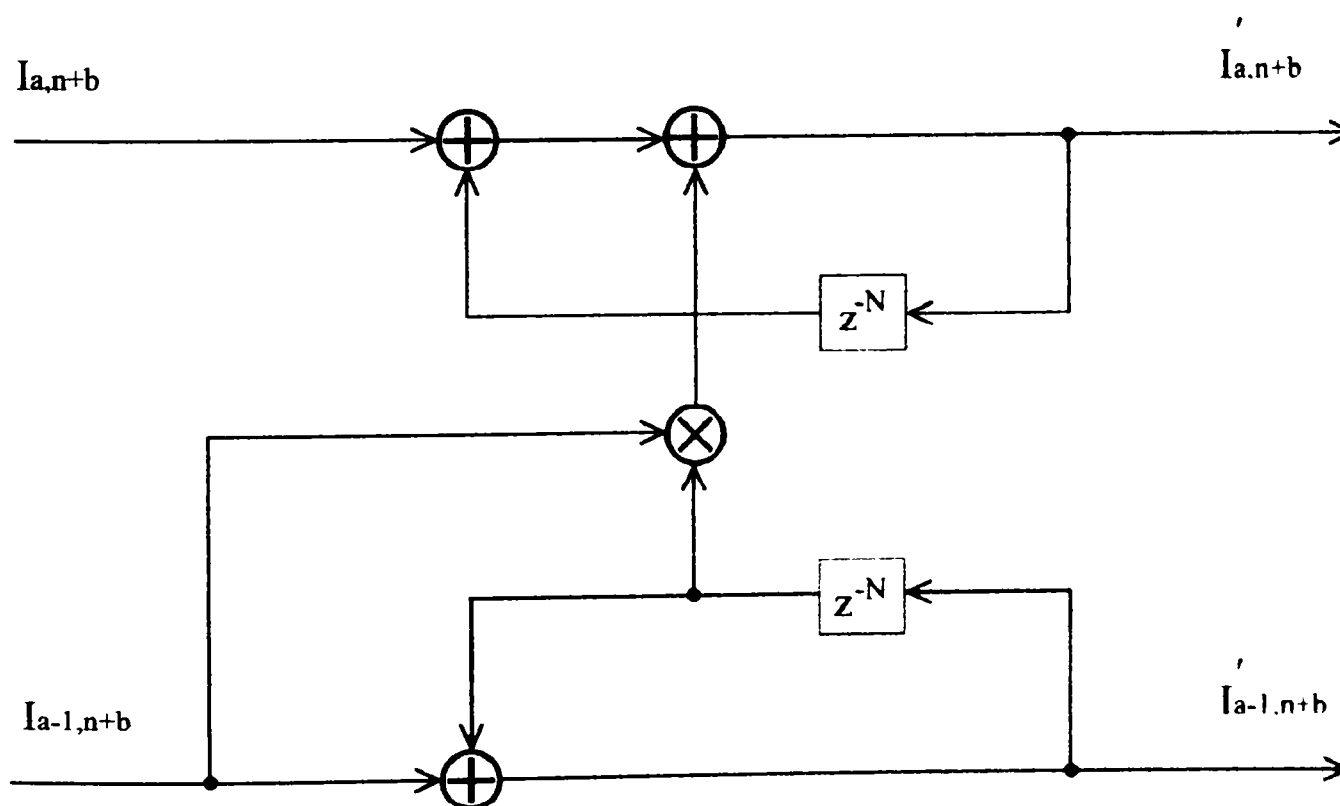


Fig.4.12 Codorul diferențial pe 2 biți (construcția propusă).

Ultimii $NQ - Nu + 1$ biți de la intrare sînt codați cu un **codor bloc**, la ieșirea căruia se obțin N grupuri de cîte $Q - u + 1$ biți fiecare:

$$Z_{u,p}, Z_{u+1,p}, \dots, Z_{Q,p}, p=n, n+1, \dots, n+N-1 \quad (4.133)$$

Aceste N grupuri, de cîte $Q - u + 1$ biți fiecare, selectează cele N puncte de semnal 2-D, astfel încît cel mult unul să fie situat în grupul extern OG a constelației de semnale 2-D constituantă a constelației de semnale $2N - D$.

Cîștigul de codare asimptotic al codului TCM $2N - D$ față de o transmisie necodată este egal cu:

$$\gamma = 10 \log_{10} \left(\frac{\frac{d^2}{E_{\text{medie}}}}{\frac{d_0^2}{E_{\text{IG}}}} \right) = 10 \log_{10} \left(\frac{d^2}{d_0^2} \frac{1}{\text{CER}} \right) \text{ [dB]} \quad (4.134)$$

unde:

$d_{\text{free}}^2 = d^2 = \text{MSED}$ a subseturilor $2N - D$ obținute prin partiționarea constelației de semnale $2N - D$,

$d_0^2 = \text{MSED}$ a constelației de semnale 2-D utilizată la o transmisie necodată,

E_{medie} = energia medie a constelației de semnale 2-D constituantă a constelației de semnale $2N - D$,

E_{IG} = energia medie a grupului intern IG a constelației de semnale 2-D constituantă a constelației de semnale $2N - D$,

CER = rata de extindere a constelației de semnale 2-D constituantă a constelației de semnale $2N - D$ (Constellation Extension Rate).

Întrucît formulele stabilite de Wei și Sterian pentru cîștigul de codare asimptotic γ al codului TCM $2N - D$ față de o transmisie necodată, nu țin cont de parametrii PAR și CER ai constelației de semnale 2-D constituantă a constelației de semnale $2N - D$, am dedus o nouă formulă care ia în calcul parametrii respectivi (relația 4.134).

În relațiile folosite de Wei și Sterian (relațiile 4.2 și 4.33), energiile medii ale grupurilor se calculează dificil prin însumarea pătratelor distanțelor dintre originea axelor de coordonate a planului complex și punctele de semnal 2-D situate în grupurile respective și prin împărțirea la numărul de puncte de semnal 2-D ale grupurilor. Spre deosebire de relațiile folosite de Wei și Sterian, relația propusă (4.134) permite calculul imediat a cîștigului de codare asimptotic γ al codului TCM $2N - D$, după calculul parametrului CER a constelației de semnale 2-D constituantă a constelației de semnale $2N - D$.

4.6 Generalizarea construcției Wei a decodorului TCM 2N-D

Decodorul TCM 2N-D utilizează un algoritm de **decodare de probabilitate condiționată maximă (MLD=Maximum Likelihood Decoding)** numit **algoritmul Viterbi**.

Decodorul Viterbi utilizează o **tehnică de decodare cu decizie hard (hard-decision decoding technique)** și găsește punctul de semnal 2N-D cel mai apropiat de punctul de semnal 2N-D recepționat.

Schema propusă pentru decodorul Viterbi conține două blocuri:

- ⇒ **blocul de calcul** a celor mai apropiate puncte de semnal 2N-D față de punctul de semnal 2N-D recepționat în fiecare subset 2N-D și a metricilor de subset 2N-D asociate,
- ⇒ **decodorul Viterbi propriu-zis**, care analizează traiectoriile din diagrama trellis și alege traiectoria cu metrica totală minimă. Astfel decodorul Viterbi propriu-zis, generează o secvență de puncte de semnal 2N-D care sunt cele mai apropiate de secvența de puncte de semnal 2N-D recepționate.

Dacă N nu este o putere a lui 2 atunci am folosit diagrama de decodare Viterbi I iar dacă N este o putere a lui 2 atunci am folosit diagrama de decodare Viterbi II. Pentru a decide dacă N este sau nu o putere a lui 2 am propus organigrama din Fig.4.13. Am citit valoarea lui N și am atribuit la i valoarea inițială 1.

Dacă N este impar atunci am ales diagrama de decodare Viterbi I.

Dacă N este par atunci am efectuat operația $\frac{N}{2^i}$. Dacă rezultatul operației $\frac{N}{2^i}$

este impar atunci apar două cazuri:

- ⇒ dacă rezultatul operației este diferit de 1, atunci am ales diagrama de decodare Viterbi I,
- ⇒ dacă rezultatul operației este egal cu 1, atunci am ales diagrama de decodare Viterbi II.

Dacă rezultatul operației $\frac{N}{2^i}$ este par atunci am incrementat i și am reluat operația $\frac{N}{2^i}$.

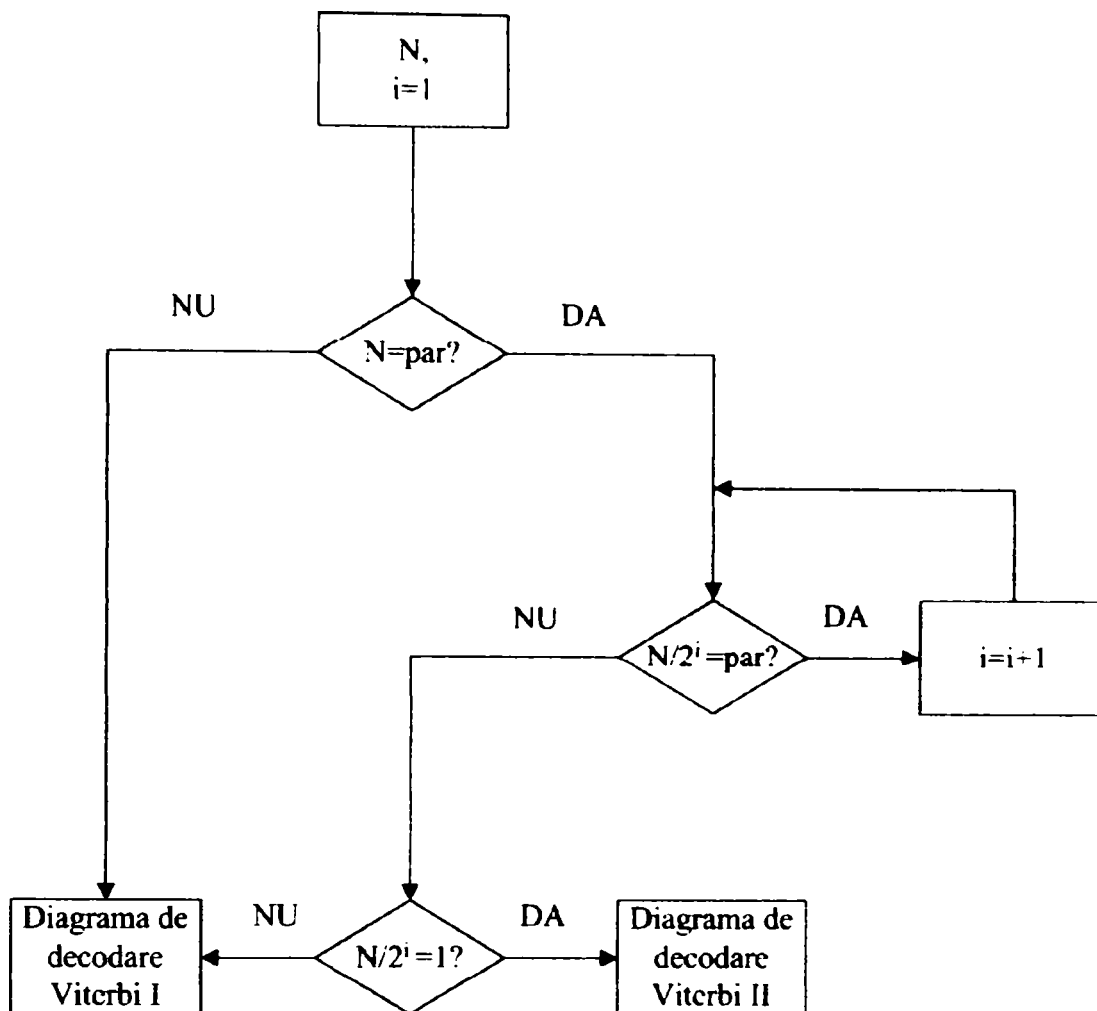


Fig.4.13 Organigrama de alegere a diagramei de decodare Viterbi (construcția propusă).

Pentru **diagrama de decodare Viterbi I** (Fig.4.14) am executat următoarele operații:

- am descompus punctul de semnal 2N-D recepționat în N puncte de semnal 2-D constituate,
- am găsit în fiecare subset 2-D, **cel mai apropiat punct de semnal 2-D** față de fiecare din cele N puncte de semnal 2-D recepționate și am calculat **metrica de subset 2-D** asociată,
- pentru fiecare tip 2N-D, am calculat **metrica de tip 2N-D** ca suma a N metrici de subset 2-D,
- pentru fiecare subset 2N-D, am comparat cele S metrici de tip 2N-D și metrica cea mai mică devine **metrica de subset 2N-D** asociată cu subsetul 2N-D respectiv. Punctul de semnal 2N-D corespunzător tipului 2N-D cu cea mai mică metrică de tip 2N-D devine **cel mai apropiat punct de semnal 2N-D** față de punctul de semnal 2N-D recepționat,
- am extins traiectoriile din diagrama trellis și am generat decizia finală asupra punctului de semnal 2N-D recepționat.

Pentru **diagrama de decodare Viterbi II** (Fig.4.15) am executat următoarele operații:

- am descompus punctul de semnal 2N-D recepționat în N puncte de semnal 2-D constituate,
- am găsit în fiecare subset 2-D, **cel mai apropiat punct de semnal 2-D** față de fiecare din cele N puncte de semnal 2-D recepționate și am calculat **metrica de subset 2-D** asociată,
- pentru fiecare tip 4-D, am calculat **metrica de tip 4-D** ca suma a două metrici de subset 2-D,
- pentru fiecare subset 4-D, am comparat cele două metrici de tip 4-D și metrica cea mai mică devine **metrica de subset 4-D** asociată cu subsetul 4-D respectiv. Punctul de semnal 4-D corespunzător tipului 4-D cu cea mai mică metrică de tip 4-D devine **cel mai apropiat punct de semnal 4-D** față de primul punct de semnal 4-D recepționat (primul și al doilea punct de semnal 2-D recepționate).
Am repetat procedeul pentru toate cele $\frac{N}{2}$ puncte de semnal 4-D recepționate,

- pentru fiecare tip 2N-D, am calculat **metrica de tip 2N-D** ca suma a două metrici de subset N-D,
- pentru fiecare subset 2N-D, am comparat cele S metrici de tip 2N-D și metrica cea mai mică devine **metrica de subset 2N-D** asociată cu subsetul 2N-D respectiv. Punctul de semnal 2N-D corespunzător tipului 2N-D cu cea mai mică metrică de tip 2N-D devine **cel mai apropiat punct de semnal 2N-D** față de punctul de semnal 2N-D recepționat,
- am extins traiectoriile din diagrama trellis și am generat decizia finală asupra punctului de semnal 2N-D recepționat.

Dacă ținem cont de efectul de margine al unei constelații de semnale 2N-D cu un număr finit de puncte de semnal 2N-D, este necesar ca decizia finală pentru punctul de semnal 2N-D recepționat, să corespundă unui punct de semnal valid al constelației de semnale 2N-D, adică să conțină cel mult un punct de semnal 2-D din grupul extern OG [16].

Se descompune direct în puncte de semnal 2-D dacă:

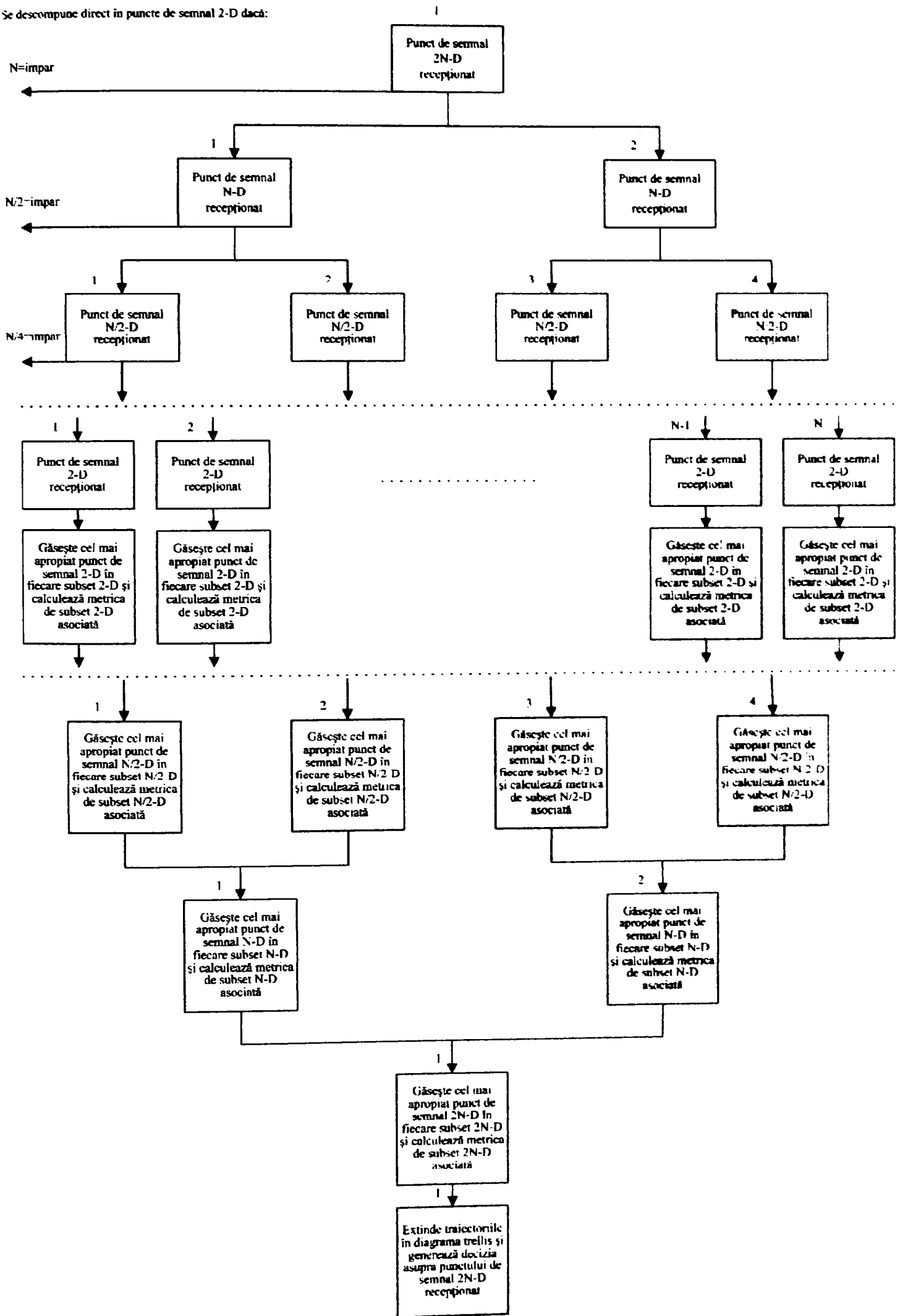


Fig.4.14 Diagrama de decodare Viterbi I (N nu este o putere a lui 2).

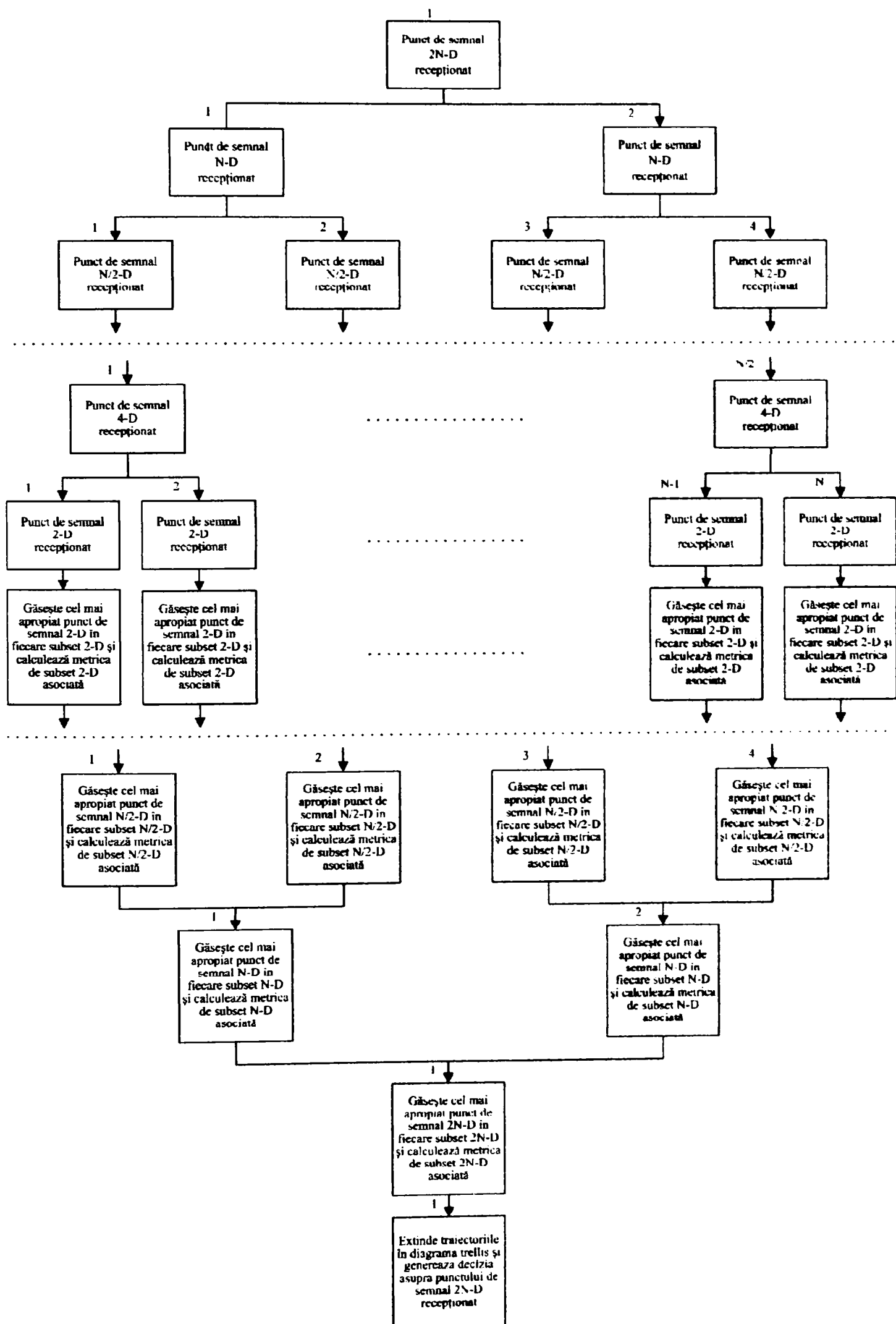


Fig.4.15 Diagrama de decodare Viterbi II (N este o putere a lui 2).

În continuare, decodorul TCM 2N-D conține N **blocuri de corespondență 2-D**, un **convertor de bit**, un **decoder diferențial** și un **decoder bloc** care realizează operațiile inverse de la codare. Schema bloc a decodorului TCM 2N-D (construcția propusă) am prezentat-o în Fig.4.16 [57, 60].

Am prelucrat relațiile (4.132) și am obținut următoarele relații între ieșirile și intrările decodorului diferențial (Fig.4.17):

$$\begin{cases} \hat{I}_{a,n+b} = (\hat{I}'_{a,n+b} \oplus \hat{I}'_{a,n+b-N}) \oplus [(\hat{I}'_{a-1,n+b} \oplus \hat{I}'_{a-1,n+b-N}) \otimes \hat{I}'_{a-1,n+b-N}] \\ \hat{I}_{a-1,n+b} = (\hat{I}'_{a-1,n+b} \oplus \hat{I}'_{a-1,n+b-N}) \end{cases} \quad (4.135)$$

Tabelul de adevăr al decodorului diferențial care rezultă din relația (4.135) este următorul:

Tabelul 4.15 Tabelul de adevăr al decodorului diferențial

Biții de intrare $\hat{I}'_{a-1,n+b}$ $\hat{I}'_{a,n+b}$		Biții de intrare anteriori $\hat{I}'_{a-1,n+b-N}$ $\hat{I}'_{a,n+b-N}$			
		00	01	10	11
Biții de ieșire $\hat{I}_{a-1,n+b}$ $\hat{I}_{a,n+b}$	00	00	01	10	11
	01	01	10	11	00
	10	10	11	00	01
	11	11	00	01	10

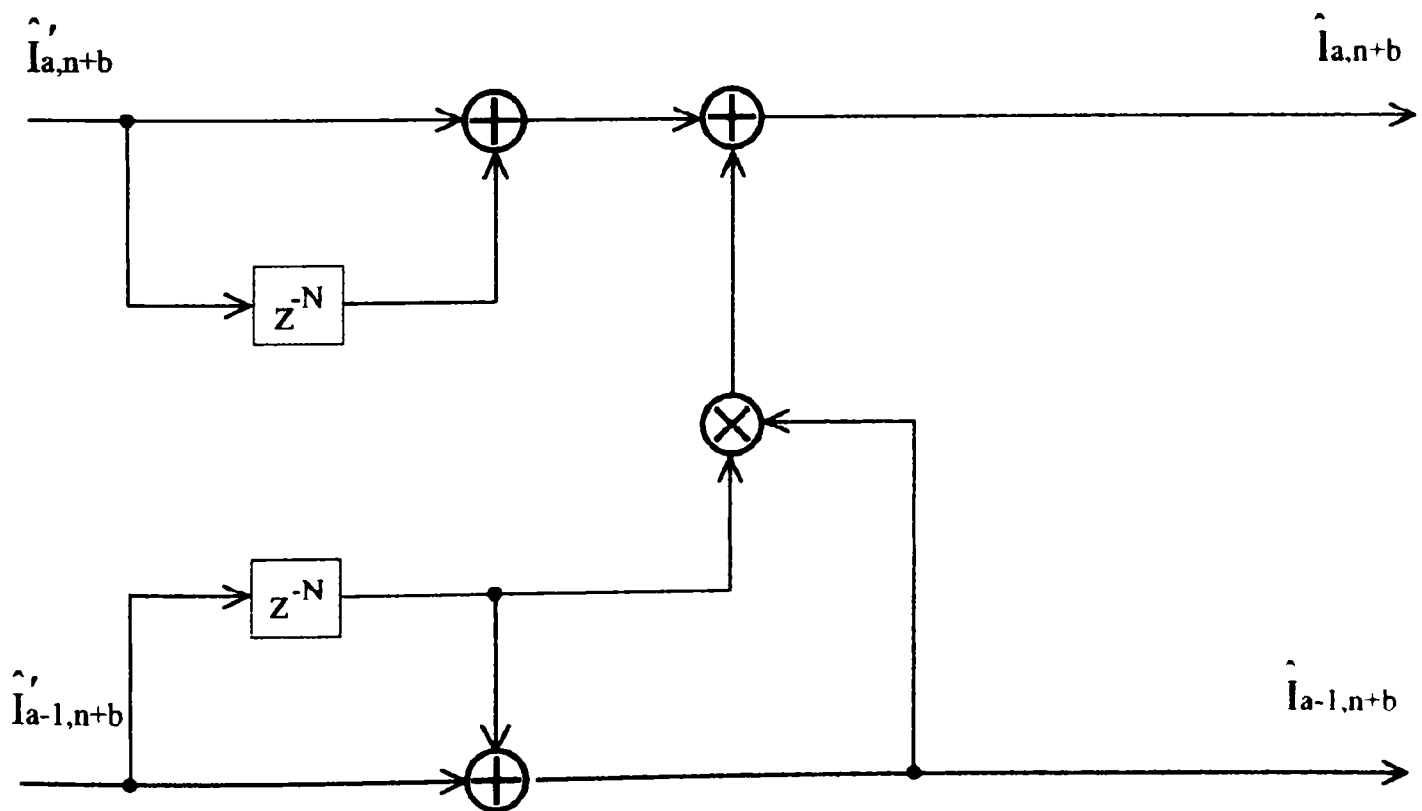


Fig.4.17 Decodorul diferențial pe 2 biți (construcția propusă).

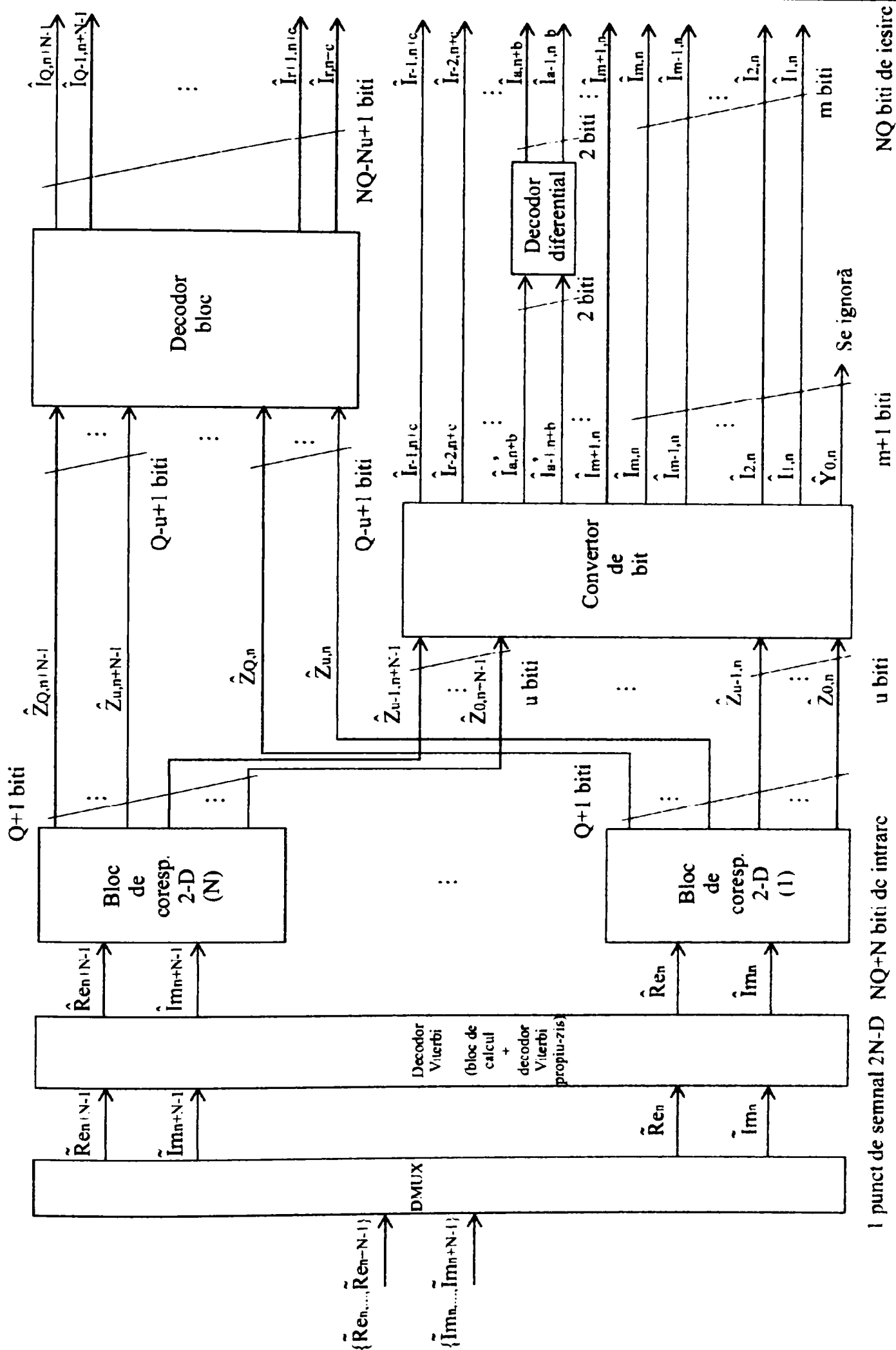


Fig.4.16 Schema bloc a decodurii TCM 2N-D (construcția propusă).

4.7 Exemple pentru construcția Wei generalizată a codurilor TCM 2N-D

4.7.1 Codul TCM 4-D, cu rata 2/3 și cu 16 stări

Am considerat transmisia a $Q=7$ biți/interval de semnalizare 2-D. Schema bloc a codorului TCM 4-D cu rata 2/3 și 16 stări am prezentat-o în Fig.4.18.

În acest caz $N=2$ este o putere a lui 2 deci am obținut conform relațiilor (4.124):

$$\left\{ \begin{array}{l} \beta = \frac{1}{N} = \frac{1}{2} \\ \alpha = 0 \\ CER = CER_0 = \frac{1}{2N} \left(2N + 1 + \frac{1}{N} \right) = \frac{11}{8} = 1,37500 \\ PAR = \frac{2(1+\beta)}{CER_0} = \frac{24}{11} \cong 2,18182 \end{array} \right. \quad (4.136)$$

Deosebirea față de construcția Wei a codului TCM 4-D, cu rata 2/3 și cu 16 stări prezentată în paragraful 4.2, constă doar în calculul parametrilor CER și PAR ai constelației de semnale 2-D constituentă a constelației de semnale 4-D.

Întrucât în acest caz $N=2$ este o putere a lui 2, am observat că valorile obținute pentru parametrii CER și PAR ai constelației de semnale 2-D constituentă a constelației de semnale 4-D sunt optimale deși Wei nu a calculat aceste valori.

Constelația de semnale 2-D constituentă a constelației de semnale 4-D este un subset finit al latticei $(2Z+1)^2$ ($Z =$ mulțimea numerelor întregi) și este formată din 192 puncte de semnal 2-D:

- ❖ $2^7=128$ puncte de semnal 2-D în grupul IG,
- ❖ $\frac{2^7}{2} = 64$ puncte de semnal 2-D în subgrupul OG_L ,
- ❖ 0 puncte de semnal 2-D în subgrupul OG_H .

Am partiționat constelația de semnale 2-D (Fig.4.11) constituentă în $U=2^u=4$ subseturi 2-D:

- $\Rightarrow A=(4Z+1)^2$,
- $\Rightarrow B=(4Z+3)^2$,
- $\Rightarrow C=(4Z+1)(4Z+3)$,
- $\Rightarrow D=(4Z+3)(4Z+1)$.

Dacă constelația de semnale 2-D constituentă are $MSED=d_0^2$ atunci subseturile 2-D au MSED de intrasubset egală cu $d^2 = 4d_0^2$.

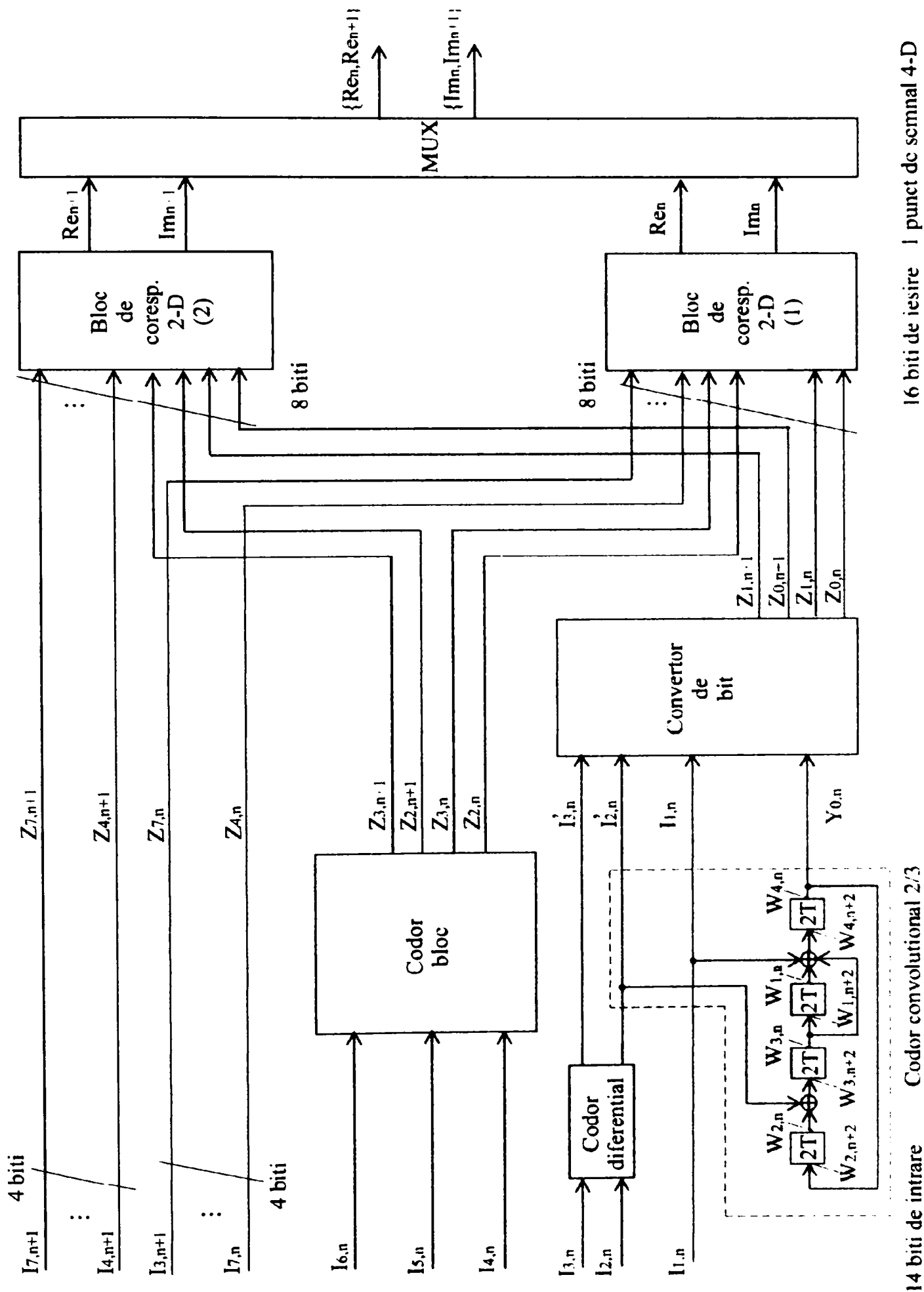
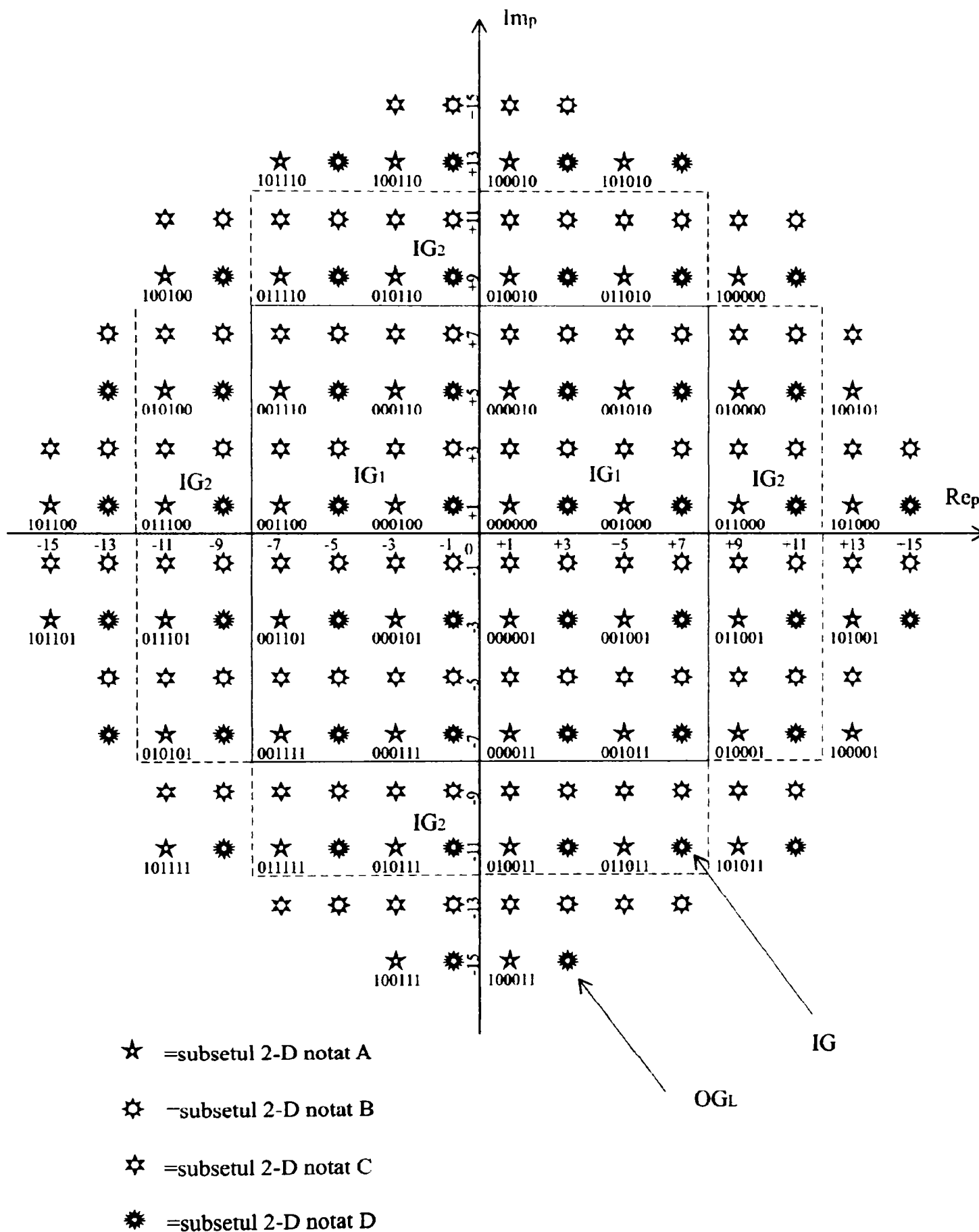


Fig.4.18 Schema bloc a codorului TCM 4-D cu rata 2/3 și 16 stări (construcția Wei).



Numărul dedesubtul fiecărui punct de semnal 2-D este $Z_{2,p}, Z_{3,p}, Z_{4,p}, Z_{5,p}, Z_{6,p}, Z_{7,p}, p=n, n+1$.
 Fig.4.19 Constelația de semnale 2-D constituantă cu 192 puncte de semnal 2-D (construcția Wei).

Dacă se rotesc succesiv subseturile 2-D în sens orar cu câte 90° au loc următoarele transformări ale subseturilor 2-D (vezi relația 4.3) [16]:

$$A \rightarrow C \rightarrow B \rightarrow D \rightarrow A$$

Prin concatenarea a 2 constelații de semnale 2-D constituite și prin eliminarea punctelor de semnal 4-D care conțin mai mult decât un singur punct de semnal 2-D din grupul extern OG se obține **constelația de semnale 4-D** cu $2^{2 \times 7 + 1} = 2^{15}$ puncte de semnal 4-D.

Se construiesc 16 **tipuri 4-D** cu $MSED = d^2 = 4d_0^2$ prin concatenarea a câte 2 subseturi 2-D și notate astfel (vezi relația 4.4) [16]:

$$(A, A), (A, B), (A, C), (A, D), \dots, (D, D)$$

Cele 16 tipuri 4-D sunt grupate în 8 **subseturi 4-D** (deci $S=2$) astfel încât $MSED$ a fiecărui subset 4-D obținut să fie egală cu $d^2 = 4d_0^2$ (vezi relația 4.5) [16]:

$$\left\{ \begin{array}{l} S_0 = (A, A) \cup (B, B) \\ S_1 = (C, C) \cup (D, D) \\ S_2 = (A, B) \cup (B, A) \\ S_3 = (C, D) \cup (D, C) \\ S_4 = (A, C) \cup (B, D) \\ S_5 = (C, B) \cup (D, A) \\ S_6 = (A, D) \cup (B, C) \\ S_7 = (C, A) \cup (D, B) \end{array} \right.$$

Dacă se rotesc succesiv subseturile 2-D în sens orar cu câte 90° au loc următoarele transformări ale subseturilor 4-D (vezi relația 4.6) [16]:

$$\left\{ \begin{array}{l} S_0 \rightarrow S_1 \rightarrow S_0 \\ S_2 \rightarrow S_3 \rightarrow S_2 \\ S_4 \rightarrow S_5 \rightarrow S_4 \\ S_6 \rightarrow S_7 \rightarrow S_6 \end{array} \right.$$

Subseturile 4-D sunt grupate în 2 **familii 4-D** cu $MSED = 2d_0^2$ astfel încât fiecare familie 4-D să conțină $F=4$ subseturi 4-D (vezi relația 4.7) [16]:

$$\left\{ \begin{array}{l} F_0 = S_0 \cup S_1 \cup S_2 \cup S_3 \\ F_1 = S_4 \cup S_5 \cup S_6 \cup S_7 \end{array} \right.$$

În acest caz avem $m=2$ biți de la intrare care sunt codați cu un codor convoluțional cu rata de codare $2/3$ și cu $V=2^4=16$ stări. De asemenea, restul și cîțul împărțirii lui $N_u=4$ la $Q=7$ sunt $r=4$ și respectiv $c=0$.

Setul stărilor curente $\{\sigma_n\}$ a codorului convoluțional se partiționează în $F=4$ subseturi (vezi relația 4.8) [16]:

$$\{4i + j \mid 0 \leq i \leq 3, 0 \leq j \leq 3\}$$

Setul stărilor următoare $\{\sigma_{n+2}\}$ a codorului convoluțional se partiționează în $F=4$ subseturi (vezi relația 4.9) [16]:

$$\{4j + k \mid 0 \leq j \leq 3, 0 \leq k \leq 3\}$$

Conectivitatea diagramei trellis se realizează astfel: pentru orice $0 \leq j \leq 3$ există tranziții de stare între fiecare stare curentă $4i+j$, $0 \leq i \leq 3$ și fiecare stare următoare $4j+k$, $0 \leq k \leq 3$.

Asignarea subseturilor 4-D la tranzițiile de stare ale codului TCM 4-D este realizată astfel încât să fie îndeplinite trei cerințe [16]:

1. Subseturile 4-D, asociate cu tranzițiile care pornesc dintr-o anumită stare, să difere unele de altele și să aparțină aceleași familii 4-D.

Același considerent se aplică și pentru subseturile 4-D asociate cu tranzițiile care ajung într-o anumită stare.

Conform acestei cerințe:

⇒ la tranzițiile care pornesc din stări pare ($Y_{0,n}=W_{4,n}=0$) sunt asignate subseturi 4-D din familia 4-D notată F_0 ,

⇒ la tranzițiile care pornesc din stări impare ($Y_{0,n}=W_{4,n}=1$) sunt asignate subseturi 4-D din familia 4-D notată F_1 .

2. MSED dintre două secvențe de subseturi 4-D, care corespund la două traiectorii distincte prin diagrama trellis, să fie mai mare sau egală cu $d_{\text{free}}^2 = d^2 = 4d_0^2$, care este MSED a fiecărui subset 4-D (MSED de intersubset 4-D să fie mai mare sau cel puțin egală cu MSED de intrasubset 4-D).

Această cerință garantează că MSED dintre două secvențe de puncte de semnal 4-D este $d^2 = 4d_0^2$ și elimină evenimentele eroare care diferă cu mai mult decât un punct de semnal 4-D față de secvența corectă de puncte de semnal 4-D.

Dacă se neglijează efectul de margine, atunci **coeficientul de eroare** N_{free} al codului TCM 4-D, este egal cu numărul vecinilor cei mai apropiați ai unui punct de semnal 4-D și aflați într-un subset 4-D cu un număr finit de puncte de semnal 4-D. În acest caz $N_{\text{free}}=24$ per punct de semnal 4-D ($N_{\text{free}}=12$ per punct de semnal 2-D).

Dacă nu se neglijează efectul de margine, atunci coeficientul de eroare al codului TCM 4-D este mai mic decât 24.

3. Dacă X este subsetul 4-D asociat cu tranzițiile din starea curentă σ_n în starea următoare σ_{n+2} și dacă X_1 este subsetul 4-D obținut prin rotirea lui X cu 90° atunci se poate defini o funcție F_1 de corespondență între stările codului TCM 4-D astfel încât X_1 să fie asociat cu tranzițiile din starea curentă $F_1(\sigma_n)$ în starea următoare $F_1(\sigma_{n+2})$.

Pentru o rotație de 90° în sens orar se definește funcția F_1 astfel (vezi relația 4.10) [16]:

$$W_{1,n} W_{2,n} W_{3,n} W_{4,n} \rightarrow \overline{W}_{1,n} W_{2,n} \overline{W}_{3,n} W_{4,n}$$

unde bara deasupra înseamnă inversare binară.

Această cerință garantează că vom obține un cod TCM 4-D transparent la toate ambiguitățile de fază ale constelației de semnale 4-D, cu alte cuvinte un cod TCM 4-D invariant rotațional la $0^\circ, 90^\circ, 180^\circ, 270^\circ$.

Pentru a suprima toate cele 4 ambiguități de fază a constelației de semnale 4-D ($0^\circ, 90^\circ, 180^\circ, 270^\circ$) se folosește un **codor diferențial** pe 2 biți (vezi relația 4.11) [16]:

$$(I'_{2,n} I'_{3,n}) = (I'_{2,n-2} I'_{3,n-2} + I_{2,n} I_{3,n}) \bmod 4$$

deci în acest caz avem $a=3$ și $b=0$.

Convertorul de bit convertește cei 4 biți de la intrarea sa $Y_{0,n}, I_{1,n}, I_{2,n}, I'_{3,n}$ în 2 grupuri de câte 2 biți fiecare (vezi relația 4.12) [16]:

$$Z_{0,p}, Z_{1,p}, p=n, n+1$$

care selectează 2 subseturi 2-D, corespunzătoare tipului 4-D selectat în cadrul subsetului 4-D utilizat.

Pentru a obține un cod TCM 4-D transparent la orice ambiguitate de fază a constelației de semnale 4-D trebuie să fie îndeplinită cerința prezentată în continuare.

Dacă X este tipul 4-D asociat cu structura de biți $Y_{0,n}, I_{1,n}, I'_{2,n}, I'_{3,n}$ atunci se notează cu X_1, X_2, X_3 tipurile 4-D obținute prin rotirea lui X cu $90^\circ, 180^\circ, 270^\circ$.

Dacă $(I'_{2,n}, I'_{3,n})_1, (I'_{2,n}, I'_{3,n})_2, (I'_{2,n}, I'_{3,n})_3$ sunt perechile de biți obținute prin translația perechii de biți $(I'_{2,n}, I'_{3,n})$ cu una, două sau trei poziții în secvența circulară $00 \rightarrow 10 \rightarrow 01 \rightarrow 11 \rightarrow 00$, atunci tipurile 4-D asociate cu structurile de biți:

$$Y_{0,n}, I_{1,n}, (I'_{2,n}, I'_{3,n})_1,$$

$$Y_{0,n}, I_{1,n}, (I'_{2,n}, I'_{3,n})_2,$$

$$Y_{0,n}, I_{1,n}, (I'_{2,n}, I'_{3,n})_3,$$

sunt X_1, X_2, X_3 .

Corespondența dintre cei 2 biți $Z_{0,p}, Z_{1,p}, p=n, n+1$ și subseturile 2-D este prezentată în Tabelul 4.1 iar funcționarea convertorului de bit este prezentată în Tabelul 4.2.

Tabelul 4.1 Corespondența dintre cei 2 biți $Z_{0,p}, Z_{1,p}$ și subseturile 2-D

Subset 2-D	$Z_{0,p}$	$Z_{1,p}$
A	0	0
B	0	1
C	1	0
D	1	1

Tabelul 4.2 Convertorul de bit

Familie 4-D	Subset 4-D	$Y_{0,n}$	$I_{1,n}$	$I'_{2,n}$	$I'_{3,n}$	Tip 4-D	$Z_{0,n}$	$Z_{1,n}$	$Z_{0,n+1}$	$Z_{1,n+1}$
0	0	0	0	0	0	(A, A)	0	0	0	0
		0	0	0	1	(B, B)	0	1	0	1
	1	0	0	1	0	(C, C)	1	0	1	0
		0	0	1	1	(D, D)	1	1	1	1
	2	0	1	0	0	(A, B)	0	0	0	1
		0	1	0	1	(B, A)	0	1	0	0
	3	0	1	1	0	(C, D)	1	0	1	1
		0	1	1	1	(D, C)	1	1	1	0
1	4	1	0	0	0	(A, C)	0	0	1	0
		1	0	0	1	(B, D)	0	1	1	1
	5	1	0	1	0	(C, B)	1	0	0	1
		1	0	1	1	(D, A)	1	1	0	0
	6	1	1	0	0	(A, D)	0	0	1	1
		1	1	0	1	(B, C)	0	1	1	0
	7	1	1	1	0	(C, A)	1	0	0	0
		1	1	1	1	(D, B)	1	1	0	1

Am notat cu S_i subseturile 4-D și astfel indexul i este furnizat de relația:

$$i = 4Y_{0,n} + 2I_{1,n} + I'_{2,n}, i = 0, 1, \dots, 7 \quad (4.137)$$

Codorul bloc folosește cei 3 biți $I_{4,n}$, $I_{5,n}$, $I_{6,n}$ pentru a genera 2 grupuri de câte 2 biți fiecare (vezi relația 4.13) [16]:

$$Z_{2,p}, Z_{3,p}, p=n, n+1$$

care selectează pentru cele 2 subseturi 2-D utilizate, prima jumătate a grupului intern IG_1 , a doua jumătate a grupului intern IG_2 sau subgrupul extern de energie mică OG_L .

Correspondența dintre cei 2 biți $Z_{2,p}$, $Z_{3,p}$, $p=n, n+1$ și grupurile constelației de semnale 2-D este prezentată în Tabelul 4.16 iar funcționarea codorului bloc este prezentată în Tabelul 4.4.

Cele 2 grupuri de câte 4 biți fiecare (vezi relația 4.14) [16]:

$$Z_{4,p}, Z_{5,p}, Z_{6,p}, Z_{7,p}, p=n, n+1$$

selectează pentru fiecare din cele 2 subseturi 2-D utilizate, câte un punct de semnal 2-D din grupul constelației de semnale 2-D selectat anterior.

Tabelul 4.16 Corespondența dintre cei 2 biți $Z_{2,p}$, $Z_{3,p}$ și grupurile constelației de semnale 2-D

$Z_{2,p}$	$Z_{3,p}$	Grup constelație de semnale 2-D
0	0	IG_1
0	1	IG_2
1	0	OG_L

Tabelul 4.17 Codorul bloc

$I_{4,n}$	$I_{5,n}$	$I_{6,n}$	$Z_{2,n}$	$Z_{3,n}$	$Z_{2,n+1}$	$Z_{3,n+1}$
0	0	0	0	0	0	0
0	0	1	0	0	0	1
0	1	0	0	0	1	0
0	1	1	0	1	1	0
1	0	0	1	0	0	0
1	0	1	1	0	0	1
1	1	0	0	1	0	0
1	1	1	0	1	0	1

Cîștigul de codare asimptotic al codului TCM 4-D față de o transmisie necodată este conform relației (4.134):

$$\gamma = 10 \log_{10} \left(4 \frac{1}{11} \right) = 10 \log_{10} \left(\frac{32}{11} \right) \cong 4,63757 \text{ [dB]} \quad (4.138)$$

4.7.2 Codul TCM 6-D, cu rata 3/4 și cu 64 stări

Am considerat transmisia a $Q=7$ biți/interval de semnalizare 2-D. Schema bloc a codorului TCM 6-D cu rata 3/4 și 64 stări am prezentat-o în Fig.4.20.

În acest caz $N=3$ nu este o putere a lui 2 deci am obținut conform relațiilor (4.125):

$$\left\{ \begin{array}{l}
 \beta = \frac{I(4K_0')}{2^Q} = \frac{11}{32} \\
 \alpha = \frac{4}{I(4K_0')} = \frac{1}{11} \\
 P = K_0' = 1 \\
 N - P = 2 \\
 I(4K_0') = \frac{2^Q + 4K_0'}{N} = 44 \\
 CER_0 = \frac{1}{2N} \left(2N + 1 + \frac{1}{N} \right) = \frac{11}{9} \cong 1,22222 \\
 CER = CER_0 + \frac{(1-\alpha)}{2} \left[\frac{1}{N(1-\alpha)} - \beta \right] \left[\beta - \frac{1}{N} \right] \cong 1,22233 \\
 PAR = \frac{2(1+\beta)}{CER_0 + \frac{(1-\alpha)}{2} \left[\frac{1}{N(1-\alpha)} - \beta \right] \left[\beta - \frac{1}{N} \right]} \cong 2,19867
 \end{array} \right. \quad (4.139)$$

Constelația de semnale 2-D constituentă a constelației de semnale 6-D este un subset finit al latticei $(2Z+1)^2$ ($Z =$ mulțimea numerelor întregi) și este formată din 172 puncte de semnal 2-D:

- ❖ $2^7=128$ puncte de semnal 2-D în grupul IG,
- ❖ 40 puncte de semnal 2-D în subgrupul OG_L,
- ❖ 4 puncte de semnal 2-D în subgrupul OG_H.

Am partiționat constelația de semnale 2-D (Fig.4.21) constituentă în $U=2^u=4$ **subseturi 2-D**:

- $\Rightarrow A=(4Z+1)^2,$
- $\Rightarrow B=(4Z+3)^2,$
- $\Rightarrow C=(4Z+1)(4Z+3),$
- $\Rightarrow D=(4Z+3)(4Z+1).$

Dacă constelația de semnale 2-D constituentă are $MSED=d_0^2$ atunci subseturile 2-D au MSED de intrasubset egală cu $d^2 = 4d_0^2$.

Dacă se rotesc succesiv subseturile 2-D în sens orar cu câte 90° au loc următoarele transformări ale subseturilor 2-D (vezi relația 4.3) [42]:

$$A \rightarrow C \rightarrow B \rightarrow D \rightarrow A$$

Prin concatenarea a 3 constelații de semnale 2-D constituite și prin eliminarea punctelor de semnal 6-D care conțin mai mult decât un singur punct de semnal 2-D din grupul extern OG se obține **constelația de semnale 6-D** cu $2^{3 \times 7 + 1} = 2^{22}$ puncte de semnal 6-D.

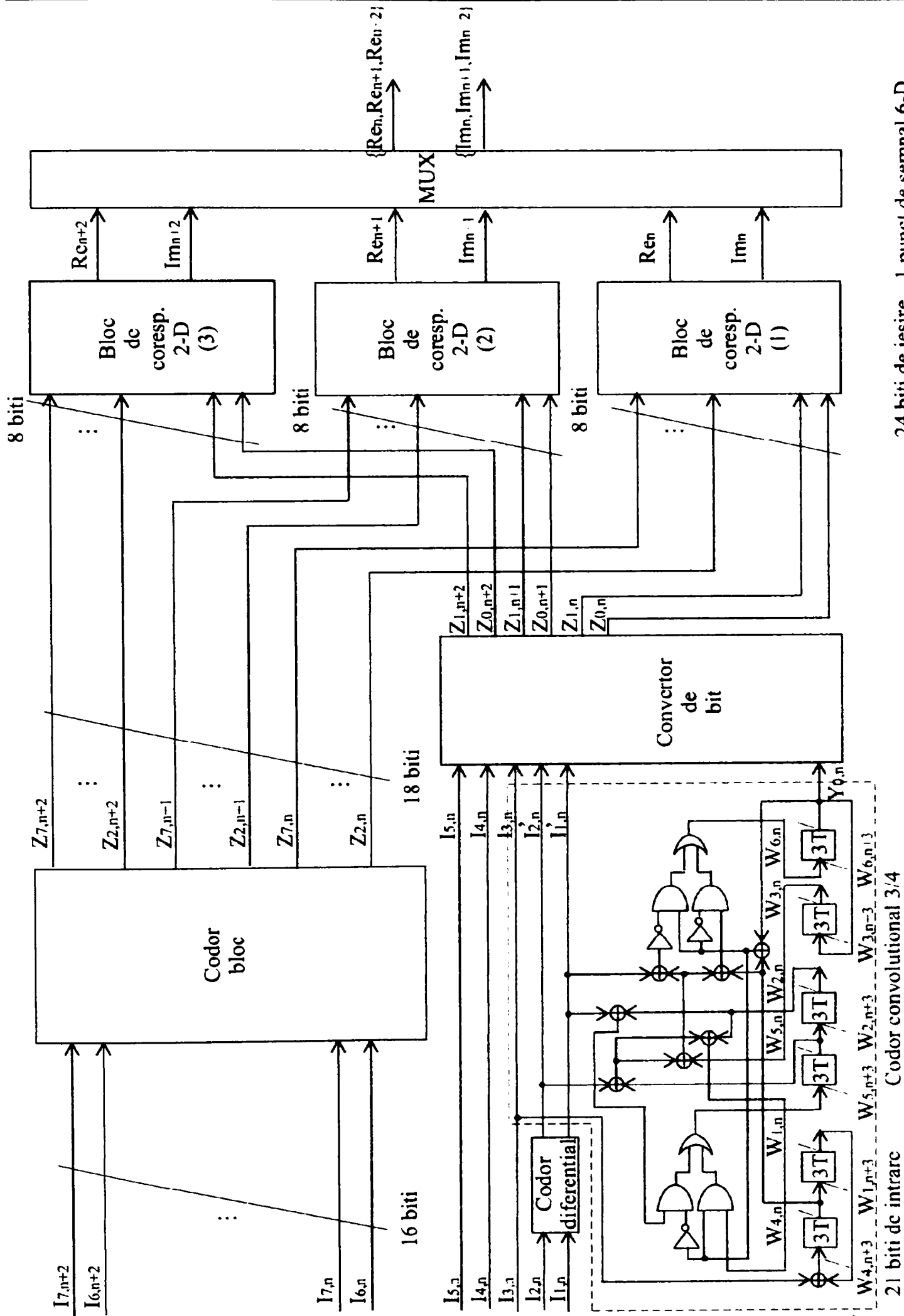
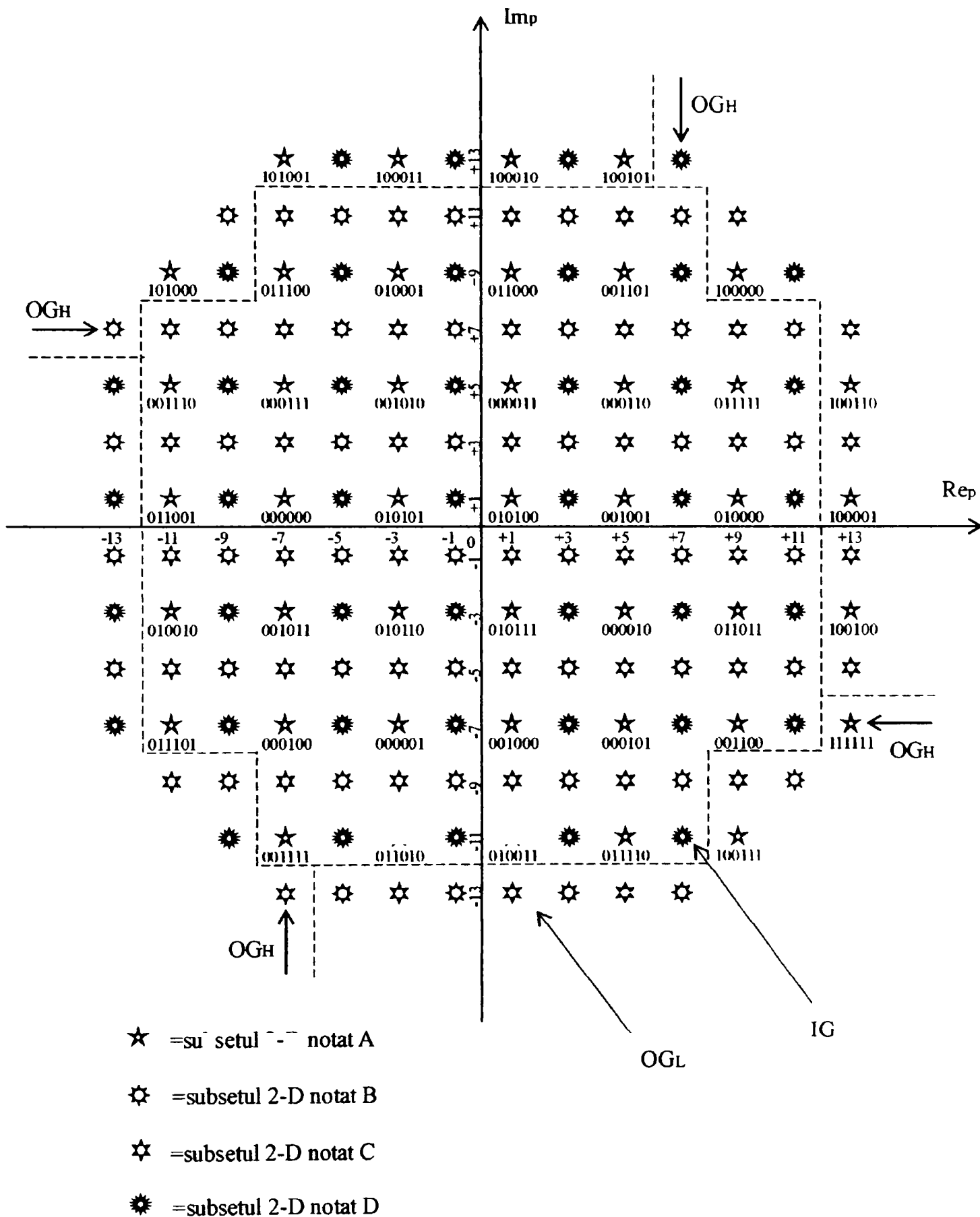


Fig.4.12 Schema bloc a codorului TCM 6-D cu rata 2/3 și 16 stări (construcția propusă).

24 biti de iesire 1 punct de semnal 6-D



Numărul dedesubtul fiecărui punct de semnal 2-D este $Z_{2,p}, Z_{3,p}, Z_{4,p}, Z_{5,p}, Z_{6,p}, Z_{7,p}$, $p=n, n+1, n+2$.
 Fig.4.13 Constelația de semnale 2-D constituantă cu 172 puncte de semnal 2-D (construcția propusă).

Se construiesc 64 **tipuri 6-D** cu $MSED=d^2 = 4d_0^2$ prin concatenarea a cîte 3 subseturi 2-D și notate astfel (vezi relația 4.34) [42]:

$$(A, A, A), (A, A, B), (A, A, C), (A, A, D), \dots, (D, D, D)$$

Cele 64 tipuri 6-D sunt grupate în 16 **subseturi 6-D** (deci $S=4$) astfel încît $MSED$ a fiecărui subset 6-D obținut să fie egală cu $d^2 = 4d_0^2$ (vezi relația 4.35) [42]:

$$\left\{ \begin{array}{l} S_0=(A, A, A) \cup (A, B, B) \cup (B, A, B) \cup (B, B, A) \\ S_1=(C, A, B) \cup (C, B, A) \cup (D, A, A) \cup (D, B, B) \\ S_2=(A, C, C) \cup (A, D, D) \cup (B, C, D) \cup (B, D, C) \\ S_3=(C, C, C) \cup (C, D, D) \cup (D, C, D) \cup (D, D, C) \\ S_4=(A, A, B) \cup (A, B, A) \cup (B, A, A) \cup (B, B, B) \\ S_5=(C, A, A) \cup (C, B, B) \cup (D, A, B) \cup (D, B, A) \\ S_6=(A, C, D) \cup (A, D, C) \cup (B, C, C) \cup (B, D, D) \\ S_7=(C, C, D) \cup (C, D, C) \cup (D, C, C) \cup (D, D, D) \\ S_8=(C, A, C) \cup (C, B, D) \cup (D, A, D) \cup (D, B, C) \\ S_9=(A, A, D) \cup (A, B, C) \cup (B, A, C) \cup (B, B, D) \\ S_{10}=(C, C, A) \cup (C, D, B) \cup (D, C, B) \cup (D, D, A) \\ S_{11}=(A, C, A) \cup (A, D, B) \cup (B, C, B) \cup (B, D, A) \\ S_{12}=(C, A, D) \cup (C, B, C) \cup (D, A, C) \cup (D, B, D) \\ S_{13}=(A, A, C) \cup (A, B, D) \cup (B, A, D) \cup (B, B, C) \\ S_{14}=(C, C, B) \cup (C, D, A) \cup (D, C, A) \cup (D, D, B) \\ S_{15}=(A, C, B) \cup (A, D, A) \cup (B, C, A) \cup (B, D, B) \end{array} \right.$$

Dacă se rotesc succesiv subseturile 2-D în sens orar cu cîte 90° au loc următoarele transformări ale subseturilor 6-D (vezi relația 4.36) [42]:

$$\left\{ \begin{array}{l} S_0 \rightarrow S_3 \rightarrow S_4 \rightarrow S_7 \rightarrow S_0 \\ S_1 \rightarrow S_2 \rightarrow S_5 \rightarrow S_6 \rightarrow S_1 \\ S_8 \rightarrow S_{11} \rightarrow S_{12} \rightarrow S_{15} \rightarrow S_8 \\ S_9 \rightarrow S_{10} \rightarrow S_{13} \rightarrow S_{14} \rightarrow S_9 \end{array} \right.$$

Subseturile 6-D sunt grupate în 2 **familii 6-D** cu $MSED=2d_0^2$ astfel încît fiecare familie 6-D să conțină $F=8$ subseturi 8-D (vezi relația 4.37) [42]:

$$\left\{ \begin{array}{l} F_0=S_0 \cup S_2 \cup S_4 \cup S_6 \cup S_8 \cup S_{10} \cup S_{12} \cup S_{14} \\ F_1=S_1 \cup S_3 \cup S_5 \cup S_7 \cup S_9 \cup S_{11} \cup S_{13} \cup S_{15} \end{array} \right.$$

În acest caz avem $m=3$ biți de la intrare care sunt codați cu un codor convoluțional cu rata de codare $3/4$ și cu $V=2^6=64$ stări. De asemenea, restul și cîțul împărțirii lui $N_u=6$ la $Q=7$ sunt $r=6$ și respectiv $c=0$.

Setul stărilor curente $\{\sigma_n\}$ a codorului convoluțional se partiționează în $F=8$ subseturi (vezi relația 4.38) [42]:

$$\{8i + j \mid 0 \leq i \leq 7, 0 \leq j \leq 7\}$$

Setul stărilor următoare $\{\sigma_{n+3}\}$ a codorului convoluțional se partiționează în $F=8$ subseturi (vezi relația 4.39) [42]:

$$\{8j + k \mid 0 \leq j \leq 7, 0 \leq k \leq 7\}$$

Conectivitatea diagramei trellis se realizează astfel: pentru orice $0 \leq j \leq 7$ există tranziții de stare între fiecare stare curentă $8i+j$, $0 \leq i \leq 7$ și fiecare stare următoare $8j+k$, $0 \leq k \leq 7$.

Asignarea subseturilor 6-D la tranzițiile de stare ale codului TCM 6-D este realizată astfel încât să fie îndeplinite trei cerințe [16]:

1. Subseturile 6-D, asociate cu tranzițiile care pornesc dintr-o anumită stare, să difere unele de altele și să aparțină aceleași familii 6-D.

Același considerent se aplică și pentru subseturile 6-D asociate cu tranzițiile care ajung într-o anumită stare.

Conform acestei cerințe:

⇒ la tranzițiile care pornesc din stări pare ($Y_{0,n}=W_{6,n}=0$) sunt asignate subseturi 6-D din familia 6-D notată F_0 ,

⇒ la tranzițiile care pornesc din stări impare ($Y_{0,n}=W_{6,n}=1$) sunt asignate subseturi 6-D din familia 6-D notată F_1 .

2. MSED dintre două secvențe de subseturi 6-D, care corespund la două traiectorii distincte prin diagrama trellis, să fie mai mare sau egală cu $d_{\text{free}}^2 = d^2 = 4d_0^2$, care este MSED a fiecărui subset 6-D (MSED de intersubset 6-D să fie mai mare sau cel puțin egală cu MSED de intrasubset 6-D).

Această cerință garantează că MSED dintre două secvențe de puncte de semnal 6-D este $d^2 = 4d_0^2$ și elimină evenimentele eroare care diferă cu mai mult decât un punct de semnal 6-D față de secvența corectă de puncte de semnal 6-D.

Dacă se neglijează efectul de margine, atunci **coeficientul de eroare** N_{free} al codului TCM 6-D, este egal cu numărul vecinilor cei mai apropiați ai unui punct de semnal 6-D și aflați într-un subset 6-D cu un număr finit de puncte de semnal 6-D. În acest caz $N_{\text{free}}=60$ per punct de semnal 6-D ($N_{\text{free}}=20$ per punct de semnal 2-D).

Dacă nu se neglijează efectul de margine, atunci coeficientul de eroare al codului TCM 6-D este mai mic decât 60.

3. Dacă X este subsetul 6-D asociat cu tranzițiile din starea curentă σ_n în starea următoare σ_{n+3} și dacă X_1, X_2, X_3 sunt subseturile 6-D obținute prin rotirea lui X cu $90^\circ, 180^\circ, 270^\circ$ atunci se pot defini trei funcții F_1, F_2, F_3 de corespondență între stările codului TCM 6-D astfel încât X_1 să fie asociat cu tranzițiile din starea curentă $F_1(\sigma_n)$ în starea următoare $F_1(\sigma_{n+3})$, X_2 să fie asociat cu tranzițiile din starea curentă $F_2(\sigma_n)$ în starea următoare $F_2(\sigma_{n+3})$, X_3 să fie asociat cu tranzițiile din starea curentă $F_3(\sigma_n)$

în starea următoare $F_3(\sigma_{n+3})$.

Pentru o rotație de 90° în sens orar se definește funcția F_1 astfel (vezi relația 4.40) [42]:

$$W_{1,n} W_{2,n} W_{3,n} W_{4,n} W_{5,n} W_{6,n} \rightarrow W_{1,n} V_{2,n} V_{3,n} W_{4,n} V_{5,n} V_{6,n}$$

unde (vezi relația 4.41) [42]:

$$\begin{cases} V_{2,n} V_{3,n} = (W_{2,n} W_{3,n} + 01) \bmod 4 \\ V_{5,n} V_{6,n} = (W_{5,n} W_{6,n} + 01) \bmod 4 \end{cases}$$

Pentru o rotație de 180° în sens orar se definește funcția F_2 astfel (vezi relația 4.42) [42]:

$$W_{1,n} W_{2,n} W_{3,n} W_{4,n} W_{5,n} W_{6,n} \rightarrow W_{1,n} \overline{W}_{2,n} W_{3,n} W_{4,n} \overline{W}_{5,n} W_{6,n}$$

unde bara deasupra înseamnă inversare binară.

Pentru o rotație de 270° în sens orar definim funcția F_3 astfel (vezi relația 4.43) [42]:

$$W_{1,n} W_{2,n} W_{3,n} W_{4,n} W_{5,n} W_{6,n} \rightarrow W_{1,n} V_{2,n} V_{3,n} W_{4,n} V_{5,n} V_{6,n}$$

unde (vezi relația 4.44) [42]:

$$\begin{cases} V_{2,n} V_{3,n} = (W_{2,n} W_{3,n} + 11) \bmod 4 \\ V_{5,n} V_{6,n} = (W_{5,n} W_{6,n} + 11) \bmod 4 \end{cases}$$

Această cerință garantează că vom obține un cod TCM 6-D transparent la toate ambiguitățile de fază ale constelației de semnale 6-D, cu alte cuvinte un cod TCM 6-D invariant rotațional la 0° , 90° , 180° , 270° .

Pentru a suprima toate cele 4 ambiguități de fază a constelației de semnale 6-D (0° , 90° , 180° , 270°) se folosește un **codor diferențial** pe 2 biți (vezi relația 4.45) [42]:

$$(I'_{1,n} I'_{2,n}) = (I'_{1,n-3} I'_{2,n-3} + I_{1,n} I_{2,n}) \bmod 4$$

deci în acest caz avem $a=2$ și $b=0$.

Convertorul de bit convertește cei 6 biți de la intrarea sa $Y_{0,n}$, $I'_{1,n}$, $I'_{2,n}$, $I_{3,n}$, $I_{4,n}$, $I_{5,n}$ în 3 grupuri de câte 2 biți fiecare (vezi relația 4.46) [42]:

$$Z_{0,p}, Z_{1,p}, p=n, n+1, n+2$$

care selectează 3 subseturi 2-D, corespunzătoare tipului 6-D selectat în cadrul subsetului 6-D utilizat.

Correspondența dintre cei 2 biți $Z_{0,p}$, $Z_{1,p}$, $p=n, n+1, n+2$ și subseturile 2-D este prezentată în Tabelul 4.1 iar funcționarea convertorului de bit este prezentată în Tabelul 4.8.

Tabelul 4.1 Corespondența dintre cei 2 biți $Z_{0,p}$, $Z_{1,p}$ și subseturile 2-D

Subset 2-D	$Z_{0,p}$	$Z_{1,p}$
A	0	0
B	0	1
C	1	0
D	1	1

Tabelul 4.8 Convertorul de bit

Subset 6-D	$Y_{0,n}$	$I'_{1,n}$	$I'_{2,n}$	$I_{3,n}$	$I_{4,n}$	$I_{5,n}$	Tip 6-D	$Z_{0,n}$	$Z_{1,n}$	$Z_{0,n+1}$	$Z_{1,n+1}$	$Z_{0,n+2}$	$Z_{1,n+2}$
0	0	0	0	0	0	0	(A, A, A)	0	0	0	0	0	0
	0	0	0	0	0	1	(A, B, B)	0	0	0	1	0	1
	0	0	0	0	1	0	(B, A, B)	0	1	0	0	0	1
	0	0	0	0	1	1	(B, B, A)	0	1	0	1	0	0
...													
...													
15	1	1	1	1	0	0	(A, C, B)	0	0	1	0	0	1
	1	1	1	1	0	1	(A, D, A)	0	0	1	1	0	0
	1	1	1	1	1	0	(B, C, A)	0	1	1	1	0	0
	1	1	1	1	1	1	(B, D, B)	0	1	1	1	0	1

Am notat cu S_i subseturile 6-D și astfel indexul i este furnizat de relația (vezi relația 4.47) [42]:

$$i = 8Y_{0,n} + 4I_{1,n} + 2I_{2,n} + I_{3,n}, i = 0, 1, \dots, 15$$

Codorul bloc folosește cei 16 biți $I_{6,n}, I_{7,n}, I_{1,n+1}, I_{2,n+1}, I_{3,n+1}, I_{4,n+1}, I_{5,n+1}, I_{6,n+1}, I_{7,n+1}, I_{1,n+2}, I_{2,n+2}, I_{3,n+2}, I_{4,n+2}, I_{5,n+2}, I_{6,n+2}, I_{7,n+2}$ pentru a genera 3 grupuri de câte 6 biți fiecare:

$$Z_{2,p}, Z_{3,p}, Z_{4,p}, Z_{5,p}, Z_{6,p}, Z_{7,p}, p=n, n+1, n+2 \quad (4.140)$$

care selectează pentru fiecare din cele 3 subseturi 2-D utilizate, punctul de semnal 2-D care va fi transmis. Funcționarea codorului bloc este prezentată în Tabelul 4.18.

Cîștigul de codare asimptotic al codului TCM 6-D față de o transmisie necodată este conform relației (4.134):

$$\gamma = 10 \log_{10} \left(\frac{4}{1,222} \right) \cong 5,14871 \text{ [dB]} \quad (4.141)$$

Tabelul 4.18 Codorul bloc

$I_{6,n}$	$I_{7,n}$	$I_{1,n+1}$	$I_{2,n+1}$	$I_{3,n+1}$	$I_{4,n+1}$	$Z_{3,n}$	$Z_{4,n}$	$Z_{5,n}$	$Z_{6,n}$	$Z_{7,n}$	$Z_{2,n+1}$	$Z_{3,n+1}$	$Z_{4,n+1}$	$Z_{5,n+1}$	$Z_{6,n+1}$	$Z_{7,n+1}$	$Z_{2,n+2}$	$Z_{3,n+2}$	$Z_{4,n+2}$	$Z_{5,n+2}$	$Z_{6,n+2}$	$Z_{7,n+2}$
0	X	X	X	X	X	$I_{7,n}$	$I_{1,n+1}$	$I_{2,n+1}$	$I_{3,n+1}$	$I_{4,n+1}$	0	$I_{5,n+1}$	$I_{6,n+1}$	$I_{7,n+1}$	$I_{1,n+2}$	$I_{2,n+2}$	0	$I_{3,n+2}$	$I_{4,n+2}$	$I_{5,n+2}$	$I_{6,n+2}$	$I_{7,n+2}$
1	0	0	X	X	X	0	0	$I_{2,n+1}$	$I_{3,n+1}$	$I_{4,n+1}$	0	$I_{5,n+1}$	$I_{6,n+1}$	$I_{7,n+1}$	0	$I_{2,n+2}$	0	$I_{3,n+2}$	$I_{4,n+2}$	$I_{5,n+2}$	$I_{6,n+2}$	$I_{7,n+2}$
1	1	1	0	0	X	0	1	0	0	$I_{4,n+1}$	0	$I_{5,n+1}$	$I_{6,n+1}$	$I_{7,n+1}$	$I_{2,n+2}$	0	0	$I_{4,n+2}$	$I_{5,n+2}$	$I_{6,n+2}$	$I_{7,n+2}$	
1	0	1	X	X	X	$I_{5,n+1}$	$I_{6,n+1}$	$I_{7,n+1}$	$I_{1,n+2}$	$I_{2,n+2}$	1	0	0	$I_{3,n+1}$	$I_{4,n+1}$	0	0	$I_{4,n+2}$	$I_{5,n+2}$	$I_{6,n+2}$	$I_{7,n+2}$	
1	1	1	0	1	X	$I_{5,n+1}$	$I_{6,n+1}$	$I_{7,n+1}$	$I_{1,n+2}$	$I_{2,n+2}$	1	0	1	0	$I_{4,n+1}$	0	0	$I_{4,n+2}$	$I_{5,n+2}$	$I_{6,n+2}$	$I_{7,n+2}$	
1	1	0	X	X	X	$I_{5,n+1}$	$I_{6,n+1}$	$I_{7,n+1}$	$I_{1,n+2}$	$I_{2,n+2}$	0	$I_{3,n+2}$	$I_{4,n+2}$	$I_{6,n+2}$	$I_{7,n+2}$	1	0	0	$I_{3,n+1}$	$I_{4,n+1}$	$I_{6,n+1}$	
1	1	1	1	0	X	$I_{5,n+1}$	$I_{6,n+1}$	$I_{7,n+1}$	$I_{1,n+2}$	$I_{2,n+2}$	0	$I_{3,n+2}$	$I_{4,n+2}$	$I_{6,n+2}$	$I_{7,n+2}$	1	0	1	0	0	$I_{4,n+1}$	
1	1	1	1	1	0	$I_{5,n+1}$	$I_{6,n+1}$	$I_{7,n+1}$	$I_{1,n+2}$	$I_{2,n+2}$	0	$I_{3,n+2}$	$I_{4,n+2}$	$I_{6,n+2}$	$I_{7,n+2}$	1	0	$I_{4,n+2}$	$I_{5,n+2}$	$I_{6,n+2}$	$I_{7,n+2}$	
1	1	1	1	1	0	1	1	1	1	1	0	$I_{5,n+1}$	$I_{6,n+1}$	$I_{7,n+1}$	$I_{2,n+2}$	0	$I_{3,n+2}$	$I_{4,n+2}$	$I_{5,n+2}$	$I_{6,n+2}$	$I_{7,n+2}$	
1	1	1	1	1	1	$I_{5,n+1}$	$I_{6,n+1}$	$I_{7,n+1}$	$I_{1,n+2}$	$I_{2,n+2}$	1	1	1	1	1	1	0	$I_{3,n+2}$	$I_{4,n+2}$	$I_{5,n+2}$	$I_{6,n+2}$	$I_{7,n+2}$

4.7.3 Codul TCM 8-D, cu rata 3/4 și cu 64 stări

Am considerat transmisia a $Q=7$ biți/interval de semnalizare 2-D. Schema bloc a codorului TCM 8-D cu rata 3/4 și 64 stări am prezentat-o în Fig.4.22.

În acest caz $N=4$ este o putere a lui 2 deci am obținut conform relațiilor (4.124):

$$\left\{ \begin{array}{l} \beta = \frac{1}{N} = \frac{1}{4} \\ \alpha = 0 \\ CER = CER_0 = \frac{1}{2N} \left(2N + 1 + \frac{1}{N} \right) = \frac{37}{32} \cong 1,15625 \\ PAR = \frac{2(1+\beta)}{CER_0} = \frac{80}{37} \cong 2,16216 \end{array} \right. \quad (4.124)$$

Deosebirea față de construcția Wei a codului TCM 8-D, cu rata 3/4 și cu 64 stări prezentată în paragraful 4.2, constă doar în calculul parametrilor CER și PAR ai constelației de semnale 2-D constituantă a constelației de semnale 8-D.

Întrucât în acest caz $N=2$ este o putere a lui 2, am observat că valorile obținute pentru parametrii CER și PAR ai constelației de semnale 2-D constituantă a constelației de semnale 8-D sunt optime deși Wei nu a calculat aceste valori.

Constelația de semnale 2-D constituantă a constelației de semnale 8-D este un subset finit al latticei $(2Z+1)^2$ ($Z =$ mulțimea numerelor întregi) și este formată din 160 puncte de semnal 2-D:

- ❖ $2^7=128$ puncte de semnal 2-D în grupul IG,
- ❖ $\frac{2^7}{4} = 32$ puncte de semnal 2-D în subgrupul OG_L ,
- ❖ 0 puncte de semnal 2-D în subgrupul OG_H .

Am partiționat constelația de semnale 2-D (Fig.4.23) constituantă în $U=2^u=4$ subseturi 2-D:

- $\Rightarrow A=(4Z+1)^2$,
- $\Rightarrow B=(4Z+3)^2$,
- $\Rightarrow C=(4Z+1)(4Z+3)$,
- $\Rightarrow D=(4Z+3)(4Z+1)$.

Dacă constelația de semnale 2-D constituantă are $MSED=d_0^2$ atunci subseturile 2-D au MSED de intrasubset egală cu $d^2 = 4d_0^2$.

Dacă se rotesc succesiv subseturile 2-D în sens orar cu câte 90° au loc următoarele transformări ale subseturilor 2-D (vezi relația 4.3) [16]:

$$A \rightarrow C \rightarrow B \rightarrow D \rightarrow A \quad (4.3)$$

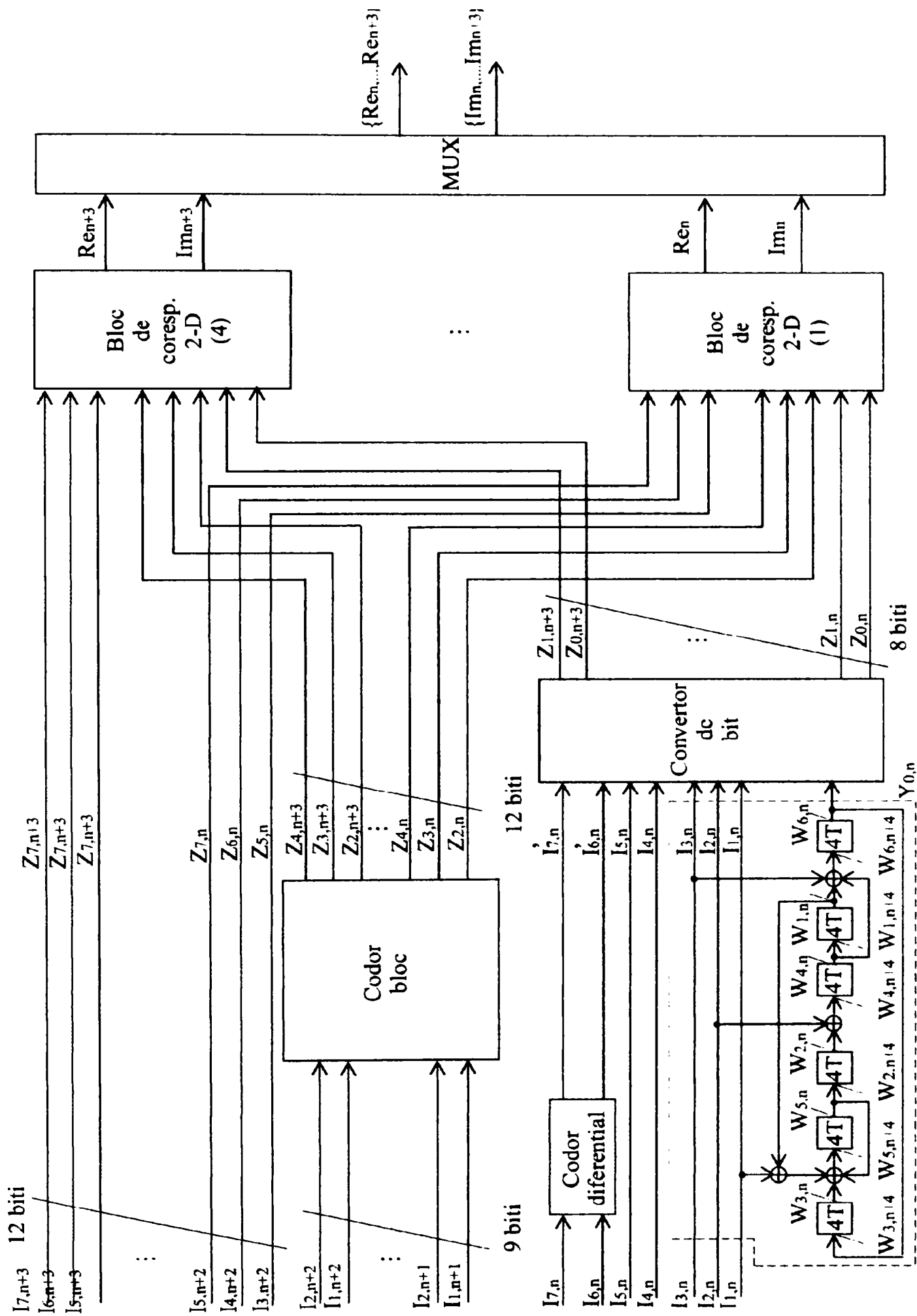
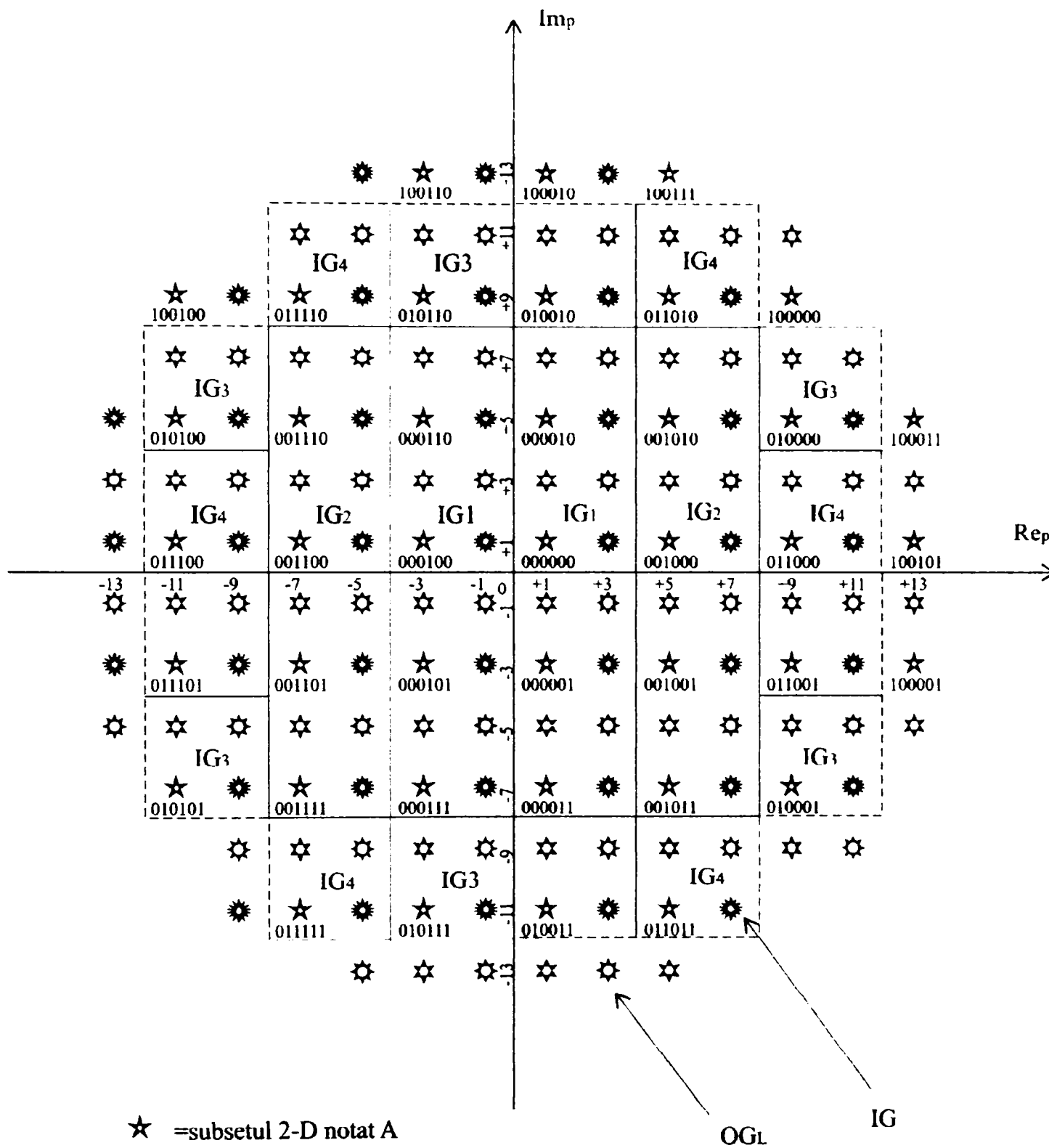


Fig.4.14 Schema bloc a codorului TCM 8-D cu rata 3/4 și 64 stări (construcția Wei).

32 biti de iesire 1 punct de semnal 8-D

28 biti de intrare Codor convolutional 3/4



- ☆ =subsetul 2-D notat A
- ⦿ =subsetul 2-D notat B
- ☆ (with dot) =subsetul 2-D notat C
- ⦿ (with asterisk) =subsetul 2-D notat D

Numărul dedesubtul fiecărui punct de semnal 2-D este $Z_{2,p}, Z_{3,p}, Z_{4,p}, Z_{5,p}, Z_{6,p}, Z_{7,p}$, $p=n, n+1, n+2, n+3$.

Fig.4.15 Constelația de semnale 2-D constituantă cu 160 puncte de semnal 2-D (construcția Wei).

Prin concatenarea a 4 constelații de semnale 2-D constituate și prin eliminarea punctelor de semnal 8-D care conțin mai mult decât un singur punct de semnal 2-D din grupul extern OG se obține **constelația de semnale 8-D** cu $2^{4 \times 7 + 1} = 2^{29}$ puncte de semnal 8-D.

Se construiesc 64 **tipuri 8-D** cu $MSED = d^2 = 4d_0^2$ prin concatenarea a câte 2 subseturi 4-D și notate astfel (vezi relația 4.16) [16]:

$$(0, 0), (0, 1), \dots, (7, 7)$$

unde $i=0, 1, \dots, 7$ reprezintă indicele subseturilor 4-D notate S_i în paragraful 4.7.2.

Cele 64 tipuri 8-D sunt grupate în 16 **subseturi 8-D** (deci $S=4$) astfel încât $MSED$ a fiecărui subset 8-D obținut să fie egală cu $d^2 = 4d_0^2$ (vezi relația 4.17) [16]:

$$\left\{ \begin{array}{l} S_0 = (0, 0) \cup (1, 1) \cup (2, 2) \cup (3, 3) \\ S_1 = (0, 1) \cup (1, 0) \cup (2, 3) \cup (3, 2) \\ S_2 = (0, 2) \cup (1, 3) \cup (2, 0) \cup (3, 1) \\ S_3 = (0, 3) \cup (1, 2) \cup (2, 1) \cup (3, 0) \\ S_4 = (4, 4) \cup (5, 5) \cup (6, 6) \cup (7, 7) \\ S_5 = (4, 5) \cup (5, 4) \cup (6, 7) \cup (7, 6) \\ S_6 = (4, 6) \cup (5, 7) \cup (6, 4) \cup (7, 5) \\ S_7 = (4, 7) \cup (5, 6) \cup (6, 5) \cup (7, 4) \\ S_8 = (0, 4) \cup (1, 5) \cup (2, 6) \cup (3, 7) \\ S_9 = (0, 5) \cup (1, 4) \cup (2, 7) \cup (3, 6) \\ S_{10} = (0, 6) \cup (1, 7) \cup (2, 4) \cup (3, 5) \\ S_{11} = (0, 7) \cup (1, 6) \cup (2, 5) \cup (3, 4) \\ S_{12} = (4, 0) \cup (5, 1) \cup (6, 2) \cup (7, 3) \\ S_{13} = (4, 1) \cup (5, 0) \cup (6, 3) \cup (7, 2) \\ S_{14} = (4, 2) \cup (5, 3) \cup (6, 0) \cup (7, 1) \\ S_{15} = (4, 3) \cup (5, 2) \cup (6, 1) \cup (7, 0) \end{array} \right.$$

Dacă se rotesc succesiv subseturile 2-D în sens orar cu câte 90° nu au loc transformări ale subseturilor 8-D, cu alte cuvinte subseturile 8-D sunt invariante la aceste rotații [16].

Subseturile 8-D sunt grupate în 2 **familii 8-D** cu $MSED = 2d_0^2$ astfel încât fiecare familie 8-D să conțină $F=8$ subseturi 8-D (vezi relația 4.18) [16]:

$$\left\{ \begin{array}{l} F_0 = S_0 \cup S_1 \cup S_2 \cup S_3 \cup S_4 \cup S_5 \cup S_6 \cup S_7 \\ F_1 = S_8 \cup S_9 \cup S_{10} \cup S_{11} \cup S_{12} \cup S_{13} \cup S_{14} \cup S_{15} \end{array} \right.$$

În acest caz avem $m=3$ biți de la intrare care sunt codați cu un codor convoluțional cu rata de codare $3/4$ și cu $V=2^6=64$ stări. De asemenea, restul și cîțul împărțirii lui $N_u=8$ la $Q=7$ sunt $r=1$ și respectiv $c=1$.

Setul stărilor curente $\{\sigma_n\}$ a codorului convoluțional se partiționează în $F=8$ subseturi (vezi relația 4.19) [16]:

$$\{8i + j \mid 0 \leq i \leq 7, 0 \leq j \leq 7\}$$

Setul stărilor următoare $\{\sigma_{n+4}\}$ a codorului convoluțional se partiționează în $F=8$ subseturi (vezi relația 4.20) [16]:

$$\{8j + k \mid 0 \leq j \leq 7, 0 \leq k \leq 7\}$$

Conectivitatea diagramei trellis se realizează astfel: pentru orice $0 \leq j \leq 7$ există tranziții de stare între fiecare stare curentă $8i+j$, $0 \leq i \leq 7$ și fiecare stare următoare $8j+k$, $0 \leq k \leq 7$.

Asignarea subseturilor 8-D la tranzițiile de stare ale codului TCM 8-D este realizată astfel încât să fie îndeplinite trei cerințe [16]:

1. Subseturile 8-D, asociate cu tranzițiile care pornesc dintr-o anumită stare, să difere unele de altele și să aparțină aceleași familii 8-D.

Același considerent se aplică și pentru subseturile 8-D asociate cu tranzițiile care ajung într-o anumită stare.

Conform acestei cerințe:

⇒ la tranzițiile care pornesc din stări pare ($Y_{0,n}=W_{6,n}=0$) sunt asignate subseturi 8-D din familia 8-D notată F_0 ,

⇒ la tranzițiile care pornesc din stări impare ($Y_{0,n}=W_{6,n}=1$) sunt asignate subseturi 8-D din familia 8-D notată F_1 .

2. MSED dintre două secvențe de subseturi 8-D, care corespund la două traiectorii distincte prin diagrama trellis, să fie mai mare sau egală decât $d_{\text{free}}^2 = d^2 = 4d_0^2$, care este MSED a fiecărui subset 8-D (MSED de intersubset 8-D să fie mai mare sau cel puțin egală cu MSED de intrasubset 8-D).

Această cerință garantează că MSED dintre două secvențe de puncte de semnal 8-D este $d^2 = 4d_0^2$ și elimină evenimentele eroare care diferă cu mai mult decât un punct de semnal 8-D față de secvența corectă de puncte de semnal 8-D.

Dacă se neglijează efectul de margine, atunci **coeficientul de eroare** N_{free} al codului TCM 8-D, este egal cu numărul vecinilor cei mai apropiați ai unui punct de semnal 8-D și aflați într-un subset 8-D cu un număr finit de puncte de semnal 8-D. În acest caz $N_{\text{free}}=240$ per punct de semnal 8-D ($N_{\text{free}}=60$ per punct de semnal 2-D).

Dacă nu se neglijează efectul de margine, atunci coeficientul de eroare al codului TCM 8-D este mai mic decât 240.

3. Dacă X este subsetul 8-D asociat cu tranzițiile din starea curentă σ_n în starea următoare σ_{n+4} și dacă X_1, X_2, X_3 sunt subseturile 8-D obținute prin rotirea lui X cu $90^\circ, 180^\circ, 270^\circ$ atunci $X=X_1=X_2=X_3$.

Această cerință garantează că vom obține un cod TCM 4-D transparent la toate ambiguitățile de fază ale constelației de semnale 8-D, cu alte cuvinte un cod TCM 8-D invariant rotațional la $0^\circ, 90^\circ, 180^\circ, 270^\circ$.

Pentru a suprima toate cele 4 ambiguități de fază a constelației de semnale 8-D ($0^\circ, 90^\circ, 180^\circ, 270^\circ$) se folosește un **codor diferențial** pe 2 biți (vezi relația 4.21) [16]:

$$(I'_{6,n} I'_{7,n}) = (I'_{6,n-4} I'_{7,n-4} + I_{6,n} I_{7,n}) \bmod 4$$

deci în acest caz avem $a=7$ și $b=0$.

Convertorul de bit convertește cei 8 biți de la intrarea sa $Y_{0,n}, I_{1,n}, I_{2,n}, I_{3,n}, I_{4,n}, I_{5,n}, I'_{6,n}, I_{7,n}$ în 4 grupuri de câte 2 biți fiecare (vezi relația 4.22) [16]:

$$Z_{0,p}, Z_{1,p}, p=n, n+1, n+2, n+3$$

care selectează 4 subseturi 2-D, corespunzătoare tipului 8-D selectat în cadrul subsetului 8-D utilizat.

Corespondența dintre cei 2 biți $Z_{0,p}, Z_{1,p}, p=n, n+1, n+2, n+3$ și subseturile 2-D este prezentată în Tabelul 4.1 iar funcționarea convertorului de bit este prezentată în Tabelul 4.5.

Am notat cu S_i subseturile 8-D și astfel indexul i este furnizat de relația:

$$i = 8Y_{0,n} + 4I_{1,n} + 2I_{2,n} + I_{3,n}, i = 0, 1, \dots, 15 \quad (4.143)$$

Codorul bloc folosește cei 9 biți $I_{1,n+1}, I_{2,n+1}, I_{3,n+1}, I_{4,n+1}, I_{5,n+1}, I_{6,n+1}, I_{7,n+1}, I_{1,n+2}, I_{2,n+2}$ pentru a genera 4 grupuri de câte 3 biți fiecare (vezi relația 4.23) [16]:

$$Z_{2,p}, Z_{3,p}, Z_{4,p}, p=n, n+1, n+2, n+3$$

care selectează pentru cele 4 subseturi 2-D utilizate primul sfert al grupului intern IG_1 , al doilea sfert al grupului intern IG_2 , al treilea sfert al grupului intern IG_3 , al patrulea sfert al grupului intern IG_4 sau subgrupul extern de energie mică OG_1 .

Corespondența dintre cei 3 biți $Z_{2,p}, Z_{3,p}, Z_{4,p}, p=n, n+1, n+2, n+3$ și grupurile constelației de semnale 2-D este prezentată în Tabelul 4.19 iar funcționarea codorului bloc este prezentată în Tabelul 4.7.

Cele 4 grupuri de câte 3 biți fiecare (vezi relația 4.24) [16]:

$$Z_{5,p}, Z_{6,p}, Z_{7,p}, p=n, n+1, n+2, n+3$$

selectează pentru fiecare din cele 4 subseturi 2-D utilizate, câte un punct de semnal 2-D din grupul constelației de semnale 2-D selectat anterior.

Cîștigul de codare asimptotic al codului TCM 8-D față de o transmisie necodată este conform relației (4.134):

$$\gamma = 10 \log_{10} \left(4 \frac{1}{\frac{37}{32}} \right) = 10 \log_{10} \left(\frac{128}{37} \right) \cong 5,39008 \text{ [dB]} \quad (4.144)$$

Tabelul 4.1 Corespondența dintre cei 2 biți $Z_{0,p}$, $Z_{1,p}$ și subseturile 2-D

Subset 2-D	$Z_{0,p}$	$Z_{1,p}$
A	0	0
B	0	1
C	1	0
D	1	1

Tabelul 4.5 Convertorul de bit

Subset 8-D	$Y_{0,p}$	$I_{1,p}$	$I_{2,p}$	$I_{3,p}$	$I_{4,p}$	$I_{5,p}$	Tip 8-D	$I'_{6,p}$	$I'_{7,p}$	Subset 2-D	$Z_{0,p}$	$Z_{1,p}$	$Z_{0,p+1}$	$Z_{1,p+1}$	$Z_{0,p+2}$	$Z_{1,p+2}$	$Z_{0,p+3}$	$Z_{1,p+3}$				
0	0	0	0	0	0	0	(0, 0)	0	0	(A, A) ∪ (A, A)	0	0	0	0	0	0	0	0				
	0	0	0	0	0	0		0	1	(A, A) ∪ (B, B)	0	0	0	0	0	1	0	0	1			
	0	0	0	0	0	0		1	0	(B, B) ∪ (A, A)	0	1	0	1	0	0	0	0	0			
	0	0	0	0	0	0		1	1	(B, B) ∪ (B, B)	0	1	0	1	0	1	0	1	0	1		
	0	0	0	0	0	1	(1, 1)	0	0	(C, C) ∪ (C, C)	1	0	1	0	1	0	1	0	1	0		
	0	0	0	0	0	1		0	1	(C, C) ∪ (D, D)	1	0	1	0	1	1	1	1	1	1		
	0	0	0	0	0	1		1	0	(D, D) ∪ (C, C)	1	1	1	1	1	1	0	1	0			
	0	0	0	0	0	1		1	1	(D, D) ∪ (D, D)	1	1	1	1	1	1	1	1	1	1		
	0	0	0	0	1	0	(2, 2)	0	0	(A, B) ∪ (A, B)	0	0	0	1	0	0	0	1	0	0	1	1
	0	0	0	0	1	0		0	1	(A, B) ∪ (B, A)	0	0	0	1	0	1	0	1	0	0		
	0	0	0	0	1	0		1	0	(B, A) ∪ (A, B)	0	1	0	0	0	0	0	0	0	1		
	0	0	0	0	1	0		1	1	(B, A) ∪ (B, A)	0	1	0	0	0	0	1	0	0	0		
	0	0	0	0	1	1	(3, 3)	0	0	(C, D) ∪ (C, D)	1	0	1	1	1	1	0	1	1	1	1	
	0	0	0	0	1	1		0	1	(C, D) ∪ (D, C)	1	0	1	1	1	1	1	1	1	0		
	0	0	0	0	1	1		1	0	(D, C) ∪ (C, D)	1	1	1	1	0	1	0	1	1	1		
	0	0	0	0	1	1		1	1	(D, C) ∪ (D, C)	1	1	1	1	0	1	1	1	1	0		
	...																					
	15	1	1	1	1	0	0	(4, 3)	0	0	(A, C) ∪ (C, D)	0	0	1	0	1	0	1	0	1	1	
		1	1	1	1	0	0		0	1	(A, C) ∪ (D, C)	0	0	1	0	1	1	1	1	0		
		1	1	1	1	0	0		1	0	(B, D) ∪ (C, D)	0	1	1	1	1	1	0	1	1		
1		1	1	1	0	0	1		1	(B, D) ∪ (D, C)	0	1	1	1	1	1	1	1	0			
1		1	1	1	0	1	(5, 2)	0	0	(C, B) ∪ (A, B)	1	0	0	1	0	0	0	0	0	1		
1		1	1	1	0	1		0	1	(C, B) ∪ (B, A)	1	0	0	1	0	1	0	0	0			
1		1	1	1	0	1		1	0	(D, A) ∪ (A, B)	1	1	1	1	0	0	0	0	1			
1		1	1	1	0	1		1	1	(D, A) ∪ (B, A)	1	1	1	1	0	1	0	0	0			
1		1	1	1	1	0	(6, 1)	0	0	(A, D) ∪ (C, C)	0	0	1	1	1	1	0	1	0	1		
1		1	1	1	1	0		0	1	(A, D) ∪ (D, D)	0	0	1	1	1	1	1	1	1	1		
1		1	1	1	1	0		1	0	(B, C) ∪ (C, C)	0	1	1	0	1	0	1	0	1	0		
1		1	1	1	1	0		1	1	(B, C) ∪ (D, D)	0	1	1	0	1	1	1	1	1	1		
1		1	1	1	1	1	(7, 0)	0	0	(C, A) ∪ (A, A)	1	0	0	0	0	0	0	0	0	0	0	
1		1	1	1	1	1		0	1	(C, A) ∪ (B, B)	1	0	0	0	0	0	1	0	0	1		
1		1	1	1	1	1		1	0	(D, B) ∪ (A, A)	1	1	0	1	0	0	0	0	0	0		
1		1	1	1	1	1		1	1	(D, B) ∪ (B, B)	1	1	0	1	0	1	0	1	0	1		

Tabelul 4.19 Corespondența dintre cei 3 biți $Z_{2,p}$, $Z_{3,p}$, $Z_{4,p}$ și grupurile constelației de semnale 2-D

$Z_{2,p}$	$Z_{3,p}$	$Z_{4,p}$	Grup constelație de semnale 2-D
0	0	0	IG_1
0	0	1	IG_2
0	1	0	IG_3
0	1	1	IG_4
1	0	0	OG_L

Tabelul 4.7 Codorul bloc

$I_{1,n+1}$	$I_{2,n+1}$	$I_{3,n+1}$	$Z_{2,n}$	$Z_{3,n}$	$Z_{4,n}$	$Z_{2,n+1}$	$Z_{3,n+1}$	$Z_{4,n+1}$	$Z_{2,n+2}$	$Z_{3,n+2}$	$Z_{4,n+2}$	$Z_{2,n+3}$	$Z_{3,n+3}$	$Z_{4,n+3}$
0	X	X	0	$I_{2,n+1}$	$I_{3,n+1}$	0	$I_{4,n+1}$	$I_{5,n+1}$	0	$I_{6,n+1}$	$I_{7,n+1}$	0	$I_{1,n+2}$	$I_{2,n+2}$
1	0	0	1	0	0	0	$I_{4,n+1}$	$I_{5,n+1}$	0	$I_{6,n+1}$	$I_{7,n+1}$	0	$I_{1,n+2}$	$I_{2,n+2}$
1	0	1	0	$I_{4,n+1}$	$I_{5,n+1}$	1	0	0	0	$I_{6,n+1}$	$I_{7,n+1}$	0	$I_{1,n+2}$	$I_{2,n+2}$
1	1	0	0	$I_{4,n+1}$	$I_{5,n+1}$	0	$I_{6,n+1}$	$I_{7,n+1}$	1	0	0	0	$I_{1,n+2}$	$I_{2,n+2}$
1	1	1	0	$I_{4,n+1}$	$I_{5,n+1}$	0	$I_{6,n+1}$	$I_{7,n+1}$	0	$I_{1,n+2}$	$I_{2,n+2}$	1	0	0

4.7.4 Codul TCM 12-D, cu rata 4/5 și cu 256 stări

Am considerat transmisia a $Q=7$ biți/interval de semnalizare 2-D. Schema bloc a codorului TCM 12-D cu rata 4/5 și 256 stări am prezentat-o în Fig.4.24.

În acest caz $N=6$ nu este o putere a lui 2 deci am obținut conform relațiilor (4.125):

$$\left\{ \begin{array}{l} \beta = \frac{I(4K_0')}{2^Q} = \frac{3}{16} \\ \alpha = \frac{4}{I(4K_0')} = \frac{1}{6} \\ P = K_0' = 4 \\ N - P = 2 \\ I(4K_0') = \frac{2^Q + 4K_0'}{N} = 24 \\ CER_0 = \frac{1}{2N} \left(2N + 1 + \frac{1}{N} \right) = \frac{79}{72} \cong 1,09722 \\ CER = CER_0 + \frac{(1-\alpha)}{2} \left[\frac{1}{N(1-\alpha)} - \beta \right] \left[\beta - \frac{1}{N} \right] \cong 1,09733 \\ PAR = \frac{2(1+\beta)}{CER_0 + \frac{(1-\alpha)}{2} \left[\frac{1}{N(1-\alpha)} - \beta \right] \left[\beta - \frac{1}{N} \right]} \cong 2,16434 \end{array} \right. \quad (4.145)$$

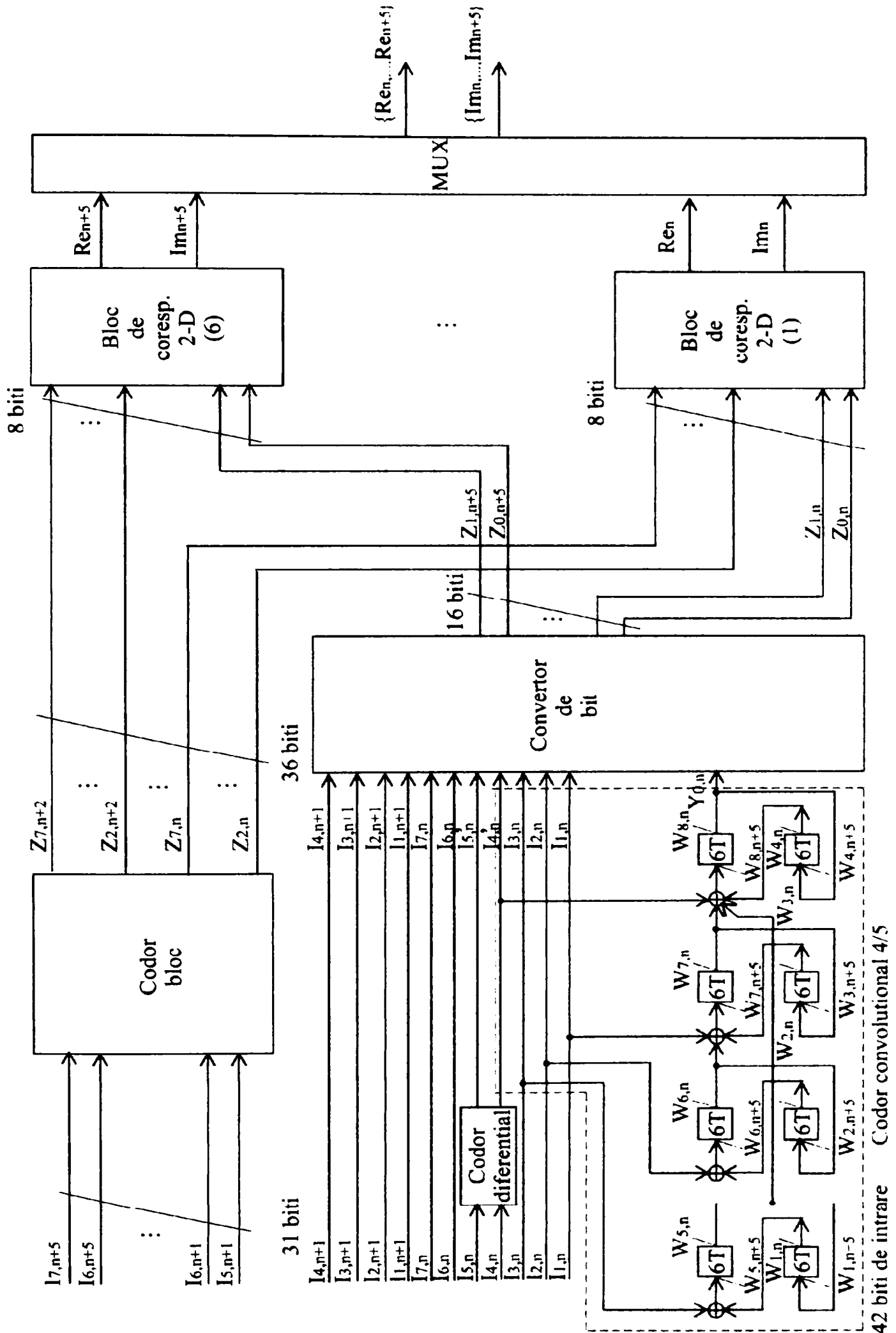
Constelația de semnale 2-D constituentă a constelației de semnale 12-D este un subset finit al latticei $(2Z+1)^2$ ($Z =$ mulțimea numerelor întregi) și este formată din 152 puncte de semnal 2-D:

- ❖ $2^7=128$ puncte de semnal 2-D în grupul IG ,
- ❖ 20 puncte de semnal 2-D în subgrupul OG_L ,
- ❖ 4 puncte de semnal 2-D în subgrupul OG_H .

Am partiționat constelația de semnale 2-D (Fig.4.257) constituentă în $U=2^u=4$ subseturi 2-D:

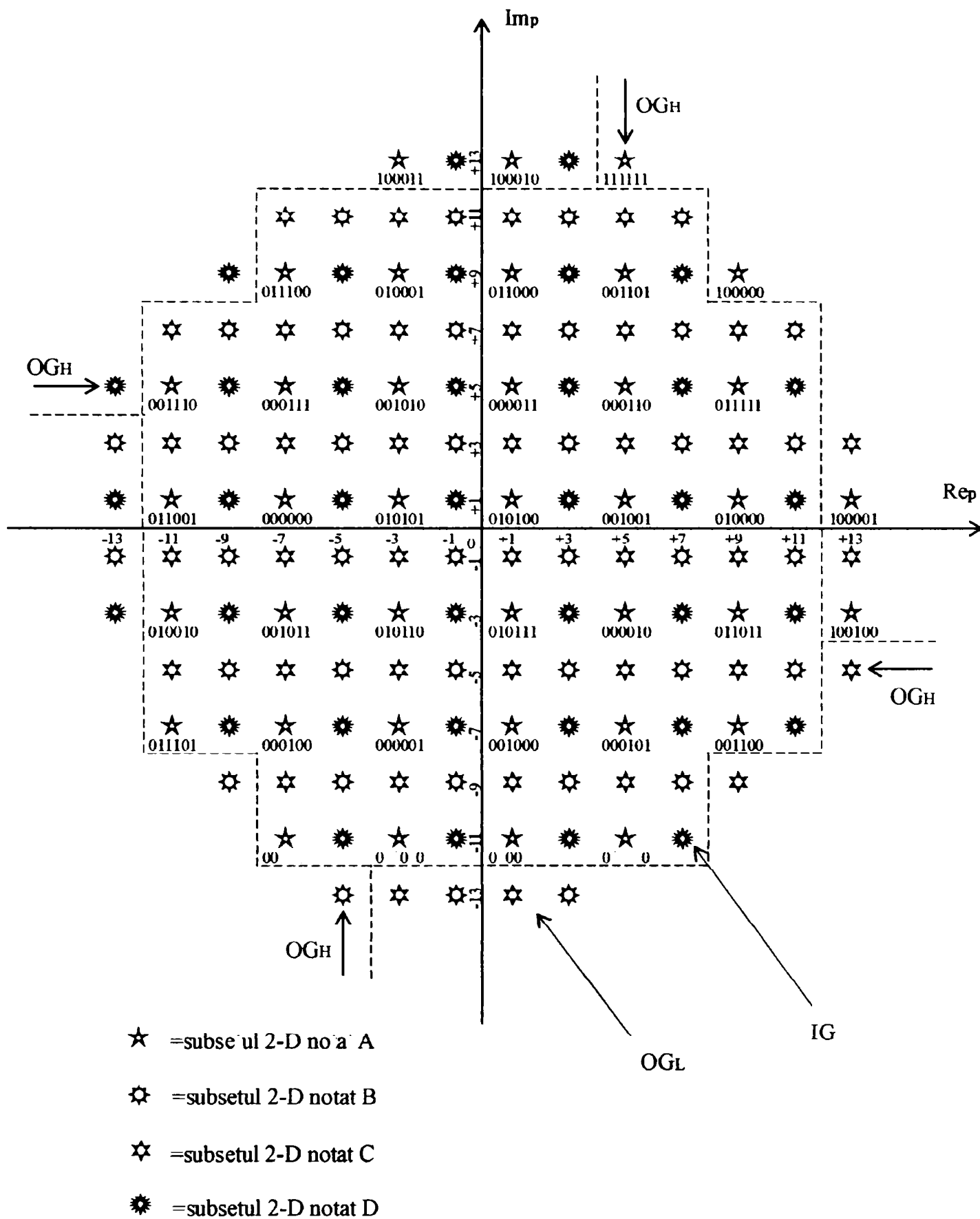
- $\Rightarrow A=(4Z+1)^2$,
- $\Rightarrow B=(4Z+3)^2$,
- $\Rightarrow C=(4Z+1)(4Z+3)$,
- $\Rightarrow D=(4Z+3)(4Z+1)$.

Dacă constelația de semnale 2-D constituentă are $MSED=d_0^2$ atunci subseturile 2-D au $MSED$ de intrasubset egală cu $d^2 = 4d_0^2$. Dacă se rotesc succesiv subseturile 2-D în sens orar cu câte 90° au loc următoarele transformări ale subseturilor 2-D (vezi relația 4.3) [42]: $A \rightarrow C \rightarrow B \rightarrow D \rightarrow A$.



48 biti de iesire | punct de semnal 12-D

Fig.4.24 Schema bloc a codorului TCM 12-D cu rata 4/5 și 256 stări (construcția propusă).



Numărul dedesubtul fiecărui punct de semnal 2-D este $Z_{2,p}, Z_{3,p}, Z_{4,p}, Z_{5,p}, Z_{6,p}, Z_{7,p}$, $p=n, n+1, n+2, n+3, n+4, n+5$.

Fig.4.25 Constelația de semnale 2-D constituantă cu 152 puncte de semnal 2-D (construcția propusă).

Prin concatenarea a 6 constelații de semnale 2-D constituate și prin eliminarea punctelor de semnal 12-D care conțin mai mult decât un singur punct de semnal 2-D din grupul extern OG se obține **constelația de semnale 12-D** cu $2^{6 \times 7 + 1} = 2^{43}$ puncte de semnal 6-D.

Se construiesc 256 tipuri 12-D cu $MSED=d^2 = 4d_0^2$ prin concatenarea a câte 2 subseturi 6-D și notate astfel (vezi relația 4.51) [42]:

$$(0, 0), (0, 1), \dots, (15, 15)$$

unde $i=0, 1, \dots, 15$ reprezintă indicele subseturilor 6-D notate S_i în paragraful 4.7.3.

Cele 256 tipuri 12-D sunt grupate în 32 subseturi 12-D (deci $S=8$) astfel încât $MSED$ a fiecărui subset 12-D obținut să fie egală cu $d^2 = 4d_0^2$ (vezi relația 4.52) [42]:

$$\left\{ \begin{array}{l} S_0=(0, 0) \cup (2, 2) \cup (4, 4) \cup (6, 6) \cup (8, 8) \cup (10, 10) \cup (12, 12) \cup (14, 14) \\ S_1=(0, 3) \cup (2, 5) \cup (4, 7) \cup (6, 1) \cup (8, 11) \cup (10, 13) \cup (12, 15) \cup (14, 9) \\ S_2=(0, 4) \cup (2, 6) \cup (4, 0) \cup (6, 2) \cup (8, 12) \cup (10, 14) \cup (12, 8) \cup (14, 10) \\ S_3=(0, 7) \cup (2, 1) \cup (4, 3) \cup (6, 5) \cup (8, 15) \cup (10, 9) \cup (12, 11) \cup (14, 13) \\ S_4=(0, 2) \cup (2, 0) \cup (4, 6) \cup (6, 4) \cup (8, 10) \cup (10, 8) \cup (12, 14) \cup (14, 12) \\ S_5=(0, 5) \cup (2, 3) \cup (4, 1) \cup (6, 7) \cup (8, 13) \cup (10, 11) \cup (12, 9) \cup (14, 15) \\ S_6=(0, 6) \cup (2, 4) \cup (4, 2) \cup (6, 0) \cup (8, 14) \cup (10, 12) \cup (12, 10) \cup (14, 8) \\ S_7=(0, 1) \cup (2, 7) \cup (4, 5) \cup (6, 3) \cup (8, 9) \cup (10, 15) \cup (12, 13) \cup (14, 11) \\ S_8=(0, 8) \cup (2, 10) \cup (4, 12) \cup (6, 14) \cup (8, 0) \cup (10, 2) \cup (12, 4) \cup (14, 6) \\ S_9=(0, 11) \cup (2, 13) \cup (4, 15) \cup (6, 9) \cup (8, 3) \cup (10, 5) \cup (12, 7) \cup (14, 1) \\ S_{10}=(0, 12) \cup (2, 14) \cup (4, 8) \cup (6, 10) \cup (8, 4) \cup (10, 6) \cup (12, 0) \cup (14, 2) \\ S_{11}=(0, 15) \cup (2, 9) \cup (4, 11) \cup (6, 13) \cup (8, 7) \cup (10, 1) \cup (12, 3) \cup (14, 5) \\ S_{12}=(0, 10) \cup (2, 8) \cup (4, 14) \cup (6, 12) \cup (8, 2) \cup (10, 0) \cup (12, 6) \cup (14, 4) \\ S_{13}=(0, 13) \cup (2, 11) \cup (4, 9) \cup (6, 15) \cup (8, 5) \cup (10, 3) \cup (12, 1) \cup (14, 7) \\ S_{14}=(0, 14) \cup (2, 12) \cup (4, 10) \cup (6, 8) \cup (8, 6) \cup (10, 4) \cup (12, 2) \cup (14, 0) \\ S_{15}=(0, 9) \cup (2, 15) \cup (4, 13) \cup (6, 11) \cup (8, 1) \cup (10, 7) \cup (12, 5) \cup (14, 3) \\ S_{16}=(1, 1) \cup (3, 3) \cup (5, 5) \cup (7, 7) \cup (9, 9) \cup (11, 11) \cup (13, 13) \cup (15, 5) \\ S_{17}=(1, 2) \cup (3, 4) \cup (5, 6) \cup (7, 0) \cup (9, 10) \cup (11, 12) \cup (13, 14) \cup (15, 8) \\ S_{18}=(1, 5) \cup (3, 7) \cup (5, 1) \cup (7, 3) \cup (9, 13) \cup (11, 15) \cup (13, 9) \cup (15, 11) \\ S_{19}=(1, 6) \cup (3, 0) \cup (5, 2) \cup (7, 4) \cup (9, 14) \cup (11, 8) \cup (13, 10) \cup (15, 12) \\ S_{20}=(1, 7) \cup (3, 5) \cup (5, 3) \cup (7, 1) \cup (9, 15) \cup (11, 13) \cup (13, 11) \cup (15, 9) \\ S_{21}=(1, 0) \cup (3, 6) \cup (5, 4) \cup (7, 2) \cup (9, 8) \cup (11, 14) \cup (13, 12) \cup (15, 10) \\ S_{22}=(1, 3) \cup (3, 1) \cup (5, 7) \cup (7, 5) \cup (9, 11) \cup (11, 9) \cup (13, 15) \cup (15, 13) \\ S_{23}=(1, 4) \cup (3, 2) \cup (5, 0) \cup (7, 6) \cup (9, 12) \cup (11, 10) \cup (13, 8) \cup (15, 14) \\ S_{24}=(1, 9) \cup (3, 11) \cup (5, 13) \cup (7, 15) \cup (9, 1) \cup (11, 3) \cup (13, 5) \cup (15, 7) \\ S_{25}=(1, 10) \cup (3, 12) \cup (5, 14) \cup (7, 8) \cup (9, 2) \cup (11, 4) \cup (13, 6) \cup (15, 0) \\ S_{26}=(1, 13) \cup (3, 15) \cup (5, 9) \cup (7, 11) \cup (9, 5) \cup (11, 7) \cup (13, 1) \cup (15, 3) \\ S_{27}=(1, 14) \cup (3, 8) \cup (5, 10) \cup (7, 12) \cup (9, 6) \cup (11, 0) \cup (13, 2) \cup (15, 4) \\ S_{28}=(1, 15) \cup (3, 13) \cup (5, 11) \cup (7, 9) \cup (9, 7) \cup (11, 5) \cup (13, 3) \cup (15, 1) \\ S_{29}=(1, 8) \cup (3, 14) \cup (5, 12) \cup (7, 10) \cup (9, 0) \cup (11, 6) \cup (13, 4) \cup (15, 2) \\ S_{30}=(1, 11) \cup (3, 9) \cup (5, 15) \cup (7, 13) \cup (9, 3) \cup (11, 1) \cup (13, 7) \cup (15, 5) \\ S_{31}=(1, 12) \cup (3, 10) \cup (5, 8) \cup (7, 14) \cup (9, 4) \cup (11, 2) \cup (13, 0) \cup (15, 6) \end{array} \right.$$

Dacă se rotesc succesiv subseturile 2-D în sens orar cu câte 90° au loc următoarele transformări ale subseturilor 12-D (vezi relația 4.53) [42]:

$$S_i \rightarrow S_{i+16} \rightarrow S_i, i = 0, 1, \dots, 15$$

Subseturile 12-D sunt grupate în 2 familii 12-D cu $MSED = 2d_0^2$ astfel încât fiecare familie 12-D să conțină $F=16$ subseturi 12-D (vezi relația 4.54) [42]:

$$\left\{ \begin{array}{l} F_0 = S_0 \cup S_2 \cup S_4 \cup S_6 \cup S_8 \cup S_{10} \cup S_{12} \cup S_{14} \cup S_{16} \cup S_{18} \cup S_{20} \cup S_{22} \cup S_{24} \cup S_{26} \cup \\ \cup S_{28} \cup S_{30} \\ F_1 = S_1 \cup S_3 \cup S_5 \cup S_7 \cup S_9 \cup S_{11} \cup S_{13} \cup S_{15} \cup S_{17} \cup S_{19} \cup S_{21} \cup S_{23} \cup S_{25} \cup S_{27} \cup \\ \cup S_{29} \cup S_{31} \end{array} \right.$$

În acest caz avem $m=4$ biți de la intrare care sunt codați cu un codor convoluțional cu rata de codare $4/5$ și $V=2^8=256$ stări. De asemenea, restul și cîțul împărțirii lui $N_u=12$ la $Q=7$ sunt $r=5$ și respectiv $c=1$.

Setul stărilor curente $\{\sigma_n\}$ a codorului convoluțional se partiționează în $F=16$ subseturi (vezi relația 4.55) [42]:

$$\{16i + j \mid 0 \leq i \leq 15, 0 \leq j \leq 15\}$$

Setul stărilor următoare $\{\sigma_{n+6}\}$ a codorului convoluțional se partiționează în $F=16$ subseturi (vezi relația 4.56) [42]:

$$\{16j + k \mid 0 \leq j \leq 15, 0 \leq k \leq 15\}$$

Conectivitatea diagramei trellis se realizează astfel: pentru orice $0 \leq j \leq 15$ există tranziții de stare între fiecare stare curentă $16i+j$, $0 \leq i \leq 15$ și fiecare stare următoare $16j+k$, $0 \leq k \leq 15$.

Asignarea subseturilor 12-D la tranzițiile de stare ale codului TCM 12-D este realizată astfel încât să fie îndeplinite trei cerințe [16]:

1. Subseturile 12-D, asociate cu tranzițiile care pornesc dintr-o anumită stare, să difere unele de altele și să aparțină aceleiași familii 12-D.

Același considerent se aplică și pentru subseturile 12-D asociate cu tranzițiile care ajung într-o anumită stare.

Conform acestei cerințe:

⇒ la tranzițiile care pornesc din stări pare ($Y_{0,n}=W_{8,n}=0$) sunt asignate subseturi 12-D din familia 12-D notată F_0 ,

⇒ la tranzițiile care pornesc din stări impare ($Y_{0,n}=W_{8,n}=1$) sunt asignate subseturi 12-D din familia 12-D notată F_1 .

2. MSED dintre două secvențe de subseturi 6-D, care corespund la două traiectorii distincte prin diagrama trellis, să fie mai mare sau egală cu $d_{free}^2 = d^2 = 4d_0^2$, care este MSED a fiecărui subset 6-D (MSED de intersubset 6-D să fie mai mare sau cel puțin

egală cu MSED de intrasubset 6-D).

Această cerință garantează că MSED dintre două secvențe de puncte de semnal 6-D este $d^2 = 4d_0^2$ și elimină evenimentele eroare care diferă cu mai mult decât un punct de semnal 6-D față de secvența corectă de puncte de semnal 6-D.

Dacă se neglijează efectul de margine, atunci **coeficientul de eroare** N_{free} al codului TCM 12-D, este egal cu numărul vecinilor cei mai apropiați ai unui punct de semnal 12-D și aflați într-un subset 12-D cu un număr finit de puncte de semnal 12-D. În acest caz $N_{free}=6408$ per punct de semnal 12-D ($N_{free}=1068$ per punct de semnal 2-D).

Dacă nu se neglijează efectul de margine, atunci coeficientul de eroare al codului TCM 12-D este mai mic decât 6408.

3. Dacă X este subsetul 12-D asociat cu tranzițiile din starea curentă σ_n în starea următoare σ_{n+6} și dacă X_1 este subsetul 12-D obținut prin rotirea lui X cu 90° atunci se poate defini o funcție F_1 de corespondență între stările codului TCM 12-D astfel încât X_1 să fie asociat cu tranzițiile din starea curentă $F_1(\sigma_n)$ în starea următoare $F_1(\sigma_{n+6})$.

Pentru o rotație de 90° în sens orar se definește funcția F_1 astfel (vezi relația 4.57) [42]:

$$W_{1,n} W_{2,n} W_{3,n} W_{4,n} W_{5,n} W_{6,n} W_{7,n} W_{8,n} \rightarrow \overline{W}_{1,n} W_{2,n} W_{3,n} W_{4,n} \overline{W}_{5,n} W_{6,n} W_{7,n} W_{8,n}$$

unde bara deasupra înseamnă inversare binară.

Această cerință garantează că vom obține un cod TCM 12-D transparent la toate ambiguitățile de fază ale constelației de semnale 12-D, cu alte cuvinte un cod TCM 12-D invariant rotațional la $0^\circ, 90^\circ, 180^\circ, 270^\circ$.

Pentru a suprima toate cele 4 ambiguități de fază a constelației de semnale 12-D ($0^\circ, 90^\circ, 180^\circ, 270^\circ$) se folosește un **codor diferențial** pe 2 biți (vezi relația 4.58) [42]:

$$(I'_{4,n} I'_{5,n}) = (I'_{4,n-6} I'_{5,n-6} + I_{4,n} I_{5,n}) \text{ mod } 4$$

deci în acest caz avem $a=5$ și $b=0$.

Convertorul de bit convertește cei 12 biți de la intrarea sa $Y_{0,n}, I_{1,n}, I_{2,n}, I_{3,n}, I_{4,n}, I_{5,n}, I_{6,n}, I_{7,n}, I_{1,n+1}, I_{2,n+1}, I_{3,n+1}, I_{4,n+1}$ în 6 grupuri de câte 2 biți fiecare (vezi relația 4.59) [42]:

$$Z_{0,p}, Z_{1,p}, p=n, n+1, n+2, n+3, n+4, n+5$$

care selectează 6 subseturi 2-D corespunzătoare tipului 12-D selectat în cadrul subsetului 12-D utilizat.

Pentru a obține un cod TCM 12-D transparent la orice ambiguitate de fază a constelației de semnale 12-D trebuie să fie îndeplinită cerința prezentată în continuare.

Dacă X este tipul 12-D asociat cu structura de biți $Y_{0,n}, I_{1,n}, I_{2,n}, I_{3,n}, I'_{4,n} I'_{5,n}, I_{6,n}, I_{7,n}, I_{1,n+1}, I_{2,n+1}, I_{3,n+1}, I_{4,n+1}$ atunci se

notează cu X_1, X_2, X_3 tipurile 12-D obținute prin rotirea lui X cu $90^\circ, 180^\circ, 270^\circ$.

Dacă $(I'_{4,n}, I'_{5,n})_1, (I'_{4,n}, I'_{5,n})_2, (I'_{4,n}, I'_{5,n})_3$ sunt perechile de biți obținute prin translația perechii de biți $(I'_{4,n}, I'_{5,n})$ cu una, două sau trei poziții în secvența circulară $00 \rightarrow 10 \rightarrow 01 \rightarrow 11 \rightarrow 00$, atunci tipurile 12-D asociate cu structurile de biți:

$$Y_{0,n}, I_{1,n}, I_{2,n}, I_{3,n}, (I'_{4,n}, I'_{5,n})_1, I_{6,n}, I_{7,n}, I_{1,n+1}, I_{2,n+1}, I_{3,n+1}, I_{4,n+1},$$

$$Y_{0,n}, I_{1,n}, I_{2,n}, I_{3,n}, (I'_{4,n}, I'_{5,n})_2, I_{6,n}, I_{7,n}, I_{1,n+1}, I_{2,n+1}, I_{3,n+1}, I_{4,n+1},$$

$$Y_{0,n}, I_{1,n}, I_{2,n}, I_{3,n}, (I'_{4,n}, I'_{5,n})_3, I_{6,n}, I_{7,n}, I_{1,n+1}, I_{2,n+1}, I_{3,n+1}, I_{4,n+1},$$

sunt X_1, X_2, X_3 .

Correspondența dintre cei 2 biți $Z_{0,p}, Z_{1,p}, p=n, n+1, n+2, n+3, n+4, n+5$ și subseturile 2-D este prezentată în Tabelul 4.1 iar funcționarea convertorului de bit este prezentată în Tabelul 4.11.

Am notat cu S_i subseturile 12-D și astfel indexul i este furnizat de relația (vezi relația 4.60) [42]:

$$i = 16Y_{0,n} + 8I_{1,n} + 4I_{2,n} + 2I_{3,n} + I_{4,n}, i = 0, 1, \dots, 31$$

Codorul bloc folosește cei 31 biți $I_{5,n+1}, I_{6,n+1}, I_{7,n+1}, I_{1,n+2}, I_{2,n+2}, I_{3,n+2}, I_{4,n+2}, I_{5,n+2}, I_{6,n+2}, I_{7,n+2}, I_{1,n+3}, I_{2,n+3}, I_{3,n+3}, I_{4,n+3}, I_{5,n+3}, I_{6,n+3}, I_{7,n+3}, I_{1,n+4}, I_{2,n+4}, I_{3,n+4}, I_{4,n+4}, I_{5,n+4}, I_{6,n+4}, I_{7,n+4}, I_{1,n+5}, I_{2,n+5}, I_{3,n+5}, I_{4,n+5}, I_{5,n+5}, I_{6,n+5}, I_{7,n+5}$ pentru a genera 6 grupuri de câte 6 biți fiecare:

$$Z_{2,p}, Z_{3,p}, Z_{4,p}, Z_{5,p}, Z_{6,p}, Z_{7,p}, p=n, n+1, n+2, n+3, n+4, n+5 \quad (4.146)$$

care selectează pentru fiecare din cele 6 subseturi 2-D utilizate, punctul de semnal 2-D care va fi transmis. Funcționarea codorului bloc este prezentată în Tabelul 4.20.

Cîștigul de codare asimptotic al codului TCM 12-D față de o transmisie necodată este conform relației (4.134):

$$\gamma = 10 \log_{10} \left(\frac{4}{1,098} \right) \cong 5,61722 \text{ [dB]} \quad (4.147)$$

Tabelul 4.1 Correspondența dintre cei 2 biți $Z_{0,p}, Z_{1,p}$ și subseturile 2-D

Subset 2-D	$Z_{0,p}$	$Z_{1,p}$
A	0	0
B	0	1
C	1	0
D	1	1

Tabelul 4.11 Convertorul de bit

Subset 12-D	Y_{0n}	I_{1n}	I_{2n}	I_{3n}	I_{4n}	I_{5n}	I_{6n}	I_{7n}	Tip 12-D	$I_{1,n+1}$	$I_{2,n+1}$	$V_{3,n+1}$	$V_{4,n+1}$	Z_{0n}	Z_{1n}	$Z_{0,n+1}$	$Z_{1,n+1}$	$Z_{0,n+2}$	$Z_{1,n+2}$	$Z_{0,n+3}$	$Z_{1,n+3}$	$Z_{0,n+4}$	$Z_{1,n+4}$	$Z_{0,n+5}$	$Z_{1,n+5}$
0	0	0	0	0	0	0	0	0	(0,0)	0	0	0	0	0	0	0	0	0	0	0	0	0	0	0	0
	0	0	0	0	0	0	0	0		0	0	0	0	0	0	0	0	0	0	0	0	0	0	0	0
	0	0	0	0	0	0	0	0		0	0	0	0	0	0	0	0	0	0	0	0	0	0	0	0
	0	0	0	0	0	0	0	0		0	0	0	0	0	0	0	0	0	0	0	0	0	0	0	0
	0	0	0	0	0	0	0	0		0	0	0	0	0	0	0	0	0	0	0	0	0	0	0	0
	0	0	0	0	0	0	0	0		0	0	0	0	0	0	0	0	0	0	0	0	0	0	0	0
	0	0	0	0	0	0	0	0		0	0	0	0	0	0	0	0	0	0	0	0	0	0	0	0
	0	0	0	0	0	0	0	0		0	0	0	0	0	0	0	0	0	0	0	0	0	0	0	0
	0	0	0	0	0	0	0	0		0	0	0	0	0	0	0	0	0	0	0	0	0	0	0	0
	0	0	0	0	0	0	0	0		0	0	0	0	0	0	0	0	0	0	0	0	0	0	0	0
	0	0	0	0	0	0	0	0		0	0	0	0	0	0	0	0	0	0	0	0	0	0	0	0
	0	0	0	0	0	0	0	0		0	0	0	0	0	0	0	0	0	0	0	0	0	0	0	0
	0	0	0	0	0	0	0	0		0	0	0	0	0	0	0	0	0	0	0	0	0	0	0	0
	0	0	0	0	0	0	0	0		0	0	0	0	0	0	0	0	0	0	0	0	0	0	0	0
	0	0	0	0	0	0	0	0		0	0	0	0	0	0	0	0	0	0	0	0	0	0	0	0
	0	0	0	0	0	0	0	0		0	0	0	0	0	0	0	0	0	0	0	0	0	0	0	0
	0	0	0	0	0	0	0	0		0	0	0	0	0	0	0	0	0	0	0	0	0	0	0	0
	0	0	0	0	0	0	0	0		0	0	0	0	0	0	0	0	0	0	0	0	0	0	0	0
	0	0	0	0	0	0	0	0		0	0	0	0	0	0	0	0	0	0	0	0	0	0	0	0
	0	0	0	0	0	0	0	0		0	0	0	0	0	0	0	0	0	0	0	0	0	0	0	0
	0	0	0	0	0	0	0	0		0	0	0	0	0	0	0	0	0	0	0	0	0	0	0	0
	0	0	0	0	0	0	0	0		0	0	0	0	0	0	0	0	0	0	0	0	0	0	0	0
	0	0	0	0	0	0	0	0		0	0	0	0	0	0	0	0	0	0	0	0	0	0	0	0
	0	0	0	0	0	0	0	0		0	0	0	0	0	0	0	0	0	0	0	0	0	0	0	0
	0	0	0	0	0	0	0	0		0	0	0	0	0	0	0	0	0	0	0	0	0	0	0	0

Tabelul 4.20 Codorul bloc

Z _{3,pr2}	Z _{6,pr2}	Z _{7,pr2}	Z _{2,pr3}	Z _{3,pr3}	Z _{4,pr3}	Z _{5,pr3}	Z _{6,pr3}	Z _{7,pr3}	Z _{2,pr4}	Z _{3,pr4}	Z _{4,pr4}	Z _{5,pr4}	Z _{6,pr4}	Z _{7,pr4}	Z _{2,pr5}	Z _{3,pr5}	Z _{4,pr5}	Z _{5,pr5}	Z _{6,pr5}	Z _{7,pr5}
I _{4,pr3}	I _{5,pr3}	I _{6,pr3}	0	I _{7,pr3}	I _{1,pr4}	I _{2,pr4}	I _{3,pr4}	I _{4,pr4}	0	I _{5,pr4}	I _{6,pr4}	I _{7,pr4}	I _{1,pr5}	I _{2,pr5}	0	I _{3,pr5}	I _{4,pr5}	I _{5,pr5}	I _{6,pr5}	I _{7,pr5}
I _{4,pr3}	I _{5,pr3}	I _{6,pr3}	0	I _{7,pr3}	I _{1,pr4}	I _{2,pr4}	I _{3,pr4}	I _{4,pr4}	0	I _{5,pr4}	I _{6,pr4}	I _{7,pr4}	I _{1,pr5}	I _{2,pr5}	0	I _{3,pr5}	I _{4,pr5}	I _{5,pr5}	I _{6,pr5}	I _{7,pr5}
I _{4,pr3}	I _{5,pr3}	I _{6,pr3}	0	I _{7,pr3}	I _{1,pr4}	I _{2,pr4}	I _{3,pr4}	I _{4,pr4}	0	I _{5,pr4}	I _{6,pr4}	I _{7,pr4}	I _{1,pr5}	I _{2,pr5}	0	I _{3,pr5}	I _{4,pr5}	I _{5,pr5}	I _{6,pr5}	I _{7,pr5}
I _{4,pr3}	I _{5,pr3}	I _{6,pr3}	0	I _{7,pr3}	I _{1,pr4}	I _{2,pr4}	I _{3,pr4}	I _{4,pr4}	0	I _{5,pr4}	I _{6,pr4}	I _{7,pr4}	I _{1,pr5}	I _{2,pr5}	0	I _{3,pr5}	I _{4,pr5}	I _{5,pr5}	I _{6,pr5}	I _{7,pr5}
0	I _{5,pr3}	I _{6,pr3}	0	I _{7,pr3}	I _{1,pr4}	I _{2,pr4}	I _{3,pr4}	I _{4,pr4}	0	I _{5,pr4}	I _{6,pr4}	I _{7,pr4}	I _{1,pr5}	I _{2,pr5}	0	I _{3,pr5}	I _{4,pr5}	I _{5,pr5}	I _{6,pr5}	I _{7,pr5}
1	0	0	0	I _{7,pr3}	I _{1,pr4}	I _{2,pr4}	I _{3,pr4}	I _{4,pr4}	0	I _{5,pr4}	I _{6,pr4}	I _{7,pr4}	I _{1,pr5}	I _{2,pr5}	0	I _{3,pr5}	I _{4,pr5}	I _{5,pr5}	I _{6,pr5}	I _{7,pr5}
I _{7,pr3}	I _{1,pr4}	I _{2,pr4}	1	0	0	0	0	I _{4,pr4}	0	I _{5,pr4}	I _{6,pr4}	I _{7,pr4}	I _{1,pr5}	I _{2,pr5}	0	I _{3,pr5}	I _{4,pr5}	I _{5,pr5}	I _{6,pr5}	I _{7,pr5}
I _{2,pr4}	I _{3,pr4}	I _{4,pr4}	1	0	0	1	0	0	0	I _{5,pr4}	I _{6,pr4}	I _{7,pr4}	I _{1,pr5}	I _{2,pr5}	0	I _{3,pr5}	I _{4,pr5}	I _{5,pr5}	I _{6,pr5}	I _{7,pr5}
I _{7,pr3}	I _{1,pr4}	I _{2,pr4}	0	I _{3,pr4}	I _{4,pr4}	I _{5,pr4}	I _{6,pr4}	I _{7,pr4}	0	I _{1,pr5}	I _{2,pr5}	I _{3,pr5}	I _{4,pr5}	I _{5,pr5}	0	I _{3,pr5}	I _{4,pr5}	I _{5,pr5}	I _{6,pr5}	I _{7,pr5}
I _{2,pr4}	I _{3,pr4}	I _{4,pr4}	0	I _{5,pr4}	I _{6,pr4}	I _{7,pr4}	I _{1,pr5}	I _{2,pr5}	1	0	0	1	0	0	0	I _{3,pr5}	I _{4,pr5}	I _{5,pr5}	I _{6,pr5}	I _{7,pr5}
I _{7,pr3}	I _{1,pr4}	I _{2,pr4}	0	I _{3,pr4}	I _{4,pr4}	I _{5,pr4}	I _{6,pr4}	I _{7,pr4}	0	I _{1,pr5}	I _{2,pr5}	I _{3,pr5}	I _{4,pr5}	I _{5,pr5}	1	0	0	0	I _{6,pr5}	I _{7,pr5}
I _{2,pr4}	I _{3,pr4}	I _{4,pr4}	0	I _{5,pr4}	I _{6,pr4}	I _{7,pr4}	I _{1,pr5}	I _{2,pr5}	0	I _{3,pr5}	I _{4,pr5}	I _{5,pr5}	I _{6,pr5}	I _{7,pr5}	1	0	0	1	0	0
I _{4,pr3}	I _{5,pr3}	I _{6,pr3}	0	I _{7,pr3}	I _{1,pr4}	I _{2,pr4}	I _{3,pr4}	I _{4,pr4}	0	I _{5,pr4}	I _{6,pr4}	I _{7,pr4}	I _{1,pr5}	I _{2,pr5}	0	I _{3,pr5}	I _{4,pr5}	I _{5,pr5}	I _{6,pr5}	I _{7,pr5}
I _{4,pr3}	I _{5,pr3}	I _{6,pr3}	0	I _{7,pr3}	I _{1,pr4}	I _{2,pr4}	I _{3,pr4}	I _{4,pr4}	0	I _{5,pr4}	I _{6,pr4}	I _{7,pr4}	I _{1,pr5}	I _{2,pr5}	0	I _{3,pr5}	I _{4,pr5}	I _{5,pr5}	I _{6,pr5}	I _{7,pr5}

CAPITOLUL V

Modemuri analogice de bandă vocală cu modulație codată trellis multidimensională

5.1 Schema bloc funcțională

Schema bloc funcțională a unui modem analogic de bandă vocală cu TCM multidimensională 2N-D am prezentat-o în Fig.5.1 [58].

5.1.1 Cifratorul și decifratorul

Cifratorul (scrambler) are 2 funcții:

- facilitarea regenerării semnalului de tact la recepție,
- distribuirea uniformă a energiei semnalului modulat QAM (Quadrature Amplitude Modulation) în întreaga bandă de frecvențe a canalului de comunicații.

Cifratorul este un registru de deplasare liniar cu reacție înapoi și este definit de un **polinom generator (generating polynomial)** [17]:

⇒ pentru modemul chemător: $GPC=1+x^{-18}+x^{-23}$ (Generating Polynomial Calling modem),

⇒ pentru modemul chemat: $GPA=1+x^{-5}+x^{-23}$ (Generating Polynomial Answering modem).

Cifratorul aleatorizează **secvența binară de date de intrare** $\{b_n\}$ adică convertește această secvență într-o **secvență binară pseudoaleatoare** $\{c_n\}$ cu perioada $2^{23}-1=8\ 388\ 607$ biți. O astfel de secvență binară pseudoaleatoare lungă nu necesită utilizarea unui **polinom de gardă** pentru a preveni apariția la ieșirea cifratorului a unor structuri de bit repetate.

La transmisie, polinomul care reprezintă secvența de mesaj, se divide la polinomul generator GPC/GPA iar coeficienții cîtului luați în ordine descrescătoare formează secvența de date transmisă (Fig.5.2).

La recepție, polinomul care reprezintă secvența de date recepționată, se multiplică cu polinomul generator GPC/GPA iar coeficienții produsului luați în ordine descrescătoare formează secvența de mesaj (Fig.5.3).

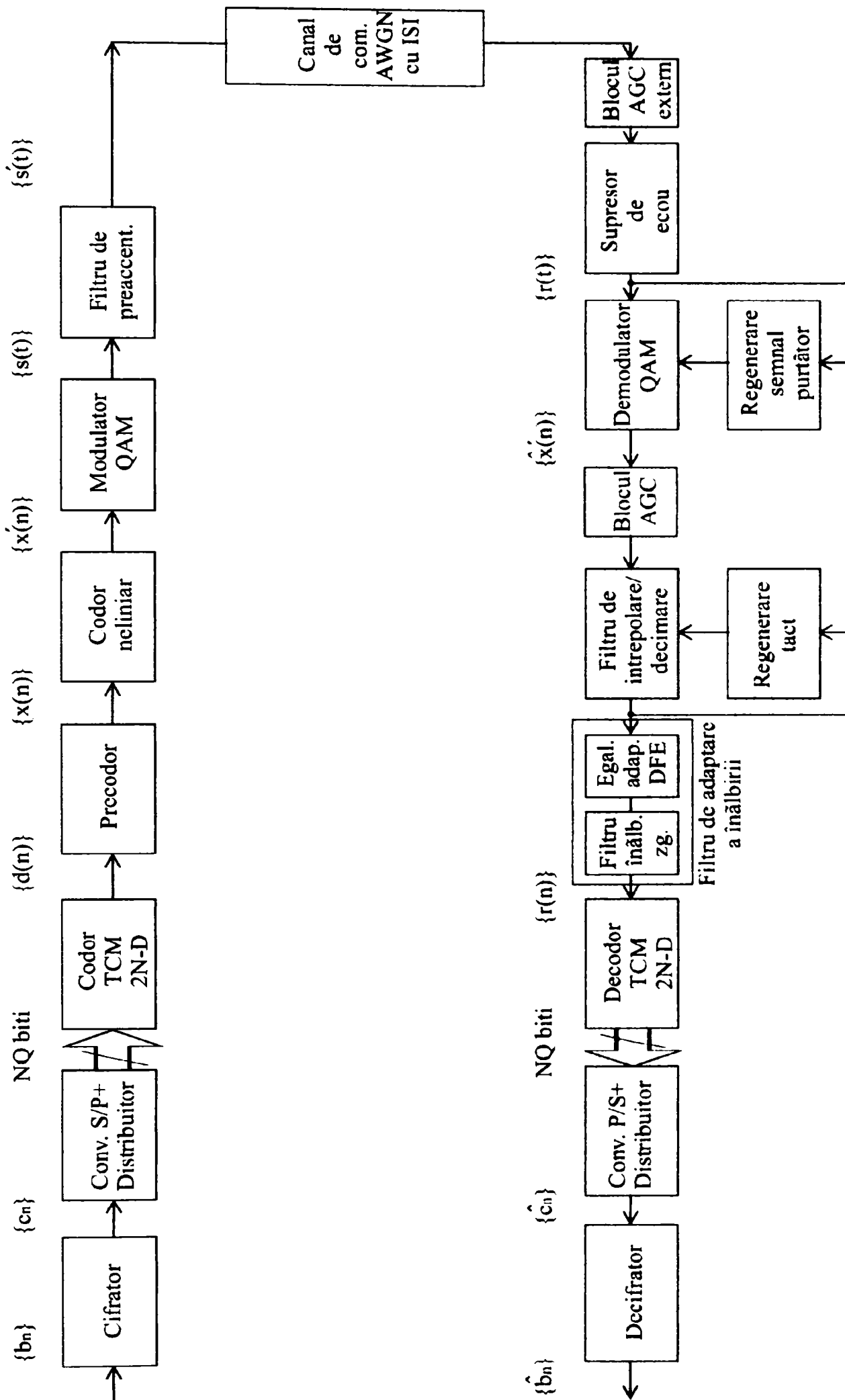
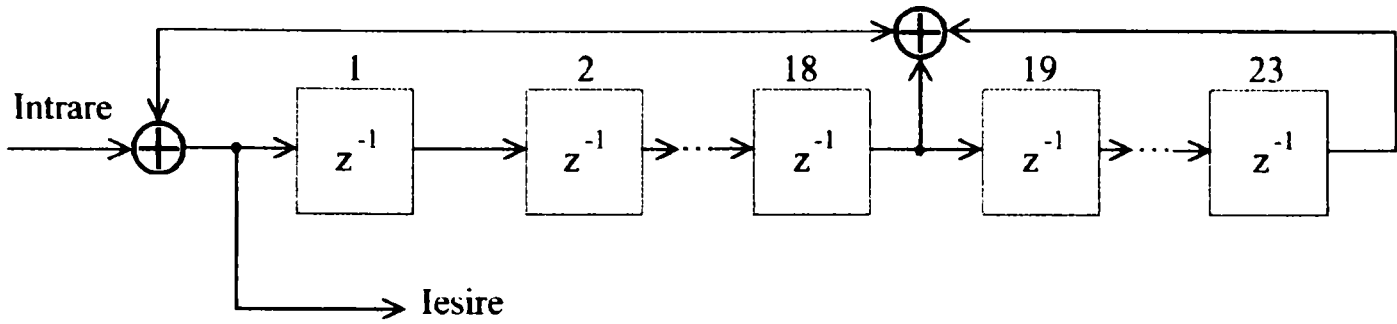
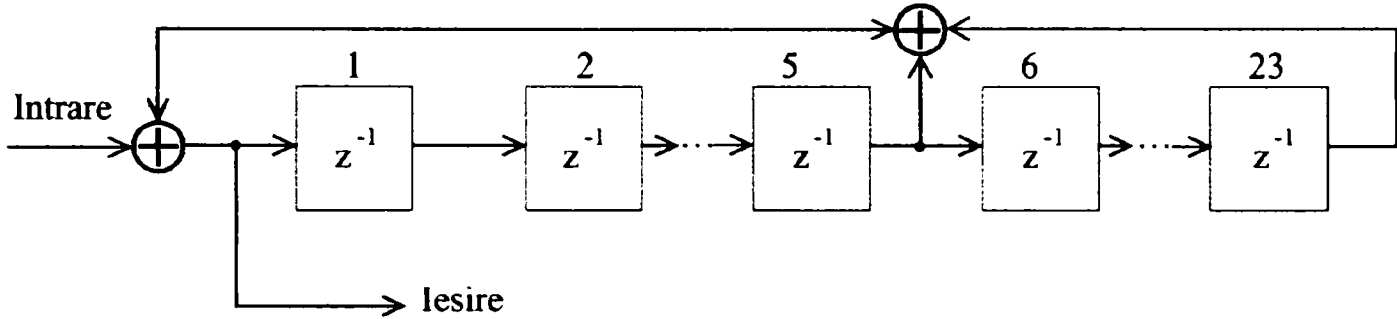


Fig.5.1 Schema bloc funcțională a unui modem analogic de bandă vocală cu TCM multidimensională 2N-D.

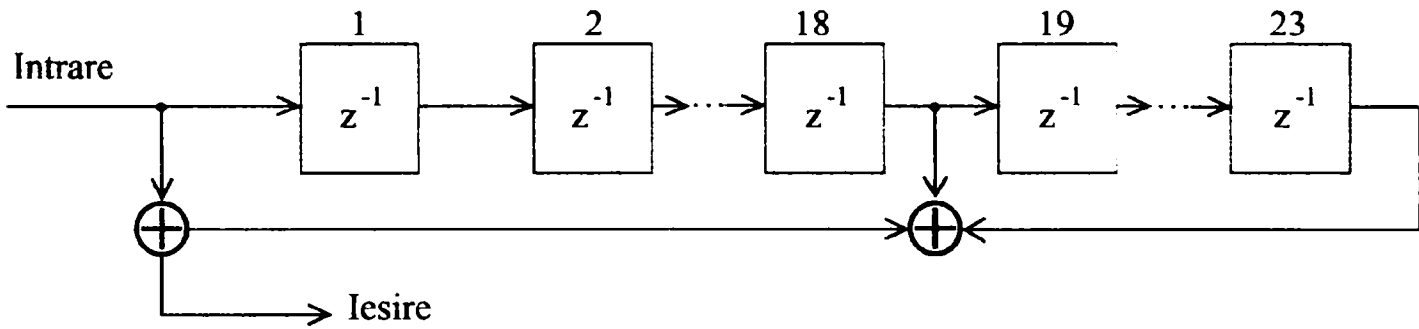


a) modem chemator

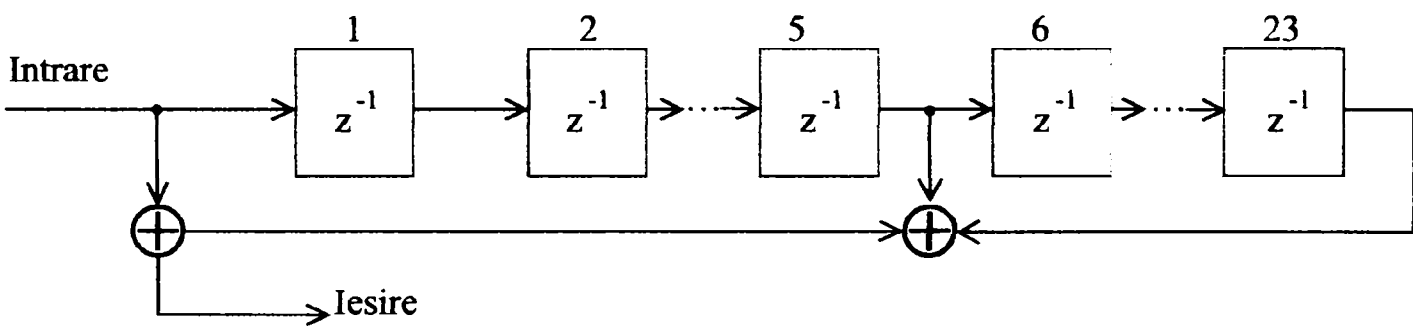


b) modem chemat

Fig.5.2 Cifrator (scrambler).



a) modem chemator



b) modem chemat

Fig.5.3 Decifrator (descrambler).

5.1.2 Convertorul serie/paralel și convertorul paralel/serie

La transmisie, **convertorul serie/paralel (S/P)**, care este un registru de deplasare de lungime Q biți, realizează conversia serie/paralel a secvenței binare $\{c_n\}$ de la ieșirea cifratorului.

Pentru fiecare interval de semnalizare 2-D (interval de simbol 2-D) dintr-un grup de N intervale de semnalizare 2-D, distribuitorul asigură transmiterea celor Q biți de la ieșirea convertorului S/P spre cele Q intrări corespunzătoare ale codorului TCM 2N-D (Fig.5.4).

La recepție, pentru fiecare interval de semnalizare 2-D dintr-un grup de N intervale de semnalizare 2-D, distribuitorul asigură transmiterea celor Q biți de la ieșirile corespunzătoare ale decodorului TCM 2N-D spre cele Q intrări ale **convertorului paralel/serie (P/S)**.

Convertorul P/S, care este un registru de deplasare de lungime Q biți, realizează conversia paralel/serie a secvenței binare de la ieșirea decodorului TCM 2N-D (Fig.5.5).

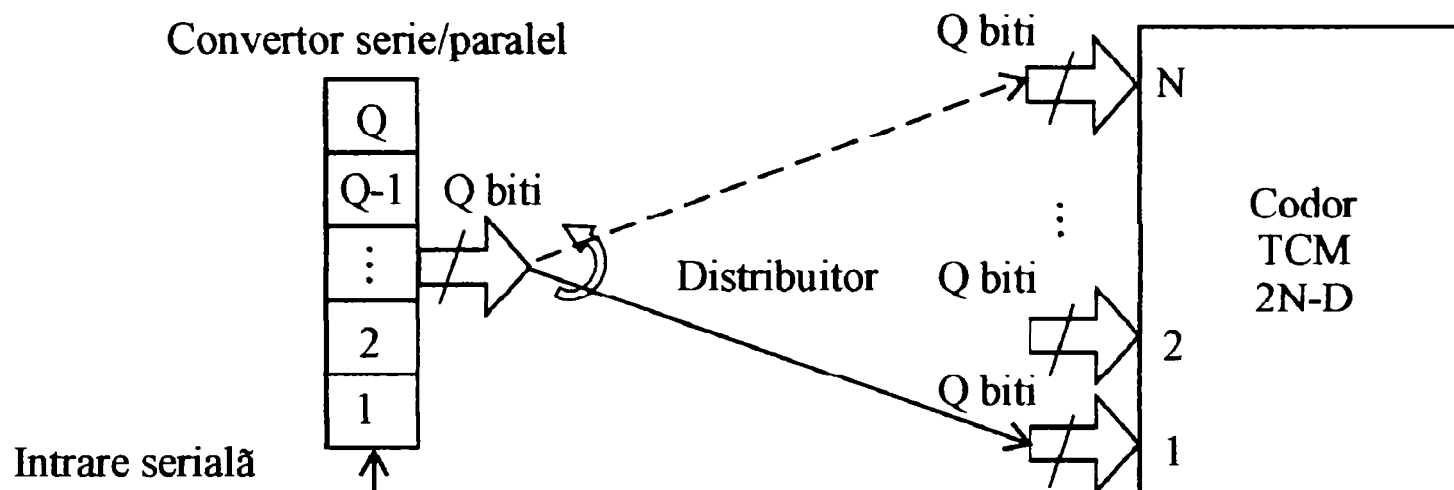


Fig.5.4 Convertor S/P + distribuitor.

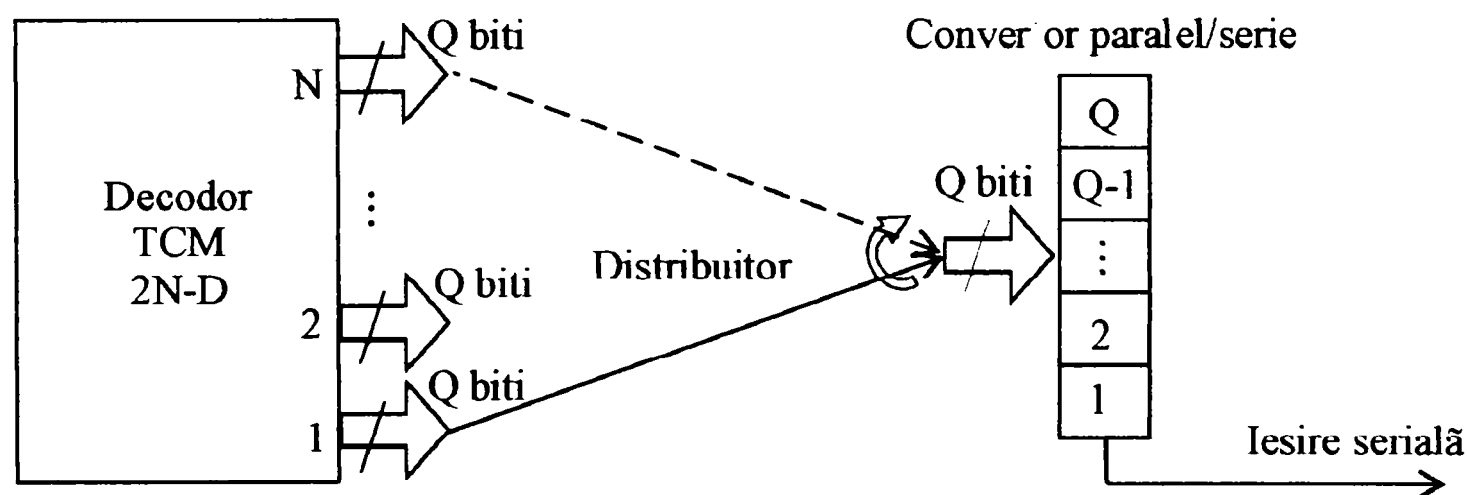


Fig.5.5 Convertor P/S + distribuitor.

5.1.3 Codorul neliniar

Distorsiunile neliniare sunt cauzate de cuantizarea de la codarea PCM (Pulse Code Modulation), a semnalelor analogice de bandă vocală, la intrarea într-o porțiune digitală a PSTN și/sau de unele componente analogice (bobine de încărcare, transformatoare de linie) prezente în PSTN.

Întrucât distorsiunile neliniare afectează punctele de semnal 2-D din OG mai mult decât punctele de semnal 2-D din IG, **codarea neliniară (warping)** mărește imunitatea la zgomot a punctelor de semnal 2-D din OG și micșorează imunitatea la

zgomot a punctelor de semnal 2-D din IG.

Cu alte cuvinte, codarea neliniară întinde porțiunea OG și strânge porțiunea IG a constelației de semnale 2-D [45, 55] (Fig.5.6).

În consecință, se mărește distanța euclidiană medie dintre punctele de semnal 2-D din OG și se micșorează distanța euclidiană medie dintre punctele de semnal 2-D din IG.

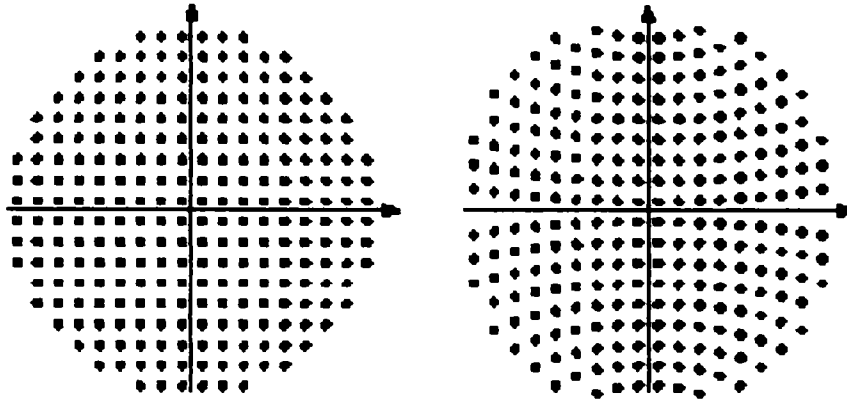


Fig.5.6 Efectul codării neliniare asupra constelației de semnale 2-D.

Secvența de intrare $\{x(n)\}$ este codată neliniar conform relației [17]:

$$x'(n) = \Phi(n) x(n) \quad (5.1)$$

unde:

$$\left\{ \begin{array}{l} \Phi(n) = 1 + \frac{\xi(n)}{6} + \frac{\xi^2(n)}{120} \text{ este funcția de proiecție neliniară,} \\ \xi(n) = \delta \frac{[x_r^2(n) + x_i^2(n)]}{[x_r^2(n) + x_i^2(n)]}, \end{array} \right. \quad (5.2)$$

$[x_r^2(n) + x_i^2(n)]$ este energia medie a secvenței de intrare $\{x(n)\}$,

δ este o constantă care se selectează în faza 4 a procedurii de negociere dintre modemul local și modemul distant și poate fi 0 sau 0,3125 [17].

5.1.4 Filtrul de preaccentuare

În faza 2 a procedurii de negociere dintre modemul local și modemul distant se determină [17]:

\Rightarrow rata de bit = D_b [bit/s]

\Rightarrow rata de simbol = v_m [Baud] sau [simboluri/s]:

$$v_m = \frac{a}{c} 2400 \pm 0,01\% \quad (5.3)$$

unde a și c sunt constante (Tabelul 5.1)

⇒ frecvența semnalului purtător = f_p [Hz]:

$$f_p = \frac{d}{e} v_m \quad (5.4)$$

unde d și e sunt constante (Tabelul 5.2).

Tabelul 5.1

v_m [Baud]	a	c
2400	1	1
2743	8	7
2800	7	6
3000	5	4
3200	4	3
3429	10	7

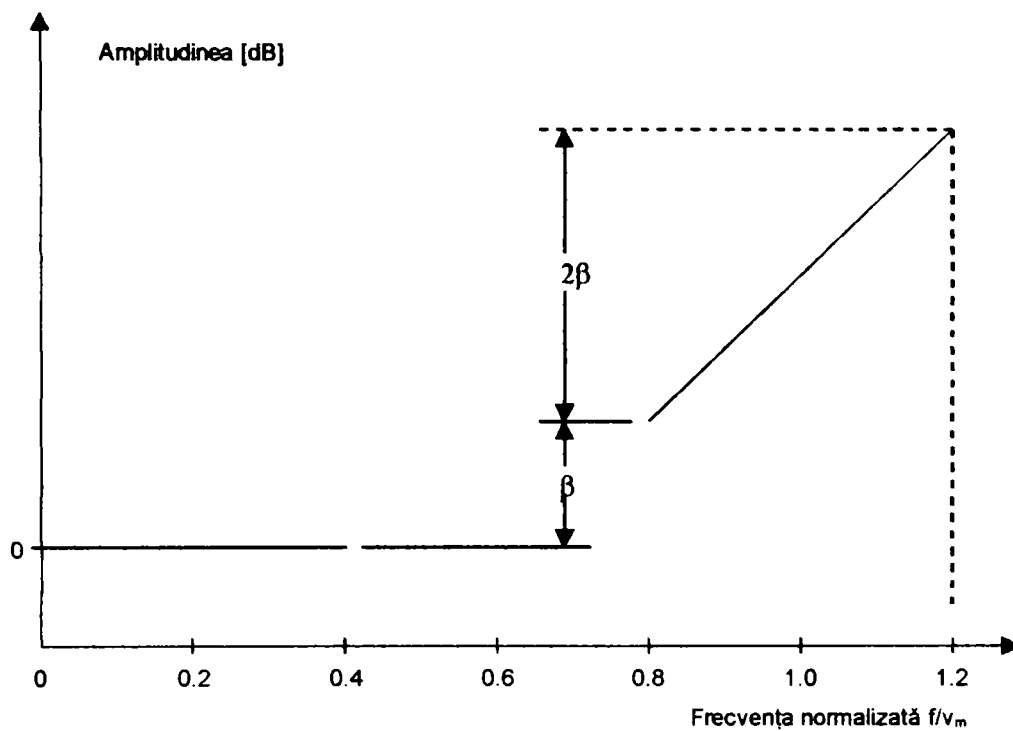
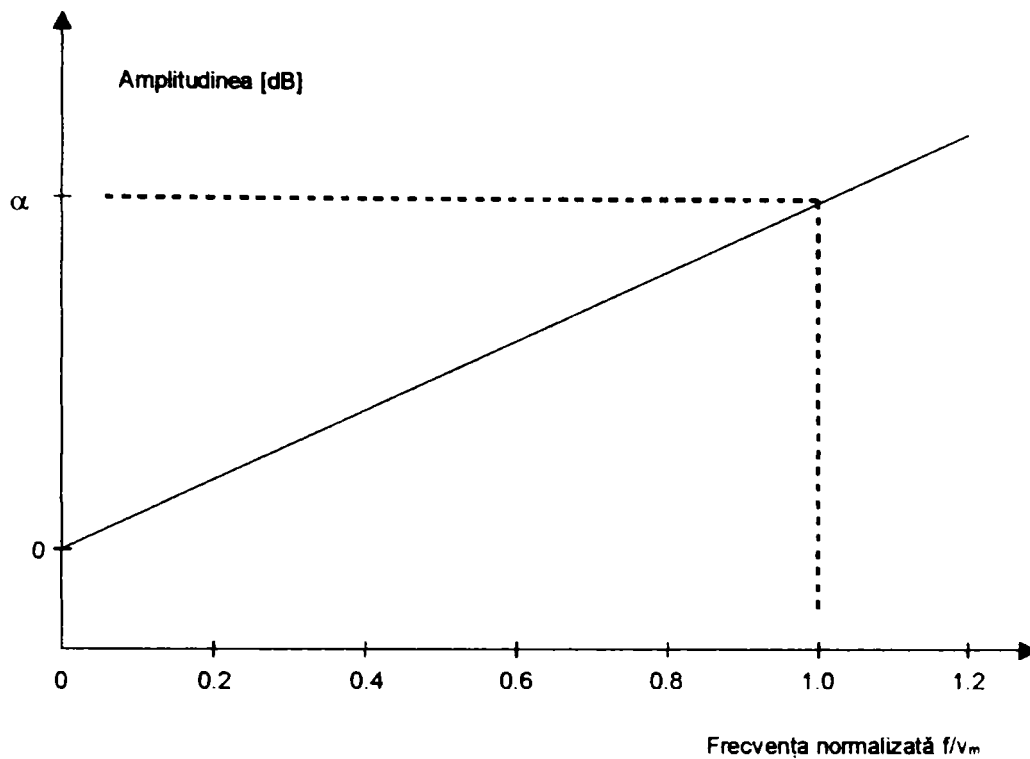
Tabelul 5.2

v_m [Baud]	Joasă frecvență			Înaltă frecvență		
	f_p [Hz]	d	e	f_p [Hz]	d	e
2400	1600	2	3	1800	3	4
2743	1646	3	5	1829	2	3
2800	1680	3	5	1867	2	3
3000	1800	3	5	2000	2	3
3200	1829	4	7	1920	3	5
3429	1959	4	7	1959	4	7

Filtrul de preaccentuare folosit este specificat printr-un index numeric $i=0,1,2,\dots,10$ care este furnizat de modemul distant în faza 2 a procedurii de negociere [17].

Amplitudinea spectrului de putere a semnalului transmis $s'(t)$ trebuie să se încadreze între limitele precizate de graficele următoare pentru o frecvență normalizată

$$\frac{f}{v_m} \in \left[\frac{d}{e} - 0,45; \frac{d}{e} + 0,45 \right] \text{ (Fig.5.7 și Tabelul 5.3).}$$



NOTĂ – Toleranța pentru amplitudinea spectrului de putere a semnalului transmis este ± 1 dB

Fig. 5.7 Amplitudinea spectrului de putere a semnalului transmis.

Tabelul 5.3 Indexul numeric al filtrului de preaccentuare

Index numeric	α [dB]	β [dB]
0	0	-
1	2	-
2	4	-
3	6	-
4	8	-
5	10	-
6	-	0,5
7	-	1
8	-	1,5
9	-	2
10	-	2,5

5.1.5 Egalizarea adaptivă

Egalizarea este procedura prin care se compensează distorsiunile de amplitudine și de fază ale semnalului util introduse de canalul de comunicație.

Întrucât caracteristicile canalului de comunicație variază în timp se folosește o procedură de **egalizare adaptivă** care asigură o calitate constantă a transmisiei de date.

Se folosește o schemă de **egalizare adaptivă neliniară cu precodare Tomlinson-Harashima (THP=Tomlinson Harashima Precoding)** (Fig.5.8) [46, 47, 48].

Ideea este de împărți egalizarea adaptivă între transmițător și receptor. Receptorul de date calculează coeficienții optimați ai **egalizorului adaptiv cu reacție decizională (DFE=Decision Feedback Equalizer)** în faza 2 a procedurii de negociere, după care îi transmite la transmițător în faza 4 a procedurii de negociere [17]. Transmițătorul de date utilizează acești coeficienți de filtrare optimați pentru a **precoda (preegaliza)** semnalul util înainte de transmisia prin canalul de comunicație.

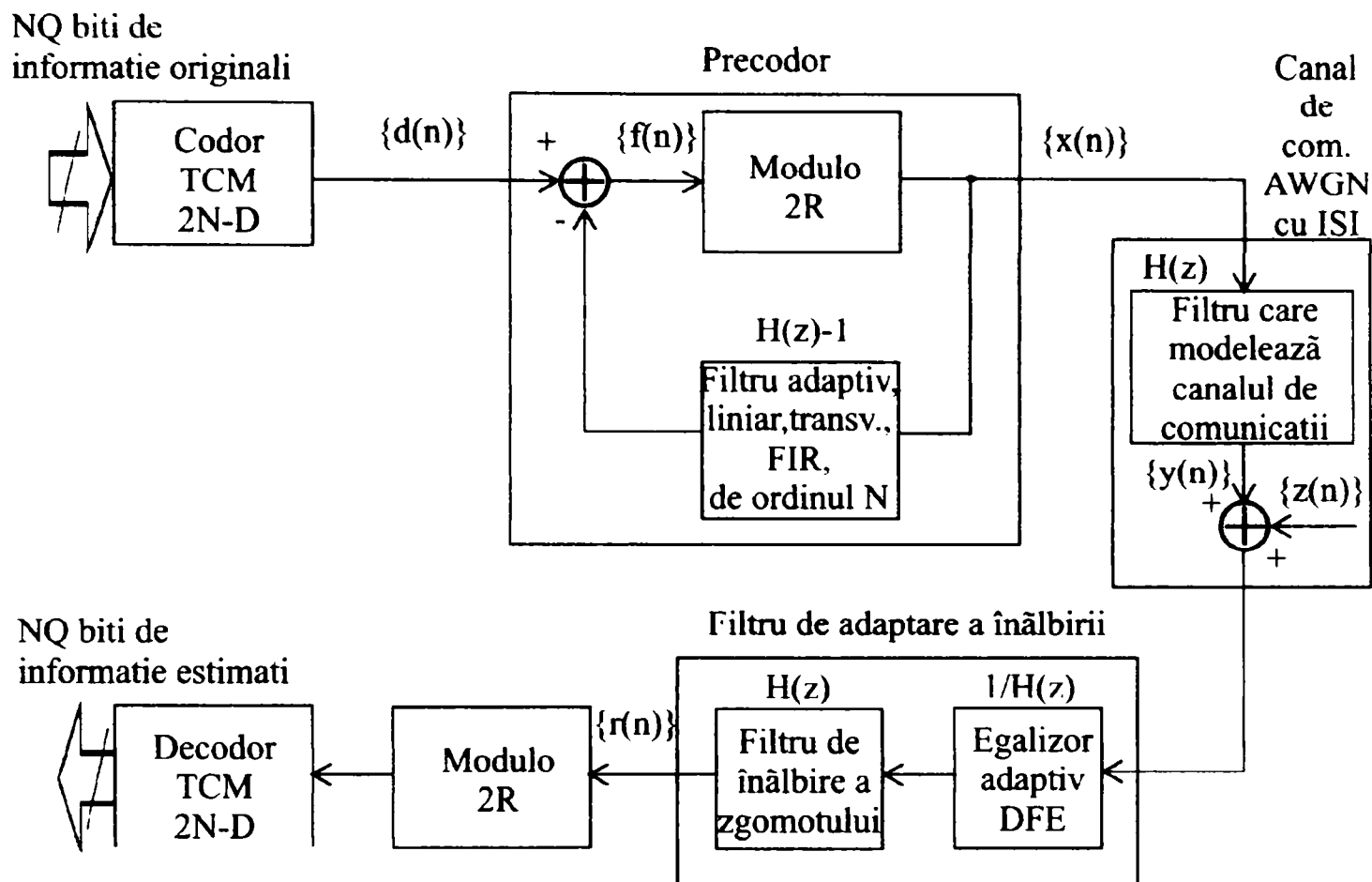


Fig.5.8 Schema de egalizare adaptivă neliniară cu precodare.

La transmisie secvența de date $\{d(n)\}$ de la ieșirea codorului TCM 2N-D, este precodată astfel încât la ieșirea precodorului se obține secvența transmisă $\{x(n)\}$.

La fiecare moment de timp discret n , se calculează simbolul $f(n)$ prin scăderea din simbolul de date curent $d(n)$ a contribuției ISI a simbolurilor transmise anterioare $\{x(n-i), i \geq 1\}$ [46, 47]:

$$f(n) = d(n) - \sum_{i \geq 1} h_i x(n - i) \tag{5.5}$$

unde $H(z) = 1 + h_1 z^{-1} + h_2 z^{-2} + \dots$ este funcția de transfer a canalului de comunicație modelat drept un canal AWGN cu ISI.

Simbolul transmis curent $x(n)$ se obține prin aplicarea operației modulo-2R [46, 47]:

$$x(n) = f(n) - a(n) = d(n) - \sum_{i \geq 1} h_i x(n - i) - a(n) \tag{5.6}$$

unde R este partea întreagă din R_2 ($R = [R_2]$) și simbolul $a(n) \in 2R\mathbf{Z}^2$.

Dacă se aplică transformata z se obține [46, 47]:

$$X(z) = F(z) - A(z) = D(z) - A(z) - X(z)[H(z) - 1] \Leftrightarrow X(z)H(z) = D(z) - A(z) \tag{5.7}$$

Dar $X(z)H(z) = Y(z)$ deci rezultă că [46, 47]:

$$Y(z)=D(z)-A(z) \quad (5.8)$$

În absența zgomotului secvența de la ieșirea canalului de comunicație este egală cu secvența de date modificată [46, 47]:

$$y(n)=d(n)-a(n), a(n) \in 2RZ^2 \quad (5.9)$$

Filtrul cu funcția de transfer $H(z)$, care modelează canalul de comunicație, include efectele codorului neliniar, modulatorului QAM, filtrului de preaccentuare, anulatoarelor de ecou, demodulatorului QAM, blocului AGC (Automatic Gain Control), filtrului de interpolare/decimare.

La recepție, egalizorul adaptiv DFE îndepărtează ISI iar **filtrul de înălbire a zgomotului (whitening noise filter)** (care de fapt este un filtru de predicție a erorii) reduce varianța zgomotului de la ieșirea egalizorului adaptiv DFE prin **câștigul de predicție**:

$$\gamma_p = \frac{1}{2\pi} \int_{-\pi}^{+\pi} \frac{1}{|H(f)|^2} df \quad (5.10)$$

unde $H(f)$ este funcția de transfer a filtrului care modelează canalul de comunicație.

Atenuarea introdusă la marginile benzii de frecvențe este:

$$\alpha = \frac{|H(\pi)|}{H(0)} \quad (5.11)$$

La ieșirea filtrului de înălbire a zgomotului, se obține secvența recepționată $\{r(n)\}$, care conține un zgomot aditiv, alb, gaussian:

$$R(z)=Y(z)+Z(z) \quad (5.12)$$

Urmează blocul care realizează operația modulo-2R și decodorul TCM 2N-D, pentru estimarea secvenței de date $\{\hat{d}(n)\}$ și a biților de informație originali.

Egalizorul adaptiv DFE se bazează pe următorul principiu = odată ce un simbol recepționat din canalul de comunicație fost estimat (detectat), contribuția ISI a acestui simbol la simbolurile recepționate ulterior, poate fi estimată și îndepărtată înainte de estimarea (detecția) simbolurilor recepționate ulterior [50].

Schema bloc a egalizorului adaptiv DFE este prezentată în Fig.5.9.

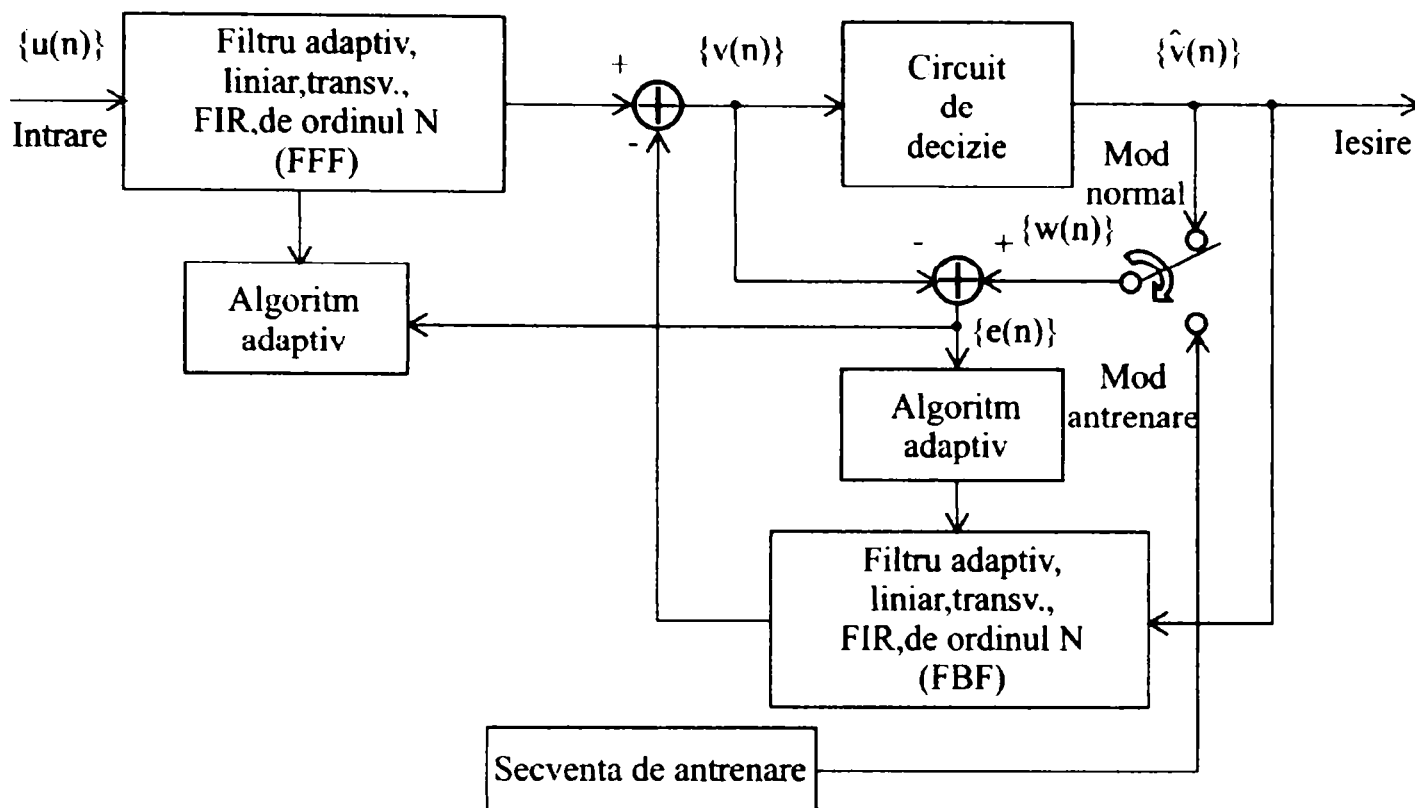


Fig.5.9 Schema bloc a egalizorului adaptiv DFE.

Am notat:

- ⇒ $\{u(n)\}$ = secvența recepționată din canalul de comunicație,
- ⇒ $\{v(n)\}$ = secvența egalizată,
- ⇒ $\{w(n)\}$ = secvența estimată $\{\hat{v}(n)\}$ în modul normal sau secvența de antrenare în modul antrenare,
- ⇒ $\{e(n)\}$ = secvența eroare de estimare:

$$e(n) = w(n) - v(n) \quad (5.13)$$

Înainte de transmisia de date propriu-zisă nu se cunosc caracteristicile canalului de comunicație. Din aceste motive egalizorul adaptiv DFE trece în **modul antrenare (training mode)**, în care se transmite o **secvență de antrenare (training sequence)**, pentru a colecta informații despre caracteristicile canalului de comunicație. Astfel se colectează o secvență eroare de estimare $\{e(n)\}$, care se folosește la ajustarea sincronă a coeficienților de filtrare ai filtrului cu reacție cu conexiune înainte și a filtrului cu reacție cu conexiune înapoi, în scopul minimizării **erorii de estimare medii pătratice (MSE=Mean Squared Error)**.

Circuitul de decizie (Slicer) estimează, pentru fiecare simbol din secvența egalizată $\{v(n)\}$, care a fost simbolul cel mai probabil transmis dintr-un set disponibil de simboluri.

Filtrul cu reacție cu conexiune înainte (Feedforward Filter=FFF) filtrează secvența recepționată din canalul de comunicație $\{u(n)\}$, astfel încât să se obțină o eroare de estimare medie pătratică minimă, deci secvența estimată $\{\hat{v}(n)\}$ să fie corectă cu o probabilitate maximă.

Filtrul cu reacție cu conexiune înapoi (Feedbackward Filter=FBF) înlătură contribuția ISI a fiecărui simbol estimat la simbolurile recepționate ulterior.

5.1.6 Modulatorul QAM. Demodulatorul QAM. Blocul de refacere a semnalului purtător

Modulația de amplitudine în cuadratură (Quadrature Amplitude Modulation) este o tehnică de modulație care combină modulația de amplitudine și modulația de fază, în sensul că informația pe care dorim să o transmitem prin canalul de comunicație se reprezintă prin variații de amplitudine și schimbări de fază ale unui semnal purtător.

Schema bloc a modulatorului QAM este următoarea:

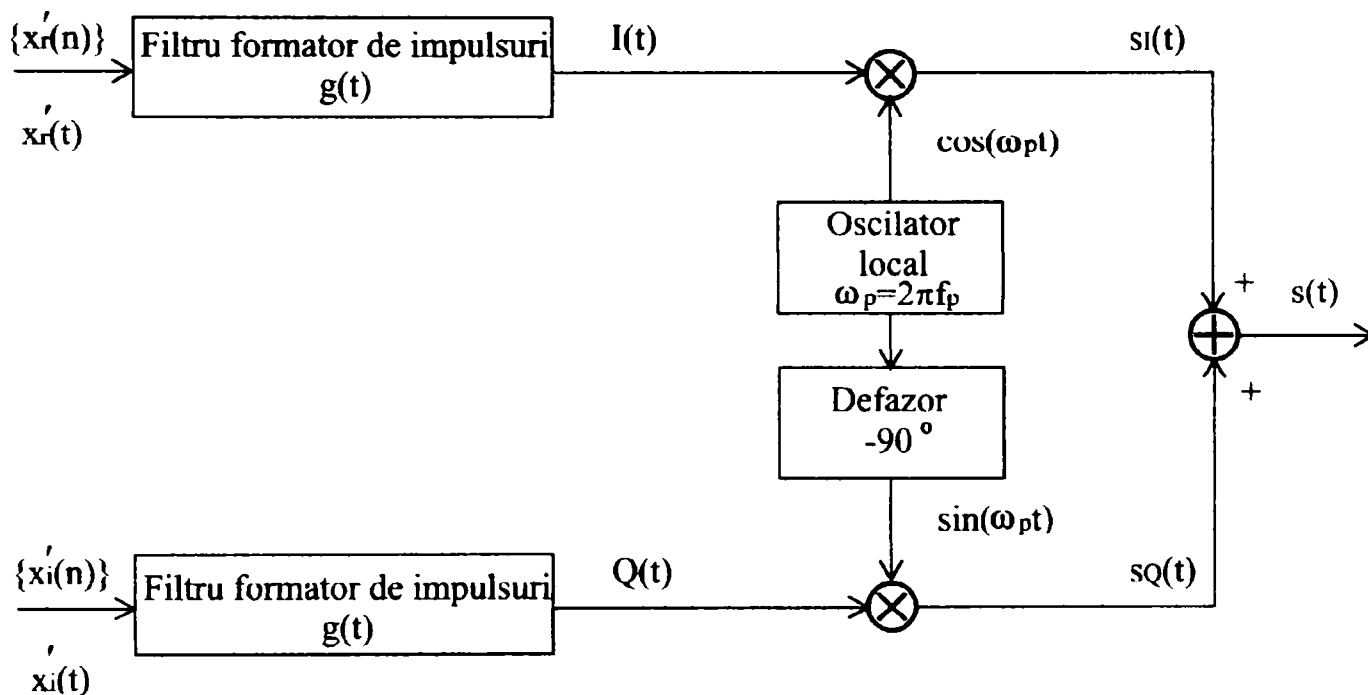


Fig.5.10 Modulatorul QAM.

La momentul de timp discret n , simbolul de informație complex:

$$x'(n) = x_r'(n) + jx_i'(n) \quad (5.14)$$

reprezintă punctul de semnal 2-D cu coordonatele $(x_r'(n), x_i'(n))$, unde $x_r'(n), x_i'(n)$ sunt numere reale.

La intrarea **filtrelor formatoare de impulsuri (Pulse Shaping Filter)** avem [39]:

$$\begin{cases} x_r'(t) = \sum_n x_r'(n) \delta(t - nT_s) = \text{semnalul modulator în fază} \\ x_i'(t) = \sum_n x_i'(n) \delta(t - nT_s) = \text{semnalul modulator în cuadratură} \end{cases} \quad (5.15)$$

unde $\delta(t)$ este impulsul Dirac = $\begin{cases} 1, t = 0 \\ 0, t \neq 0 \end{cases}$ iar T_s este durata simbolului de informație.

La ieșirea filtrelor formatoare de impulsuri (Pulse Shaping Filter) avem [39]:

$$\begin{cases} I(t) = \sum_n x_r'(n) g(t - nT_s) = \text{semnalul modulator în fază} \\ Q(t) = \sum_n x_i'(n) g(t - nT_s) = \text{semnalul modulator în cuadratură} \end{cases} \quad (5.16)$$

unde $g(t)$ este răspunsul la impuls a filtrelor formatoare de impulsuri (care sunt identice).

Semnalul modulat QAM se obține prin înmulțirea semnalelor modulatorie în fază, respectiv în cuadratură, de la ieșirea filtrelor formatoare de impulsuri, cu componentele în fază, respectiv în cuadratură ale semnalului purtător și prin însumarea semnalelor rezultante [39]:

$$s(t) = s_I(t) + s_Q(t) = I(t) \cos(\omega_p t) + Q(t) \sin(\omega_p t) \quad (5.17)$$

unde $\omega_p = 2\pi f_p$ este pulsația semnalului purtător.

Componentele în fază și în cuadratură ale semnalului purtător sunt generate de un oscilator local și un defazor cu (-90°) .

Dacă răspunsul la impuls al filtrelor formatoare de impulsuri ar fi [39]:

$$g(t) = \text{rect}\left(\frac{t}{T_s}\right) = \begin{cases} 1, & |t| \leq \frac{T_s}{2} \\ 0, & |t| > \frac{T_s}{2} \end{cases} \leftrightarrow G(f) = T_s \text{sinc}(fT_s) \quad (5.18)$$

atunci durata răspunsului la impuls $g(t)$ este strict limitată la durata T_s a simbolului de informație dar spectrul de putere al semnalului modulat QAM ocupă o bandă de frecvențe infinită.

Întrucât funcția $\text{sinc}(fT_s)$ scade lent cu creșterea frecvenței f (cu rata $\cong \frac{1}{f}$), rezultă că este necesară o lățime de bandă B foarte mare a canalului de comunicație pentru a conține cea mai mare parte din puterea semnalului modulat QAM. De exemplu, pentru ca banda de frecvențe B să conțină 90% din puterea semnalului modulat QAM este necesar ca:

$$B \geq \frac{2}{T_s} \quad (5.19)$$

Dacă răspunsul la impuls al filtrelor formatoare de impulsuri ar fi [39]:

$$g(t) = \text{sinc}\left(\frac{t}{T_s}\right) \leftrightarrow G(f) = 2\pi T_s \text{rect}(fT_s) = \begin{cases} 2\pi T_s, & |f| \leq \frac{1}{2T_s} \\ 0, & |f| > \frac{1}{2T_s} \end{cases} \quad (5.20)$$

atunci spectrul de putere al semnalului modulat QAM este strict limitat la lățimea de bandă $B = \frac{1}{T_s}$ pe care o oferă canalul de comunicație, dar durata răspunsului la impuls $g(t)$ este infinită.

Întrucât răspunsul la impuls $g(t) = \text{sinc}\left(\frac{t}{T_s}\right)$ ia valori nule la momentele de timp egale cu multipli întregi ai T_s , rezultă că pentru a obține ISI=0 vom eșantiona semnalul modulat QAM la momente de timp $t=kT_s$, unde $k \in \mathbf{Z}$.

Practic este imposibil de a realiza și de a menține o sincronizare perfectă la recepție. În consecință, fiecare eșantion ale semnalului demodulat QAM, va conține urme ale eșantioanelor anterioare, sub forma unor de sume de eșantioane ale cozilor din jurul impulsurilor principale și deci ISI \neq 0 [39].

Deoarece sunt dificil de realizat practic filtre formatoare de impulsuri cu un răspuns la impuls $g(t) = \text{sinc}\left(\frac{t}{T_s}\right)$, se folosesc **filtre formatoare de impulsuri de tip cosinus ridicat (Raised Cosine Pulse Shaping Filter)** cu răspunsul la impuls [39]:

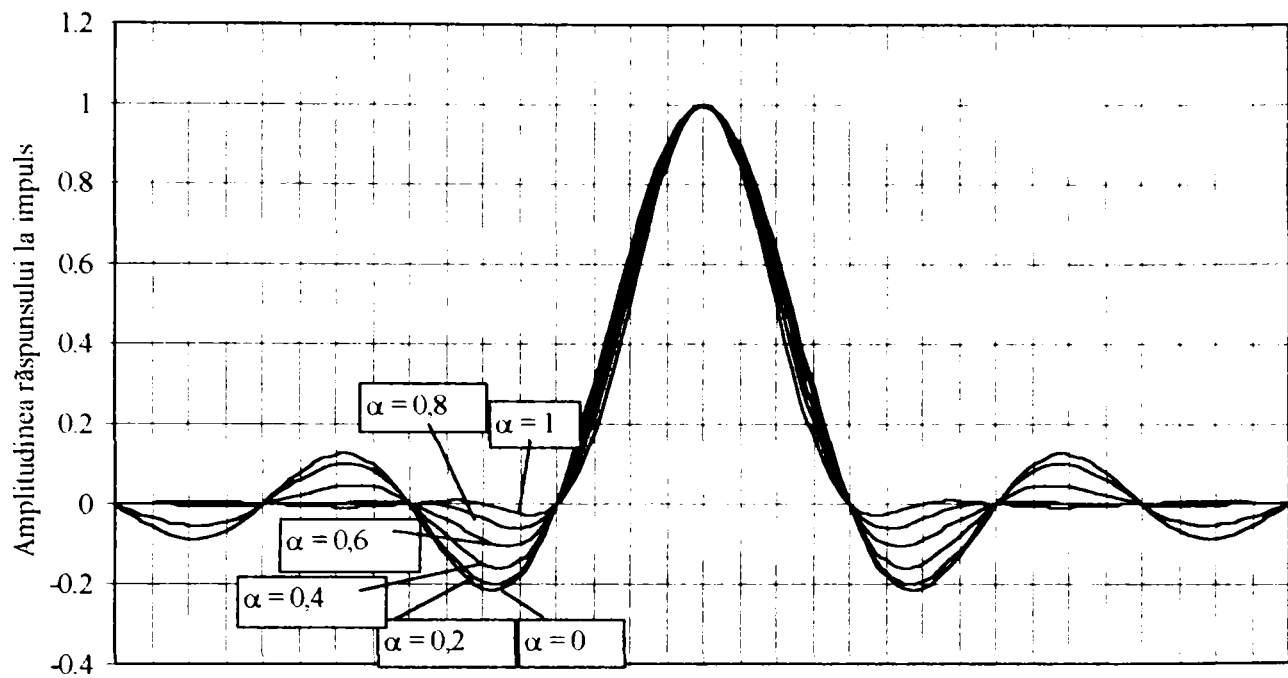
$$g(t) = \left[\frac{\sin\left(\frac{\pi t}{T_s}\right)}{\left(\frac{\pi t}{T_s}\right)} \right] \left[\frac{\cos\left(\frac{\pi t}{T_s}\right)}{1 - \left(\frac{2\alpha \pi t}{T_s}\right)^2} \right], 0 < \alpha < 1 \quad (5.21)$$

unde α este **excesul de bandă (roll-off factor)** (Fig.5.11).

Întrucât funcția cosinus ridicat scade mult mai rapid cu creșterea timpului t (cu rata $\cong \frac{1}{t^3}$) decât funcția sinus cardinal (cu rata $\cong \frac{1}{t}$), implementarea FIR a filtrelor formatoare de impulsuri de tip cosinus ridicat, este posibilă prin utilizarea unui număr finit de eșantioane.

Excesul de bandă α determină lățimea de bandă în exces a spectrului de putere al semnalului modulat QAM. În general, α se alege astfel încât lățimea de bandă în exces a spectrului de putere a semnalului QAM, să fie egală cu 10% din B .

Schema bloc a demodulatorului QAM și a blocului de refacere a semnalului purtător este prezentată în Fig.5.12.



Timp - fiecare diviziune este egală cu 1/4 din durata unui bit

Fig.5.11 Răspunsul la impuls a filtrului de tip cosinus ridicat.

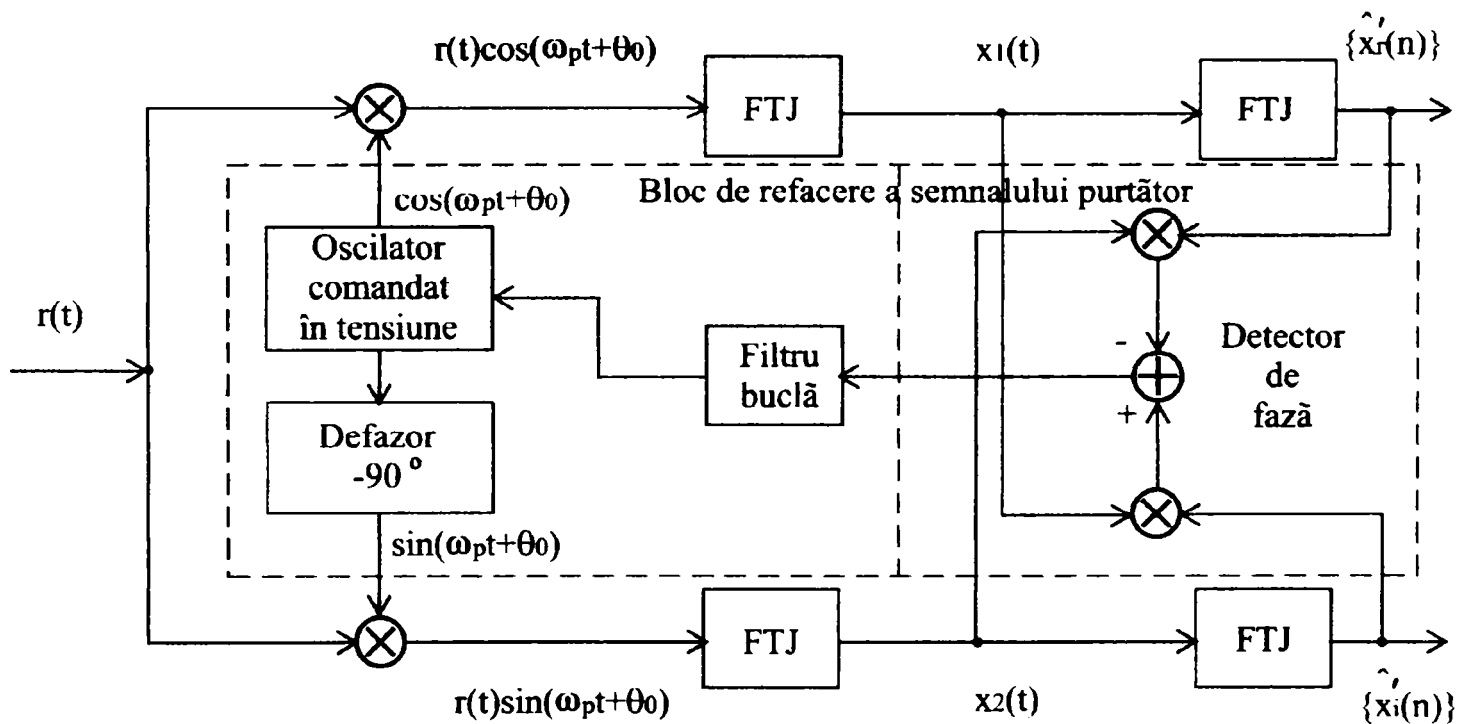


Fig.5.12 Demodulatorul QAM. Blocul de refacere a semnalului purtător.

Semnalul recepționat este egal cu [49]:

$$r(t) = I(t) \cos(\omega_p t + \psi_0) + Q(t) \sin(\omega_p t + \psi_0) \quad (5.22)$$

unde ψ_0 este deplasarea totală de fază (jitterul de fază) introdusă de modulatorul QAM, filtrul de preaccentuare, canalul de comunicație și supresorul de ecou.

Semnalul recepționat se înmulțește cu componentele în fază și în cuadratură ale semnalului purtător, generate de blocul de refacere a semnalului purtător (Fig.5.12) și se obțin semnalele produs [49]:

$$r(t) 2\cos(\omega_p t + \theta_0) = I(t)[\cos\Delta\varphi + \cos(2\omega_p t + \psi_0 + \theta_0)] + Q(t)[\sin\Delta\varphi + \sin(2\omega_p t + \psi_0 + \theta_0)] \quad (5.23)$$

$$r(t) 2\sin(\omega_p t + \theta_0) = I(t)[- \sin\Delta\varphi + \sin(2\omega_p t + \psi_0 + \theta_0)] + Q(t)[\cos\Delta\varphi - \cos(2\omega_p t + \psi_0 + \theta_0)] \quad (5.24)$$

unde θ_0 este faza inițială a semnalului purtător generat la recepție iar $\Delta\varphi = \psi_0 - \theta_0$.

Prin filtrarea trece-jos a celor două semnale produs prezentate în relațiile (5.23) și (5.24), se îndepărtează componentele situate în jurul frecvenței $2f_p$ astfel încît se obțin semnalele:

$$\begin{cases} x_1(t) = I(t)\cos\Delta\varphi + Q(t)\sin\Delta\varphi \\ x_2(t) = Q(t)\cos\Delta\varphi - I(t)\sin\Delta\varphi \end{cases} \quad (5.25)$$

Blocul de refacere a semnalului purtător (Fig.5.12) se bazează pe o **buclă cu calare pe fază (PLL=Phase-Locked Loop) de tip Costas** formată din :

- o detectorul de fază care produce un semnal diferență de fază egal cu $2\sin\Delta\varphi$,
- o filtrul de buclă (FIR de ordinul 2) care urmărește variațiile semnalului diferență de fază,
- o oscilatorul comandat în tensiune (VCO=Voltage Controlled Oscillator) care generează un semnal purtător cu faza θ_0 mai mare sau mai mică în funcție de tensiunea aplicată la intrare.

Cînd bucla PLL se apropie de calarea pe fază se obține:

$$\Delta\varphi \rightarrow 0 \Leftrightarrow \begin{cases} \cos\Delta\varphi \rightarrow 1 \\ \sin\Delta\varphi \rightarrow 0 \end{cases} \Leftrightarrow \begin{cases} x_1(t) \rightarrow I(t) \\ x_2(t) \rightarrow Q(t) \end{cases} \quad (5.26)$$

Astfel, la ieșirile circuitelor de decizie (Slicer), se obțin cele două secvențe de simboluri estimate $\{\hat{x}'_r(n)\}$ și $\{\hat{x}'_i(n)\}$.

5.1.7 Filtrul de interpolare/decimare. Blocul de refacere a tactului de simbol

În cazul ideal, dacă receptorul ar eșantiona un semnal recepționat identic cu semnalul transmis și cu o frecvență de eșantionare egală cu rata de simbol de la transmițător atunci s-ar obține exact secvența de simboluri transmise.

În practică, lucrurile diferă față de cazul ideal, în principal din două motive:

- 1) frecvența de eșantionare de la receptor diferă de rata de simbol de la transmițător datorită mediilor diferite de operare, a frecvențelor de ceas diferite chiar pentru cristale de aceeași frecvență și produse de aceeași firmă,
- 2) neliniaritățile din mediul de propagare al semnalului util.

Prima problemă este corectată de blocul de refacere a tactului de simbol (Fig.5.13) [50].

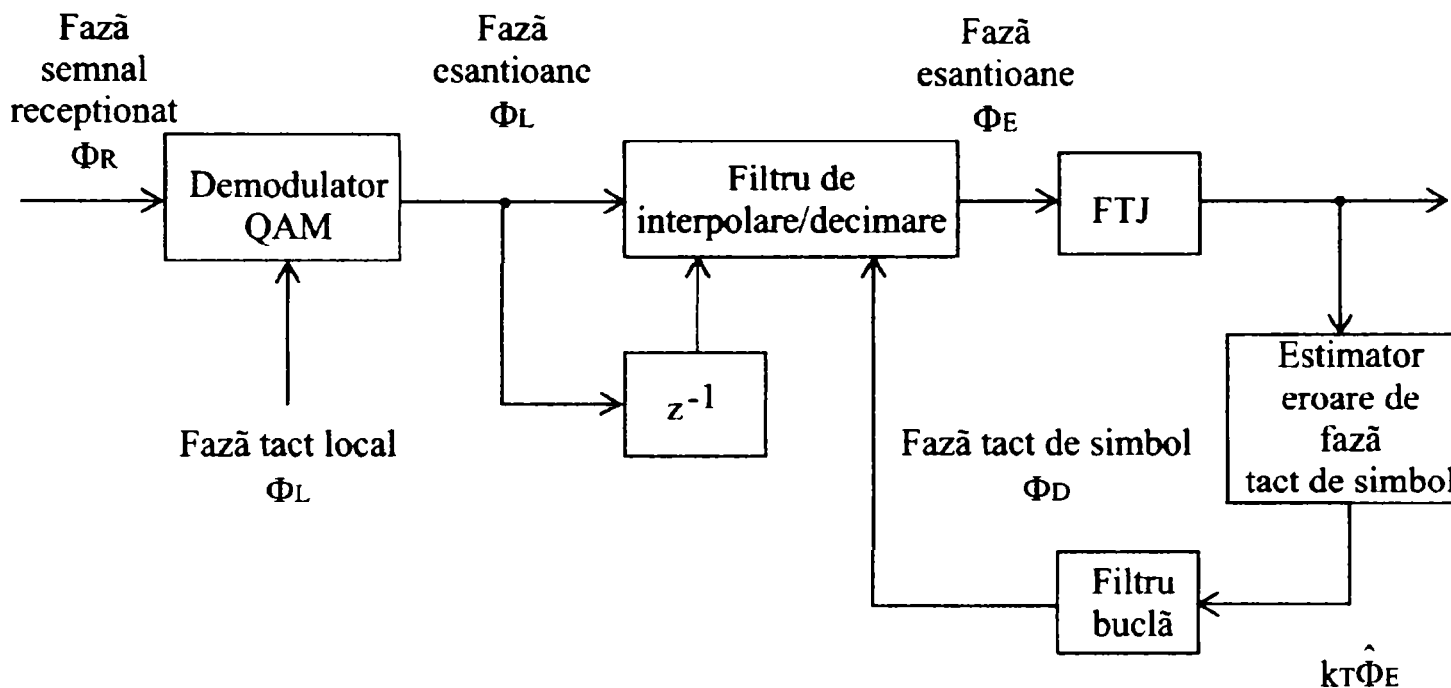


Fig.5.13 Filtrul de interpolare/decimare. Blocul de refacere a tactului de simbol.

Filtrul de interpolare/decimare este un circuit de supraeșantionare/subeșantionare. La ieșirea estimatorului erorii de fază a tactului de simbol, se obține $k_T \hat{\Phi}_E$, unde k_T este o constantă iar $\hat{\Phi}_E$ este eroarea estimată a tactului de simbol. Bucla formată din estimatorul erorii de fază a tactului de simbol și filtrul de buclă încearcă să apropie faza tactului de simbol Φ_D de faza semnalului receptionat Φ_R .

A doua problemă este corectată de schema de egalizare adaptivă neliniară cu precodare prezentată în paragraful 5.1.5.

Filtrul de interpolare/decimare este format în general dintr-un circuit analogic de eșantionare care lucrează liber la o perioadă $T \leq \frac{T_s}{2}$ (de obicei $T = \frac{T_s}{4}$) urmat de un circuit de reeșantionare digital (interpolator) care lucrează la perioada $T = \frac{T_s}{2}$, unde T_s este perioada simbolului.

Filtrul trece-jos este utilizat pentru înlăturarea componentelor spectrale nedorite și are frecvența de tăiere (în [Hz]) egală cu rata de simbol R (în [Baud]).

Pentru îmbunătățirea performanțelor modemului analogic de bandă vocală (BER), filtrul trece-jos poate fi înlocuit cu un **filtru adaptat la forma semnalului (Matched Filter)** avînd răspunsul la impuls [51]:

$$h(t) = g(T_s - t) \quad (5.27)$$

unde $g(t)$ este răspunsul la impuls al filtrelor formatoare din modulatorul/demodulatorul QAM. Filtrul adaptat la forma semnalului limitează banda zgomotului care se aplică blocurilor următoarele ale receptorului.

Estimatorul erorii de fază a tactului de simbol eșantionează semnalul de la intrarea sa cu perioada $T = \frac{T_s}{2}$, unde T_s este perioada simbolului. **Algoritmul**

Gardner este cel mai folosit în implementările practice deoarece nu este sensibil la abaterile (offset-urile) de frecvență ale semnalului purtător. Convergența buclei de refacere a tactului de simbol nu este condiționată de convergența buclei de refacere a semnalului purtător.

Algoritmul Gardner utilizează două eșantioane per simbol și calculează o eroare de fază conform relației:

$$e_n = \text{Re}\{\text{sample}[2] * (\text{sample}[3] - \text{sample}[1])\} \quad (5.28)$$

unde $\text{sample}[1]$, $\text{sample}[2]$, $\text{sample}[3]$ sunt trei eșantioanele succesive ale semnalului de la intrarea estimatorului.

Dacă $e_n > 0$ atunci eșantionarea simbolului are loc prea târziu și dacă $e_n < 0$ atunci eșantionarea simbolului are loc prea devreme. La convergența buclei de refacere a tactului de simbol, $e_n \rightarrow 0$ și eșantionarea simbolului are loc la momentele de timp corecte.

Filtrul de buclă este identic cu cel folosit în bucla PLL din blocul de refacere a semnalului purtător și este un filtru activ de ordinul doi cu funcția de transfer [52]:

$$H(s) = \frac{g_p s + g_i}{s} \quad (5.29)$$

unde avem:

$$g_p = 2\xi \omega_n = \text{cîștigul proporțional},$$

$$g_i = \omega_n^2 = \text{cîștigul integrator},$$

ξ = factorul de amortizare, egal de obicei cu 0,707,

B_L = banda de frecvențe a buclei, egală cu 0,05 și care poate fi redusă după convergența buclei de refacere a tactului de simbol,

$$\omega_n = \frac{8\xi B_L}{1 + 4\xi^2} = \text{frecvența naturală a buclei}.$$

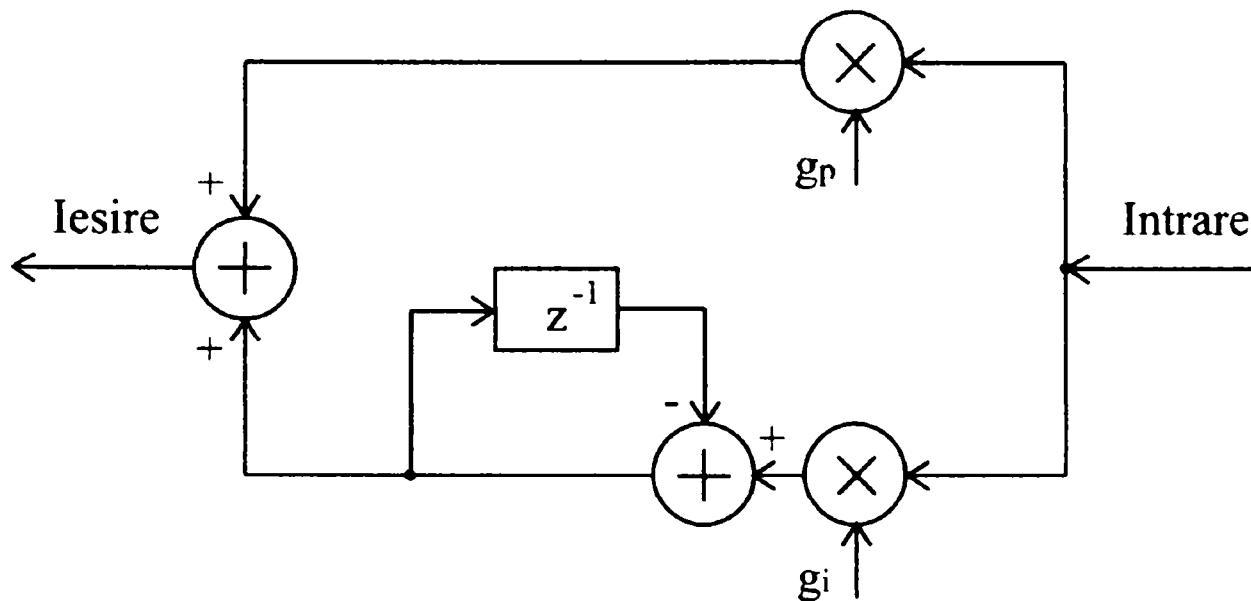


Fig.5.14 Filtrul de buclă.

Filtrul de buclă este format din două ramuri (Fig.5.14):

- 1) ramura proporțională care multiplică eroarea de fază a tactului de simbol cu un câștig proporțional g_p și asigură urmărirea erorii de fază a tactului de simbol,
- 2) ramura integratoare care multiplică eroarea de fază a tactului de simbol cu un câștig integrator g_i și apoi integrează semnalul rezultat. Se asigură urmărirea erorii de frecvență a tactului de simbol.

5.1.8 Blocul de control automat a câștigului

Blocul de control automat al câștigului (AGC=Automatic Gain Control) este un sistem adaptiv care are rolul de a menține semnalul de la ieșirea sa la un nivel mediu de energie constant. Acest lucru este absolut necesar pentru funcționarea corectă a blocului de refacere a tactului de simbol.

Schema bloc a blocului de control automat a câștigului este prezentată în Fig.5.15 [53].

Fiecare simbol de la intrare $x'(n)$, este înmulțit cu un factor de câștig $\alpha(n)$, iar rezultatul este furnizat la ieșire și este folosit pentru actualizarea **detectorul de energie totală din intervalul de baud**.

Energia totală din intervalul de baud se calculează cu relația [53]:

$$E_{\text{totala}} = \sum_{\text{intervalul de baud}} x'(n) \quad (5.30)$$

Energia totală din intervalul de baud este comparată cu un **nivel de referință AGC** și se calculează o **eroare de buclă AGC** care este minimizată de blocul AGC.

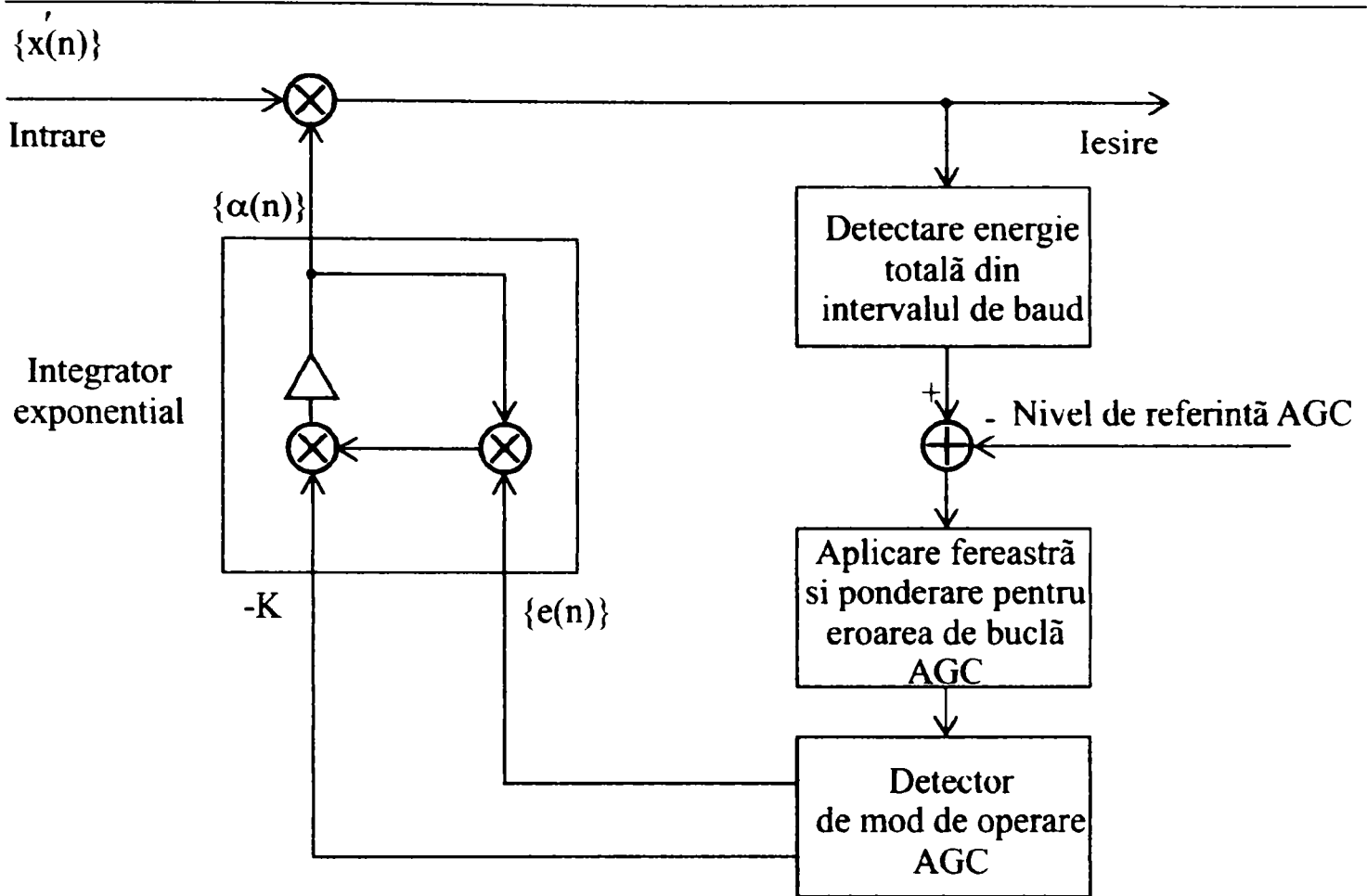


Fig.5.15 Blocul de control automat a câștigului.

Energia semnalului modulat QAM pentru un punct de semnal 2-D, cu coordonatele $(x_r'(n), x_i'(n))$, este egală cu [53]:

$$\begin{aligned}
 E(n) &= \int_0^{T_s} s^2(t) dt = \frac{1}{2\pi} \int_0^{2\pi} [x_r'(n)\cos(\omega_p t) + x_i'(n)\sin(\omega_p t)]^2 dt = \\
 &= \frac{1}{2\pi} \int_0^{2\pi} [x_r'(n)]^2 \left[\frac{1 + \cos(2\omega_p t)}{2} \right] dt + \frac{1}{2\pi} \int_0^{2\pi} [x_i'(n)]^2 \left[\frac{1 - \cos(2\omega_p t)}{2} \right] dt + \\
 &+ \frac{1}{2\pi} \int_0^{2\pi} [x_r'(n)x_i'(n)] [\sin(2\omega_p t)] dt = \frac{[x_r'(n)]^2 + [x_i'(n)]^2}{2}
 \end{aligned} \tag{5.31}$$

Nivelul de referință AGC se calculează cu relația [53]:

$$E_{ref} = E\{E(n)\} \tag{5.32}$$

unde $E\{.\}$ este operatorul de mediere statistică.

În continuare se aplică o **fereastră (fereastră 1)** în jurul nivelului de referință AGC. Astfel blocul AGC va aplica corecții numai dacă eroarea de buclă AGC se află în exteriorul acestei ferestre. De asemenea se aplică o pondere (în general egală cu 2) erorii de buclă AGC astfel încât să se realizeze o relație de paritate între erorile pozitive și negative.

Detectorul de mod de operare AGC funcționează astfel:

- ⇒ atît timp cît eroarea de buclă AGC se află în interiorul **ferestrei 2**, blocul AGC operează în **modul urmărire (tracking mode)** și compensează schimbările din nivelul mediu de energie al semnalului de intrare, prin înmulțirea acestuia cu un factor de câștig, care este ajustat în mod corespunzător de către **integratorul exponențial**,
- ⇒ în momentul în care eroarea de buclă AGC iese din interiorul ferestrei 2, blocul AGC trece în **modul urmărire rapidă (fast tracking mode)**, iar în momentul în care eroarea de buclă AGC revine în interiorul ferestrei 2, blocul AGC trece din nou în modul urmărire (Fig.5.16).

Integratorul exponențial calculează factorul de câștig conform relației [53]:

$$\alpha(n + 1) = \alpha(n) - K \alpha(n)e(n) \quad (5.33)$$

unde:

$e(n)$ este eroarea de buclă AGC,

K este o constantă care determină viteza de convergență a buclei AGC.

În general, constanta K este egală cu [53]:

$$\begin{cases} K = \frac{1}{2}, \text{ pentru modul urmărire rapidă} \\ 0 < K < \frac{1}{2}, \text{ pentru modul urmărire} \end{cases} \quad (5.34)$$

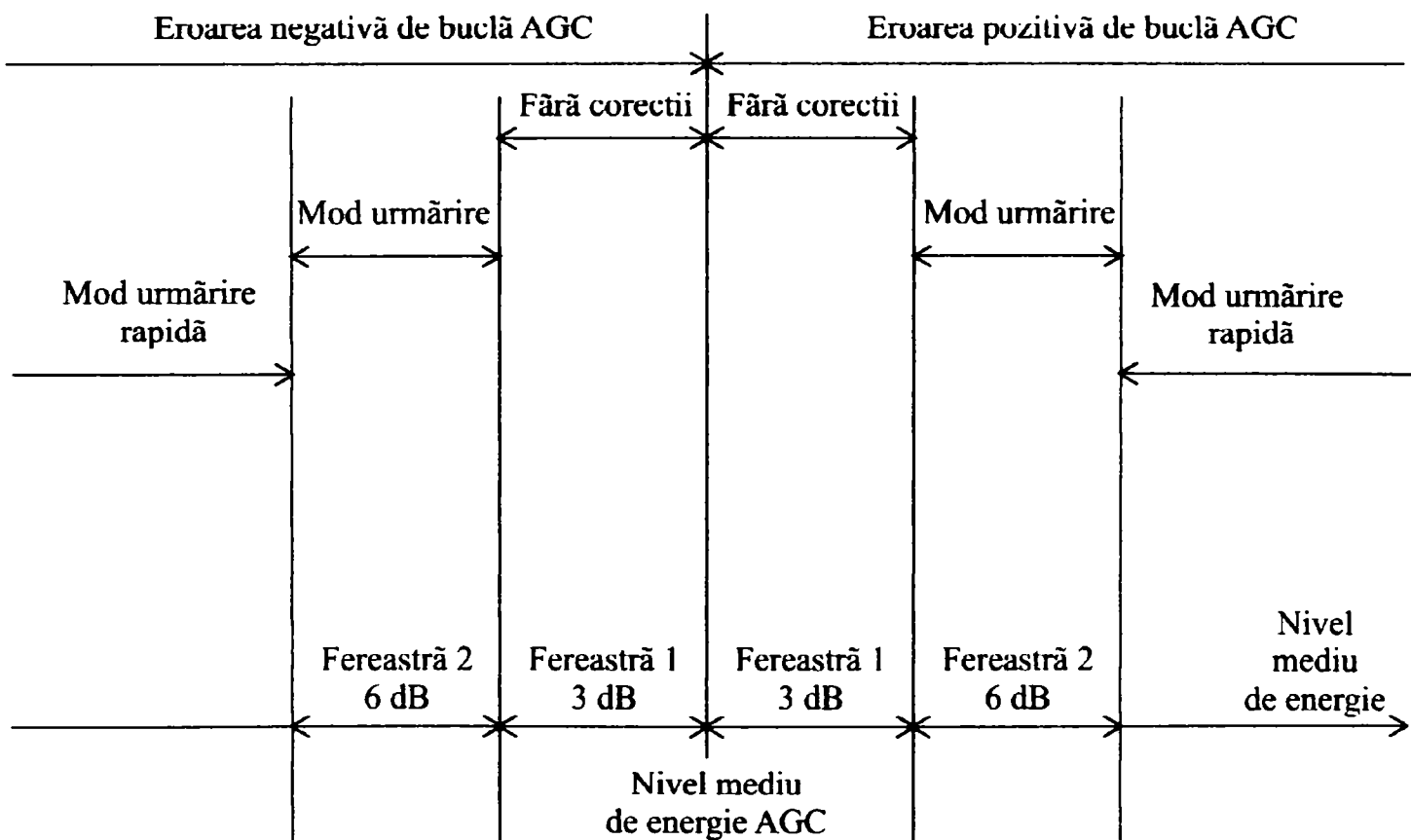


Fig.5.16 Modurile de operare a blocului AGC.

5.1.9 Supresorul de ecou

Schema bloc a conexiunii telefonice prin PSTN dintre un modem local și un modem distant este prezentată în Fig.5.17.

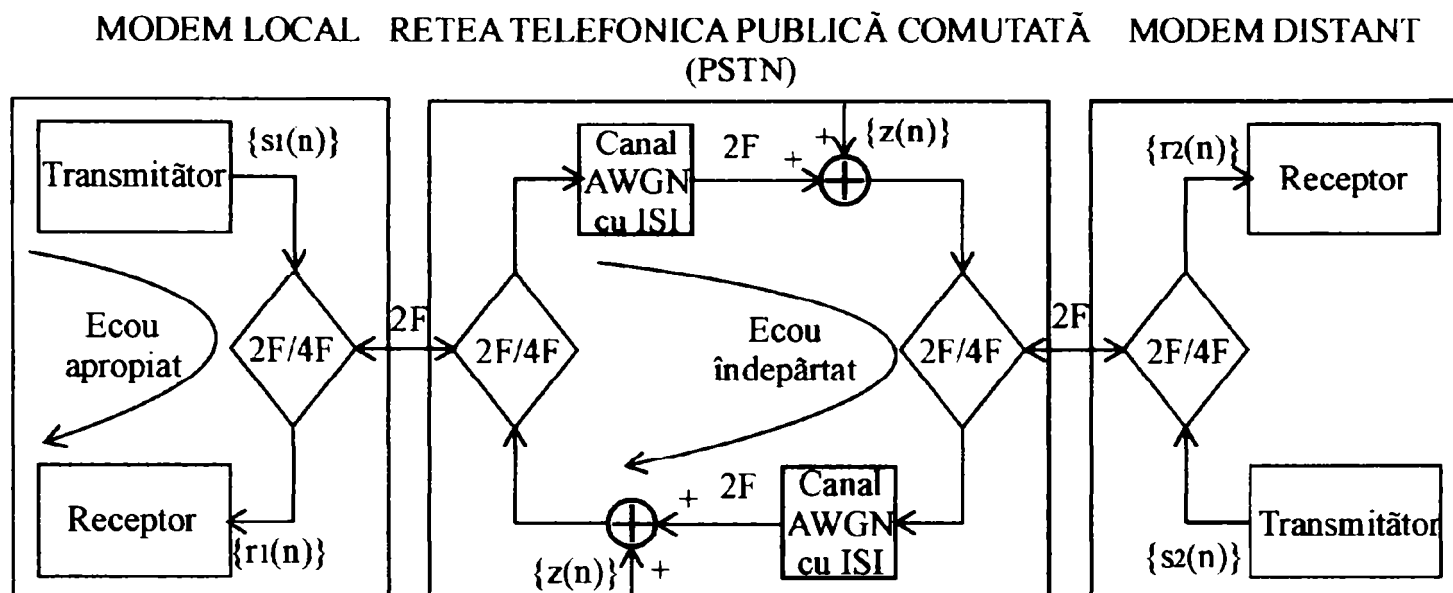


Fig.5.17 Schema bloc a conexiunii telefonice prin PSTN dintre un modem local și un modem distant.

Sistemul diferențial 2F/4F realizează conversia de la o conexiune pe 2 fire (2F) în linia telefonică la o conexiune pe 4 fire (4F) în PSTN sau în modem. Sistemele diferențiale 2F/4F introduc **neadaptări de impedanță** în punctele în care sunt utilizate. Din acest motiv, dacă ne referim la modemul local, o parte din semnalul transmis de acesta $s_1(n)$, se reflectă înapoi sub forma unui **ecou**.

Apar două tipuri de ecou:

- ⇒ **ecou apropiat (NE=Near end Echo)** care este reflexia semnalului transmis de la sistemul diferențial 2F/4F din capătul local al PSTN,
- ⇒ **ecou îndepărtat (FE=Far end Echo)** care este reflexia semnalului transmis de la sistemul diferențial 2F/4F din capătul distant al PSTN.

Pe linia telefonică asociată unui modem coexistă următoarele semnale:

- ❖ semnalul transmis de modemul respectiv, care are un nivel de putere relativ mare,
- ❖ semnalul recepționat de la modemul corespondent, care are un nivel de putere relativ mic,
- ❖ ecoul apropiat, care are un nivel de putere relativ mare,
- ❖ ecoul distant, care are un nivel de putere relativ mic.

Se pune problema de a separa aceste semnale astfel încât modemul local să preia doar semnalul recepționat de la modemul corespondent.

Semnalul recepționat de modemul local este egal cu [50]:

$$r_1'(n) = s_2(n) + s_{NE}(n) + s_{FE}(n) + z(n) + ISI \quad (5.35)$$

unde:

- $s_2(n)$ este semnalul transmis de modemul distant,
- $s_{NE}(n)$ este ecoul apropiat,
- $s_{FE}(n)$ este ecoul îndepărtat,
- $z(n)$ este zgomotul aditiv, alb, gaussian introdus de canalul de comunicație.

Suprimarea ecoului se face prin extragerea unui estimat al ecoului total din semnalul recepționat de modemul local. Astfel semnalul recepționat de modemul local după suprimarea ecoului devine [50]:

$$r_1(n) = r_1'(n) - \hat{s}_E(n) = s_2(n) + [s_{NE}(n) - \hat{s}_{NE}(n)] + [s_{FE}(n) - \hat{s}_{FE}(n)] + z(n) + \text{ISI} \quad (5.36)$$

unde estimatul ecoului total este:

$$\hat{s}_E(n) = \hat{s}_{NE}(n) + \hat{s}_{FE}(n) \quad (5.37)$$

Estimarea ecoului apropiat se face prin trecerea semnalului transmis de modemul local $s_1(n)$ printr-un filtru adaptiv liniar, transversal, FIR, de ordinul N_1 cu funcția de transfer $H_{NE}(z)$.

Estimarea ecoului îndepărtat se face prin trecerea semnalului transmis de modemul local $s_1(n)$ printr-o linie de întârziere cu N_1 elemente și printr-un filtru adaptiv liniar, transversal, FIR, de ordinul N_2 cu funcția de transfer $H_{FE}(z)$.

Algoritmul adaptiv utilizat pentru ajustarea coeficienților de filtrare a celor două filtre adaptive este LMS (Least Mean Squares) (Fig.5.18).

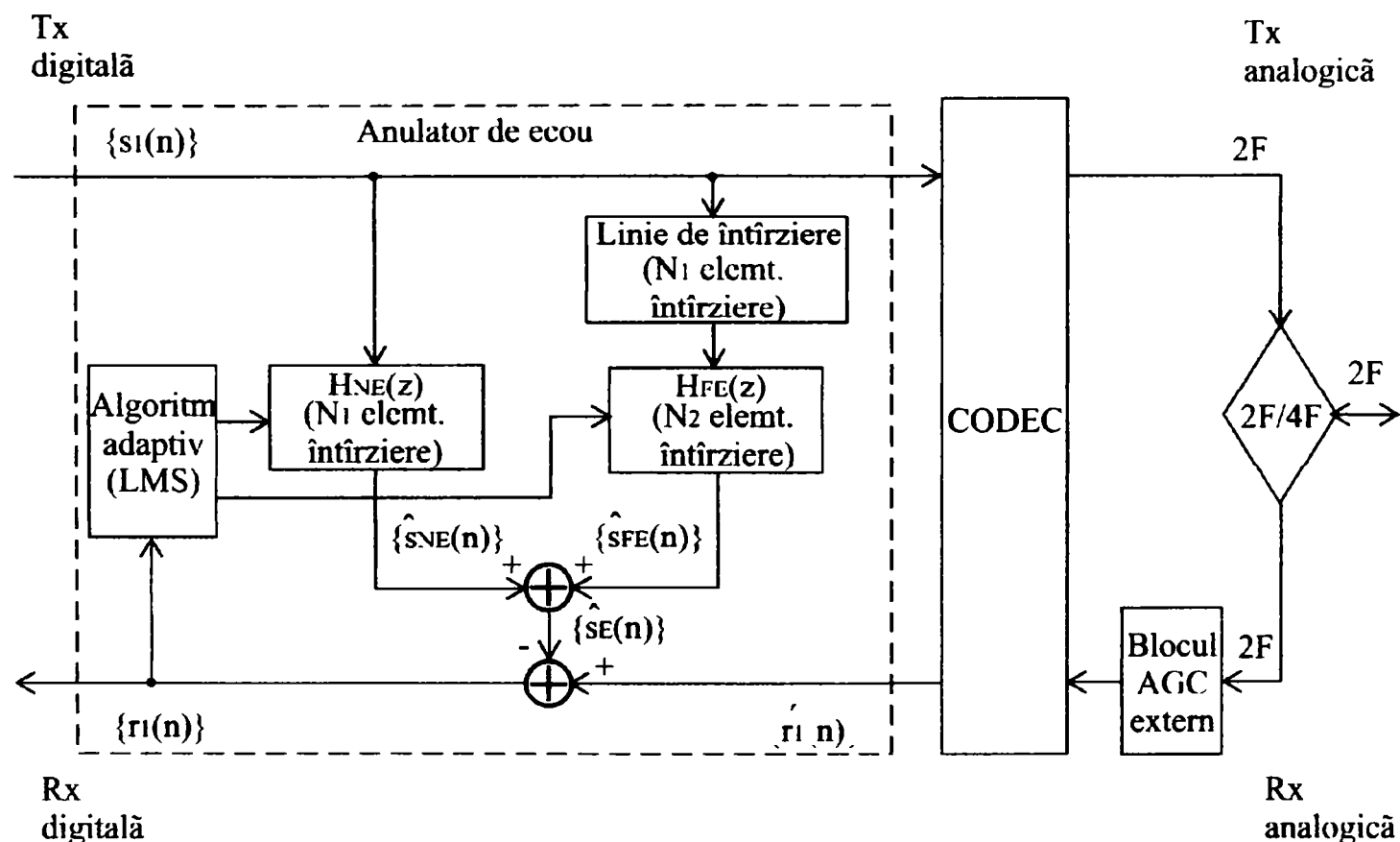


Fig.5.18 Supresorul de ecou.

Filtrul adaptiv, cu funcția de transfer $H_{NE}(z)$ sau $H_{FE}(z)$, trebuie să fie suficient de lung astfel încât să fie capabil să aproximeze răspunsul la impuls și întârzierea asociată funcției de transfer pe care încearcă să o adapteze.

O linie telefonică are un răspuns la impuls și o întârziere asociată funcției de transfer de aproximativ 13 milisecunde [50].

O conexiune telefonică prin PSTN are un răspuns la impuls și o întârziere asociată funcției de transfer care depinde de lungimea acestei conexiuni:

- zeci de milisecunde pentru conexiuni locale,
- sute de milisecunde pentru conexiuni interurbane,
- câteva secunde pentru conexiuni internaționale.

Dacă frecvența de eșantionare a circuitului de codare/decodare (CODEC) este f_e [eșantioane/s] atunci numărul de elemente de întârziere ale filtrelor adaptive cu funcțiile de transfer $H_{NE}(z)$, respectiv $H_{FE}(z)$ sunt [50]:

$$\begin{cases} N_1=0,013f_e \\ N_2=Df_e \end{cases} \quad (5.38)$$

De exemplu, pentru $f_e=9600$ eșantioane/s rezultă $N_1=125$ elemente de întârziere și $N_2=9600D$ elemente de întârziere.

Antrenarea supresorului de ecou are loc în faza 3 a procedurii de negociere dintre modemul local și modemul distant. Secvența de antrenare se obține prin aplicarea de biți „1” la intrarea cifratorului.

5.2 Implementare hard

Schema bloc hard a unui modem analogic de bandă vocală este următoarea:

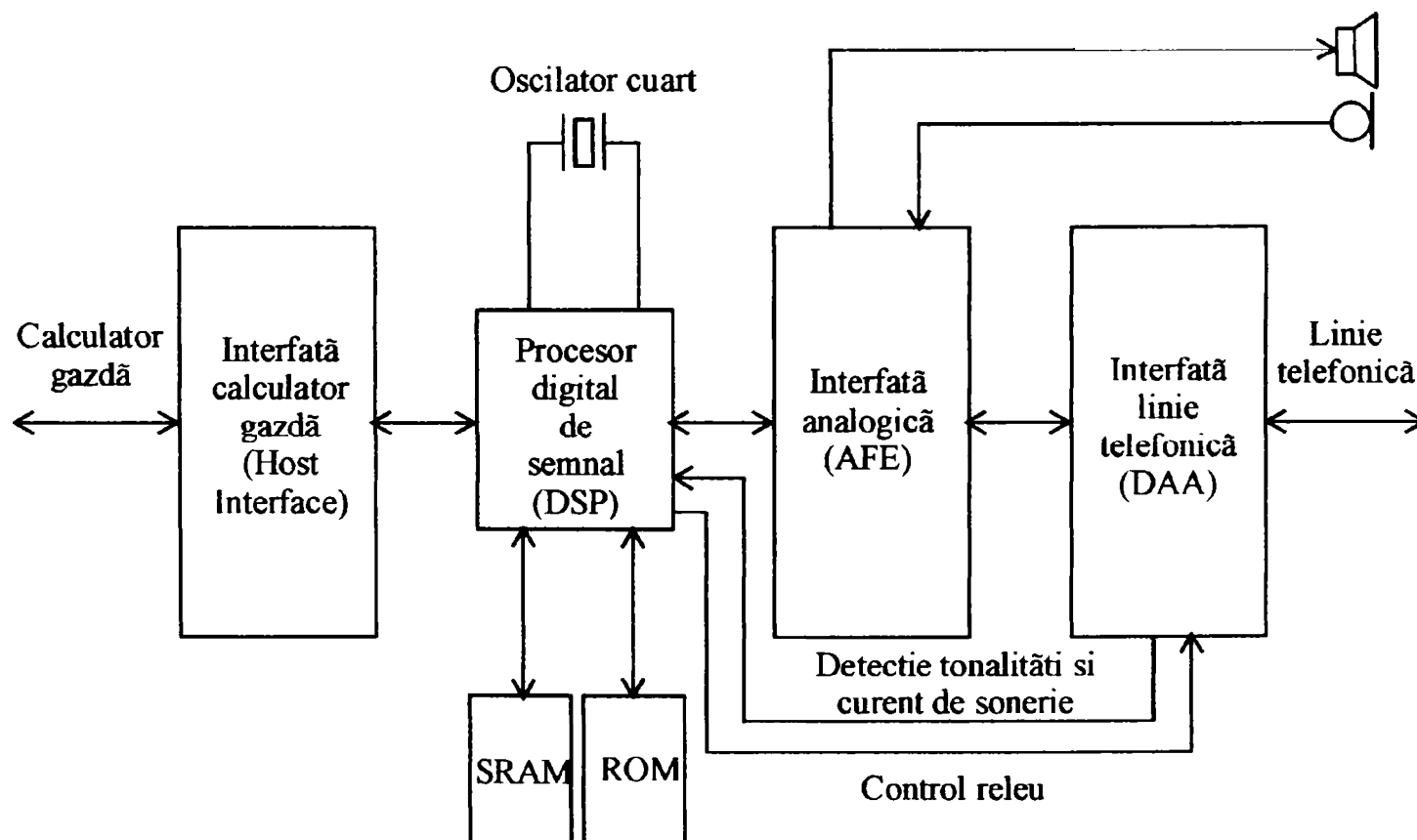


Fig. 5.19 Schema bloc hard a unui modem analogic de bandă vocală.

5.2.1 Procesorul digital de semnal (DSP)

Procesorul digital de semnal (DSP=Digital Signal Processor) este un chip de tip microprocesor, dedicat pentru realizarea funcțiilor de procesare digitală a semnalelor.

Un microprocesor dintr-un PC sau un simplu microcontroller nu pot realiza funcții complexe pe care le realizează un procesor digital de semnal, pentru că procesarea digitală a semnalelor implică utilizarea extensivă a operațiilor de multiplicare și însumare.

În general, microprocesoarele convertesc operațiile de multiplicare și de divizare într-o serie de deplasări, însumări sau scăderi. Din acest motiv un microprocesor nu poate realiza funcțiile complexe de procesare digitală a semnalelor la fel de rapid ca și un procesor digital de semnal.

Funcțiile DSP-ului:

- ⇒ recepția și transmisia datelor,
- ⇒ formatarea și executarea comenzilor în format AT (AttenTion command),
- ⇒ monitorizarea progresului apelului care constă în detecția tonalităților (ton de disc, ton de ocupat, ton de fax,...), detecția curentului de sonerie, detecția răspunsului abonatului chemat,
- ⇒ monitorizarea procedurii de negociere și luarea deciziilor cu privire la deplasarea în starea anterioară/următoare a unei mașini de stare,
- ⇒ tratarea protoalelor de nivel legătură de date (V.42 pentru corecția de erori și V.42 bis pentru controlul erorilor).

5.2.2 Memoria SRAM

Memoria SRAM (Static Random Access Memory) memorează datele statice, adică tabelele de date și codul program.

Viteza memoriei SRAM depinde de timpul de acces al DSP-ului. De exemplu, pentru un DSP Texas Instruments TMS320C51 care operează la o frecvență de ceas de 57 MHz (deci durata unui ciclu de citire/scriere este de 35 ns), este necesară o memorie SRAM cu timpul de acces de 20 ns.

Capacitatea memoriei SRAM depinde de schema bloc funcțională a modemului și de algoritmi utilizați. De exemplu, pentru modem analgic de bandă vocală construit conform recomandării ITU-T V.34, memoria SRAM necesară este de 64 Ko.

5.2.3 Memoria ROM

Memoria ROM (Read Only Memory) memorează codul program al DSP-ului.

Viteza memoriei ROM depinde de timpul de acces al DSP-ului. De exemplu, pentru un DSP Texas Instruments TMS320C51 care operează la o frecvență de ceas de 57 MHz (deci durata unui ciclu de citire/scriere este de 35 ns), este necesară o

memorie SRAM cu timpul de acces de 20 ns. Problema este că o astfel de memorie ROM nu există sau dacă ar exista ar fi foarte scumpă (costul ei ar fi prohibitiv). Pentru a rezolva cerința de viteză a memoriei ROM DSP-ul conține un **generator de stări de așteptare**, programat la pornire. Fiecare stare de așteptare prelungește un ciclu de citire/scriere cu un ciclu mașină al DSP-ului. Numărul stărilor de așteptare se alege printr-un compromis între:

- costul memoriei ROM, ținând cont că un număr mic de stări de așteptare înseamnă o memorie ROM rapidă și scumpă,
- performanțele modemului, ținând cont că un număr mare de stări de așteptare înseamnă o întârziere totală mare introdusă de modem.

Capacitatea memoriei ROM depinde de schema bloc funcțională a modemului și de algoritmi utilizați. De exemplu, pentru modem analitic de bandă vocală construit conform recomandării ITU-T V.34, memoria ROM necesară este de 128 Ko.

5.2.4 Interfața cu calculatorul gazdă

Interfața cu calculatorul gazdă (Host Interface) este o interfață serială de tip RS-232 sau USB (Universal Serial Bus) pentru modemurile externe sau o interfață de magistrală de tip PCI (Peripheral Component Interconnect) sau ISA (Industry Standard Architecture) pentru modemurile interne.

În cazul modemurilor interne interfața cu calculatorul gazdă se implementează hard cu ajutorul unui circuit integrat **I/O ASIC (Input/ Output Application Specific Integrated Circuit)** care conține:

- logica de interfață cu calculatorul gazdă,
- logica Plug&Play (PnP) care asigură identificarea modemului și alocarea de resurse pentru modem de către sistemul de operare al calculatorului gazdă,
- logica UART 16550 (Universal Asynchronous Receiver/Transmitter),
- logica DMA (Direct Memory Access) care permite înregistrarea de voce în modemurile care suportă aplicații multimedia.

5.2.5 Interfața analogică

Schema bloc a **interfeței analogice (AFE=Analog Front End)** este prezentată în Fig.5.20 [50].

Întrucât în canalul de comunicație se utilizează semnale analogice și posibilitățile de prelucrare a semnalelor analogice sunt limitate, semnalele analogice sunt convertite în semnale digitale înainte de a fi prelucrate de DSP cu un **circuit de codare/decodare (CODEC)** care operează la o frecvență de eșantionare f_e [eșantioane/s] sau [Hz] și conform legii μ . În general, circuitul de codare/decodare (CODEC) operează la o frecvență de eșantionare $f_e=9600$ eșantioane/s.

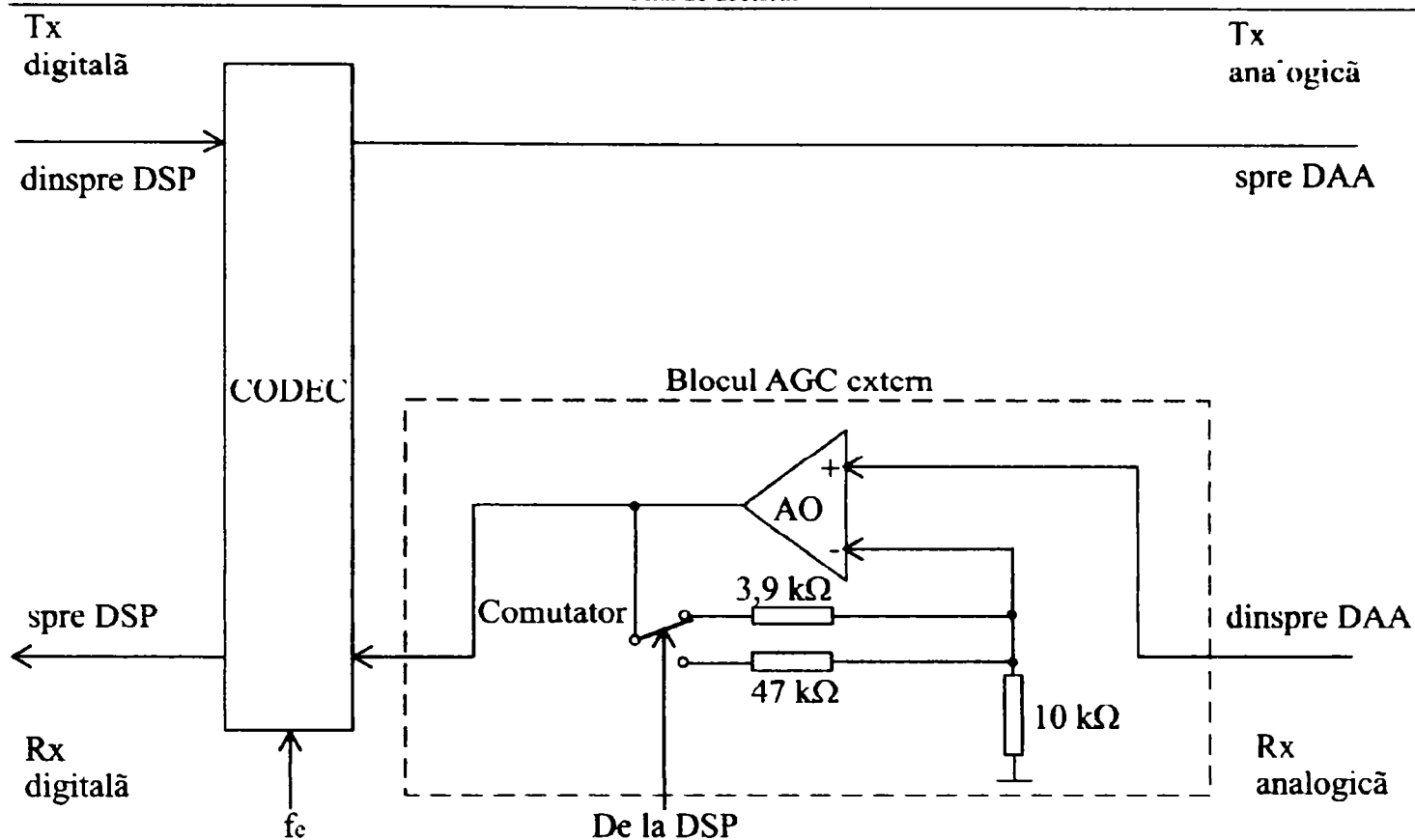


Fig.5.20 Schema bloc a interfeței analogice.

Blocul de control automat al câștigului extern (AGC extern) are rolul de a menține semnalul analogic recepționat la un nivel mediu de energie aproximativ constant. Acest lucru este necesar pentru funcționarea corectă a circuitului de codare/decodare (CODEC) și a blocului de refacere a semnalului purtător.

În cazul în care nivelul de putere al semnalului recepționat scade sub -28 dBm, DSP setează o linie de stare care comandă comutarea unei rezistențe diferite în circuitul de reacție al unui amplificator operațional (AO) ceea ce introduce un câștig de 12 dB.

Dacă nivelul de putere al semnalului recepționat crește peste -28 dBm, DSP resetează linia de stare.

Pentru a preveni activarea sau dezactivarea repetată a câștigului de 12 dB când nivelul de putere al semnalului recepționat variază repetat în jurul valorii de prag de -28 dBm, se introduce un **hysteresis** de 4 dBm între activare și dezactivare.

Astfel:

- dacă nivelul de putere a semnalului recepționat scade sub -24 dBm se activează câștigul,
- dacă nivelul de putere al semnalului recepționat crește peste -28 dBm se dezactivează câștigul.

5.2.6 Interfața cu linia telefonică

Interfața cu linia telefonică (DAA=Data Arrangement Access) conține:

- circuitele de protecție la supratensiuni (varistoare),
- transformatorul de linie (TL),
- terminația de 600Ω ,

- sistemul diferențial 2F/4F,
- circuitul de limitare al curentului,
- circuitul de detecție al curentului de sonerie,
- circuitul de detecție a identității (numărului) abonatului chemător (Caller ID).

Sistemul diferențial 2F/4F funcționează ca un supresor de ecou analogic. Componentele R și C ale sistemului diferențial 2F/4F se aleg astfel încât să modeleze impedanța liniei telefonice (Fig.5.21).

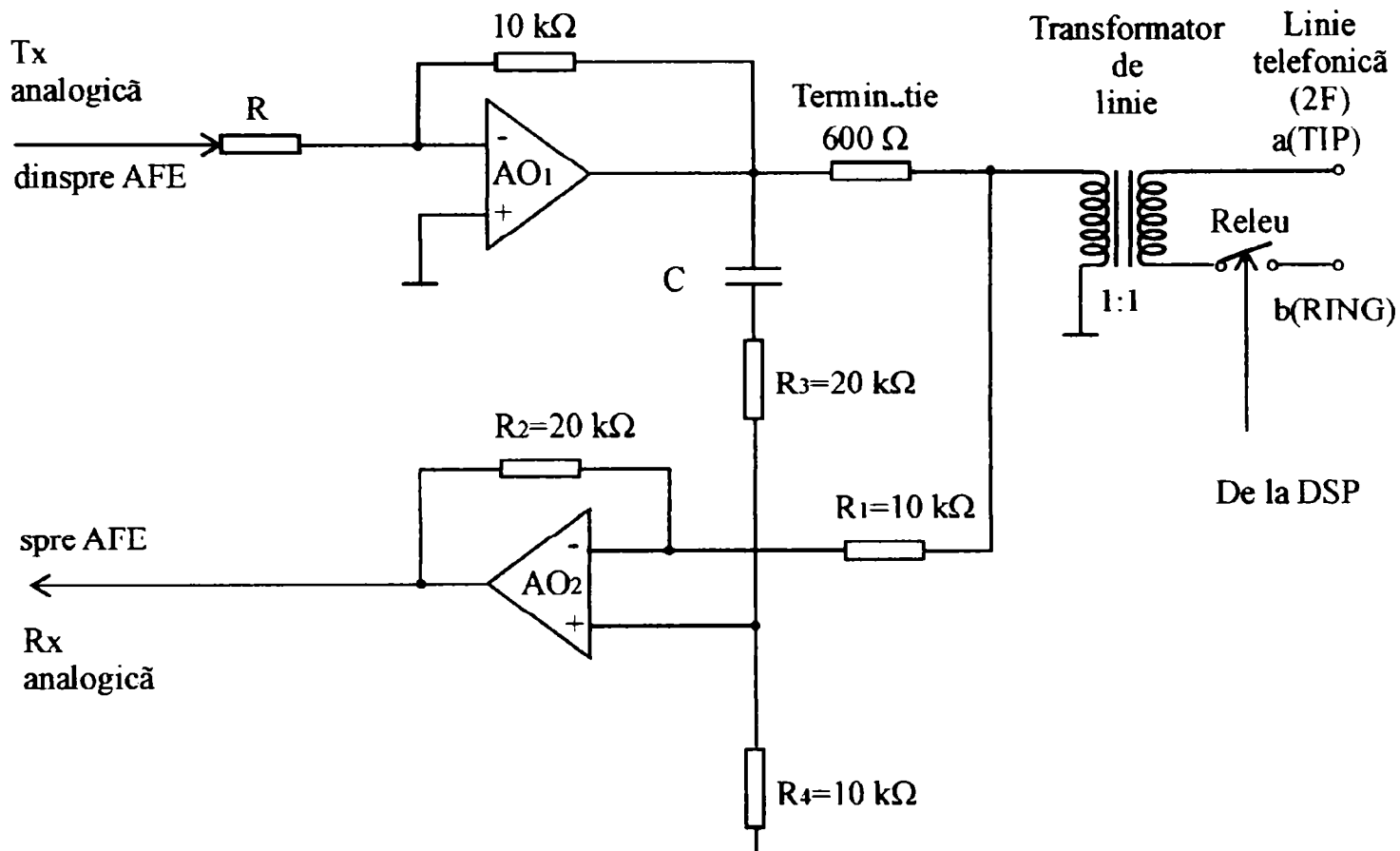


Fig.5.21 Interfața cu linia telefonică.

Presupunem că avem o linie telefonică ideală cu impedanța egală cu 600 Ω. Fie V_x semnalul de la ieșirea amplificatorului operațional AO₁. Rezultă că semnalul de la bornele transformatorului de linie TL este $\frac{V_x}{2}$.

Cîștigul intrării invertoare (-) a amplificatorului operațional AO₂ este [50]:

$$V_- = \frac{-R_F}{R_I} V_{in} = \frac{-R_2}{R_1} \frac{V_x}{2} = -V_x \quad (5.39)$$

Cîștigul intrării neinvertoare (+) a amplificatorului operațional AO₂ este [50]:

$$V_+ = \left(1 + \frac{R_F}{R_I}\right) V_{in} = \left(1 + \frac{R_2}{R_1}\right) \left(\frac{R_4}{R_3 + R_4}\right) V_x = +V_x \quad (5.40)$$

Semnalul V_{RX} se anulează complet în traseul de recepție analogică [50]:

$$V_{RX} = V_- + V_+ = 0 \quad (5.41)$$

În cazul unei linii telefonice ideale cu impedanța egală cu 600Ω , sistemul diferențial 2F/4F suprimă complet ecoul rezidual.

În practică impedanța liniei telefonice variază atât cu lungimea liniei cât și cu frecvența. Din acest motiv în majoritatea cazurilor apare o neadaptare de impedanță care cauzează un ecou care poate fi suprimat cu un supresor de ecou digital.

5.3 Implementare soft

Schema bloc soft a unui modem analogic de bandă vocală este prezentată în Fig.5.22 [54].

La nivelul microprocesorului din calculatorul gazdă se găsesc următoarele blocuri soft [54]:

- ⇒ soft API (Application Programming Interface) care sunt o serie de funcții ale sistemului de operare a calculatorului gazdă pe care modemul le utilizează pentru realizarea anumitor sarcini,
- ⇒ soft comenzi AT (AttenTion command) care asigură formatarea și executarea de către modem a comenzilor în format AT),
- ⇒ soft V.42 și V.42 bis care asigură tratarea de către calculatorul gazdă a protocoalelor de nivel legătură de date (V.42 pentru corecția de erori și V.42 bis pentru controlul erorilor),
- ⇒ soft transmisie sincronă/asincronă care asigură transmisia datelor de către calculatorul gazdă și modem prin tehnica sincronă sau asincronă,
- ⇒ soft protocol HDLC (High-level Data Link Control) care asigură tratarea de către calculatorul gazdă a protocolului de nivel legătură de date de tip HDLC.

La nivelul DSP-ului din modem se găsesc următoarele blocuri soft [54]:

- ⇒ soft transmisie/recepție de date (Data Pump) care asigură recepția și transmisia propriu-zisă a datelor. Softul de transmisie/recepție de date conține toate blocurile funcționale digitale ale modemului analogic de bandă vocală (cifrador/decifrador, codor/decodor TCM 2N-D, codor neliniar, egalizor adaptiv, blocul AGC, supresorul de ecou, modulator/demodulator QAM),
- ⇒ driver pentru CODEC care permite softului de transmisie/recepție de date al DSP-ului să controleze și să utilizeze circuitul de codare/decodare (CODEC).

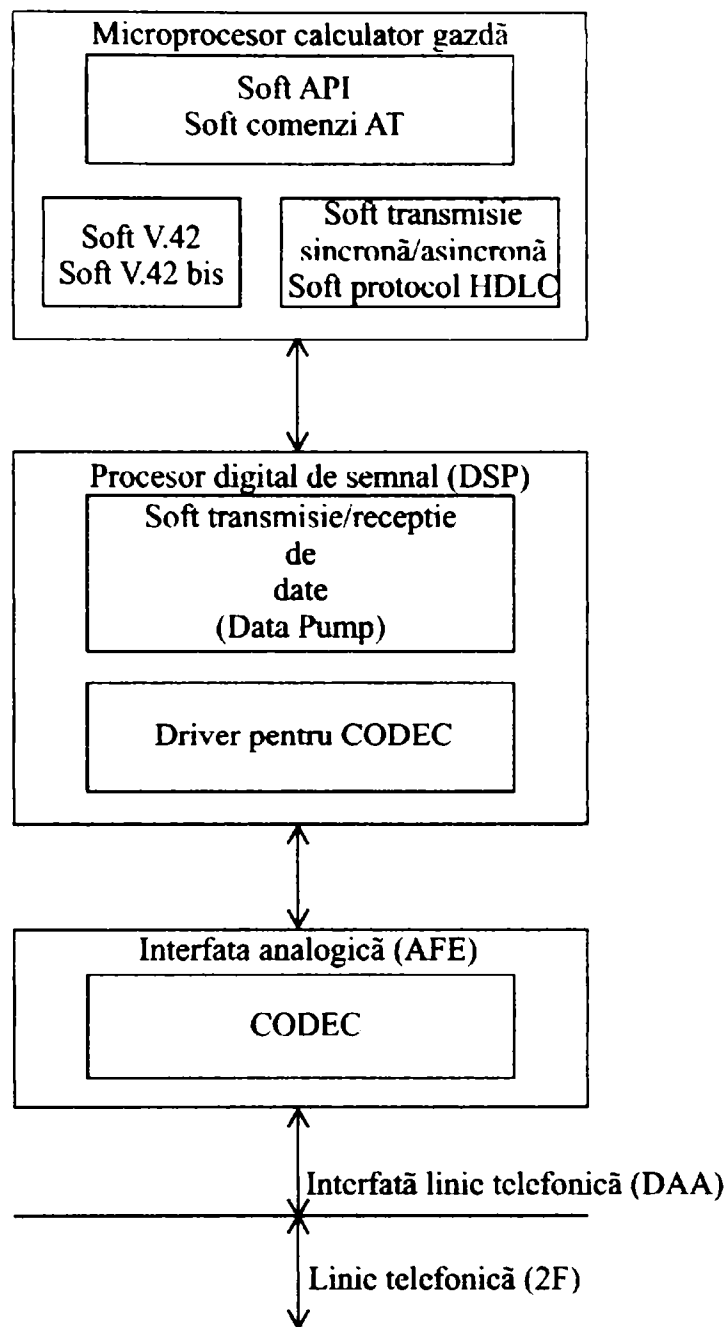


Fig. 5.22 Schema bloc soft a unui modem analogic de bandă vocală.

La nivelul interfeței analogice (AFE) din modem se găsesc următoarele blocuri soft [54]:

- ⇒ softul circuitului de codare/decodare (CODEC) care asigură funcționarea corectă a acestuia,
- ⇒ driver pentru interfața cu linia telefonică care permite softului circuitului de codare/decodare al interfeței analogice să controleze și să utilizeze interfața cu linia telefonică.

La nivelul interfeței cu linia telefonică din modem nu se găsesc blocuri soft.

CAPITOLUL VI

Concluzii și contribuții personale la modulația codată trellis multidimensională

6.1 Concluzii personale cu privire la modulația codată trellis multidimensională

Concluzia 6.1-Construcția propusă permite **generalizarea construcției Wei a codurilor TCM 2N-D** și pentru cazul în care N nu este o putere a lui 2 și permite **obținerea unor parametri CER, PAR și γ mai buni decât construcția Sterian** care devine astfel un caz particular al acestei construcții (cazul $\alpha = \frac{1}{2}$).

Concluzia 6.2-Costul plătit pentru această îmbunătățire a performanțelor codurilor TCM 2N-D în cazul în care N nu este o putere a lui 2, constă în creșterea complexității codorului bloc mai ales pentru cazurile în care N ia valori mari. Acest cost nu este foarte mare întrucât în practică se construiesc coduri TCM 2N-D cu $N \leq 8$ și în prezent costul memoriilor și al DSP-urilor este relativ scăzut.

În Anexa 1 am calculat folosind funcțiile din Microsoft Excel 2002 și am obținut un tabel cu parametrii codurilor TCM 2N-D pentru dimensiunile codului $N=2, 3, 4, 5, 6, 7, 8$ și pentru două valori $Q=7$ și $Q=10$ biți/s ale ratei de transmisie a codorului TCM 2N-D. Concluziile obținute sunt prezentate în continuare.

Concluzia 6.3-În cazul în care N nu este o putere a lui 2, **pentru un N fixat, cu cât Q este mai mare, cu atât parametrii CER și PAR obținuți sunt mai mici și cu atât parametrul γ este mai mare în comparație cu parametrii corespunzători ai construcției Sterian, în condițiile menținerii coeficientului de eroare N_{free} .**

Concluzia 6.4-În cazul în care N nu este o putere a lui 2, **pentru un Q fixat, cu cât N este mai mare, cu atât îmbunătățirea parametrilor CER, PAR și γ obținuți relativ la construcția Sterian este mai mică, dar numărul total de puncte de semnal 2-D a constelațiilor de semnale 2-D constituate a constelației de semnale 2N-D, este din ce în ce mai mic față de construcția Sterian.**

Concluzia 6.5-Atât în cazul în care N este o putere a lui 2 cât și în cazul în care N nu o putere a lui 2, **pentru un N și un Q fixat, cu cât câștigul de distanță $\varepsilon = \left(\frac{d}{d_0}\right)^2$ este mai mare, cu atât câștigul de codare asimptotic γ relativ la o transmisie necodată este mai mare.**

Concluzia 6.6-La alegerea valorilor pentru $2N$ dimensiunea codului TCM, rata de transmisie Q a codorului TCM $2N-D$, câștigul de distanță ε , numărul m de biți de intrare codati convoluțional și numărul V de stări ale codorului convoluțional este necesar să facem un **compromis** între complexitatea codorului TCM $2N-D$ și valorile obținute pentru parametrii CER, PAR și γ .

În Anexa 2 am realizat 27 aplicații în MathWorks MATLAB-Simulink 6.0 și anume:

Codoare și decodoare TCM:

- 01) codor TCM 4-D (construcția Wei),
- 02) decodor TCM 4-D cu detecție SSD (construcția Wei),
- 03) decodor TCM 4-D cu detecție MLD (construcția Wei)
- 04) codor TCM 6-D (construcția Sterian),
- 05) decodor TCM 6-D și cu detecție SSD (construcția Sterian),
- 06) decodor TCM 6-D și cu detecție MLD (construcția Sterian),
- 07) codor TCM 6-D (construcția propusă),
- 08) decodor TCM 6-D și cu detecție SSD (construcția propusă),
- 09) decodor TCM 6-D și cu detecție MLD (construcția Sterian),

Sisteme de transmisii de date cu TCM și fără modulație OAM:

- 10) sistem de transmisii de date cu TCM 4-D și cu detecție SSD (construcția Wei),
- 11) sistem de transmisii de date cu TCM 4-D și cu detecție MLD (construcția Wei)
- 12) sistem de transmisii de date cu TCM 6-D și cu detecție SSD (construcția Sterian),
- 13) sistem de transmisii de date cu TCM 6-D și cu detecție MLD (construcția Sterian),
- 14) sistem de transmisii de date cu TCM 6-D și cu detecție SSD (construcția propusă),
- 15) sistem de transmisii de date cu TCM 6-D și cu detecție MLD (construcția propusă),

Sisteme de transmisii de date cu TCM și cu modulație OAM în banda de bază:

- 16) sistem de transmisii de date cu TCM 4-D și cu detecție SSD (construcția Wei),
- 17) sistem de transmisii de date cu TCM 4-D și cu detecție MLD (construcția Wei)
- 18) sistem de transmisii de date cu TCM 6-D și cu detecție SSD (construcția Sterian),
- 19) sistem de transmisii de date cu TCM 6-D și cu detecție MLD (construcția Sterian),
- 20) sistem de transmisii de date cu TCM 6-D și cu detecție SSD (construcția propusă),
- 21) sistem de transmisii de date cu TCM 6-D și cu detecție MLD (construcția propusă),

Sisteme de transmisii de date cu TCM și cu modulație QAM în banda de trecere:

- 22) sistem de transmisii de date cu TCM 4-D și cu detecție SSD (construcția Wei),
- 23) sistem de transmisii de date cu TCM 4-D și cu detecție MLD (construcția Wei)
- 24) sistem de transmisii de date cu TCM 6-D și cu detecție SSD (construcția Sterian),
- 25) sistem de transmisii de date cu TCM 6-D și cu detecție MLD (construcția Sterian),
- 26) sistem de transmisii de date cu TCM 6-D și cu detecție SSD (construcția propusă),
- 27) sistem de transmisii de date cu TCM 6-D și cu detecție MLD (construcția propusă).

Pentru fiecare sistem de transmisii de date de mai sus, am rulat simulări în MathWorks MATLAB-Simulink 6.0 pe un PC Compaq cu sistemul de operare Microsoft Windows 2000 Professional și avînd o memorie RAM de 128 Mo și un procesor Intel Pentium III cu frecvența de ceas de 667 MHz (hardisk Quantum Fireball 20 Go, placă video Nvidia Vanta 8 Mo, placă audio Creative ES1371, CD-ROM Compaq CDR-8402B).

Fiecare simulare am realizat-o pentru un număr total de 10000 de biți transmiși și pentru 12 valori ale raportului semnal/zgomot ($SNR = \text{Signal to Noise Ratio}$) din canalul de comunicație AWGN (în pași de 1 dB). Am obținut numărul de biți recepționați eronați și rata erorilor de bit ($BER = \text{Bit Error Rate}$) și am reprezentat grafic BER în funcție de SNR (Anexa 3). Concluziile sunt prezentate în continuare.

Concluzia 6.7-Atît în cazul în care nu utilizăm modulația QAM cît și în cazul în care utilizăm modulația QAM, sistemul de transmisii de date cu TCM 6-D (construcția propusă) are rata erorilor de bit mai mică decît sistemul de transmisii de date cu TCM 6-D (construcția Sterian). Astfel am obținut un cîștig mediu de 0,2 dB pentru sistemul de transmisii de date cu TCM 6-D (construcția propusă) relativ la sistemul de transmisii de date cu TCM 6-D (construcția Sterian).

Concluzia 6.8-Dacă utilizăm modulația QAM în banda de trecere, se obțin valori mai mici pentru rata erorilor de bit decît în cazul în care nu utilizăm modulația QAM sau utilizăm modulația QAM în banda de bază. Raportul semnal/zgomot pentru care am obținut o transmisie cu rata erorilor egală cu zero este 4 dB dacă utilizăm modulația QAM în banda de trecere și 11 dB dacă nu utilizăm modulația QAM sau dacă utilizăm modulația QAM în banda de bază.

Concluzia 6.9-Dacă utilizăm modulația QAM, se obțin valori mai mici pentru rata erorilor de bit a sistemelor de transmisii de date cu detecție MLD decît a celor cu detecție SSD.

6.2 Contribuții personale la modulația codată trellis multidimensională

1. Generalizarea construcției Wei a codurilor TCM 2N-D.

Am utilizat ideea extinderii unei constelații de semnale 2-D care a fost formulată de Dinh și Hashimoto în articolul „A systematic approach to construction of bandwidth-efficient multidimensional trellis codes”, *IEEE Trans. Comms.*, Vol. 48, No. 11, Nov. 2000.

Am demonstrat formulele pentru energia medie (E_{medie}) și parametrii PAR și CER ai constelației de semnale 2-D constituentă a constelației de semnale 2N-D (paragraful 4.4.1.2).

În paragraful 4.4 am propus o construcție Wei generalizată pentru codurile TCM 2N-D.

Întrucât formulele stabilite de Wei și Sterian pentru câștigul de codare asimptotic γ al codului TCM 2N-D față de o transmisie necodată, nu țin cont de parametrii PAR și CER ai constelației de semnale 2-D constituentă a constelației de semnale 2N-D, am dedus o nouă formulă care ia în calcul parametrii respectivi (relația 4.134).

În relațiile folosite de Wei și Sterian (relațiile 4.2 și 4.33), energiile medii ale grupurilor se calculează dificil prin însumarea pătratelor distanțelor dintre originea axelor de coordonate a planului complex și punctele de semnal 2-D situate în grupurile respective și prin împărțirea la numărul de puncte de semnal 2-D ale grupurilor. Spre deosebire de relațiile folosite de Wei și Sterian, relația propusă (4.134) permite calculul imediat a câștigului de codare asimptotic γ al codului TCM 2N-D, după calculul parametrului CER a constelației de semnale 2-D constituentă a constelației de semnale 2N-D.

2. Generalizarea construcției Wei a codorului TCM 2N-D.

În anul 1987, Wei a prezentat trei codoare TCM multidimensionale pentru cazul în care N este o putere a lui 2:

- ❖ un codor TCM 4-D cu 16 stări (paragraful 4.2.1),
- ❖ un codor TCM 4-D cu 64 stări,
- ❖ un codor TCM 8-D cu 64 stări (paragraful 4.2.2).

În anul 1997, Sterian a găsit o metodă de extindere a construcției Wei pentru cazurile în care N nu este o putere a lui 2 și a prezentat două codoare TCM multidimensionale:

- ❖ un codor TCM 6-D cu 64 stări (paragraful 4.3.1),
- ❖ un codor TCM 12-D cu 256 stări (paragraful 4.3.2).

În paragraful 4.5 am propus un codor TCM 2N-D pentru cazul în care N este un număr întreg pozitiv.

Am propus un codor diferențial pe 2 biți (Fig.4.12) care asigură condițiile de invarianță rotațională a constelației de semnale 2N-D la o rotație de 0° , 90° , 180° , 270° și am dedus relațiile dintre intrările și ieșirile sale (relațiile 4.132).

3. Generalizarea construcției Wei a decodului TCM 2N-D.

În paragraful 4.6 am propus un decodor TCM 2N-D pentru cazul în care N este un număr întreg pozitiv.

Pentru decodorul Viterbi, am construit două diagrame de decodare Viterbi (Fig.4.14 și Fig.4.15) și o organigramă de alegere a diagramei Viterbi (Fig.4.13).

Am propus un decodor diferențial pe 2 biți (Fig.4.17) care asigură condițiile de invarianță rotațională a constelației de semnale 2N-D la o rotație de 0° , 90° , 180° , 270° și am dedus relațiile dintre intrările și ieșirile sale (relațiile 4.135).

4. Construcția unui modem analogic de bandă vocală cu TCM 2N-D.

În capitolul 5 am propus o aplicație a codorului/decodului TCM 2N-D la construcția unui modem analogic de bandă vocală.

5. Realizarea în MathWorks MATLAB-Simulink 6.0 a 27 de aplicații.

Lista acestor aplicații este prezentată în paragraful 6.1. și aplicațiile se găsesc pe CD-ul atașat în Anexa 2. Pîna în prezent am văzut doar realizări în MathWorks MATLAB-Simulink ale unui codor/decodor TCM 2-D.

În Anexa 3 am prezentat rezultatele simulărilor pe care le-am realizat în MathWorks MATLAB-Simulink 6.0.

Bibliografie citată în teza de doctorat

1. M. V. EYUBOGLU - „Multimedia modems”-*IEEE Comms. Mag.*, Vol. 34, No. 12, pag. 26-28, Dec. 1996
2. M. ALI - „Evolution from Voiceband to Broadband Internet Access”-DSPS R&D Center, Texas Instruments, 2000
3. GEORGIA TECH Studies - http://www.gvu.gatech.edu/user_surveys/survey-1998-10/graphs/technology/q01.htm
4. B. GOODMAN - „Internet telephony and modem delay”-*IEEE Network*, May/June, 1999
5. W. CONWAY - „A management briefing on V.34 modems: History, technology and economics”, General DataComm, 1996
6. M. NAFORNIȚĂ, C. MUNTEAN - „Comunicații de date”-Ed. „Gheorghe Asachi” Iași, 1996
7. E. BIGLIERI, D. DIVSALAR, P. J. McLANE și M. K. SIMON - „Introduction to Trellis Coding Modulation with applications”-*Macmillan Publishing Company New York*, 1991
8. Z. PAPIR, A. SIMMONDS - „Competing for throughput in the local loop”-*IEEE Comms. Mag.*, Vol. 37, No. 5, pag. 61-67, May 1999
9. J. L. MASSEY - „Coding and modulation in digital communications”, 1974 *International Zurich Seminar on Digital Communications*, Zurich, Switzerland, March, 1974
10. G. UNGERBOECK, I. CSAJKA - „On improving data-link performance by increasing the channel alphabet and introducing sequence coding”, 1976 *International Symposium of Information Theory*, Ronneby, Sweden, Jun. 1976
11. H. IMAI, S. HIRAKAWA - „A new multilevel coding method using error-correcting codes”-*IEEE Trans. Inf. Theory*, Vol.IT-23, No. 3, pag. 371-377, May 1977
12. G. UNGERBOECK - „Channel coding with multilevels/phase signals”-*IEEE Trans. Inf. Theory*, Vol. IT-28, No. 1, pag. 56-67, Jan. 1982
13. G. D. FORNEY Jr., R. G. GALLAGER, G. R. LANG, F. M. LONGSTAFF, S. U. QURESHI - „Efficient modulation for bandlimited channels”-*IEEE J. Select. Areas. Comms.*, Vol. SAC-2, No. 5, pag. 632-647, Sept. 1984
14. L. -F. WEI - „Rotationally invariant convolutional channel coding with expanded signal space. Part II: Nonlinear Coding”-*IEEE J. Select. Areas. Comms.*, Vol. SAC-2, No. 5, pag. 672-686, Sept. 1984
15. ITU-T „Recommendation V.32 for a family of 2-wire duplex modems operating at data signalling rates of up to 9600 bit/s for use on the General Switched Telephone Network and on leased telephone-type circuits”, May 1984
16. L. -F. Wei „Trellis-Coded Modulation with multidimensional constellations”-*IEEE J. Trans. Inf. Theory*, Vol. IT-33, No. 4, pag. 483-501, July. 1987
17. ITU-T „Recommendation V.34 for a family of 2-wire duplex modems operating at data signalling rates of up to 33600 bit/s for use on the General Switched Telephone Network and on leased point-to-point 2-wire telephone-type circuits”, May 1994
18. R. G. C. Williams - „A trellis code for V.fast”, CCITT V.fast Rapporteur Meeting, Bath , UK, Sept. 1992

19. L. -F. WEI -, „A new 4-D, 64-state, rate-4/5 Trellis Code”-*Cont.D19*, ITU-T, Study Group 14, Geneva, Switzerland, Sept. 1993
20. ITU-T „Recommendation V.90 for a digital modem and analogue modem pair operating for use on the Public Switched Telephone Network (PSTN) at data signalling rates of up to 56000 bit/s downstream and up to 33600 bit/s upstream”, Sept. 1998
21. ITU-T „Recommendation G.711 for Pulse Code Modulation of voice frequencies”, 1988
22. G. UNGERBOECK -, „TCM with redundant signals sets. Part I: Introduction. Part II: State of the art”-*IEEE Comms. Magazine*, Vol.25, No.2, pag. 5-21, Feb. 1987
23. A. R. CALDERBANK, J. E MAZO -, „A new description of trellis codes”-*IEEE Trans. Inf. Theory*, Vol. IT-30, pag. 784-791, Nov. 1984
24. O. AGAZZI, D. G. MESSERSCHMITT și D. A. HODGES -, „Nonlinear echo cancellation of data signals”-*IEEE Trans. Comms.*, Vol. COM-30, Nr.11, pag. 2421-2433, Nov. 1982
25. G. D. FORNEY Jr. -, „The Viterbi Algorithm”-*IEEE Proc.*, Vol. 61, pag. 268-278, 1973
26. BENEDETTO, M. AJMONE MARSAN, G. ALBETENGO, E. GIACHIN - „Combined coding and modulation. Theory and applications”-*IEEE Trans. Inf. Theory*, Vol. IT-34, No. 2, pag. 223-236, Mar. 1988
27. M. M. MULLIGAN, S. G. WILSON -, „An improved algorithm for evaluating trellis phase codes”-*IEEE Trans. Inf. Theory*, Vol. IT-30, No. 6, pag. 846-851, Nov. 1984
28. E. BIGILERI-, „High-level modulation and coding for nonlinear satellite channels”-*IEEE Trans. Comms.*, Vol. COM-32, No. 5, pag. 616-626, May 1984
29. G. D. FORNEY Jr. -, „Coset codes. Part I: Introduction and geometrical clasification”-*IEEE Trans. Inf. Theory*, Vol. IT-34, No. 5, pag. 1123-1151, Sept. 1988
30. G. J. POTTIE, D. P. TAYLOR -, „Sphere-packing upper bounds on the free distance of trellis codes”-*IEEE Trans. Inf. Theory*, Vol. IT-34, No.2, pag. 435-447, May 1988
31. A. R. CALDERBANK, J. E. MAZO, V. K. WEI -, „Asymtotic upper bounds on the minimum distance of trellis codes”-*IEEE Trans.Comms.*, Vol. COM-33, pag. 305-309, Apr. 1985
32. E. BIGLIERI -, „Ungerboeck codes do not shape the signal power spectrum”-*IEEE Trans. Inf. Theory*, Vol. IT-32, No. 4, pag. 595-596, Jun. 1986
33. G. D. FORNEY Jr. -, „Geometrically uniform codes”, *IEEE Trans. Inf. Theory*, Vol. IT-37, No. 9, pag. 1241-1260, Sept. 1991
34. A. R. Calderbank, N. J. A. Sloane -, „Four-dimensional modulation with eight-state trellis code”, *AT&T Tech. Journal*, Vol. 64, pag. 1005-1018, May/June 1985
35. S. S. PIETROBON , D. J. COSTELLO -, „Trellis coding modulation with multidimensional QAM signals sets”, *IEEE Trans. Inf. Theory*, Vol. IT-39, No. 3, pag. 325-336, Mar. 1993
36. S. S. PIETROBON, R. H. DENG, A. LAFANACHERE, G. UNGERBOECK, D. J. COSTELLO -, „Trellis-coded multidimensional phase modulation”, *IEEE Trans. Inf. Theory*, Vol. IT-36, No. 3, pag. 63-89, Jan. 1990
37. F. Q. WANG, D. J. COSTELLO -, „New rotationally invariant four-dimensional trellis codes”, *IEEE Trans. Inf. Theory* , Vol. IT-42, pag. 291-300, Jan. 1996

38. T. C. DINH, T. HASHIMOTO -, „A systematic approach to construction of bandwidth-efficient multidimensional trellis codes”, *IEEE Trans. Comms.*, Vol. 48, No. 11, pag. 1808-1817, Nov. 2000
39. P. PRANDONI -, „Information theory in modem practice”, Laboratoire de Communication Audio Visuelle (LCAV) Tech-Report, École Polytechnique Fédérale de Lausanne, Feb. 1997
40. C. -E. D. STERIAN -, „Extending Wei'trellis coded modulation technique with 2N-D rectangular constellation for N not a power of 2”, *Telecomunicații*, Anul XXI, Nr. 4, 1994
41. C. -E. D. STERIAN -, „128-state, rate-4/5 rotationally invariant trellis code with 4-D rectangular signal constellation having a coding gain of 5,63 dB”, *Telecomunicații*, Anul XXIII, Nr. 2, 1996
42. C. -E. D. STERIAN -, „Wei-type trellis-coded modulation with 2N-dimensional rectangular constellation for N not a power of 2”, *IEEE Trans. Inf. Theory*, Vol. IT-43, No. 3, pag. 750-758, Mar. 1997
43. G. D. FORNEY Jr. -, „Trellis Shaping”, *IEEE Trans. Inf. Theory*, Vol. IT-38, No. 3, pag. 281-300, Mar. 1992
44. A. K. KHANDANI, P. KABAL -, „Shaping Multidimensional Spaces - Part I: Optimum shaping, Shell Mapping”, *IEEE Trans. Inf. Theory*, Vol. IT-39, No. 11, pag. 1799-1808, Nov. 1993
45. Black Box Inc. -, „V.34”, *Technology Overview*, 1999 - <http://www.blackbox.com>
46. G. D. FORNEY Jr., M. V. EYUBOGLU -, „Combined equalization and coding using precoding”-*IEEE Comms. Mag.*, Vol. 29, No. 12, pag. 23-34, Dec. 1991
47. G. D. FORNEY Jr. , M. V. EYUBOGLU -, „Trellis precoding: combined coding , precoding and shaping for intersymbol interference channels”, *IEEE Trans. Inf. Theory*, Vol. IT-38, No. 2, pag. 301-313, Mar. 1992
48. W. H. GERSTAKER, R. F. H. FISCHER, J. B. HUBER -, „A transmission scheme for twisted pair lines with coding, precoding and blind equalization”, *Proceedings of IEEE Global Telecommunications Conference (Globecom '97)*, pag. 52-56, Phoenix, AZ, Nov. 1997
49. F. HARRIS -, „Carrier synchronization techniques for DSP-based modems”, *Communication Systems Design Magazine*, July 2000 - <http://www.csdmag.com/main/2000/07/0007feat2.htm>
50. T. MASSEY, R. IYER - „DSP solutions for telephony and data/facsimile modems”, *Texas Instruments - Application Book*, Jan.1997
51. L. LITWIN -, „Matched filtering and timing recovery in digital receivers”, *Thompson Multimedia Corporate Research*, Sept. 2001
52. J. WENG -, „Digital Transmissions Systems”, course 2002-2003, Department of Electrical and Computer Engineering, Concordia University , Montreal, Canada
53. A. LOVRICH, R. CHIRAYIL - „An all-digital automatic gain control”, *Texas Instruments - Application Report*, Jan.1997
54. F. GAO -, „Modem and fax standards and software”, *GAO Research and Consulting Article* , 2001 - <http://www.gaoresearch.com/resources/articles/mfstds.html>
55. E. KAREN -, „ITU-T Recommendation V.34”, The University of Toronto, 2000 - <http://www.comm.toronto.edu/~karen/projects/38.ITUV34/index.html>

56. **F. DĂRĂBAN** -, „Generalization of Wei's construction for the 2N-dimensional TCM codes“, *Proceedings of the International Workshop “Trends and Recent Achivements in Information Technology”*, pag.197-205, Cluj Napoca, Romania, May 2002 - <http://193.226.6.174/IT2002/pdf/L35.pdf>
57. **F. DĂRĂBAN** -, „Generalization of Wei's construction for the 2N-dimensional TCM encoder and decoder“, *Proceedings of the International Workshop “Trends and Recent Achivements in Information Technology”*, pag.205-213, Cluj Napoca, Romania, May 2002 - <http://193.226.6.174/IT2002/pdf/L36.pdf>
58. **F. DĂRĂBAN** -, „An analog voice modem with generalized Wei's type 2N-dimensional trellis coded modulation“, *Proceedings of the International Workshop “Trends and Recent Achivements in Information Technology”*, pag.213-223, Cluj Napoca, Romania, May 2002 - <http://193.226.6.174/IT2002/pdf/L37.pdf>
59. **F. DĂRĂBAN** -, „A Wei's Type Multidimensional TCM Encoder“, *Transactions on Electronics and Communications - Buletinul Stiințific al Universității Politehnica Timișoara*, pag.3-12, Tom 46(60), Fascicola 2, 2001
60. **F. DĂRĂBAN** -, „A Wei's Type Multidimensional TCM Decoder“, *Transactions on Electronics and Communications - Buletinul Stiințific al Universității Politehnica Timișoara*, pag.13-18, Tom 46(60), Fascicola 2, 2001.

Bibliografie consultată pentru documentare

61. M. E. BORDA -, „Teoria transmiterii informației. Teoria informației și codării. Fundamente și aplicații” -*Ed. Dacia*, Cluj-Napoca, 1999
62. T. STARR, J. M. CIOFFI, P. J. SILVERMAN -, „Understanding Digital Subscriber Line Technology” -*Prentice Hall PTR*, 1999
63. S. RAJPAL, D. J. RHEE, S. LIN -, „Multidimensional Trellis Coded Phase Modulation Using a Multilevel Concatenation Approach - Part I: Code Design” -*IEEE Trans. Comms.*, Vol. COM-45, Nr.01, pag. 64-72, Jan. 1997
64. S. RAJPAL, D. J. RHEE, S. LIN -, „Multidimensional Trellis Coded Phase Modulation Using a Multilevel Concatenation Approach - Part II: Codes for the AWGN and Fading Channels” -*IEEE Trans. Comms.*, Vol. COM-45, Nr.02, pag. 177-186, Feb. 1997
65. A. MASOOMZADEH-FARD, S. PASUPATHY -, „Combined Equalization and Differential Detection Using Precoding” -*IEEE Trans. Comms.*, Vol. COM-45, Nr.03, pag. 274-278, Mar. 1997
66. S.-L. SU, J.-M.WU -, „Combination of BCM and TCM with 90°, 180° and 270° Phase Rotational Invariance” -*IEEE Trans. Comms.*, Vol. COM-45, Nr.07, pag. 800-808, July 1997
67. J.-Y. WANG, M.-C. LIN -, „On Constructing Trellis Codes with Large Free Distances and Low Decoding Complexities” -*IEEE Trans. Comms.*, Vol. COM-45, Nr.09, pag. 1017-1020, Sept. 1997
68. E. BACCARELLI, R. CUSANI, G. DI BLASIO -, „Performance Bound and Trellis-Code Design Criterion for Discrete Memoryless Channels and Finite-Delay Symbol-by-Symbol Decoding” -*IEEE Trans. Comms.*, Vol. COM-45, Nr.10, pag. 1192-1199, Oct. 1997
69. T. JI, P. AN, S. C. KWATRA -, „Nonlinear Rotationally Invariant Trellis Codes for Multidimensional Modulation” -*IEEE Trans. Comms.*, Vol. COM-45, Nr.10, pag. 1231-1235, Oct. 1997
70. E. S. ESTEVES, R. SAMPAIO-NETO -, „A Per-Survivor Phase Acquisition and Tracking Algorithm for Detection of TCM Signals with Phase Jitter and Frequency Error” -*IEEE Trans. Comms.*, Vol. COM-45, Nr.11, pag. 1381-1384, Nov. 1997
71. E. BACCARELLI, S. GALLI -, „New Results About Analysis and Design of TCM for ISI Channels and Combined Equalization/Decoding” -*IEEE Trans. Comms.*, Vol. COM-46, Nr.04, pag. 417-420, April 1998

72. J. K. CAVERS, J.-H. KIM, P. HO -, „Exact Calculation of the Union Bound on Performance of Trellis-Coded Modulation in Fading Channels” -*IEEE Trans. Comms.*, Vol. COM-46, Nr.05, pag. 576-579, May 1998
73. K. M. MACKENTHUN JR. -, „Codes Based on a Trellis Cut-Set Transformation - Part I: Rotationally Invariant Codes” -*IEEE Trans. Comms.*, Vol. COM-46, Nr.05, pag. 610-620, May 1998
74. J. E. SMEE, N. C. BEAULIEU -, „Error-Rate Evaluation of Linear Equalization and Decision Feedback Equalization with Error Propagation” -*IEEE Trans. Comms.*, Vol. COM-46, Nr.05, pag. 656-665, May 1998
75. E. AYANOGLU, N. R. DAGDEVIREN, G. D. GOLDEN, J. E. MAZO -, „An Equalizer Design Technique for the PCM Modem: A New Modem for the Digital Public Switched Network” -*IEEE Trans. Comms.*, Vol. COM-46, Nr.06, pag. 763-774, June 1998
76. J. LABAT, O. MACCHI, C. LAOT -, „Adaptive Decision Feedback Equalization: Can You Skip the Training Period?” -*IEEE Trans. Comms.*, Vol. COM-46, Nr.07, pag. 921-930, July 1998
77. T.-T. CHEN, J. S. LEHNERT -, „TCM/SSMA Communication Systems with Cascaded Sequences and PAM/QAM Signal Sets” -*IEEE Trans. Comms.*, Vol. COM-46, Nr.07, pag. 950-956, July 1998
78. D. G. LAINIOTIS, P. PAPAPARASCHEVA -, „Partitioned Adaptive Approach to Nonlinear Channel Equalization” -*IEEE Trans. Comms.*, Vol. COM-46, Nr.10, pag. 1325-1336, Oct. 1998
79. A. E. VITYAEV, P. H. SIEGEL -, „On Viterbi Detector Path Metric Differences” -*IEEE Trans. Comms.*, Vol. COM-46, Nr.12, pag. 1549-1554, Dec. 1998
80. W. LEE, K. CHEUN -, „Convergence Analysis of the Stop-and-Go Blind Equalization Algorithm” -*IEEE Trans. Comms.*, Vol. COM-47, Nr.02, pag. 177-180, Feb. 1999
81. D. HUANG, F. GUSTAFSSON -, „Sufficient Output Conditions for Identifiability in Blind Equalization” -*IEEE Trans. Comms.*, Vol. COM-47, Nr.02, pag. 191-194, Feb. 1999

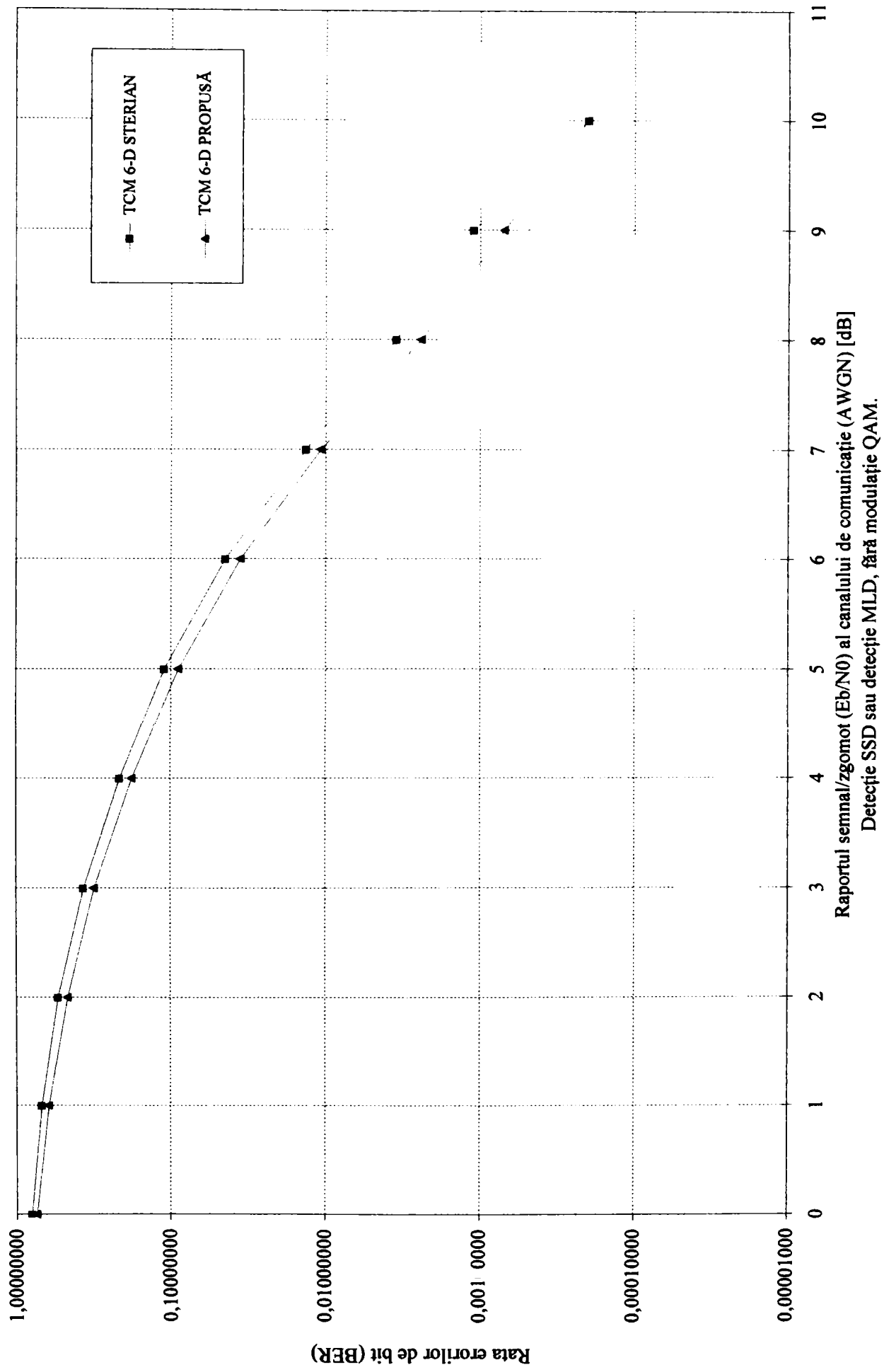
82. H. A. RAJAB, M. D. YUCEL -, „Efficient Performance Computations for Trellis-Coded Modulation” -*IEEE Trans. Comms.*, Vol. COM-47, Nr.07, pag. 796-798, June 1999
83. K. M. MACKENTHUN Jr. -, „Codes Based on a Trellis Cut Set Transformation - Part II: Codes for Noncoherent Detection” -*IEEE Trans. Comms.*, Vol. COM-47, Nr.07, pag. 998-1007, July 1999
84. K. J. KIM, R. A. ILTIS -, „An Importance Sampling Technique for a Symbol-by-Symbol TCM Decoding/Equalization Algorithm” -*IEEE Trans. Comms.*, Vol. COM-48, Nr.07, pag. 1141-1150, July 2000
85. M.-C. LIN, Y.-L. UENG, J.-Y. WANG -, „Two Trellis Coding Schemes for Large Free Distances” -*IEEE Trans. Comms.*, Vol. COM-48, Nr.08, pag. 1286-1296, Aug. 2000
86. Z. DING, Z.-Q. LUO -, „A Fast Linear Programming Algorithm for Blind Equalization” -*IEEE Trans. Comms.*, Vol. COM-48, Nr.09, pag. 1432-1436, Sept. 2000
87. W. H. GERSTACKER, R. R. MULLER, J. B. HUBER -, „Iterative Equalization with Adaptive Soft Feedback” -*IEEE Trans. Comms.*, Vol. COM-48, Nr.09, pag. 1462-1467, Sept. 2000
88. J. X. YU, Y. LI, H. MURATA, S. YOSHIDA -, „Hybrid-ARQ Scheme Using Different TCM for Retransmission” -*IEEE Trans. Comms.*, Vol. COM-48, Nr.10, pag. 1609-1613, Oct. 2000
89. D. RAPHAELI, T. KAITZ -, „A Reduced-Complexity Algorithm for Combined Equalization and Decoding” -*IEEE Trans. Comms.*, Vol. COM-48, Nr.11, pag. 1797-1807, Nov. 2000
90. E. BACCARELLI -, „On the Performance Limits of TCM in Fast-Fading Multipath Channels with Combined Equalization/Decoding” -*IEEE Trans. Comms.*, Vol. COM-48, Nr.12, pag. 1957-1964, Dec. 2000
91. J. MANNERKOSKI, V. KOIVUNEN, D. P. TAYLOR -, „Performance Bounds for Multistep Prediction-Based Blind Equalization” -*IEEE Trans. Comms.*, Vol. COM-49 Nr.01, pag. 84-93, Jan. 2001

92. S. A. ALTEKAR, A. E. VITYAEV, J. K. WOLF -, „Decision-Feedback Equalization via Separating Hyperplanes” -*IEEE Trans. Comms.*, Vol. COM-49, Nr.03, pag. 480-486, Mar. 2001
93. L. M. GARTH -, „A Dynamic Convergence Analysis of Blind Equalization Algorithms” -*IEEE Trans. Comms.*, Vol. COM-49, Nr.04, pag. 624-634, April 2001
94. K. R. NARAYANAN, G. L. STUBER -, „Performance of Trellis-Coded CPM with Iterative Demodulation and Decoding” -*IEEE Trans. Comms.*, Vol. COM-49, Nr.04, pag. 676-687, April 2001
95. Q. WANG, L. WEI -, „Iterative Viterbi Algorithm for Concatenated Multidimensional TCM” -*IEEE Trans. Comms.*, Vol. COM-50, Nr.01, pag. 12-15, Jan. 2002
96. M. E. PELLEZZI, J. PORTUGHEIS -, „On the Analysis of the Performance of Coded Modulation Schemes for Unequal Error Protection”- *IEEE Trans. Comms.*, Vol. COM-50, Nr.08, pag. 1205-1208, Aug. 2002
97. Y.-L. UENG, C.-J. ZEH, M.-C. LIN -, „On Trellis Codes with a Delay Processor and a Signal Mapper”- *IEEE Trans. Comms.*, Vol. COM-50, Nr.12, pag. 1906-1917, Dec. 2002
98. W. Y. CHEN -, „The Development and Standardization of Asymmetrical Digital Subscriber Line” -*IEEE Comms. Mag.*, Vol. 37, Nr.05, pag. 68-72, May 1999
99. J. F. HAYES -, „The Viterbi Algorithm Applied to Digital Data Transmission” - *IEEE Comms. Mag.*, 50th Anniversary Issue, pag. 26-32, May 2002
100. E. BIGLIERI -, „Digital Transmission in the 21st Century” -*IEEE Comms. Mag.*, 50th Anniversary Issue, pag. 128-137, May 2002
101. N. V. TRAU -, „Performance and Distance Spectrum Calculation of TCM over ISI Channels” -*Master Thesis*, The University of South Australia, 1998
102. S. A. AL-SEMARI -, „Design and Performance of Trellis Codes for Wireless Channels” -*PhD Thesis*, The University of Maryland, 1995
103. R. LAROIA -, „An Optimal Shaping for Multidimensional Constellations-An Alternative Approach to Lattice-Bounded (Voronoi) Constellations” -*Tech Report*, The University of Maryland, 1992

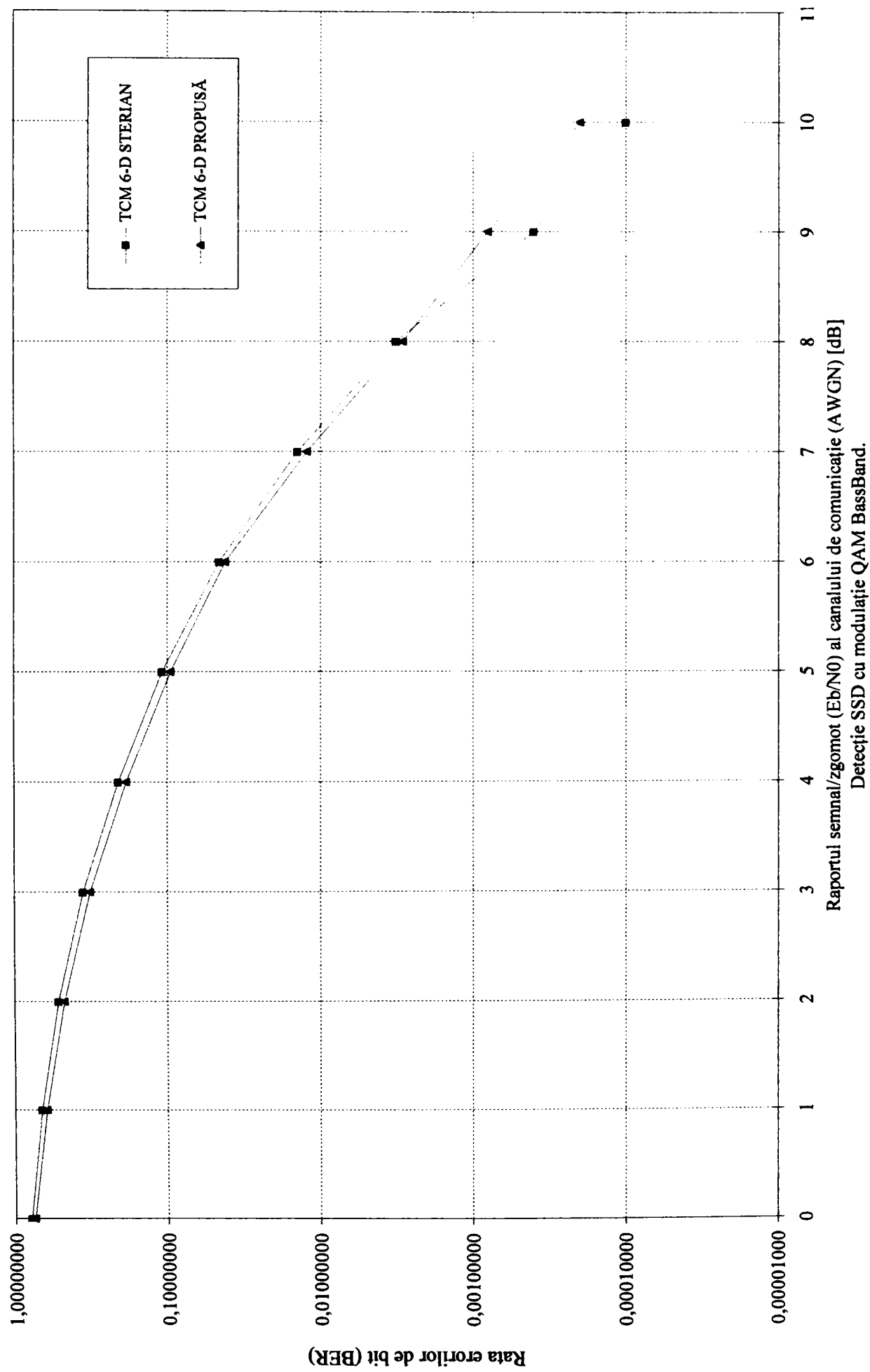
104. R. LARROIA, S. TRETTER, N. FARVARDIN -„A Simple and Effective Precoding Scheme for Noise Whitening on ISI Channels” -*Tech Report*, The University of Maryland, 1992
105. S. A. AL-SAMARI, T. E. FUJA -„Performance Analysis of Coherent TCM Systems with Diversity Reception in Slow Rayleigh Fading” -*Tech Report*, The University of Maryland, 1996.

Anexa 2- Modelele MATLAB-Simulink pentru sistemele de transmisii de date cu TCM 4-D (construcția Wei),
TCM 6-D (construcția Sterian) și TCM 6-D (construcția propusă)

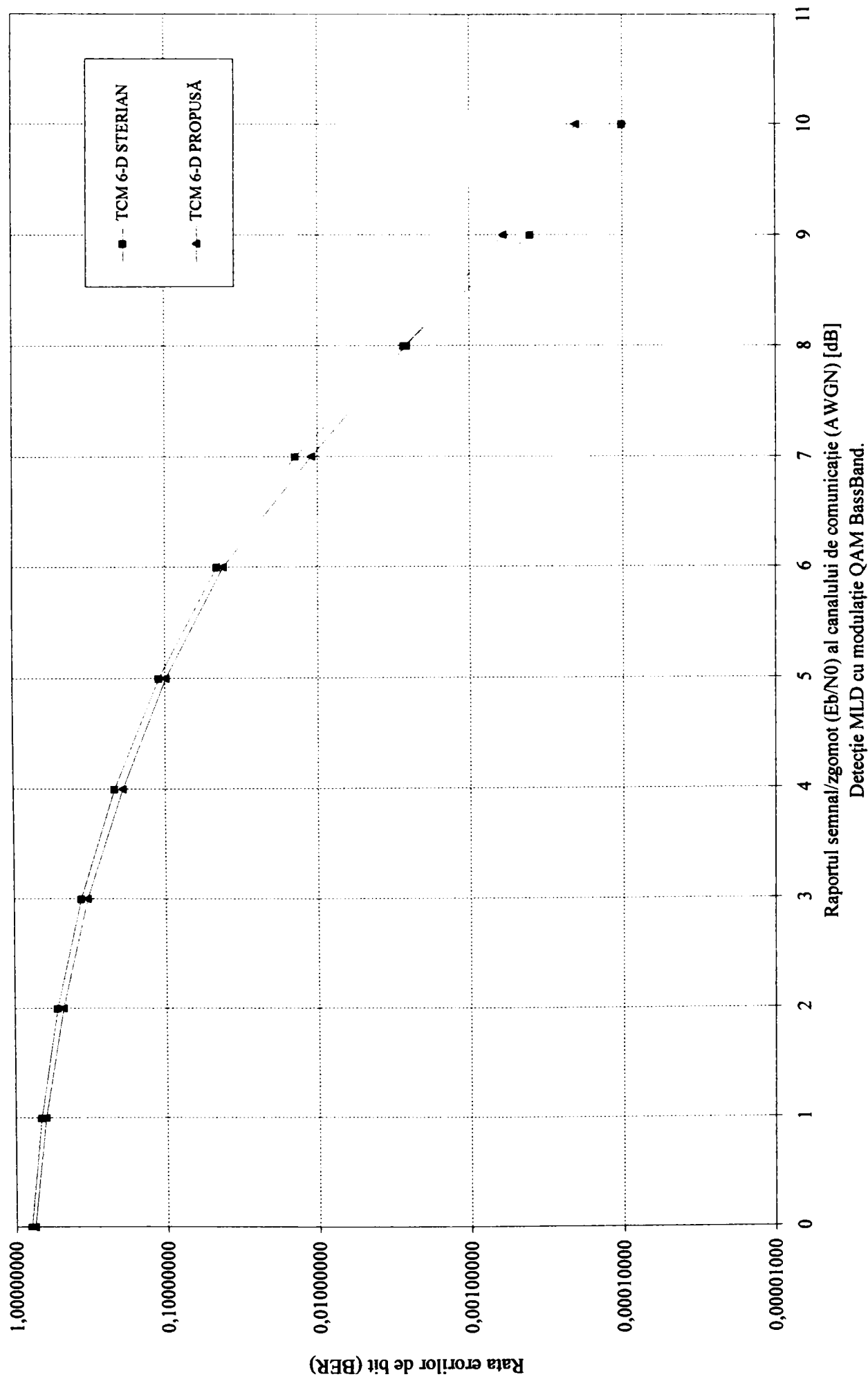
Anexa 3a



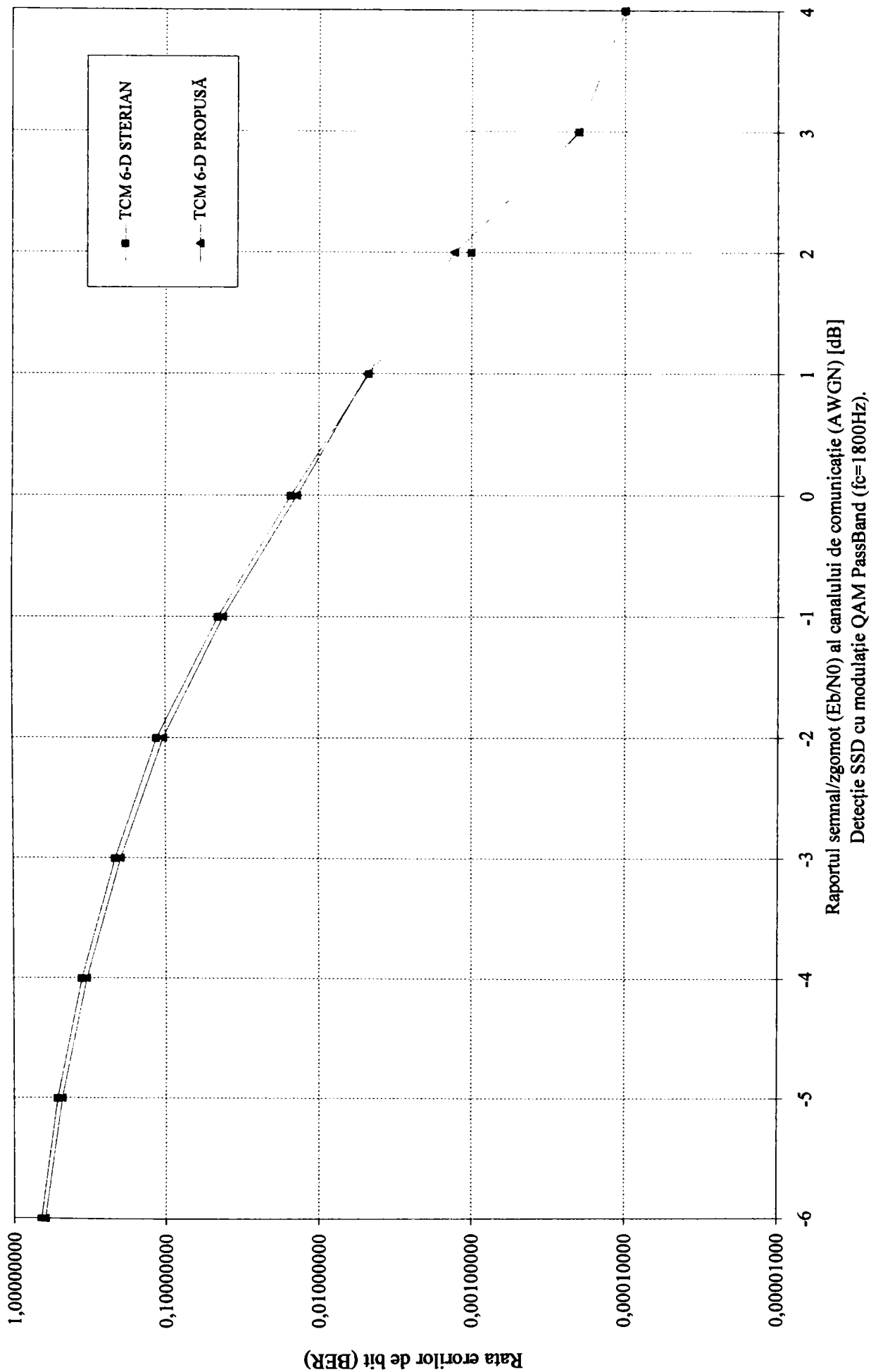
Anexa 3b



Anexa 3c



Anexa 3d



Anexa 3e

